

# **Technologie du Débitage à Mureybet, Syrie**

9e - 8e millénaire

Sylvie Calley

ii - Illustrations

1986

## **Annexe graphique**



## INTRODUCTION DE L'ANNEXE GRAPHIQUE

### Choix du type de représentation graphique

Le mode de représentation graphique qui a été adopté pour présenter les caractères morphologiques (fig.60 à fig.98) répond à plusieurs besoins :

- C'est le type de représentation qui permet de figurer, sur un même diagramme, des variables (les caractères morphologiques) qui peuvent adopter plusieurs valeurs (les modalités des caractères) en fonction, non pas de classes identiques, comme pour les histogrammes de fréquence, mais d'autres variables (ici, les couches placées sur l'axe des abscisses) qui n'ont *a priori* aucun lien logique entre elles, si ce n'est un lien chronologique.

- Mieux qu'un tableau, le **graphe** permet de visualiser rapidement les différentes proportions des modalités les unes par rapport aux autres.

- Le positionnement en ordre chronologique des couches, sur l'axe des abscisses, permet de percevoir l'évolution des proportions des modalités dans le temps. La couche n°1 est la plus ancienne et la couche n°7 est la plus récente. Les espacements entre les couches traduisent le temps écoulé (fig.C de cette introduction). Les espaces ont été calculés, de manière approximative, à partir des datations C14 disponibles (GILOT, CAUVIN, 1973; CAUVIN J., 1977: 47-48) et du repérage stratigraphique général du site. Il m'a paru intéressant d'ajouter cette notion du temps pour mieux saisir la *vitesse* de variation des proportions des modalités.

### Lecture des graphes

Les caractères morphologiques sont présentés l'un après l'autre d'après l'ordre adopté dans la partie méthodologique (cf. chapitre 2). Pour chaque caractère figurent plusieurs **graphiques** qui représentent des populations différentes :

- Tous les éclats (silex à grain fin et silex à grain grossier confondus).
- Toutes les lames (silex à grain fin et silex à grain grossier confondus).
- Les éclats en silex à grain fin.
- Les éclats en silex à grain grossier.
- Les lames en silex à grain fin.
- Les lames en silex à grain grossier.

L'axe des ordonnées porte une échelle de pourcentages de 0 à 100%, de 20% en 20%, identique pour tous les graphiques à quelques exceptions près (fig.63/3 et 4, par exemple). Dans les cas où il a été nécessaire de limiter, en hauteur, l'axe des ordonnées, une partie de cet axe est ondulée pour attirer l'attention sur l'omission des valeurs intermédiaires (fig.103/1, par exemple).

Les nombres qui figurent sous les numéros des couches représentent le nombre total de supports considérés, nombre à partir duquel sont calculés les pourcentages pour chaque modalité. Pour des raisons pratiques, ces chiffres sont donnés sur deux fonds de graphes (fig.D et E de cette introduction) et ne sont plus rappelés, sauf dans le cas où ils sont différents des effectifs



d'origine des supports entiers, soit parce qu'ils incluent, en plus, les parties proximales (aspect du talon, préparation, etc.), soit parce qu'ils ne concernent qu'une partie des effectifs (emplacement du cortex, par exemple); ils sont alors reportés sur les graphiques, sous forme de tableaux annexes ou directement sous le numéro des couches correspondantes. Dans quelques cas, comme celui des talons rares (fig.64), le nombre qui figure sous le numéro des couches représente l'effectif des supports correspondant aux modalités figurées sur le graphe, mais les proportions ont été calculées par rapport à la totalité des supports, pour le caractère considéré.

Sur certains autres graphiques, comme celui des talons lisses et des talons punctiformes (fig.60/2), les effectifs ont été inscrits sur chacun des graphes: d'une part, leur somme ne représentent pas uniquement le nombre de supports entiers, puisque certains graphes rassemblent les parties proximales des supports entiers et celles des fragments proximaux et, d'autre part, la somme des pourcentages ne totalise pas 100, car les pourcentages de chaque graphe ont été calculés par rapport à chacune des catégories considérées (supports entiers, fragments proximaux et supports entiers + fragments proximaux). Par exemple, le pourcentage de talons lisses sur supports entiers a été calculé par rapport à la totalité des talons de tous types sur supports entiers; pour les talons lisses des supports entiers rassemblés aux talons lisses des fragments proximaux, les pourcentages ont été calculés par rapport à l'effectif total des talons des supports entiers et des fragments proximaux.

### Présentation des tableaux généraux

Les données qui résultent du tri des modalités des caractères morphologiques observés sur les *supports entiers* ont été rassemblées dans des tableaux de deux types différents: ces tableaux figurent à la fin de l'annexe graphique. Malgré les difficultés de lecture qu'entraîne la dimension des tableaux, ce mode de présentation synthétique des données brutes et des pourcentages a paru préférable à la compilation des listings, généralement difficiles à consulter.

Une première série de tableaux, les *tableaux récapitulatifs sans tendance* (tableaux 1 à 12) regroupe toutes les données brutes, d'une part, et les pourcentages, d'autre part, de toutes les modalités de caractères, sans indication des tendances vers les schémas opératoires A (sans mise en forme) ou B (avec mise en forme). Dans ces tableaux, les résultats ne proviennent que des supports entiers, sauf, pour la partie proximale: les indications concernant l'aspect du talon, la préparation et la trace du point d'impact proviennent des supports entiers et des fragments proximaux rassemblés; les pourcentages des modalités de ces trois caractères morphologiques ont servi à tracer les graphiques. La présence d'une lèvre n'a été notée que sur les supports entiers.

Une seconde série de tableaux, les *tableaux récapitulatifs par tendances* (tableaux 13 à 54), regroupe les données brutes, d'une part, et les pourcentages, d'autre part, de toutes les modalités de caractères en fonction de leur lien supposé avec les schémas opératoires qui ont été proposés dans les hypothèses de travail (cf. chapitre 2) et d'après deux tableaux-types, l'un pour les lames et l'autre pour les éclats (fig.27 et fig.28). Dans ces tableaux, seuls figurent les supports entiers; les fragments proximaux, qui n'ont pas été introduits dans les fichiers informatiques, n'ont pas été rajoutés

aux effectifs des supports entiers pour la recherche des tendances à partir de ces tableaux.

Tous les pourcentages ont été calculés par rapport à l'effectif total des supports considérés pour chacune des couches (éclats ou lames en fonction du type de silex). C'est à partir de ces pourcentages qu'ont été dessinés les graphiques des caractères morphologiques, sauf pour l'aspect du talon, la préparation et la trace du point d'impact.

### Utilisation des tableaux récapitulatifs par tendances

Grâce à ces tableaux, il est possible de regrouper, couche par couche, les données brutes (tableau de gauche) et les proportions (tableau de droite) des modalités.

Le cartouche situé en haut à droite indique la catégorie de supports considérée (éclats ou lames), le numéro de la couche et le nombre de supports examinés, précédés, lorsqu'il y a distinction selon le type du silex, d'une lettre (F ou G) indiquant s'ils sont en silex à grain fin (F) ou en silex à grain grossier (G).

En regard de chaque modalité (colonne centrale) figure, dans une case rectangulaire aux contours épaissis, le nombre de fois où cette modalité a été observée sur les supports considérés.

Pour chacun des caractères, tous les supports sont passés en revue et, sauf dans les cas où les modalités ont été supprimées parce qu'elles n'apportent pas d'indication, on doit retrouver pour chaque caractère, à travers la somme des effectifs des modalités, un nombre égal à celui des supports de la couche.

Les pourcentages des modalités sont calculés, pour chaque caractère isolément, à partir du nombre total des supports examinés. Même lorsque les modalités ne figurent pas dans le tableau, elles sont intégrées au calcul. Les cas particuliers sont précisés au fur et à mesure de l'étude.

### Dessin des éléments de débitage

La représentation graphique des outillages lithiques obéit à un certain nombre de "règles" qui sont tacitement suivies par les préhistoriens : l'éclairage provient du haut et de la gauche, l'objet à une position précise selon son type et son axe longitudinal, etc. (DAUVOIS, 1976 : 23-34). Pour les outils, la partie dite "active" est généralement située vers le haut, dans le cas où une seule des extrémités est retouchée.

Pour les éléments de débitage, les modes de représentation sont moins rigoureux et, pour les supports bruts, la partie proximale (talon) est figurée soit en haut, soit en bas. Il en est de même pour les nucléus dont la position du plan de frappe, lorsqu'il n'y en a qu'un, varie d'une publication à l'autre.

Dans cet ouvrage, on a choisi d'illustrer les objets en mettant l'accent sur l'aspect technologique. On les a dessinés dans la position qu'ils ont, le plus souvent, entre les mains de l'artisan-tailleur : les nucléus sont représentés avec le plan de frappe en haut et les supports, qui sont le résultat d'une action sur le plan de frappe et dont le talon est une partie détachée du plan de frappe, sont dessinés avec la partie proximale en haut.

Lorsqu'on cherche à comprendre comment un support a été débité, on a tendance à imaginer sa position, dans l'espace, par rapport au nucléus dont il provient. Pour cette raison, on est tenté de le dessiner différemment

des normes traditionnelles. Le cas s'est posé pour la représentation des éclats avec talon à lèvre (fig. 147) : au-dessus d'une série de dessins d'éclats "normalisés", on a représenté ces mêmes éclats en plaçant la surface du talon à l'horizontale. Cela permet de mieux réaliser la position de l'éclat par rapport à l'orientation du plan de frappe entre les mains de l'artisan-tailleur, au moment de l'extraction, et de mieux comprendre la position de la surface débitée par rapport au plan de frappe. On peut ainsi reconstituer la morphologie du nucléus dont provient le support et retrouver le rôle de ce support dans le déroulement de la chaîne opératoire.

-----

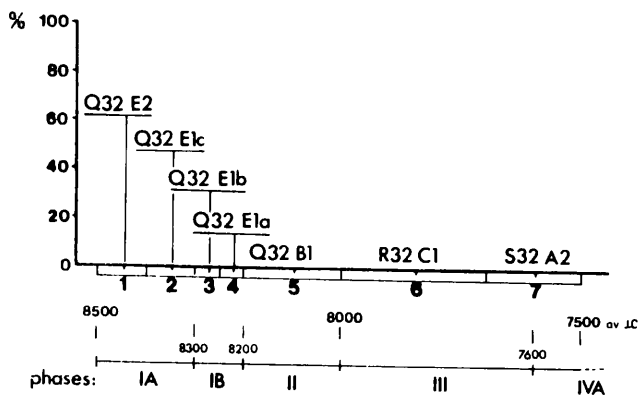


Fig. C - Repérage chronologique des couches étudiées.  
Chronological sequence of the layers studied.

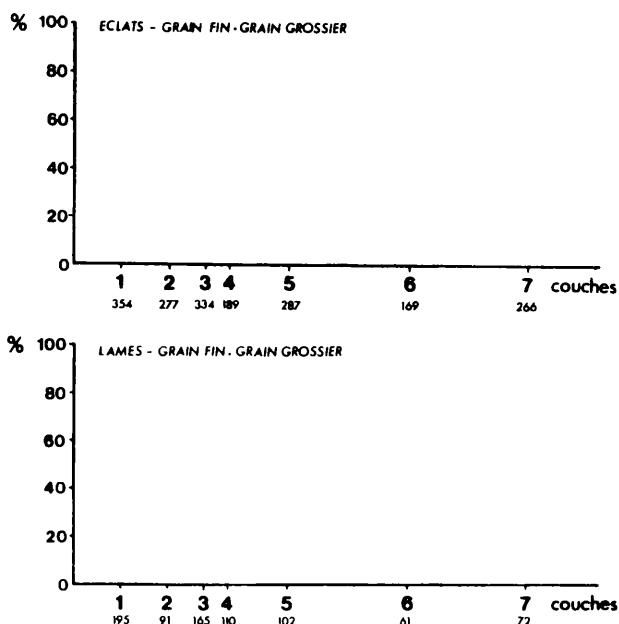


Fig. D - Effectifs des supports entiers, sans distinction de silex.  
Numbers of the complete blanks, all flint types included.

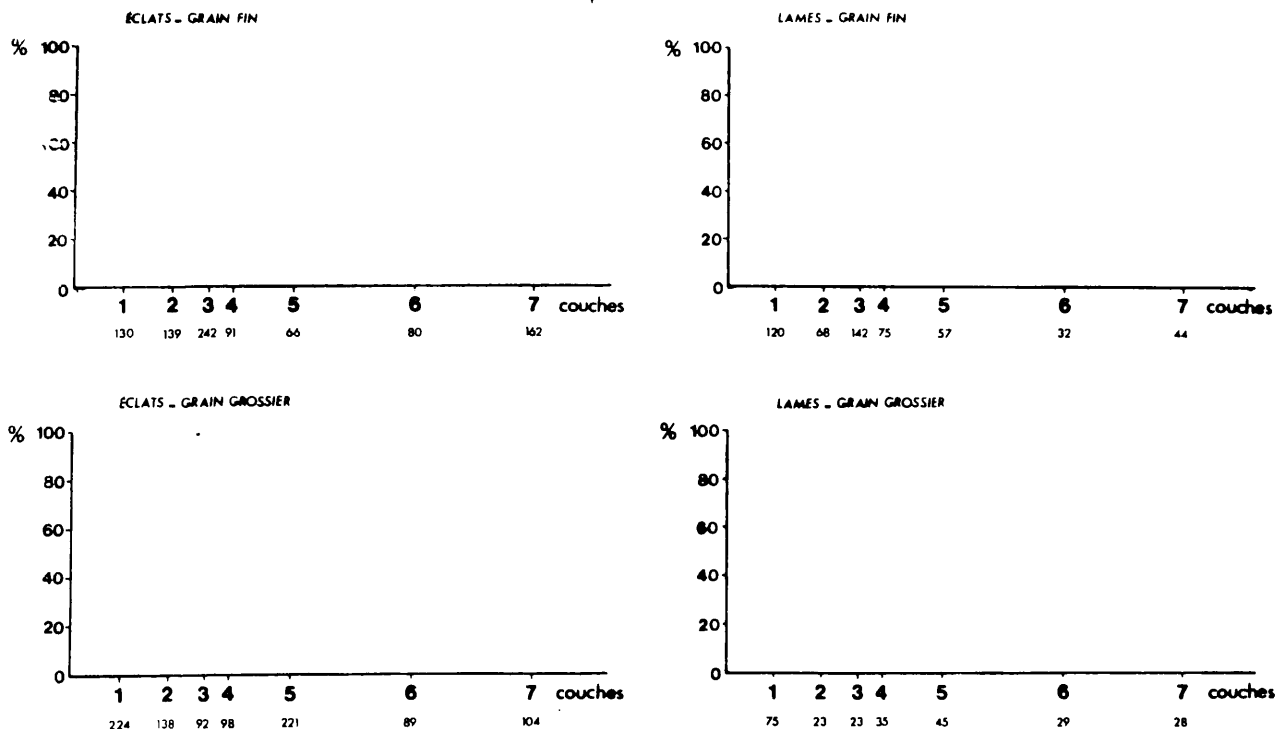


Fig. E - Effectifs des supports entiers en fonction du type de silex.  
Numbers of the complete blanks according to flint type.



## TABLE DES ILLUSTRATIONS

- Fig. 1 - Les chaînes opératoires.  
*Operational process (technological sequences).*
- Fig. 2 - Différents types de talons obtenus à partir d'un plan de frappe facetté.  
*Different kinds of butts obtained from a faceted platform.*
- Fig. 3 - Talons lisses.  
*Plain butts.*
- Fig. 4 - Talons punctiformes.  
*Punctiform butts.*
- Fig. 5 - Talons dièdres.  
*Dihedral butts.*
- Fig. 6 - Talons facettés.  
*Faceted butts.*
- Fig. 7 - Talons filiformes.  
*Linear butts.*
- Fig. 8 - Talons éversés.  
*Everted butts.*
- Fig. 9 - Préparation du rebord du plan de frappe.  
*Preparation of the platform angle.*
- Fig. 10 - Point d'impact (percussion directe au percuteur dur).  
*Point of impact (direct percussion with hard hammer).*
- Fig. 11 - Formes de l'extrémité distale.  
*Distal shapes.*
- Fig. 12 - Outrepassage.  
*Plunging end.*
- Fig. 13 - Réfléchissement et bourrelets.  
*Hinge fracture and ventral ripples.*
- Fig. 14 - Disposition des bords.  
*Arrangement of the edges.*
- Fig. 15 - Angles de percussion.  
*Angles of percussion.*
- Fig. 16 - Bulbe.  
*Bulb of percussion.*

- Fig. 17 - Courbure maximale de la face d'éclatement.  
*Maximum curvature of the ventral surface.*
- Fig. 18 - Profils.  
*Lateral profiles.*
- Fig. 19 - Disposition des négatifs d'enlèvements.  
*Arrangement of the removal scars.*
- Fig. 20 - Réfection de la surface débitée.  
*Refreshment of the flaking surface of the core.*
- Fig. 21 - Emplacement du cortex.  
*Location of the cortex.*
- Fig. 22 - Place des supports dans la chaîne opératoire.  
*Place of the products in the technological sequence.*
- Fig. 23 - Modèle de fiche de recensement.  
*Example of a record card.*
- Fig. 24 - Comparaison des modalités les plus significatives observées sur les lames et sur les lamelles.  
*Comparison of the most significant attributes observed on the blades and the bladelets.*
- Fig. 25 - Comparaison entre lames et lamelles (1).  
*Comparison between blades and bladelets (1).*
- Fig. 26 - Comparaison entre lames et lamelles (2).  
*Comparison between blades and bladelets (2).*
- Fig. 27 - Modèle du tableau récapitulatif des ECLATS.  
*Example of the record card for synthesis of FLAKE attributes.*
- Fig. 28 - Modèle du tableau récapitulatif des LAMES.  
*Example of record card for synthesis of BLADE attributes.*
- Fig. 29 - Mureybet et le Proche Orient pendant les périodes 1 et 2 (d'après AURENCHE et alii, 1981).  
*Mureybet and the Near East during the periods 1 and 2 (after AURENCHE et alii, 1981).*
- Fig. 30 - Plan du tell (d'après CAUVIN J., 1977).  
*Plan of the tell (after CAUVIN J., 1977).*
- Fig. 31 - Zone du tell fouillée par J. Cauvin.  
*Area of the tell excavated by J. Cauvin.*
- Fig. 32 - Stratigraphie du site définie par J. Cauvin: repérage des couches étudiées.  
*Stratigraphy of the site established by J. Cauvin (to show the levels studied).*
- Fig. 33 - Plan de la maison XLVII.  
*Map of house XLVII.*
- Fig. 34 - Composition du matériel (1).  
*Composition of the lithic assemblages (1).*

- Fig. 35 - Composition du matériel (2).  
*Composition of the lithic assemblages (2).*
- Fig. 36 - Composition du matériel (3).  
*Composition of the lithic assemblages (3).*
- Fig. 37 - Comparaison entre les supports non retouchés et les outils.  
*Comparison between blanks and tools.*
- Fig. 38 - Lames et lamelles (supports non retouchés et outils).  
*Blades and bladelets (blanks and tools).*
- Fig. 39 - Proportions de silex à grain fin et de silex à grain grossier sur l'ensemble du débitage, sans distinction de supports.  
*Proportion of fine flint and coarse flint in all the debitage, without distinction as to type of blank.*
- Fig. 40 - Composition du matériel: distinction en fonction du type de silex  
*Composition of the assemblage: distinction according to flint type.*
- Fig. 41 - Distinction en fonction du type de silex: effectifs et proportions.  
*Distinction according to flint type: number and proportions.*
- Fig. 42 - Supports non retouchés et outils en fonction du type de silex.  
*Blanks and tools according to flint type.*
- Fig. 43 - Lames et lamelles en fonction du type de silex.  
*Blades and bladelets according to flint type.*
- Fig. 44 - Comparaison entre supports non retouchés et outils, en fonction du type de silex.  
*Comparison between blanks and tools according to flint type.*
- Fig. 45 - Comparaison entre supports non retouchés et outils: effectifs et proportions.  
*Comparison between blanks and tools: number and proportions.*
- Fig. 46 - Poids des supports non retouchés et des outils (sans distinction de silex).  
*The weight of all the unretouched products and tools (all flint types included).*
- Fig. 47 - Poids des supports non retouchés et des outils: effectifs et proportions.  
*The weight of all the unretouched products and tools: number and proportions.*
- Fig. 48 - Poids en fonction du type de silex et comparaison entre poids et proportions.  
*Weight according to flint type and comparison between weight and proportions.*
- Fig. 49 - Poids en fonction du type de silex.  
*Weight according to flint type.*
- Fig. 50 - Poids en fonction du type de silex: effectifs et proportions.  
*Weight according to flint type: number and proportions.*



- Fig. 51 - Proportions des supports corticaux (1).  
*Proportions of the cortical blanks (1).*
- Fig. 52 - Proportions des supports corticaux (2).  
*Proportions of the cortical blanks (2).*
- Fig. 53 - Les supports entiers: effectifs et poids.  
*Complete blanks: number and proportions.*
- Fig. 54 - Effectifs, pourcentages et graphiques (supports et type de silex) à partir de l'étude de J.H. Skinner (1968).  
*Number, percentages and diagrams (blanks and flint type) (after SKINNER, 1968).*
- Fig. 55 - Effectifs, pourcentages et graphiques (supports bruts et outils) à partir de l'étude de J.H. Skinner. *Number, percentages and diagrams (blanks and tools) (after SKINNER, 1968).*
- Fig. 56 - Supports bruts et outils d'après l'étude de M.-C. Cauvin (1978).  
*Blanks and tools (after M.-C. CAUVIN, 1978).*
- Fig. 57 - Comparaison entre outils et supports bruts en fonction du type de supports, d'après l'étude de M.-C. Cauvin.  
*Comparison between tools and blanks according to blank type (after M.-C. CAUVIN, 1978).*
- Fig. 58 - Effectifs et pourcentages des supports bruts et des outils, d'après l'étude de M.-C. Cauvin.  
*Number and percentages of the blanks and tools (after M.-C. CAUVIN, 1978).*
- Fig. 59 - Comparaison entre le débitage des couches n°5, n°6 et n°7 et les débitages étudiés par M.-C. Cauvin et J.H. Skinner. Les niveaux de M. van Loon ont été regroupés selon les phases définies par J. Cauvin.  
*Comparison between the debitage from layers 5, 6 and 7, and the debitage studied by M.-C. Cauvin and J.H. Skinner. The van Loon levels are grouped according to Cauvin's phases.*
- Fig. 60 - Comparaison des différentes proportions de talons entre supports entiers et fragments proximaux (éclats, lames, silex à grain fin et silex à grain grossier confondus).  
*Comparison of the different butt proportions between complete blanks and proximal fragments (flakes, blades, fine flint and coarse flint).*
- Fig. 61 - Vérification de la représentativité statistique des parties proximales: test d'homogénéité appliqué aux talons lisses et aux talons punctiformes.  
*Verification of statistical representivity of the proximal ends. Homogeneity test applied to plain and punctiform butts.*
- Fig. 62 - Comparaison entre les talons lisses, écrasés et punctiformes sur les éclats (supérieurs à 3 cm<sup>2</sup> et compris entre 1 et 3 cm<sup>2</sup>) en silex à grain fin et en silex à grain grossier.  
*Comparison between plain, crushed and punctiform butts on flakes (according to the size of the flakes and the flint type).*

- Fig. 63 - Aspect du talon.  
*Form of the butt.*
- Fig. 64 - Aspect du talon: tous les talons.  
*Form of the butt: all butts.*
- Fig. 65 - Aspect du talon: les talons "rares".  
*Form of the butt: "rare" butt types.*
- Fig. 66 - Aspect du talon: sur les éclats de 1 à 3 cm<sup>2</sup>.  
*Form of the butt on flakes of 1 to 3 cm<sup>2</sup>.*
- Fig. 67 - Présence d'une lèvre.  
*Presence of a lip.*
- Fig. 68 - Dimensions des éclats avec talon à lèvre.  
*Dimensions of flakes with lipped butt.*
- Fig. 69 - Préparation.  
*Preparation of flaking angle.*
- Fig. 70 - Marque du point d'impact.  
*Trace of point-of-impact of removal blow.*
- Fig. 71 - Préparation et impact sur les éclats de 1 à 3 cm<sup>2</sup>.  
*Preparation of the platform angle and trace of the point-of-impact on the flakes of 1 to 3 cm<sup>2</sup>.*
- Fig. 72 - Comparaison entre préparation et impact (1).  
*Comparison of the proportions between the preparation of the platform angle and the trace of the point-of-impact (1).*
- Fig. 73 - Comparaison entre préparation et impact (2).  
*Comparison of the proportions between the preparation of the platform angle and the trace of the point-of-impact (2).*
- Fig. 74 - Présence d'une préparation ou d'un impact en fonction du type de talon.  
*Presence of a preparation of the platform angle or a trace of the point-of-impact according to butt type.*
- Fig. 75 - Aspect de l'extrémité distale (1).  
*Shape of the distal end (1).*
- Fig. 76 - Aspect de l'extrémité distale (2).  
*Shape of the distal end (2).*
- Fig. 77 - Accidents de l'extrémité distale (1).  
*Accidents at the distal end (1).*
- Fig. 78 - Accidents de l'extrémité distale (2).  
*Accidents at the distal end (2).*
- Fig. 79 - Disposition des bords (1).  
*Arrangement of the edges (1).*
- Fig. 80 - Disposition des bords (2).  
*Arrangement of the edges (2).*

- Fig. 81 - Aspect du bulbe (1).  
*Shape of the bulb of percusslon (1).*
- Fig. 82 - Aspect du bulbe (2).  
*Shape of the bulb of percusslon (2).*
- Fig. 83 - Rapprochement entre l'aspect du bulbe et l'épaisseur du talon (en mm).  
*Connections between the shape of the bulb of percusslon and the thickness of the butt (in mm).*
- Fig. 84 - Rapprochement entre l'aspect du bulbe et l'épaisseur du talon: données numériques.  
*Connections betweeny the shape of the bulb of percusslon and the thickness of the butt (in mm): numerical data.*
- Fig. 85 - Courbure maximale de la face d'éclatement (1).  
*Maximum curvature of the ventral surface (1).*
- Fig. 86 - Courbure maximale de la face d'éclatement (2).  
*Maximum curvature of the ventral surface (2).*
- Fig. 87 - Profil (1).  
*Lateral profile (1).*
- Fig. 88 - Profil (2).  
*Lateral profile (2).*
- Fig. 89 - Disposition des négatifs d'enlèvements (1).  
*Arrangement of the removal scars (1).*
- Fig. 90 - Disposition des négatifs d'enlèvements (2).  
*Arrangement of the removal scars (2).*
- Fig. 91 - Sens d'extraction du support et comparaison avec la disposition des négatifs d'enlèvements.  
*Direction of the blow-of-removal from the core and comparison with the arrangement of the removal scars on the dorsal surface.*
- Fig. 92 - Orientation des négatifs par rapport au sens d'extraction du support.  
*Orientation of the removal scars on the dorsal surface in relation to the direction of the blow-of-removal from the core.*
- Fig. 93 - Aspect des nervures (1).  
*Shape of the ridges (1).*
- Fig. 94 - Aspect des nervures (2).  
*Shape of the ridges (2).*
- Fig. 95 - Présence de cortex.  
*Presence of cortex.*
- Fig. 96 - Emplacement du cortex.  
*Location of the cortex.*
- Fig. 97 - Emplacement du cortex: effectifs et proportions.  
*Location of the cortex: number and proportions.*
- Fig. 98 - Emplacement du cortex.

- Fig. 98 - Emplacement du cortex.  
*Location of the cortex.*
- Fig. 99 - Valeurs des khi-deux.  
*Values of the  $\chi^2$  test.*
- Fig. 100 - Moyennes et écarts-types des longueurs, largeurs, épaisseurs et rapports longueur/largeur sur les supports entiers.  
*Means and standard deviation of the length, width, thickness and length/width ratio of the complete blanks.*
- Fig. 101 - Différences entre les moyennes et les écarts-types (silex à grain grossier moins silex à grain fin).  
*Differences between means and standard deviation (coarse flint minus fine flint).*
- Fig. 102 - Longueur du talon, épaisseur du talon et angle d'éclatement.  
*Length and thickness of the butt, and flaking angle.*
- Fig. 103 - Représentation des moyennes des longueurs, largeurs, épaisseurs et du rapport longueur/largeur des supports entiers.  
*Graphical representation of the length, width, thickness and length/width ratio means of complete blanks.*
- Fig. 104 - Longueur, largeur, épaisseur et rapport longueur/largeur des supports allongés, en séparant les lames des lamelles (limite à 12 mm de large).  
*Length, width, thickness and length/width ratio of the elongated blanks, separating blades and bladelets (limit at 12 mm width).*
- Fig. 105 - Histogrammes des longueurs des éclats.  
*Histograms showing flake lengths.*
- Fig. 106 - Histogrammes des longueurs des lames.  
*Histograms showing blade lengths.*
- Fig. 107 - Histogrammes des largeurs des éclats.  
*Histograms showing flake widths.*
- Fig. 108 - Histogrammes des largeurs des lames.  
*Histograms showing blade widths.*
- Fig. 109 - Histogrammes des épaisseurs des éclats.  
*Histograms showing flake thicknesses.*
- Fig. 110 - Histogrammes des épaisseurs des lames.  
*Histograms showing blade thicknesses.*
- Fig. 111 - Histogrammes des largeurs de la totalité des supports élançés, fragments compris (silex à grain fin).  
*Histograms showing widths of all the elongated blanks including fragments (fine flint).*
- Fig. 112 - Histogrammes des largeurs des outils sur supports élançés en silex à grain fin.  
*Histograms showing widths of tools on elongated blanks of fine flint.*

- Fig. 113 - Synthèse des modalités sur les ECLATS (silex à grain fin et silex à grain grossier).  
*Synthesis of the attributes of the FLAKES (fine flint and coarse flint).*
- Fig. 114 - Synthèse des modalités sur les LAMES (silex à grain fin et silex à grain grossier).  
*Synthesis of the attributes of the BLADES (fine flint and coarse flint).*
- Fig. 115 - Comparaison, en fonction du type de silex, des modalités les plus significatives.  
*Comparison of the most significant attributes according to the flint type.*
- Fig. 116 - Proportions, selon les couches, des modalités les plus significatives sur les ECLATS.  
*Proportions of the most significant attributes of the FLAKES, according to layer.*
- Fig. 117 - Proportions, selon les couches, des modalités les plus significatives sur les LAMES.  
*Proportions of the most significant attributes of the BLADES, according to layer.*
- Fig. 118 - Recensement des modalités significatives, couche par couche.  
*Inventory of the significant attributes, layer by layer.*
- Fig. 119 - Synthèse des effectifs totalisés en fonction de leur tendance et de leur degré de probabilité.  
*Synthesis of the number totalled according to their tendency (schema A or B) and their degree of probability.*
- Fig. 120 - Représentation des tendances en fonction du type de support.  
*Representation of the tendencies, according to blank type.*
- Fig. 121 - Calcul des tendances avec coefficients, pour éclats et lames, sans distinction de grain.  
*Calculation of the tendencies with coefficients, for flakes and blades, without distinction as to type of flint.*
- Fig. 122 - Représentation des diverses tendances enregistrées sur les éclats et sur les lames, selon leur degré de probabilité et en fonction du type de silex.  
*Representation of the various tendencies recorded on the flakes and the blades, according to their degree of probability and to the flint type.*
- Fig. 123 - Calcul des tendances avec des coefficients correspondant au degré de probabilité et en fonction de la nature du silex.  
*Calculation of the tendencies with coefficients corresponding to the degree of probability and according to the flint type.*
- Fig. 124 - Comparaison entre éclats et lames à l'intérieur de chaque tendance (1).  
*Comparison between flakes and blades for each tendency (1).*

- Fig. 125 - Comparaison entre éclats et lames à l'intérieur de chaque tendance (2).  
*Comparison between flakes and blades for each tendency (2).*
- Fig. 126 - Mode de percussion.  
*Method of percussion flaking.*
- Fig. 127 - Percuteurs en silex.  
*Flint hammers.*
- Fig. 128 - Nucléus de la couche n°1 (phase IA).  
*Cores from level n°1, phase IA.*
- Fig. 129 - Nucléus de la couche n°1 (phase IA).  
*Cores from level n°1, phase IA.*
- Fig. 130 - Nucléus de la couche n°1 (phase IA).  
*Cores from level n°1, phase IA.*
- Fig. 131 - Nucléus de la couche n°2 (phase IA).  
*Cores from level n°2, phase IA.*
- Fig. 132 - Nucléus de la couche n°3 (phase IB).  
*Cores from level n°3, phase IB.*
- Fig. 133 - Nucléus de la couche n°3 (phase IB).  
*Cores from level n°3, phase IB.*
- Fig. 134 - Nucléus de la couche n°4 (phase IB).  
*Cores from level n°4, phase IB.*
- Fig. 135 - Nucléus de la couche n°4 (phase IB).  
*Cores from level n°4, phase IB.*
- Fig. 136 - Nucléus de la couche n°6 (phase IIIA).  
*Cores from level n°6, phase IIIA.*
- Fig. 137 - Nucléus de la couche n°7 (phase IIIB).  
*Cores from level n°7, phase IIIB.*
- Fig. 138 - Nucléus de la couche n°7 (phase IIIB).  
*Cores from level n°7, phase IIIB.*
- Fig. 139 - Nucléus de la couche n°7 (phase IIIB).  
*Cores from level n°7, phase IIIB.*
- Fig. 140 - Nucléus de la couche n°7 (phase IIIB).  
*Cores from level n°7, phase IIIB.*
- Fig. 141 - Ebauche de mise en forme de la couche n°7 (phase IIIB).  
*Core rough-out from level n°7, phase IIIB.*
- Fig. 142 - Eléments de mise en forme et de ravivage (1).  
*Shaping and resharpening elements (1).*
- Fig. 143 - Eléments de mise en forme et de ravivage (2).  
*Shaping and resharpening elements (2).*
- Fig. 144 - Ravivage et réfection.  
*Resharpening and reworking elements.*

- Fig. 145 - Ravivage et supports particuliers.  
*Resharpenting elements and particular blanks.*
- Fig. 146 - Eclats outrepassés.  
*Plunging flakes.*
- Fig. 147 - Eclats avec talon à lèvre.  
*Flakes with lipped butt.*
- Fig. 148 - Les outils : effectifs et proportions.  
*Tools : number and proportions.*
- Fig. 149 - Les outils : supports retouchés.  
*Tools : retouched blanks.*
- Fig. 150 - Segments, microperçoirs, flèches et grattoirs.  
*Lunates, minute drills, arrowheads and scrapers.*
- Fig. 151 - Grattoirs sur éclats d'allure Levallois.  
*Scrapers on Levallois-like flakes.*
- Fig. 152 - Présentation générale des couches et de leur matériel lithique.  
*General presentation of the layers and their lithic assemblages.*
- Fig. 153 - Recensement du matériel lithique des couches n°1 et n°2 (phase IA).  
*Inventory of the lithic assemblages from the layers n°1 and n°2 (phase IA).*
- Fig. 154 - Recensement du matériel lithique des couches n°3 et n°4 (phase IB).  
*Inventory of the lithic assemblages from the layers n°3 and n°4 (phase IB).*
- Fig. 155 - Recensement du matériel lithique de la couche n°5 (phase II).  
*Inventory of the lithic assemblage from the layer n°5 (phase II).*
- Fig. 156 - Recensement du matériel lithique de la couche n°6 (phase IIIA).  
*Inventory of the lithic assemblage from the layer n°6 (phase IIIA).*
- Fig. 157 - Recensement du matériel lithique de la couche n°7 (phase IIIB).  
*Inventory of the lithic assemblage from the layer n°7 (phase IIIB).*
- Fig. 158 - Tableaux récapitulatifs des données publiées concernant le débitage (Natoufien ancien de l'Euphrate et Natoufien récent).  
*Tables summarising the published information about the debitage (Euphrates Early Natufian and Late Natufian).*
- Fig. 159 - Tableaux récapitulatifs des données publiées concernant le débitage (Natoufien final, Khiamien et Harifien).  
*Tables summarising the published information about the debitage (Final Natufian, Khiamian and Harifian).*
- Fig. 160 - Tableaux récapitulatifs des données publiées concernant le débitage (Proto-neolithic et horizon PPNA).  
*Tables summarising the published information about the debitage (Proto-Neolithic and PPNA Horizon).*

## TABLEAUX GENERAUX DES DONNEES

- Tableau 1 - ECLATS: données brutes.  
*FLAKES: absolute numbers.*
- Tableau 2 - ECLATS: pourcentages.  
*FLAKES: percentages.*
- Tableau 3 - Eclats en silex à grain fin: données brutes.  
*Fine-grain flint flakes: absolute numbers.*
- Tableau 4 - Eclats en silex à grain fin: pourcentages.  
*Fine-grain flint flakes: percentages.*
- Tableau 5 - Eclats en silex à grain grossier: données brutes.  
*Coarse-grain flint flakes: absolute numbers.*
- Tableau 6 - Eclats en silex à grain grossier: pourcentages.  
*Coarse-grain flint flakes: percentages.*
- Tableau 7 - LAMES: données brutes.  
*BLADES: absolute numbers.*
- Tableau 8 - LAMES: pourcentages.  
*BLADES: percentages.*
- Tableau 9 - Lames en silex à grain fin: données brutes.  
*Fine-grain flint blades: absolute numbers.*
- Tableau 10 - Lames en silex à grain fin: pourcentages.  
*Fine-grain flint blades: percentages.*
- Tableau 11 - Lames en silex à grain grossier: données brutes.  
*Coarse-grain flint blades: absolute numbers.*
- Tableau 12 - Lames en silex à grain grossier: pourcentages.  
*Coarse-grain flint blades: percentages.*

## TABLEAUX RECAPITULATIFS AVEC LES TENDANCES

- Tableau 13 - ECLATS: couche n°1.  
*FLAKES: layer n°1.*
- Tableau 14 - ECLATS: couche n°2.  
*FLAKES: layer n°2.2*
- Tableau 15 - ECLATS: couche n°3.  
*FLAKES: layer n°3.*
- Tableau 16 - ECLATS: couche n°4.  
*FLAKES: layer n°4.*
- Tableau 17 - ECLATS: couche n°5.  
*FLAKES: layer n°5.*
- Tableau 18 - ECLATS: couche n°6.  
*FLAKES: layer n°6.*



- Tableau 19 - ECLATS: couche n°7.  
*FLAKES: layer n°7.*
- Tableau 20 - Eclats en silex à grain fin: couche n°1.  
*Fine-grain flint flakes: layer n°1.*
- Tableau 21 - Eclats en silex à grain fin: couche n°2.  
*Fine-grain flint flakes: layer n°2.*
- Tableau 22 - Eclats en silex à grain fin: couche n°3.  
*Fine-grain flint flakes: layer n°3.*
- Tableau 23 - Eclats en silex à grain fin: couche n°4.  
*Fine-grain flint flakes: layer n°4.*
- Tableau 24 - Eclats en silex à grain fin: couche n°5.  
*Fine-grain flint flakes: layer n°5.*
- Tableau 25 - Eclats en silex à grain fin: couche n°6.  
*Fine-grain flint flakes: layer n°6.*
- Tableau 26 - Eclats en silex à grain fin: couche n°7.  
*Fine-grain flint flakes: layer n°7.*
- Tableau 27 - Eclats en silex à grain grossier: couche n°1.  
*Coarse-grain flint flakes: layer n°1.*
- Tableau 28 - Eclats en silex à grain grossier: couche n°2.  
*Coarse-grain flint flakes: layer n°2.*
- Tableau 29 - Eclats en silex à grain grossier: couche n°3.  
*Coarse-grain flint flakes: layer n°3.*
- Tableau 30 - Eclats en silex à grain grossier: couche n°4.  
*Coarse-grain flint flakes: layer n°4.*
- Tableau 31 - Eclats en silex à grain grossier: couche n°5.  
*Coarse-grain flint flakes: layer n°5.*
- Tableau 32 - Eclats en silex à grain grossier: couche n°6.  
*Coarse-grain flint flakes: layer n°6.*
- Tableau 33 - Eclats en silex à grain grossier: couche n°7.  
*Coarse-grain flint flakes: layer n°7.*
- Tableau 34 - LAMES: couche n°1.  
*BLADES: layer n°1.*
- Tableau 35 - LAMES: couche n°2.  
*BLADES: layer n°2.*
- Tableau 36 - LAMES: couche n°3.  
*BLADES: layer n°3.*
- Tableau 37 - LAMES: couche n°4.  
*BLADES: layer n°4.*
- Tableau 38 - LAMES: couche n°5.  
*BLADES: layer n°5.*

- Tableau 39 - LAMES: couche n°6.  
*BLADES: layer n°6.*
- Tableau 40 - LAMES: couche n°7.  
*BLADES: layer n°7.*
- Tableau 41 - Lames en silex à grain fin: couche n°1.  
*Fine-grain flint blades: layer n°1.*
- Tableau 42 - Lames en silex à grain fin: couche n°2.  
*Fine-grain flint blades: layer n°2.*
- Tableau 43 - Lames en silex à grain fin: couche n°3.  
*Fine-grain flint blades: layer n°3.*
- Tableau 44 - Lames en silex à grain fin: couche n°4.  
*Fine-grain flint blades: layer n°4.*
- Tableau 45 - Lames en silex à grain fin: couche n°5.  
*Fine-grain flint blades: layer n°5.*
- Tableau 46 - Lames en silex à grain fin: couche n°6.  
*Fine-grain flint blades: layer n°6.*
- Tableau 47 - Lames en silex à grain fin: couche n°7.  
*Fine-grain flint blades: layer n°7.*
- Tableau 48 - Lames en silex à grain grossier: couche n°1.  
*Coarse-grain flint blades: layer n°1.*
- Tableau 49 - Lames en silex à grain grossier: couche n°2.  
*Coarse-grain flint blades: layer n°2.*
- Tableau 50 - Lames en silex à grain grossier: couche n°3.  
*Coarse-grain flint blades: layer n°3.*
- Tableau 51 - Lames en silex à grain grossier: couche n°4.  
*Coarse-grain flint blades: layer n°4.*
- Tableau 52 - Lames en silex à grain grossier: couche n°5.  
*Coarse-grain flint blades: layer n°5.*
- Tableau 53 - Lames en silex à grain grossier: couche n°6.  
*Coarse-grain flint blades: layer n°6.*
- Tableau 54 - Lames en silex à grain grossier: couche n°7.  
*Coarse-grain flint blades: layer n°7.*



# REPRÉSENTATION SCHEMATIQUE DU DÉROULEMENT DE LA CHAÎNE OPÉRATOIRE DE LA PLUS SIMPLE À LA PLUS COMPLEXE

(A)

(B)

PROCESSUS TECHNIQUE SPONTANÉ  
À RÉSULTAT ALÉATOIRE  
PAR EXTRACTION LATÉRALE SUCCESSIVE  
SANS AXE PRIVILÉGIÉ

PROCESSUS TECHNIQUE RÉFLÉCHI  
À RÉSULTAT ESCOMPTÉ  
PAR EXTRACTION LATÉRALE SUCCESSIVE  
AVEC AXE PRIVILÉGIÉ

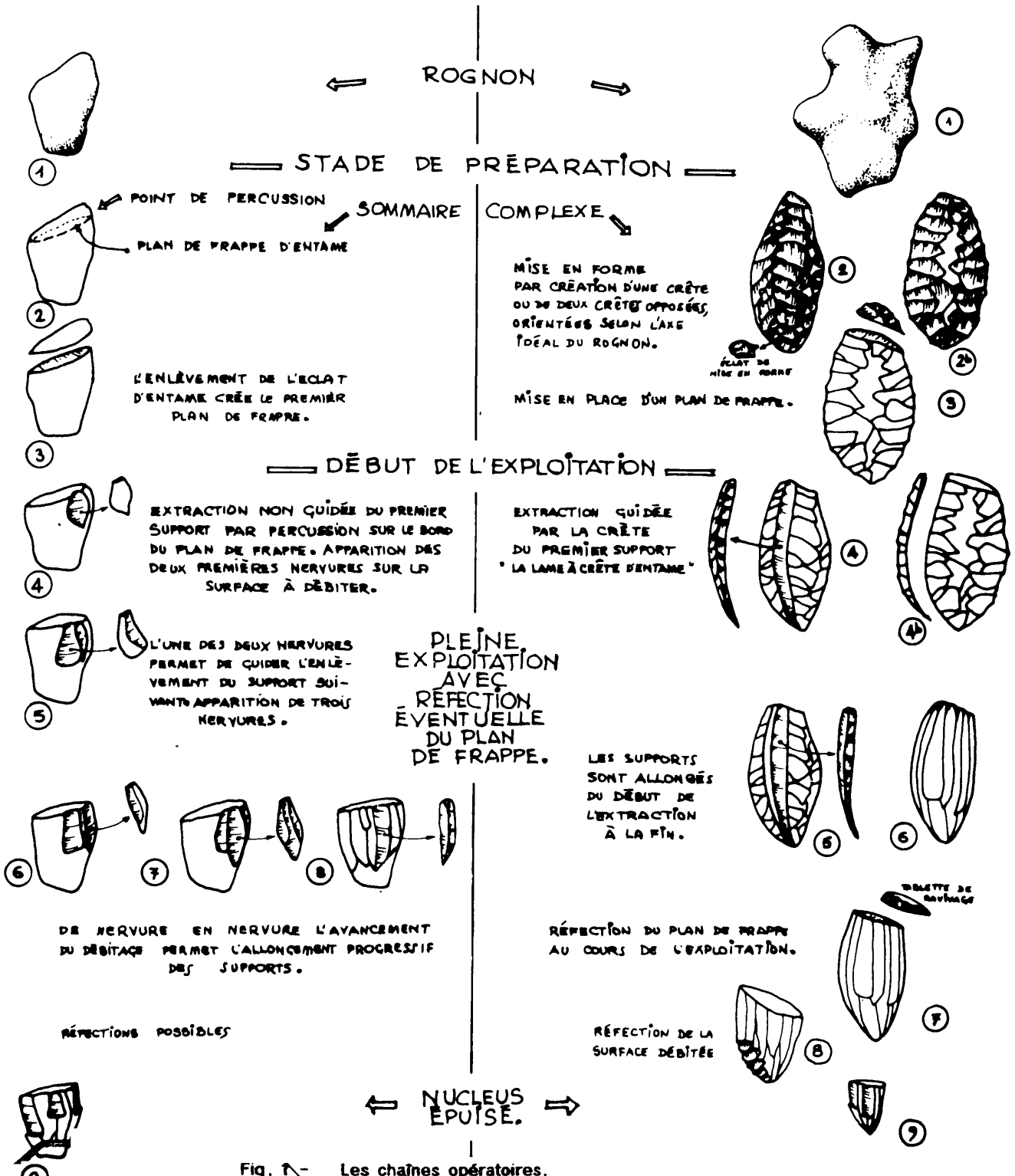


Fig. 1.- Les chaînes opératoires.

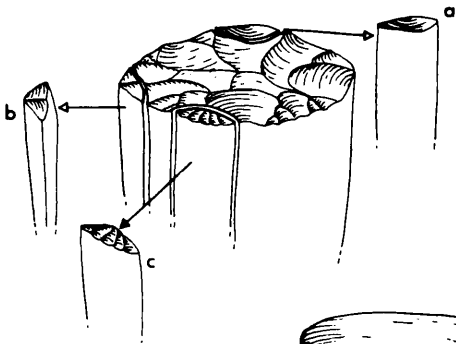


Fig. 2 - Différents types de talons obtenus à partir d'un plan de frappe facetté.  
Different kinds of butts obtained from a faceted platform.

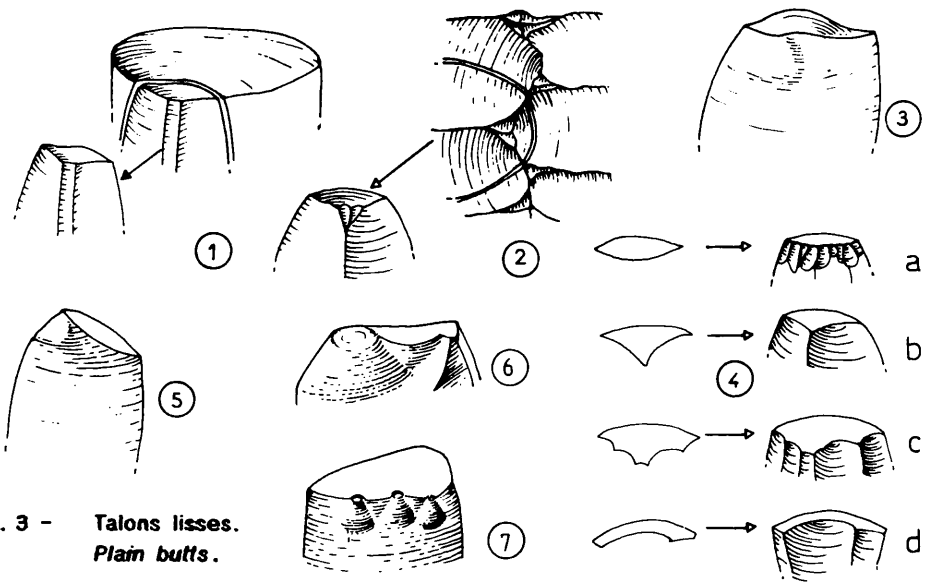


Fig. 3 - Talons lisses.  
Plain butts.

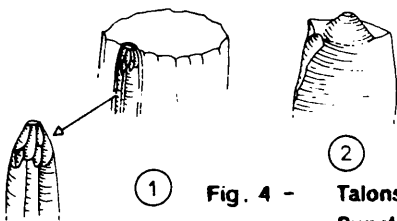
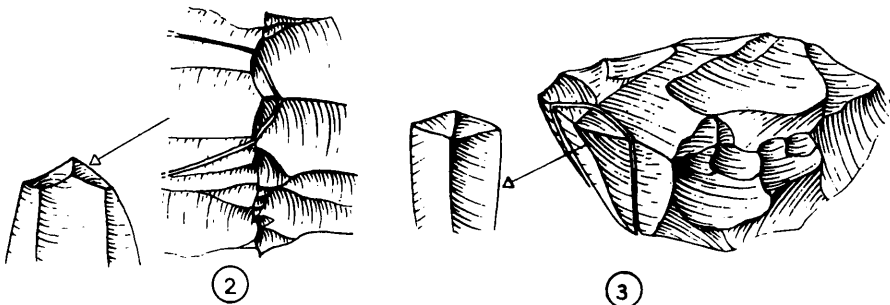


Fig. 4 - Talons punctiformes.  
Punctiform butts.

Fig. 5 - Talons dièdres.  
Dihedral butts.



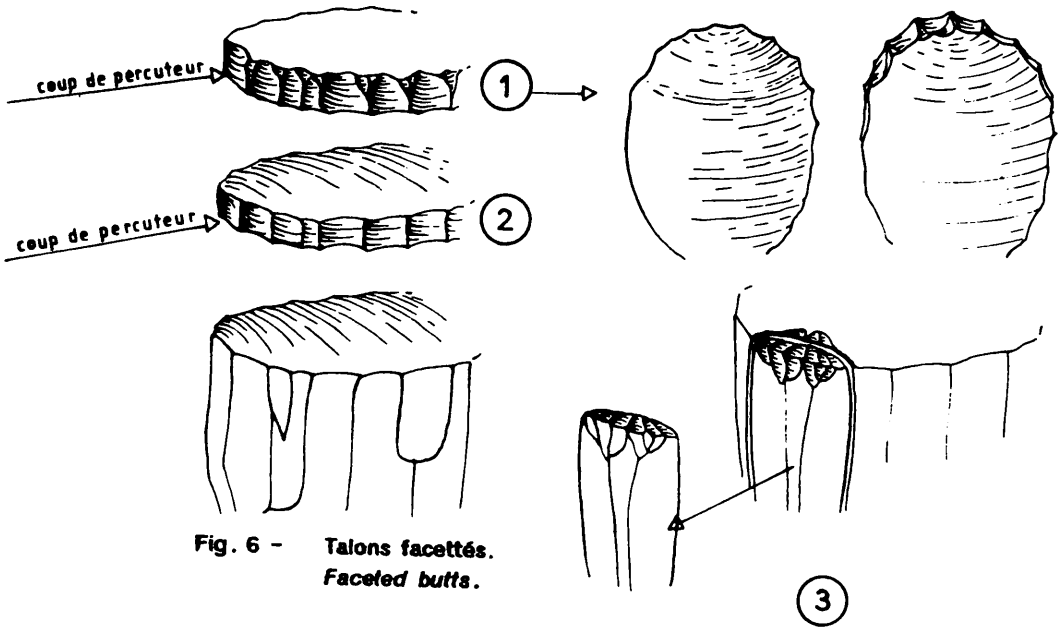


Fig. 6 - Talons facettés.  
Faceted butts.

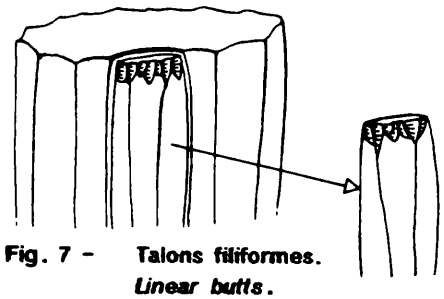


Fig. 7 - Talons filiformes.  
Linear butts.

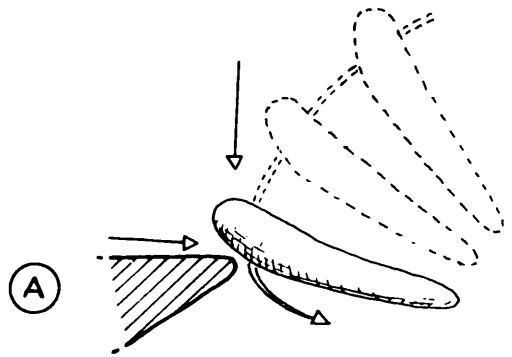
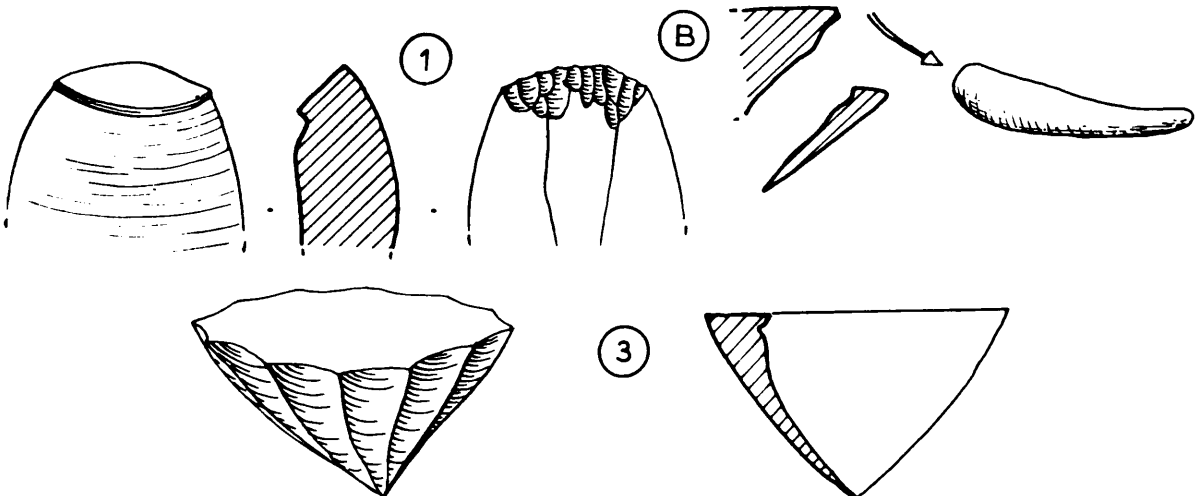
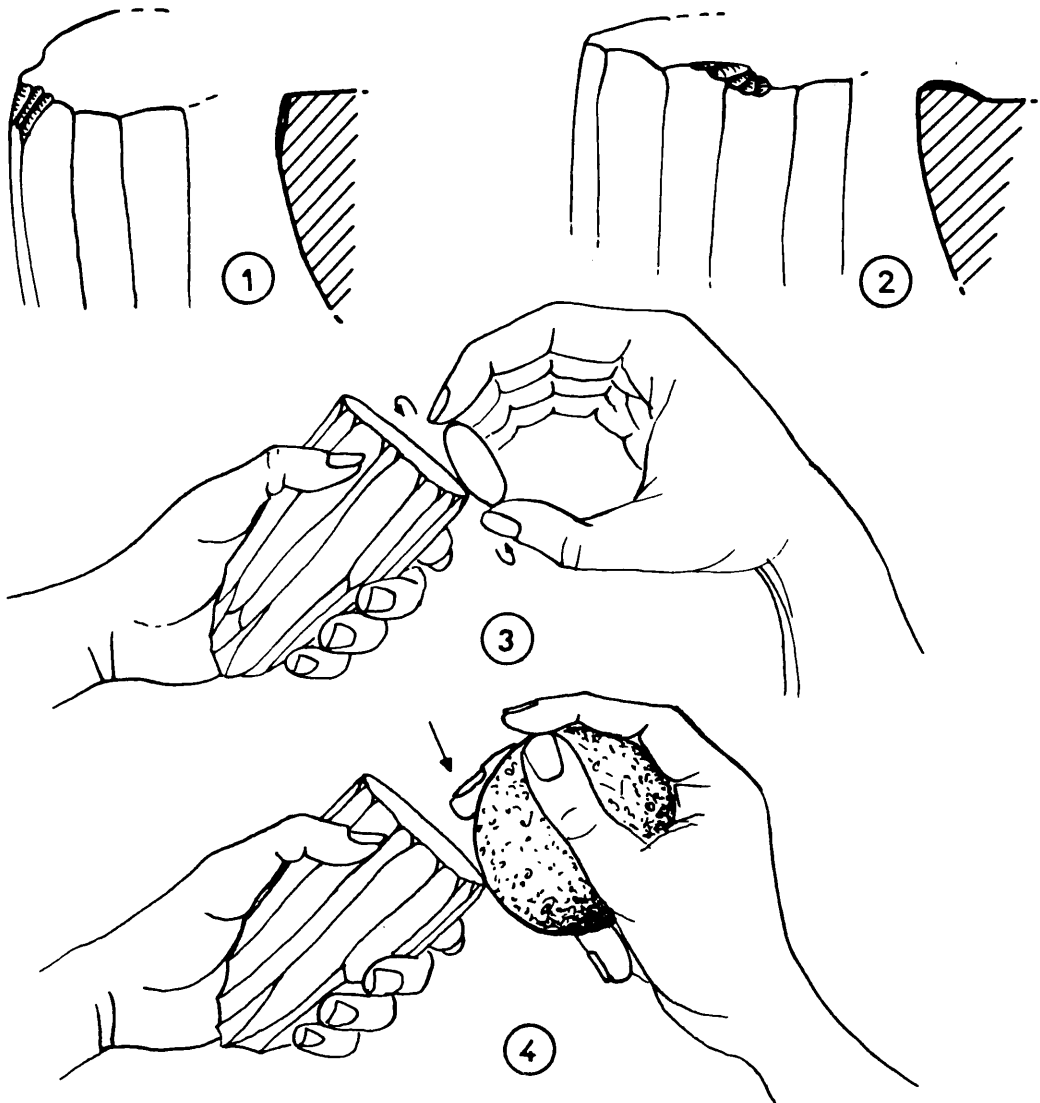


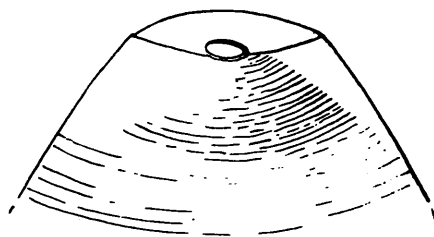
Fig. 8 - Talons éversés.  
Everted butts.



3



**Fig. 9 - Préparation du rebord du plan de frappe.**  
**Preparation of the platform angle.**



**Fig. 10 - Point d'impact (percussion directe au percuteur dur).**  
**Point of impact (direct percussion with hard hammer).**

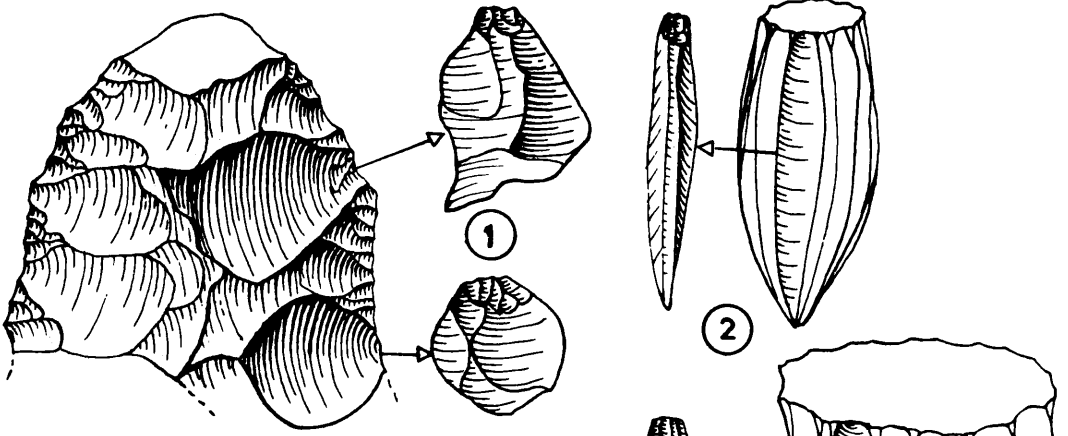


Fig. 11 - Formes de l'extrémité distale.  
Distal shapes.

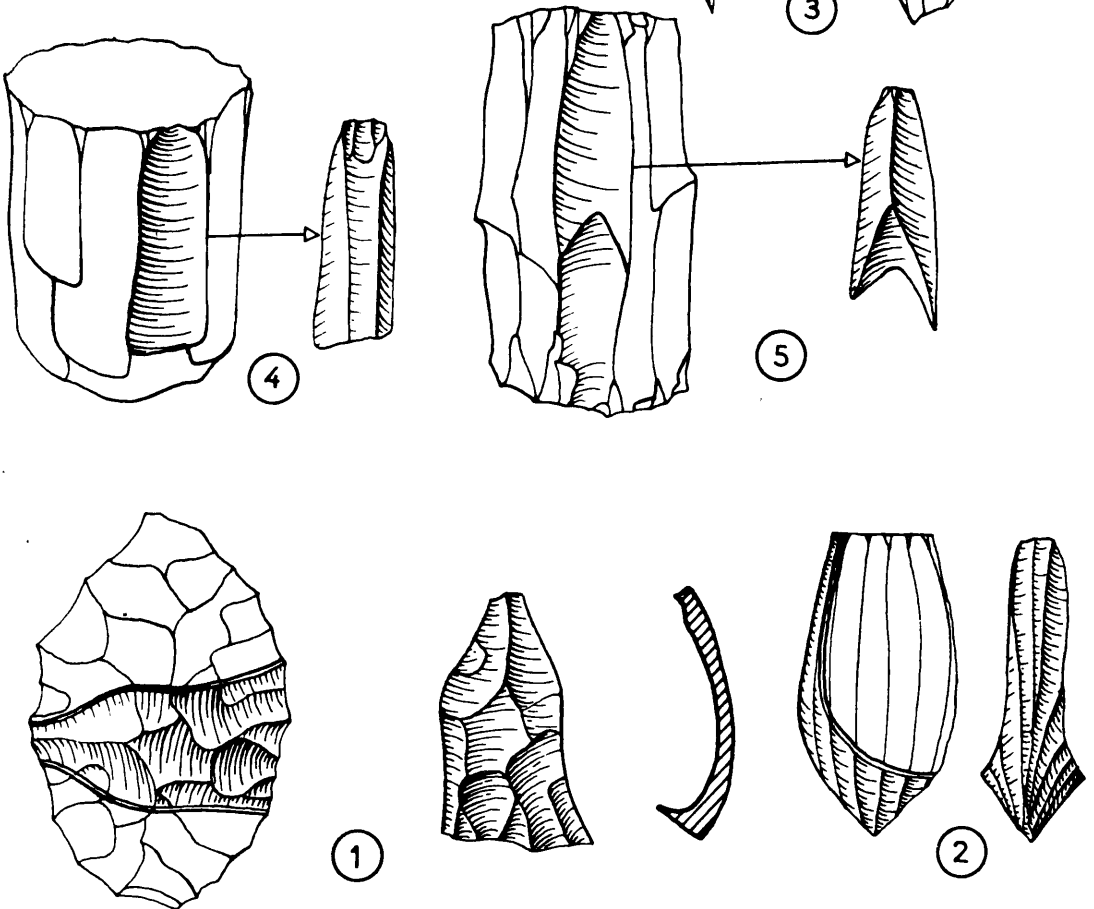


Fig. 12 - Outrepassage.  
Plunging end.



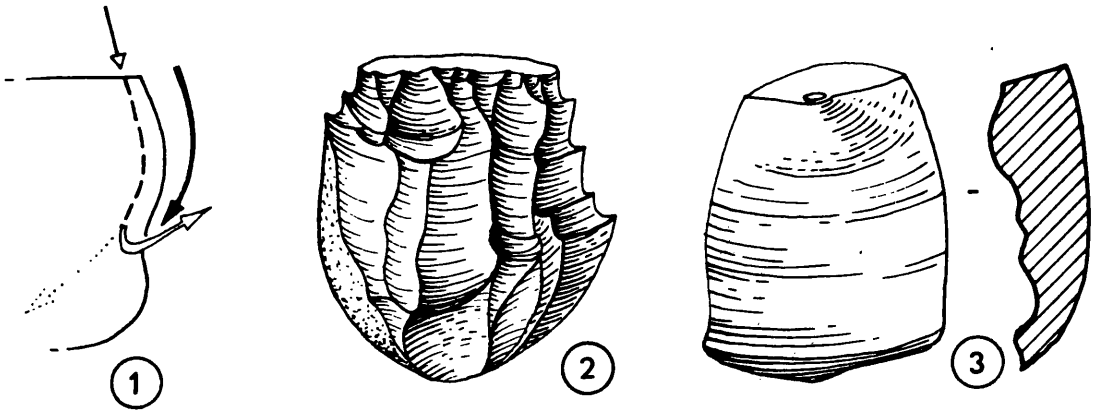


Fig. 13 - Réfléchissement et bourrelets.  
Hinge fracture and ventral ripples.

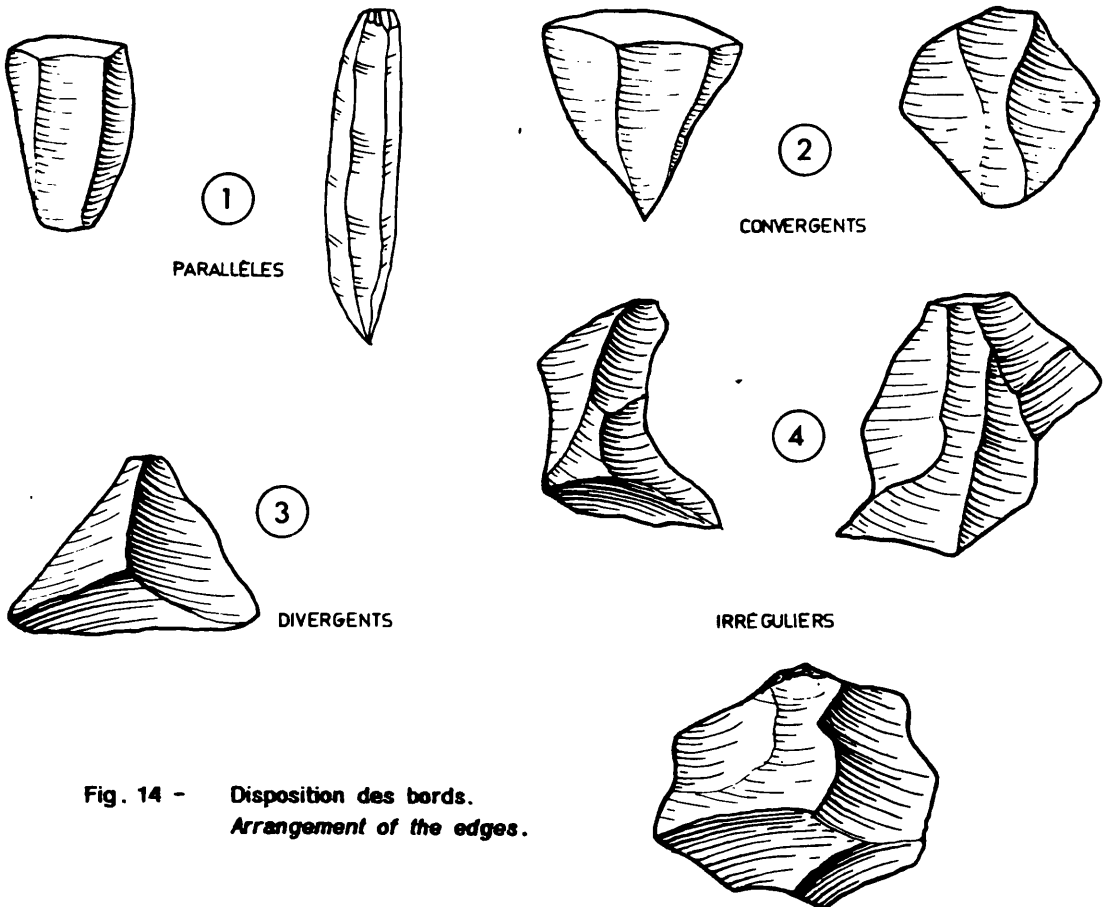


Fig. 14 - Disposition des bords.  
Arrangement of the edges.

ILLUSTRATIONS

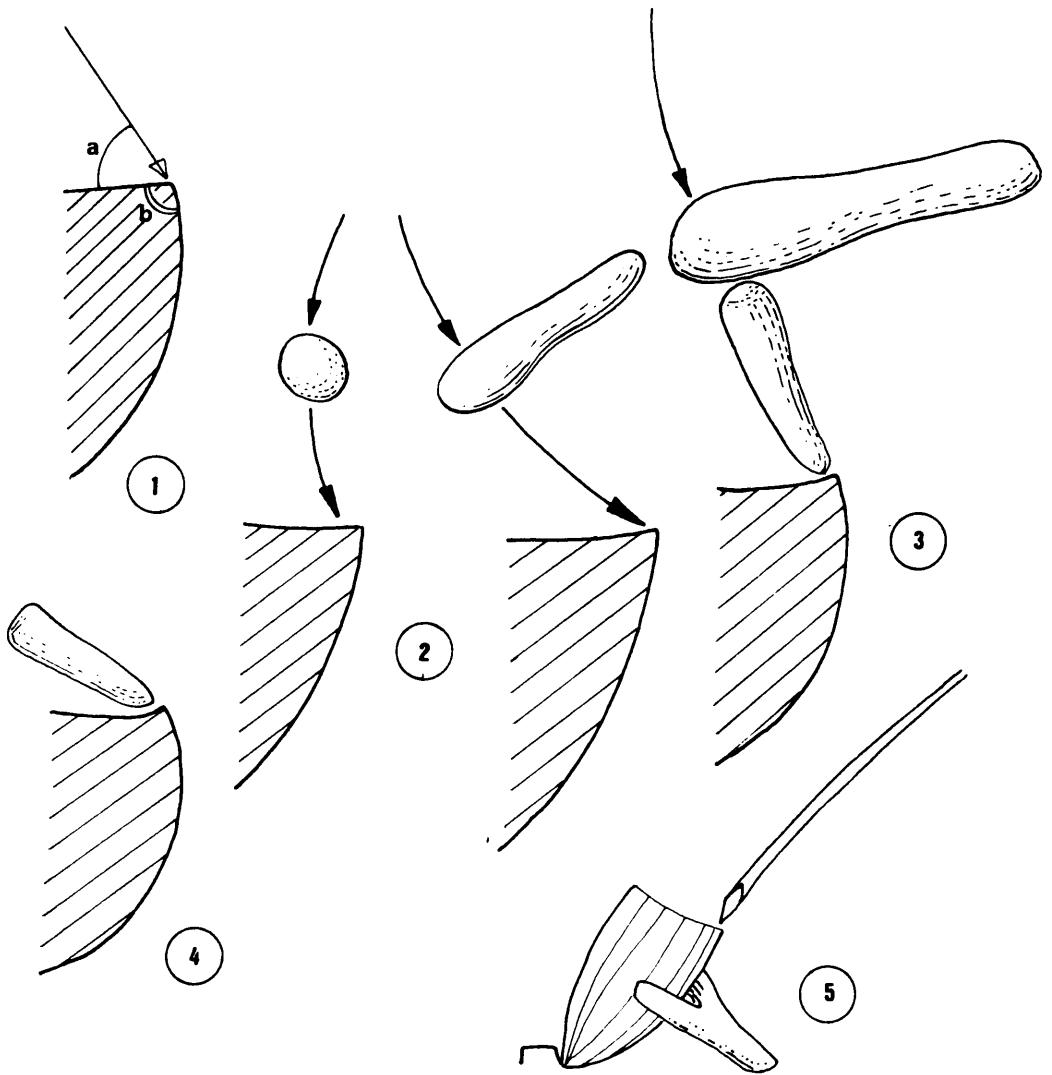


Fig. 15 - Angles de percussion.  
Angles of percussion.

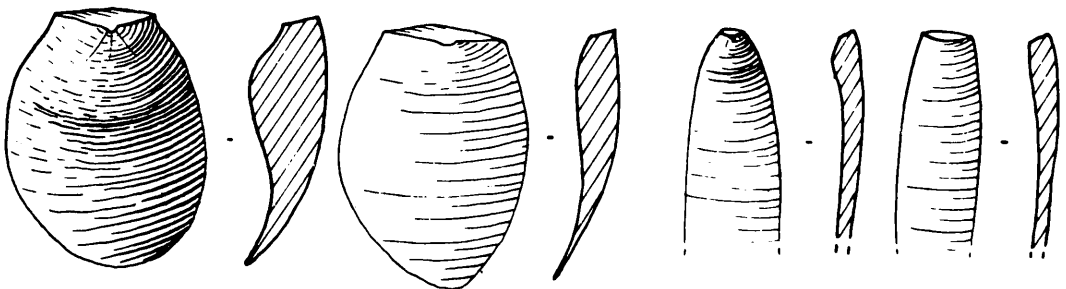


Fig. 16 - Bulbe.  
Bulb of percussion.

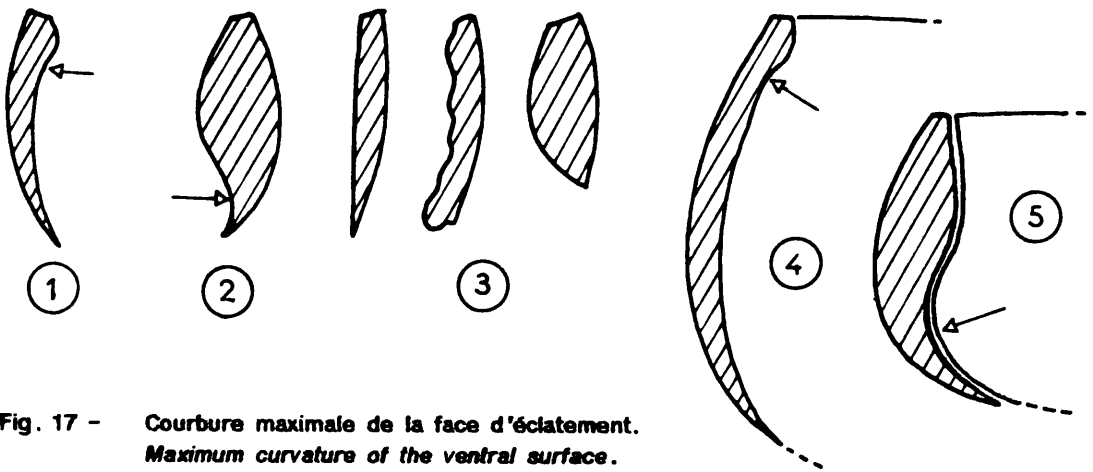


Fig. 17 - Courbure maximale de la face d'éclatement.  
Maximum curvature of the ventral surface.

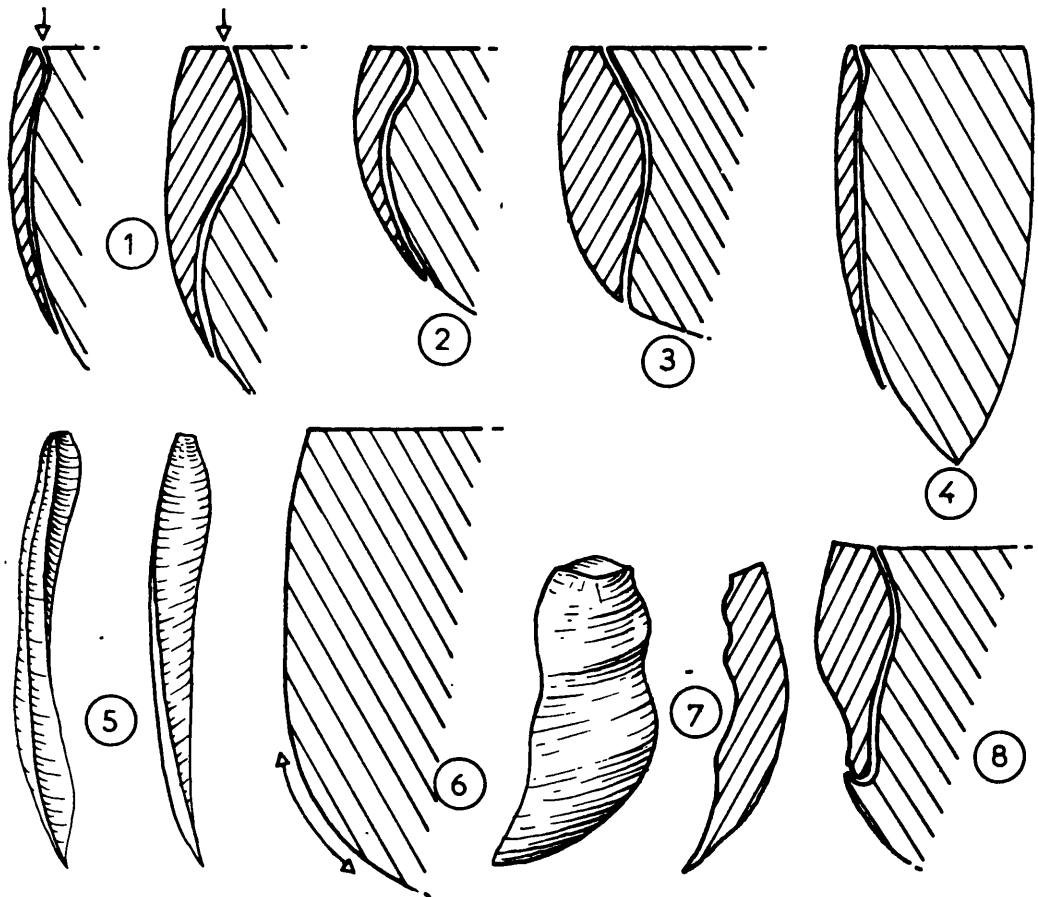


Fig. 18 - Profils.  
Lateral profiles.

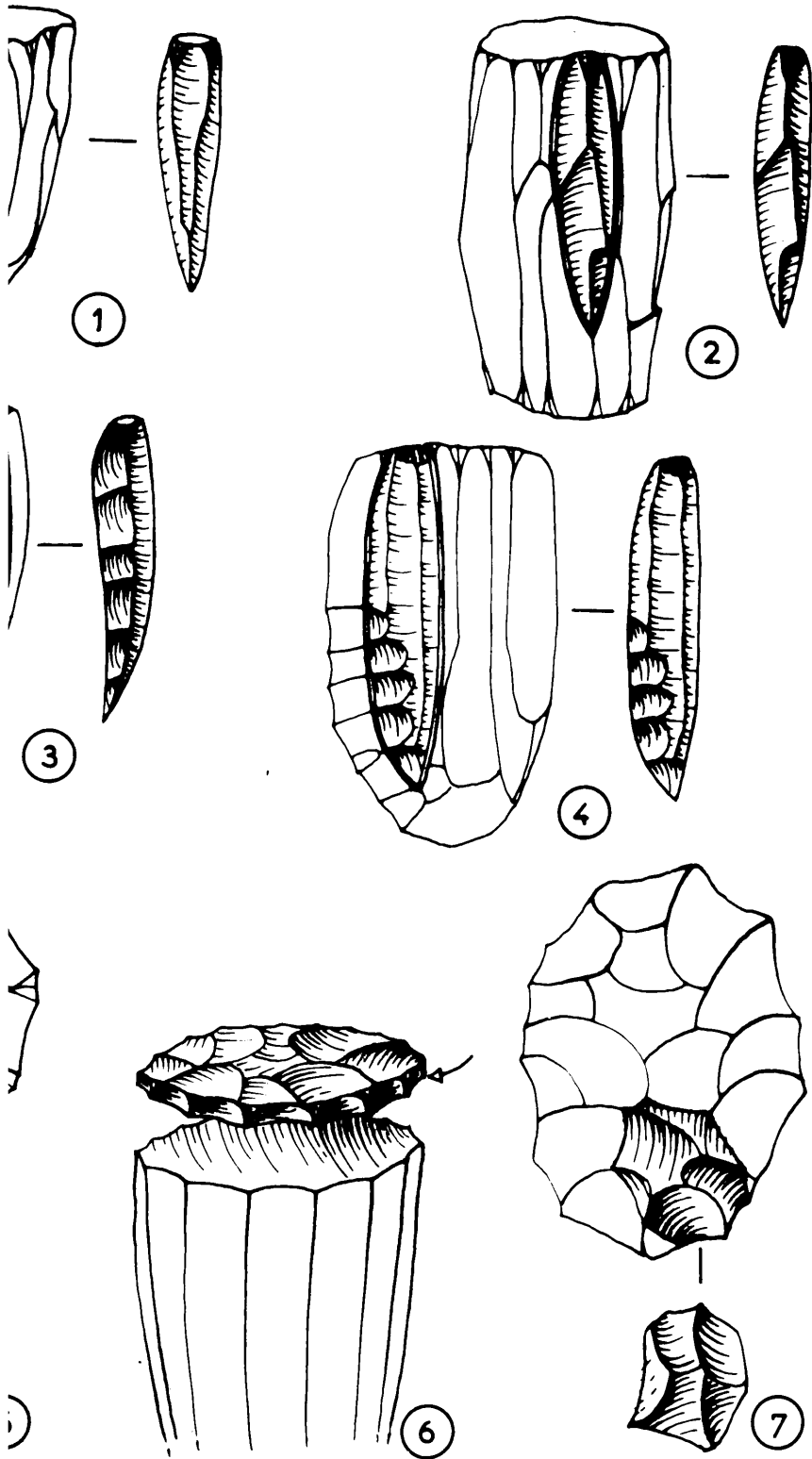


Fig. 19 - Disposition des négatifs d'enlèvements.  
 Arrangement of the removal scars.

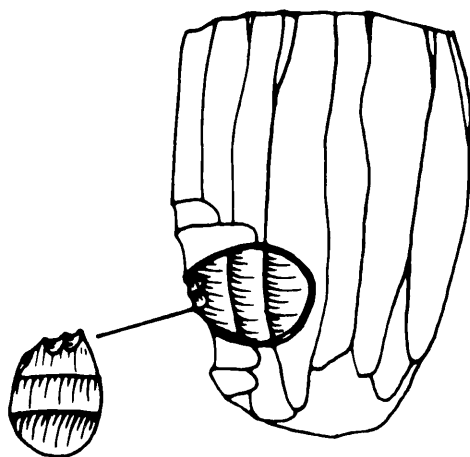


Fig. 20 - Réfection de la surface débitée.  
Refreshment of the flaking surface of the core.

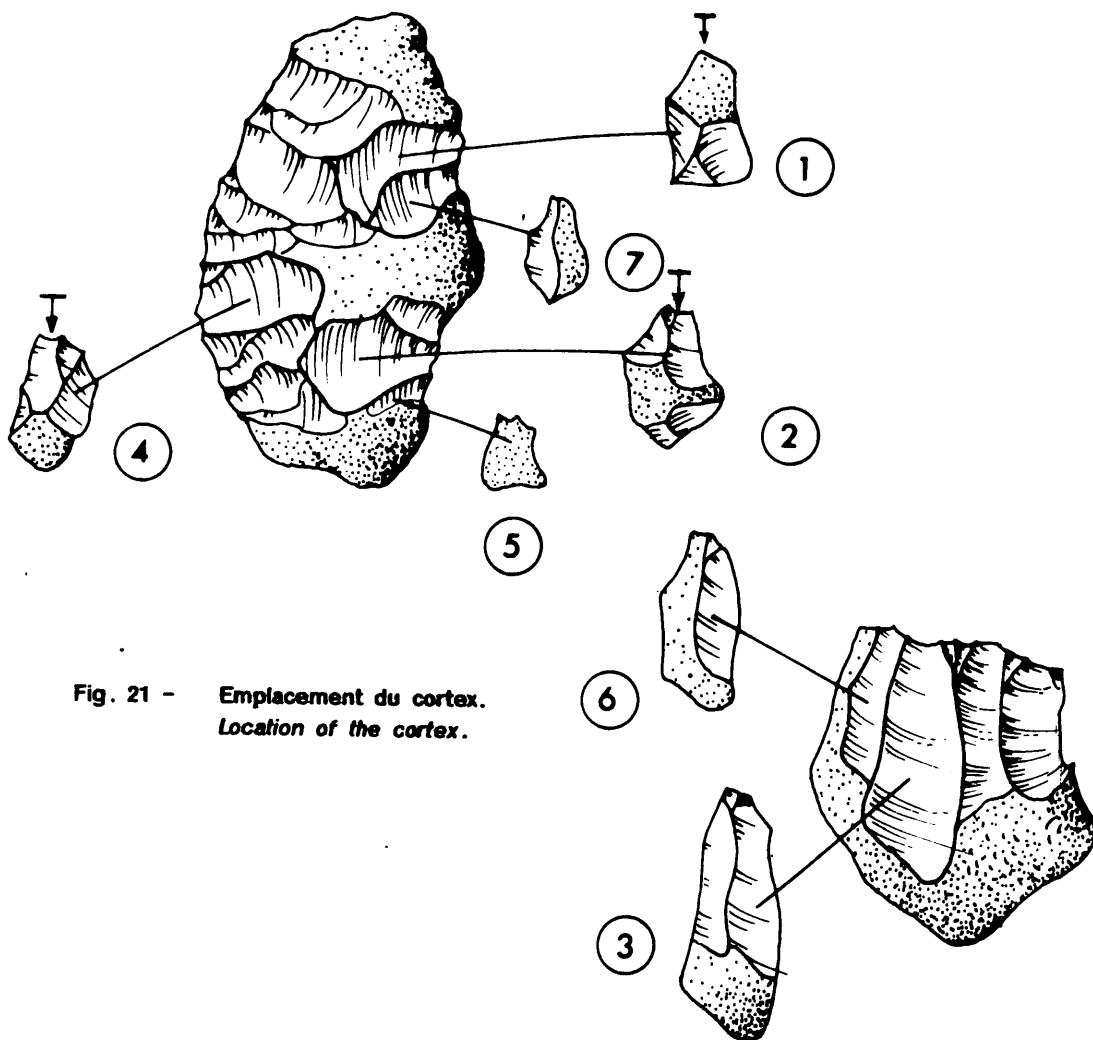


Fig. 21 - Emplacement du cortex.  
Location of the cortex.

<u>Catégories de tri</u>	<u>Définition</u>	<u>Phases techniques</u>	<u>Utilisation</u>
Eclats > 3 cm2	→ Supports prévus pour utilisation	{ <ul style="list-style-type: none"> <li>. Mise en forme</li> <li>. Exploitation</li> <li>. Entretien/Préparation</li> </ul>	. Utilisés tels quels . Transformés en outils
Fragments > 3 cm2 (y compris proximaux)	→ Résidus de supports prévus pour utilisation		
Lames	→ Supports prévus pour utilisation	{ <ul style="list-style-type: none"> <li>. Exploitation</li> </ul>	. Utilisées telles quelles . Transformées en outils
Fragments de lames (y compris proximaux)	→ Résidus de supports prévus pour utilisation		
Eclats de 1 à 3 cm2	→ Supports non prévus pour utilisation	{ <ul style="list-style-type: none"> <li>. Entretien/Préparation</li> </ul>	. Utilisés tels quels . Transformés en outils
Fragments de 1 à 3cm2 ou non prévus (1 à 3 cm2)	→ Résidus de supports prévus (3cm2)		
Esquilles < 1 cm2	→ Supports non prévus pour utilisation ou imprévus	{ <ul style="list-style-type: none"> <li>. Mise en forme</li> <li>. Exploitation</li> <li>. Entretien/Préparation</li> </ul>	. Utilisés tels quels . Transformés en outils
Fragments < 1 cm2	→ Résidus de tous supports sans distinction possible		
		{ <ul style="list-style-type: none"> <li>. Préparation du rebord</li> <li>. Fabrication des outils</li> <li>. Déchets</li> </ul>	. Non utilisées

Fig. 22 - Place des supports dans la chaîne opératoire.  
Place of the products in the technological sequence.

FICHE DE RECENSEMENT GLOBAL DE LA TOTALITÉ DU DÉBITAGE PAR CATÉGORIE DE TRI.	SITE: MUREYBET
	COUCHE:

CATÉGORIES DE TRI DÉTERMINÉES EN FONCTION DE L'ÉTAT ET DE LA NATURE DES PIÈCES DÉBITÉES.	SILEX A GRAIN FIN		SILEX A GRAIN GROSSIER		TOUS GRAINS	
	NOMBRE	POIDS (en grammes)	NOMBRE	POIDS (en grammes)	NOMBRE	POIDS (en grammes)

ÉCLATS ENTIERS SURFACE SUPÉRIEURE A 3 cm <sup>2</sup>						
LAMES ENTIÈRES SURFACE SUPÉRIEURE A 1 cm <sup>2</sup>						
FRAGMENTS PROXIMAUX D'ÉCLATS						
FRAGMENTS PROXIMAUX DE LAMES						
PETITS ÉCLATS SURF. COMPRISE ENTRE 1 et 3 cm <sup>2</sup>						
ESQUILLES SURFACE INFÉRIEURE A 1 cm <sup>2</sup>						
FRAGMENTS MÉSIAUX / DISTAUX D'ÉCLATS (SURF. SUP <sup>RE</sup> A 3 cm <sup>2</sup> )						
FRAGMENTS MÉSIAUX / DISTAUX DE LAMES						
FRAGMENTS MÉSIAUX / DISTAUX D'ÉCLATS (SURF. ENTRE 1 et 3 cm <sup>2</sup> )						
FRAGMENTS INFÉRIEURS A 1 cm <sup>2</sup>						

NUCLEUS ENTIERS ET FRAGMENTS DE NUCLEUS						
--	--	--	--	--	--	--

NOMBRE TOTAL DES PIÈCES DÉBITÉES NON RETOUCHÉES SANS LES NUCLEUS						
NOMBRE TOTAL DES PIÈCES DÉBITÉES NON RETOUCHÉES AVEC LES NUCLEUS						

OUTILS SUR ÉCLATS						
OUTILS SUR LAMES						
OUTILS SUR NUCLEUS ET SUR GROS FRAGMENTS						
TOTAL DES OUTILS						

NOMBRE TOTAL DE PIÈCES						
------------------------	--	--	--	--	--	--

Fig. 23 - Modèle de fiche de recensement.  
Example of a record card.

SUPPORTS	nb	GRAIN FIN	CORTEX	TALONS LISSES   PUNCT.	PREP.	IMPACT	PROFIL PLAT   TORSE	COURB. PROXIM.	BORDS PARALL.	NEGAT. PARALL.	ORIENT. IDENT.	BULBE DIFFUS	NERV. DIFF.		
7	Lames Lamelles	54 18	28(52) 16(89)	12(22) 0(0)	19(35) 3(16)	18(33) 13(72)	39(72) 11(61)	18(33) 1(6)	28(52) 14(79)	46(85) 17(94)	31(57) 9(50)	26(48) 8(44)	48(89) 14(79)	30(56) 15(83)	25(46) 9(50)
6	Lames Lamelles	45 16	21(47) 11(69)	12(27) 0(0)	23(51) 1(6)	12(27) 10(62)	28(62) 12(75)	16(36) 0(0)	21(47) 7(44)	36(80) 15(94)	30(67) 11(69)	37(82) 14(88)	43(96) 16(100)	22(49) 13(81)	22(49) 9(56)
5	Lames Lamelles	83 19	45(54) 12(63)	31(37) 1(5)	34(41) 8(42)	16(19) 8(42)	55(66) 13(68)	20(24) 1(5)	25(30) 2(11)	46(55) 16(84)	52(63) 13(68)	66(80) 19(100)	74(89) 19(100)	50(60) 8(42)	52(63) 16(84)
4	Lames Lamelles	73 37	46(63) 29(78)	18(25) 3(8)	54(74) 16(43)	6(8) 6(12)*	26(36) 20(54)	18(25) 0(0)	23(32) 9(24)	29(40) 17(46)	70(96) 36(100)*	59(84)* 34(97)*	60(98)* 34(97)*	14(19) 10(28)	56(84)* 33(89)
3	Lames Lamelles	88 77	69(78) 72(95)	27(31) 7(9)	43(49) 21(27)	25(28) 28(36)	39(44) 61(79)	11(12) 0(0)	22(25) 10(13)	34(39) 50(65)	75(85) 48(62)	70(79) 62(80)	81(92) 62(81)	34(39) 33(43)	65(76)* 64(83)
2	Lames Lamelles	73 18	52(71) 16(89)	24(33) 2(11)	45(65) 9(50)	4(5) 1(6)	31(42) 14(78)	11(15) 1(6)	24(34) 8(44)	23(33) 8(44)	66(92) 18(100)	57(84)* 18(100)	52(98)* 18(100)	24(35) 4(23)	59(85)* 16(94)*
1	Lames Lamelles	122 73	70(57) 50(68)	29(24) 10(14)	61(50) 27(37)	18(15) 29(40)	55(45) 55(75)	28(23) 6(8)	30(25) 17(23)	68(56) 47(64)	82(69)* 54(75)	98(94)* 56(95)*	100(82) 56(77)	60(52) 50(72)*	84(72)* 56(78)

.Les chiffres hors parenthèses correspondent aux effectifs et les chiffres entre parenthèses indiquent les pourcentages. Les astérisques (\*) signifient que les pourcentages ne sont pas calculés en fonction de l'effectif total (nb); les supports n'ayant pas de modalité en sont exclus (deux éléments au moins).

Fig. 24 - Comparaison des modalités les plus significatives observées sur les lames et sur les lamelles.  
Comparison of the most significant attributes observed on the blades and the bladelets.



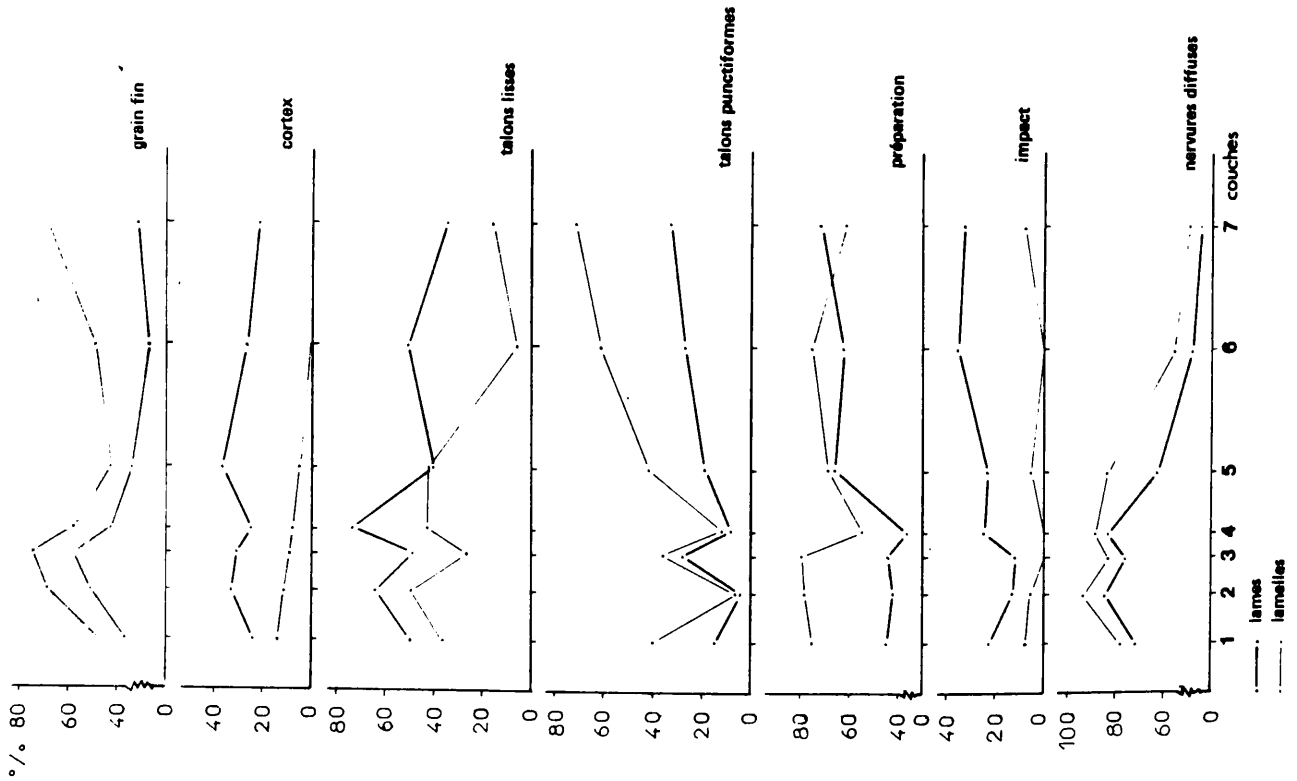


Fig. 25 - Comparison entre lames et lamelles (1).  
Comparison between blades and bladelets (1).

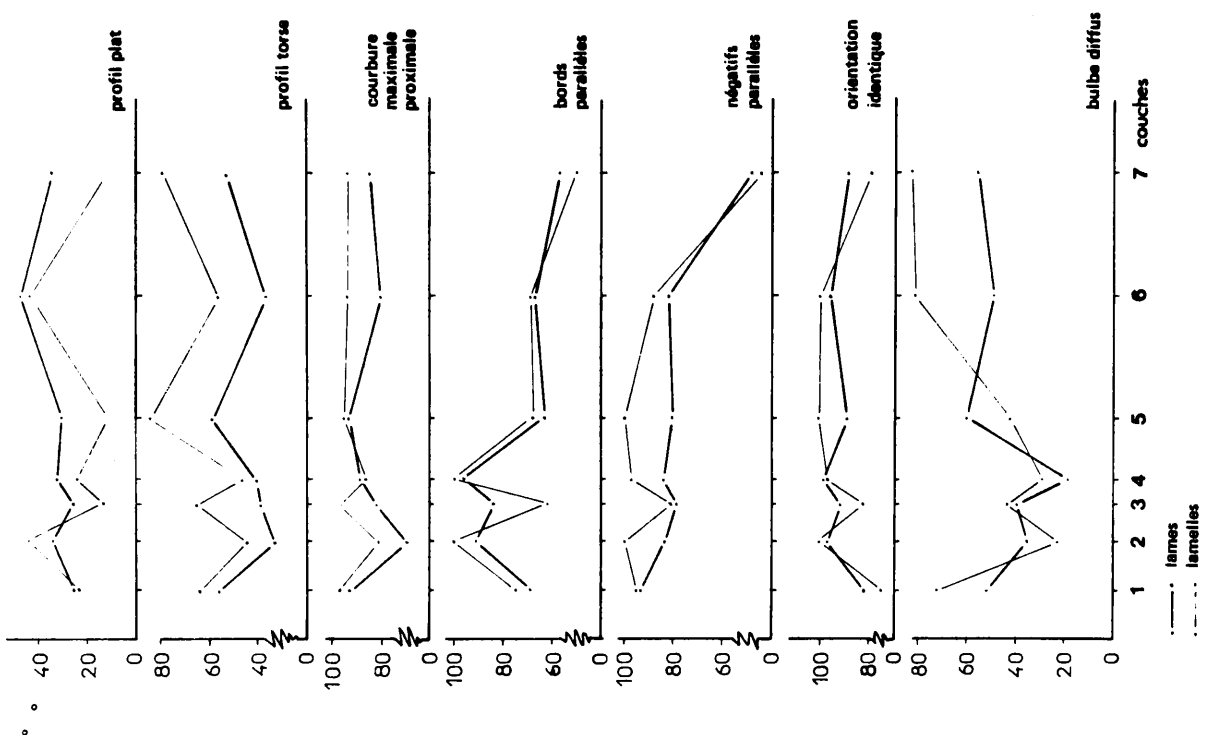


Fig. 26 - Comparison entre lames et lamelles (2).  
Comparison between blades and bladelets (2).

MÉTHODE DE RECHERCHE ANALYTIQUE DES TECHNIQUES DE TAILLE				ECLATS		SITE		COUCHE						
TABLEAU RÉCAPITULATIF DES MODALITÉS DE CARACTÈRES ET DE LEUR DEGRÉ DE SIGNIFICATION DANS LA RECHERCHE SUR UN SUPPORT, DE SA TECHNIQUE DE TAILLE				NOMBRE		SCHEMA OPÉRATEIRE		PERCUSSION						
CARACTÈRES MORPHOLOGIQUES		CODE INFORM.		MODALITÉS DE CARACTÈRES		TENDANCE		TENDRE DU INDIRECTE						
						A ? B		DURE						
						** *		* ** **						
PARTIE PROXIMALE	• TALON	60	1	LISSE	[ ]	[ ]	[ ]	[ ]	[ ]					
			2							ÉCRASÉ	[ ]	[ ]	[ ]	[ ]
	• LÈVRE	61	0	SANS	[ ]	[ ]	[ ]	[ ]	[ ]					
			1							AVEC LÈVRE	[ ]	[ ]	[ ]	[ ]
			2							SANS	[ ]	[ ]	[ ]	[ ]
			3							AVEC LÈVRE	[ ]	[ ]	[ ]	[ ]
• PRÉPARATION DE L'ANGLE DE CHASSE	62	0	SANS	[ ]	[ ]	[ ]	[ ]	[ ]						
		1							CÔTÉ SURF. DÉBITÉE	[ ]	[ ]	[ ]	[ ]	
		2							CÔTÉ PLAN DE FRAPPE	[ ]	[ ]	[ ]	[ ]	
• POINT D'IMPACT	63	0	SANS	[ ]	[ ]	[ ]	[ ]	[ ]						
		1							AVEC PT D'IMPACT	[ ]	[ ]	[ ]	[ ]	
PARTIE DISTALE	• EXTRÉMITÉ DISTALE	69	1	POINTUE	[ ]	[ ]	[ ]	[ ]	[ ]					
			2							ARRONDI	[ ]	[ ]	[ ]	[ ]
• TYPE D'ANOMALIE DISTALE	76	0	SANS	[ ]	[ ]	[ ]	[ ]	[ ]	[ ]					
		1								OUTREPASSÉE	[ ]	[ ]	[ ]	[ ]
		2								RÉFLÉCHIE	[ ]	[ ]	[ ]	[ ]
BORDS	• BORDS	71	1	PARALLÈLES	[ ]	[ ]	[ ]	[ ]	[ ]					
			2							CONVERGENTS	[ ]	[ ]	[ ]	[ ]
			3							DIVERGENTS	[ ]	[ ]	[ ]	[ ]
			4							IRRÉGULIERS	[ ]	[ ]	[ ]	[ ]
FACE D'ÉCLATEMENT	• BULBE	67	1	SAILLANT	[ ]	[ ]	[ ]	[ ]	[ ]					
			2							DIFFUS	[ ]	[ ]	[ ]	[ ]
	• COURBURE MAXIMALE	65	1	ÉCAILLÉ	[ ]	[ ]	[ ]	[ ]	[ ]					
			2							PROXIMALE	[ ]	[ ]	[ ]	[ ]
			3							DISTALE	[ ]	[ ]	[ ]	[ ]
	• PROFIL	66	1	CONCAVE	[ ]	[ ]	[ ]	[ ]	[ ]					
2			CONVEXE							[ ]	[ ]	[ ]	[ ]	
3			PLAT							[ ]	[ ]	[ ]	[ ]	
FACE SUPÉRIÈRE	• DISPOSITION DES NÉGATIFS D'ENLEVEMENTS	72	0	SANS	[ ]	[ ]	[ ]	[ ]	[ ]					
			1							PARALLÈLES IDENTIQUES	[ ]	[ ]	[ ]	[ ]
			2							PARALLÈLES INVERSES	[ ]	[ ]	[ ]	[ ]
			3							ORTHOONAUX	[ ]	[ ]	[ ]	[ ]
			4							CROISÉS	[ ]	[ ]	[ ]	[ ]
			5							CENTRIPÈTES	[ ]	[ ]	[ ]	[ ]
			6							UNIQUES	[ ]	[ ]	[ ]	[ ]
			7							MULTIPLES	[ ]	[ ]	[ ]	[ ]
			8							DIVERGENTS	[ ]	[ ]	[ ]	[ ]
	9	INCERTAINS	[ ]	[ ]	[ ]	[ ]								
	• ORIENTATION DES NÉGATIFS PAR RAPPORT AU SENS D'EXTRACTION DU SUPPORT	73	1	IDENTIQUE	[ ]	[ ]	[ ]	[ ]	[ ]					
			2							PERPENDICULAIRE	[ ]	[ ]	[ ]	[ ]
3			INCLINÉE							[ ]	[ ]	[ ]	[ ]	
• NERVURES	74	1	SAILLANTES	[ ]	[ ]	[ ]	[ ]	[ ]						
		2							DIFFUSES	[ ]	[ ]	[ ]	[ ]	
		3							SANS	[ ]	[ ]	[ ]	[ ]	
• EMBLEMEMENT DU CORTEX.	33	0	SANS	[ ]	[ ]	[ ]	[ ]	[ ]						
		1							PROXIMAL	[ ]	[ ]	[ ]	[ ]	
		2							MÉSIAL	[ ]	[ ]	[ ]	[ ]	
		3							DISTAL	[ ]	[ ]	[ ]	[ ]	
			4	SUR LA TOTALITÉ	[ ]	[ ]	[ ]	[ ]						
			5	LATÉRAL GAUCHE	[ ]	[ ]	[ ]	[ ]						
			6	LATÉRAL DROIT	[ ]	[ ]	[ ]	[ ]						

Fig. 27 - Modèle du tableau récapitulatif des ECLATS.  
 Example of the record card for synthesis of FLAKE attributes.

MÉTODE DE RECHERCHE ANALYTIQUE DES TECHNIQUES DE TAILLE				LAMES	SITE	COUCHE	
TABLEAU RÉCAPITULATIF DES MODALITÉS DE CARACTÈRES ET DE LEUR DEGRÉ DE SIGNIFICATION DANS LA RECHERCHE SUR UN SUPPORT, DE SA TECHNIQUE DE TAILLE				SCHEMA OPÉRATOIRE		PERCUSSION	
CARACTÈRES MORPHOLOGIQUES		CODE INFORM.	MODALITÉS DE CARACTÈRES	TENDANCE A	TENDANCE B	TENDRE OU INDIRECTE	DURE
				* * *	* * * * *	* * *	* * *
PARTIE PROXIMALE	• TALON  • LÈVRE  • PRÉPARATION DE L'ANGLE DE CHASSE  • POINT D'IMPACT	60 1 2 3 4 5 6 7 8  61 0 1  62 0 1 2 3  63 0 1	LISSE ÉCRASÉ PUNCTIFORME DIÈDRE FACETTÉ FILIFORME CORTICAL ÉVERSE  SANS AVEC LÈVRE  SANS CÔTÉ SURF. DÉBITÉE CÔTÉ PLAN DE FRAPPE DES DEUX CÔTÉS  SANS AVEC PT. D'IMPACT	<input type="checkbox"/>	<input type="checkbox"/>	<input type="checkbox"/>	<input type="checkbox"/>
				<input type="checkbox"/>	<input type="checkbox"/>	<input type="checkbox"/>	<input type="checkbox"/>
				<input type="checkbox"/>	<input type="checkbox"/>	<input type="checkbox"/>	<input type="checkbox"/>
				<input type="checkbox"/>	<input type="checkbox"/>	<input type="checkbox"/>	<input type="checkbox"/>
				<input type="checkbox"/>	<input type="checkbox"/>	<input type="checkbox"/>	<input type="checkbox"/>
				<input type="checkbox"/>	<input type="checkbox"/>	<input type="checkbox"/>	<input type="checkbox"/>
				<input type="checkbox"/>	<input type="checkbox"/>	<input type="checkbox"/>	<input type="checkbox"/>
				<input type="checkbox"/>	<input type="checkbox"/>	<input type="checkbox"/>	<input type="checkbox"/>
PARTIE DISTALE	• EXTRÉMITÉ DISTALE  • TYPE D'ANOMALIE DISTALE	69 1 2 3  76 0 1 2 3	POINTUE ARRONDIÉ IRRÉGULIÈRE  SANS OUTREPASSÉE RÉFLÉCHIE À BOURRELETS	<input type="checkbox"/>	<input type="checkbox"/>	<input type="checkbox"/>	<input type="checkbox"/>
				<input type="checkbox"/>	<input type="checkbox"/>	<input type="checkbox"/>	<input type="checkbox"/>
				<input type="checkbox"/>	<input type="checkbox"/>	<input type="checkbox"/>	<input type="checkbox"/>
				<input type="checkbox"/>	<input type="checkbox"/>	<input type="checkbox"/>	<input type="checkbox"/>
BORDS	• BORDS	71 1 2 3 4	PARALLÈLES CONVERGENTS DIVERGENTS IRRÉGULIERS	<input type="checkbox"/>	<input type="checkbox"/>	<input type="checkbox"/>	<input type="checkbox"/>
FACE D'ÉCLATEMENT	• BULBE  • COURBURE MAXIMALE  • PROFIL	67 1 2 3  65 1 2 3  66 1 2 3 4 5	SAILLANT DIFFUS ÉCAILLÉ  PROXIMALE DISTALE INDÉFINIE  CONCAVE CONVEXE PLAT TORSÉ IRRÉGULIER	<input type="checkbox"/>	<input type="checkbox"/>	<input type="checkbox"/>	<input type="checkbox"/>
				<input type="checkbox"/>	<input type="checkbox"/>	<input type="checkbox"/>	<input type="checkbox"/>
				<input type="checkbox"/>	<input type="checkbox"/>	<input type="checkbox"/>	<input type="checkbox"/>
				<input type="checkbox"/>	<input type="checkbox"/>	<input type="checkbox"/>	<input type="checkbox"/>
				<input type="checkbox"/>	<input type="checkbox"/>	<input type="checkbox"/>	<input type="checkbox"/>
FACE SUPÉRIÈRE	• DISPOSITION DES NÉGATIFS D'ENLEVEMENTS  • ORIENTATION DES NÉGATIFS PAR RAPPORT AU SENS D'EXTRACTION DU SUPPORT  • NERVURES  • EMBLEMMENT DU CORTEX.	72 0 1 2 3 4 5 6 7 8 9  73 4 2 3 4 5 6  74 1 2 3  33 0 1 2 3 4 5 6	SANS PARALLÈLES IDENTIQUES PARALLÈLES INVERSES ORTHOCONAUX CROISÉS CENTRIPÈTES UN'QUES MULTIPLES DIVERGENTS INCERTAINS  IDENTIQUE PERPENDICULAIRE INCLINÉE OPPOSÉE SANS INCERTAINE  SAILLANTES DIFFUSES SANS  SANS PROXIMAL MÉSIAL DISTAL SUR LA TOTALITÉ LATÉRAL GAUCHE LATÉRAL DROIT	<input type="checkbox"/>	<input type="checkbox"/>	<input type="checkbox"/>	<input type="checkbox"/>
				<input type="checkbox"/>	<input type="checkbox"/>	<input type="checkbox"/>	<input type="checkbox"/>
				<input type="checkbox"/>	<input type="checkbox"/>	<input type="checkbox"/>	<input type="checkbox"/>
				<input type="checkbox"/>	<input type="checkbox"/>	<input type="checkbox"/>	<input type="checkbox"/>
				<input type="checkbox"/>	<input type="checkbox"/>	<input type="checkbox"/>	<input type="checkbox"/>
				<input type="checkbox"/>	<input type="checkbox"/>	<input type="checkbox"/>	<input type="checkbox"/>
				<input type="checkbox"/>	<input type="checkbox"/>	<input type="checkbox"/>	<input type="checkbox"/>
				<input type="checkbox"/>	<input type="checkbox"/>	<input type="checkbox"/>	<input type="checkbox"/>
				<input type="checkbox"/>	<input type="checkbox"/>	<input type="checkbox"/>	<input type="checkbox"/>
				<input type="checkbox"/>	<input type="checkbox"/>	<input type="checkbox"/>	<input type="checkbox"/>
				<input type="checkbox"/>	<input type="checkbox"/>	<input type="checkbox"/>	<input type="checkbox"/>
				<input type="checkbox"/>	<input type="checkbox"/>	<input type="checkbox"/>	<input type="checkbox"/>

Fig. 28 - Modèle du tableau récapitulatif des LAMES.  
Example of record card for synthesis of BLADE attributes.

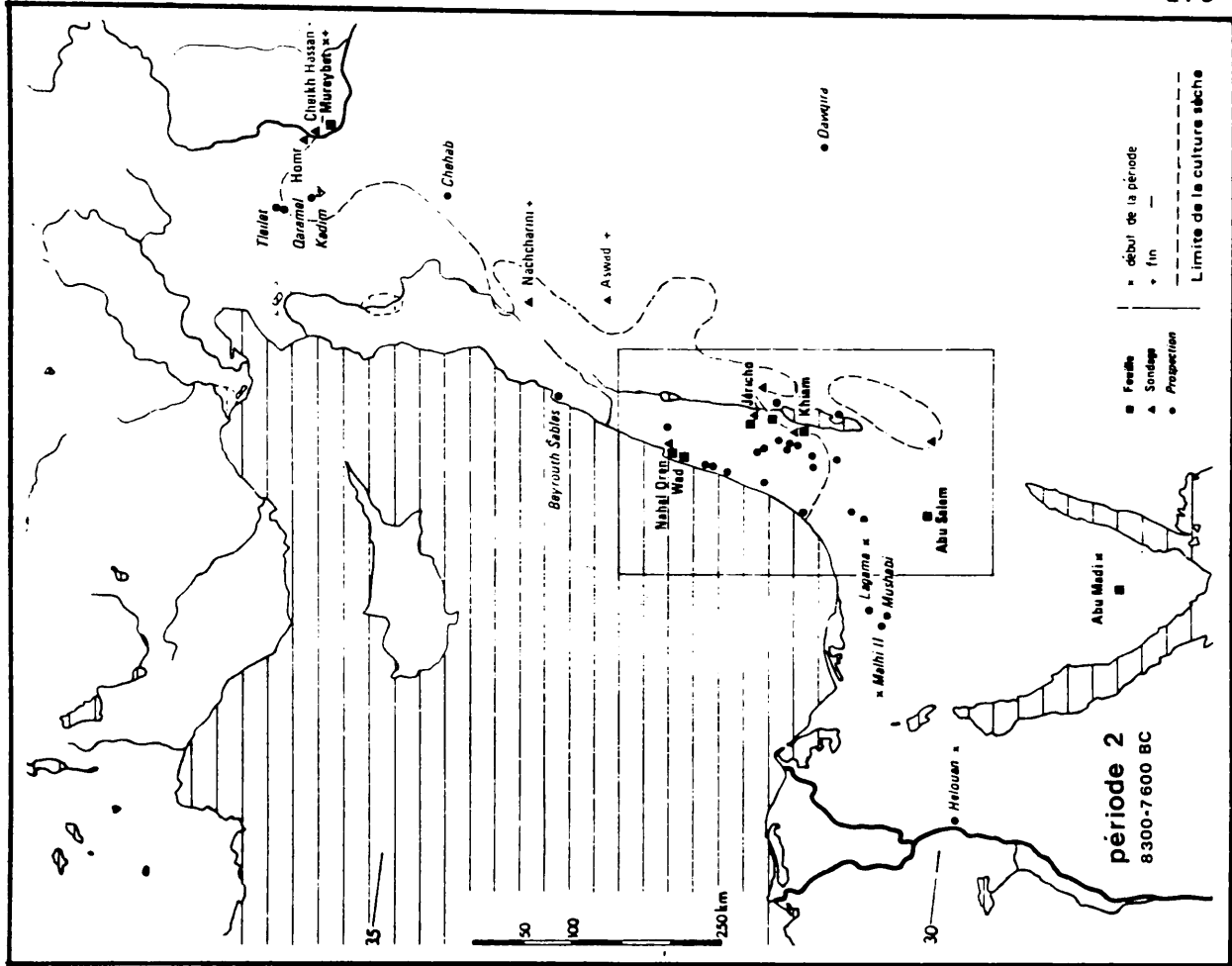
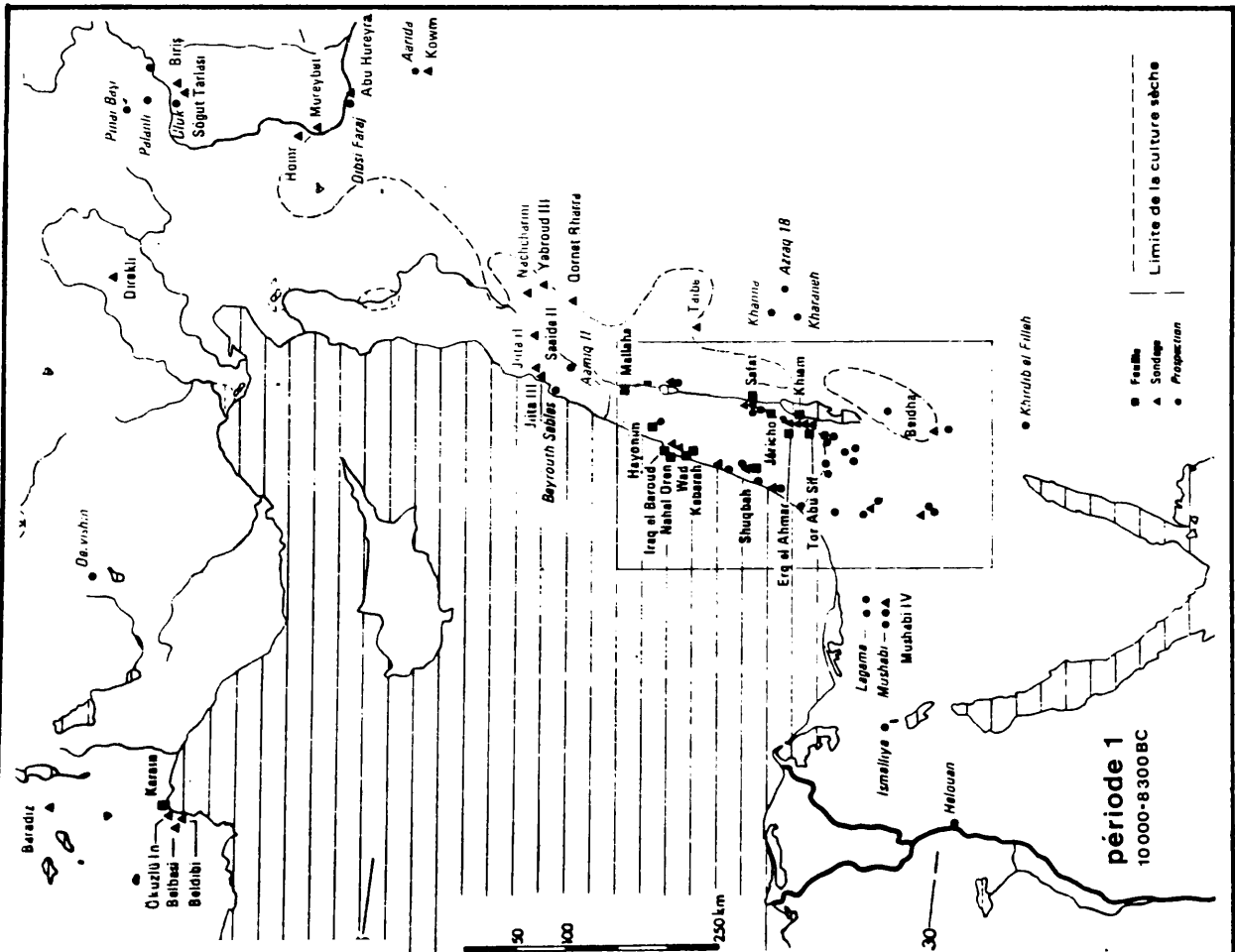


Fig. 29 - Mureybet et le Proche Orient pendant les périodes 1 et 2 (d'après AURENCHÉ et alii, 1981).  
Mureybet and the Near East during the periods 1 and 2 (after AURENCHÉ et alii, 1981).

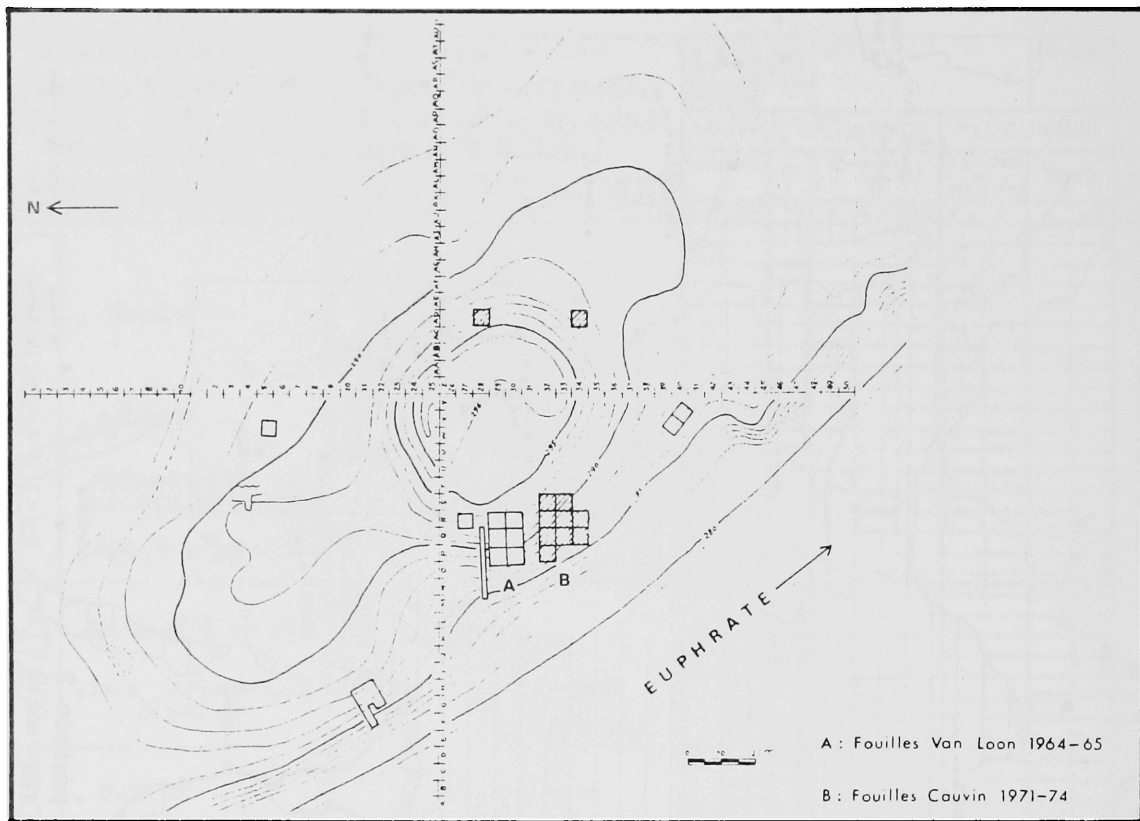


Fig. 30 - Plan du tell (d'après CAUVIN J., 1977).  
Plan of the tell (after CAUVIN J., 1977).

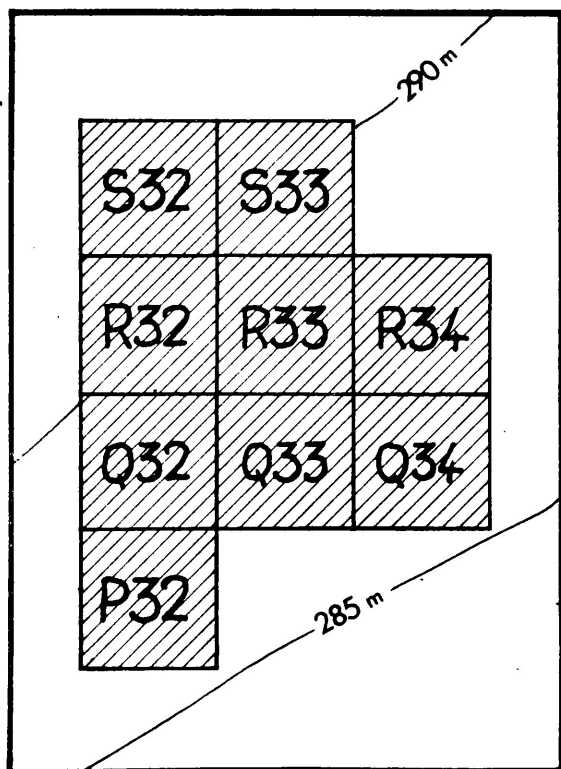


Fig. 31 - Zone du tell fouillée par J. Cauvin.  
Area excavated by J. Cauvin.

dates B.C.	phase	niv.	carré / couche			numérotation simplifiée
			Q32	R32	S32	
7500	III B <sub>2</sub>	18				
		17		A2	n°7	
	III B <sub>1</sub>	16				
		15				
	8000	III A	14		C1	n°6
13						
12						
11						
8200	II B	10				
		9				
		8				
8300	II A	7	B1		n°5	
		6				
8500	I B	5				
		4	E1a		n°4	
8300	I A	E1b			n°3	
		3	E1c		n°2	
8500		2				
		1	E2		n°1	

Fig. 32 - Stratigraphie définie par J. Cauvin: repérage des couches étudiées.  
Stratigraphy established by J. Cauvin (to show the levels studied).

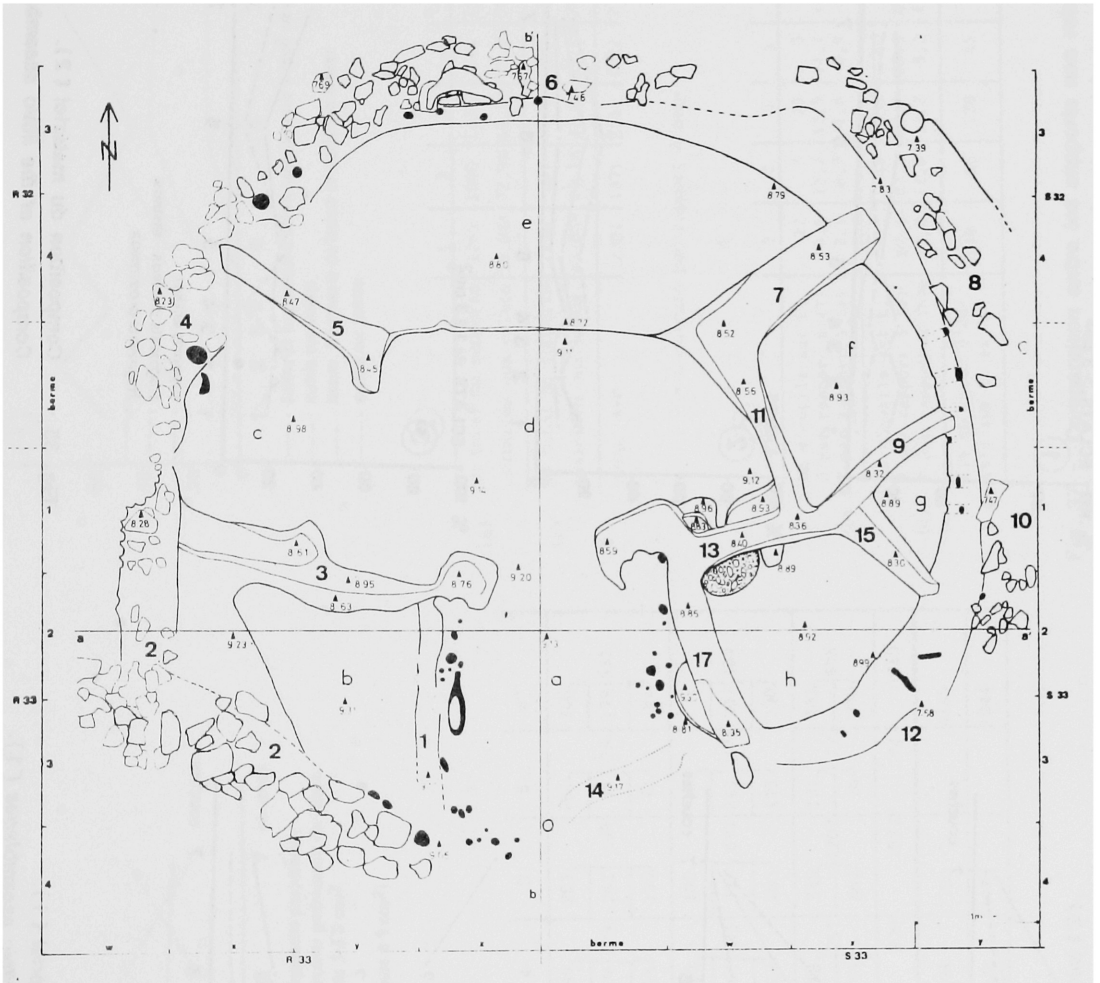


Fig. 33 - Plan de la maison XLVII.  
Map of house XLVII.

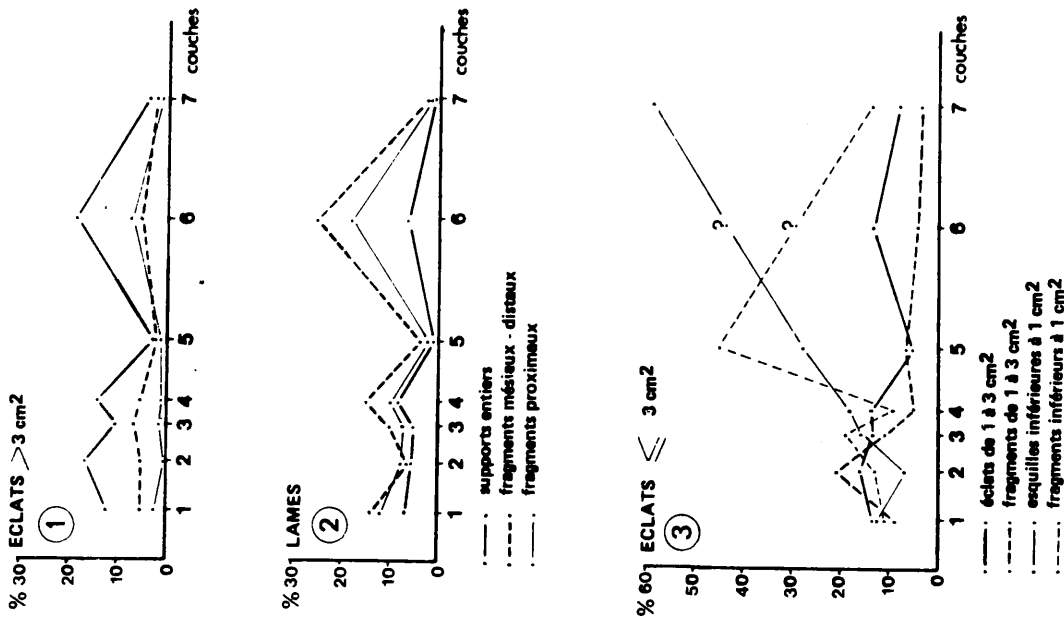


Fig. 34 - Composition du matériel (1).  
Composition of the lithic assemblages (1).

(Les proportions figurant sur les trois graphes ont été calculées par rapport à la totalité des déchets de taille; leur somme, dans chaque couche, est égale à 100).

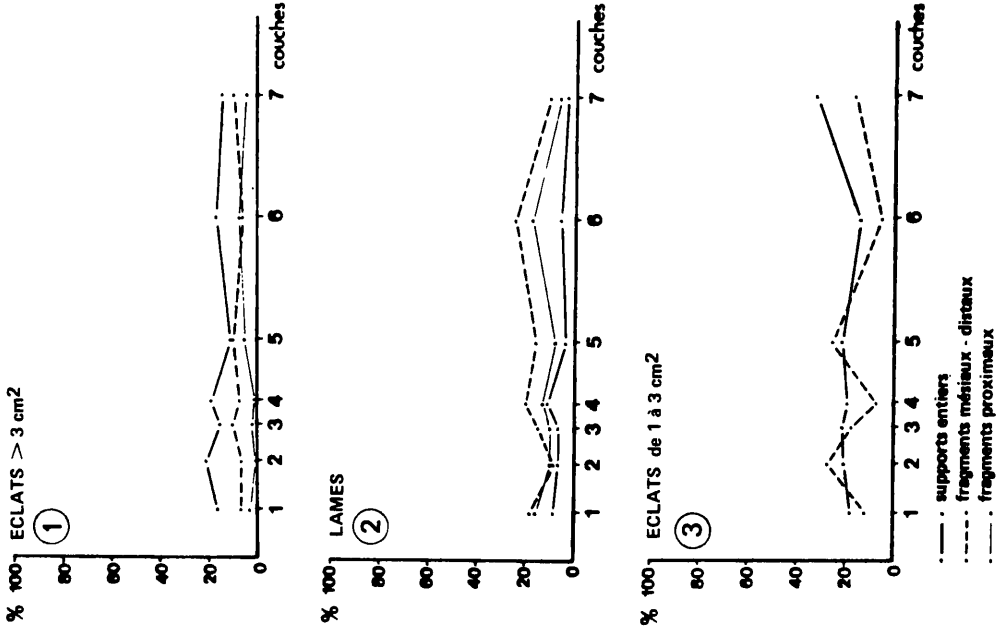
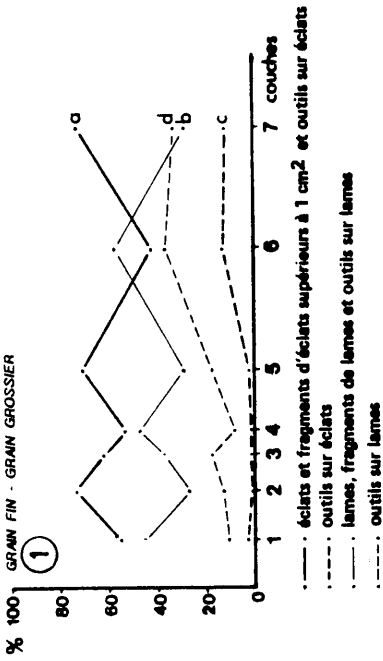


Fig. 35 - Composition du matériel (2).  
Composition of the lithic assemblages (2).

(Les proportions figurant sur les trois graphes ont été calculées par rapport à la totalité des déchets de taille exceptés ceux qui ont une surface inférieure ou égale à 1 cm<sup>2</sup>; leur somme, dans chaque couche est égale à 100).



(2)

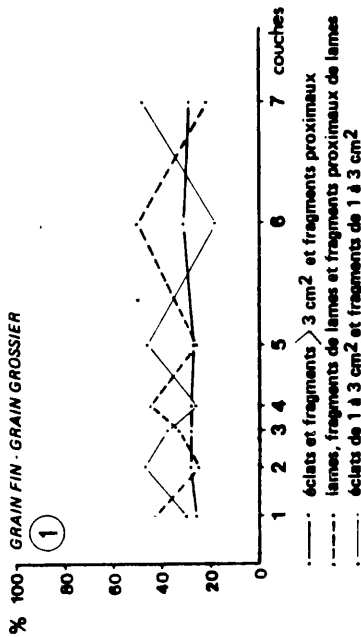
	1	2	3	4	5	6	7
Nb total de supports	1265	1000	1437	541	1938	543	1592
assimilés aux éclats	55,0%*	72,9%*	62,2%*	52,9%*	70,3%*	42,3%*	72,4%*
Nb total de supports assimilés aux lames	1036	371	874	481	817	740	608
% par rapport à (a)	45,0%*	27,1%*	37,8%*	47,1%*	29,7%*	57,7%*	27,6%*
total atb	2301	1371	2311	1022	2755	1283	2200

\* % calculé par rapport à atbb.

(3)

	1	2	3	4	5	6	7
Nb d'outils sur E.	27	7	23	5	32	70	186
% par rapport à (T)	19,4	12,7	12,9	11,1	18,6	20,8	48,3
% par rapport à (a)	2,1	0,7	1,6	0,9	1,6	12,9	11,7
Nb d'outils sur L.	112	48	155	40	140	266	199
% par rapport à (T)	80,6	87,3	87,1	88,9	81,4	79,2	51,7
% par rapport à (b)	10,8	12,9	17,7	8,3	17,1	35,9	32,7
(T) Nb total d'outils sur E. et L.	139	55	178	45	172	336	385

Fig. 37 - Comparaison entre les supports non retouchés et les outils. Comparison between blanks and tools.



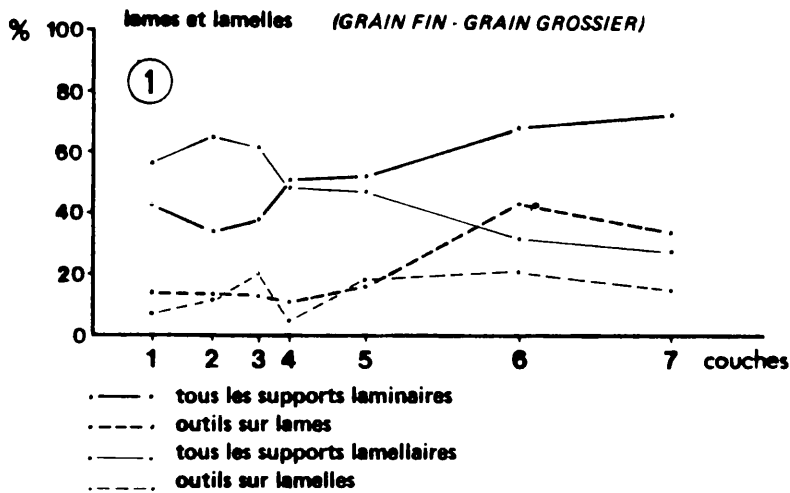
(sans compter les supports inférieurs à 1 cm²)

(2)

	1	2	3	4	5	6	7
Eclat > 3 cm2	354	277	334	189	287	169	266
Frgt. eccl. > 3 cm2	145	88	218	74	278	55	296
Frgt. Prox. Eclats	70	4	51	15	150	72	86
Lames	195	91	165	110	102	61	72
Frgt. Lames	392	924	106	323	372	677	240
Frgt. Prox. Lames	337	126	211	133	203	173	130
Ecl. de 1 à 3 cm2	396	269	447	188	545	131	585
Frgt. Ecl. 1 à 3 cm2	263	659	624	811	257	1207	177
TOTAL	2157	1316	2133	976	2583	947	1815
Ésquilles < 1 cm2	390	121	524	234	2750	4169	1044
Frgts < 1 cm2	328	215	621	128	4478	1044	

Fig. 36 - Composition du matériel (3). Composition of the lithic assemblages (3).





②

		1	2	3	4	5	6	7
LAMES	Ent.	121	73	88	73	83	45	54
	Frg.	133	26	107	55	160	128	123
	Prox.	129	11	95	92	117	114	87
	Total	383(41,4)	110(34,1)	290(40,3)	220(49,9)	360(53,2)	287(60,6)	264(64,5)
LAMELLES	Ent.	74	18	77	37	19	16	18
	Frg.	259	80	216	143	212	112	84
	Prox.	208	115	136	41	86	59	43
	Total	541(58,6)	213(65,9)	429(59,7)	221(50,1)	317(46,8)	187(39,4)	145(35,5)
TOTAL		924	323	719	441	677	474	409

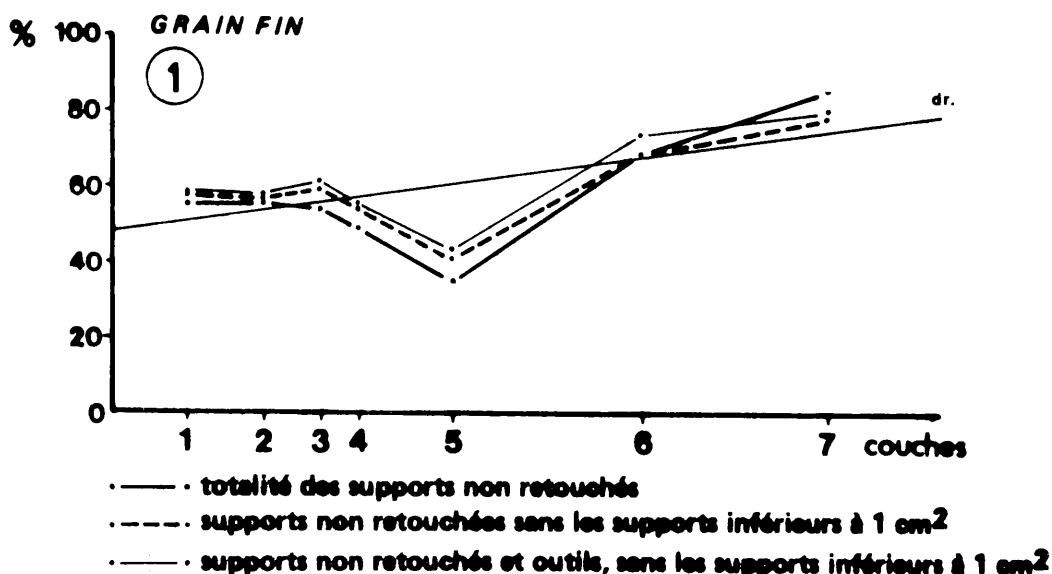
③

		1	2	3	4	5	6	7
LAMES	Sup. non ret.	383	110	290	220	360	287	264
	Out.	66(14,7)*	18(14,1)	45(13,4)	26(10,6)	68(15,9)	217(43,1)	173(39,6)
	Total	449(43,3)°	128(34,5)	335(38,3)	246(51,1)	428(52,4)	504(68,1)	437(71,9)
LAMELLES	Sup. non ret.	541	213	429	221	317	187	145
	Out.	46(7,8)*	30(12,3)	110(20,4)	14(5,9)	72(18,5)	49(20,8)	26(15,2)
	Total	587(56,7)	243(65,5)	539(61,7)	235(48,9)	389(47,6)	236(31,9)	171(28,1)
TOTAL		1036	371	874	481	817	740	608

\* Pourcentages d'outils calculés par rapport à la totalité des supports non retouchés et des outils.

° Pourcentages calculés par rapport à la totalité des lames et des lamelles (supports non retouchés et outils).

Fig. 38 - Lames et lamelles (supports non retouchés et outils).  
 Blades and bladelets (blanks and tools).



②

	1	2	3	4	5	6	7
Silex à Grain Fin	1578(55,0)*	917(55,5)	1762(53,8)	651(48,7)	3444(35,3)	656(69,3)	6050(86,1)
Silex à Grain Grossier	1292(45,0)	735(44,5)	1516(46,2)	687(51,3)	6317(64,7)	291(30,7)	978(13,9)
Total	2870 (100)	1652 (100)	3278 (100)	1338 (100)	9761 (100)	947 (100)	7028 (100)

Totalité des supports non retouchés.

③

Silex à Grain Fin	1230(57,2)	742(56,4)	1261(59,1)	527(54,0)	1048(40,6)	656(69,3)	1419(78,2)
Silex à Grain Grossier	922(42,8)	574(43,6)	877(40,9)	449(46,0)	1535(59,4)	291(30,7)	395(21,8)
Total	2152 (100)	1316 (100)	2133 (100)	976 (100)	2583 (100)	947 (100)	1815 (100)

Totalité des supports non retouchés sauf les supports < 1 cm<sup>2</sup>.

④

Silex à Grain Fin	1328(57,7)	783(57,1)	1412(61,7)	560(54,8)	1189(43,2)	955(74,4)	1760(80,0)
Silex à Grain Grossier	973(42,3)	588(42,9)	899(38,9)	462(45,2)	1566(56,8)	328(25,6)	440(20,0)
Total	2301 (100)	1371 (100)	2311 (100)	1022 (100)	2755 (100)	1283 (100)	2200 (100)

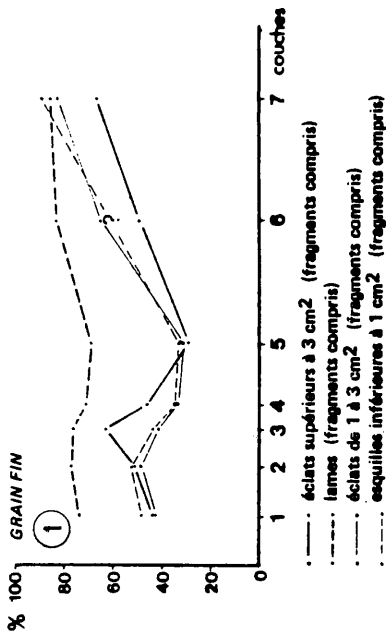
Supports non retouchés (sauf les supports < 1 cm<sup>2</sup>) et supports retouchés

\* Les chiffres entre parenthèses sont des pourcentages.

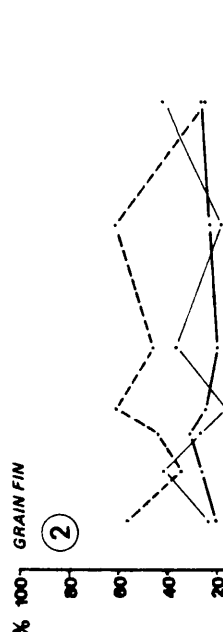
Fig. 39 - Proportions de silex à grain fin et de silex à grain grossier sur l'ensemble du débitage, sans distinction de supports.  
 Proportion of fine flint and coarse flint in all the débitage, without distinction as to type of blank.

GRAIN	1	2	3	4	5	6	7	
Eclats > 3 cm2 + Frgts > 3 cm2 + Proximaux	F	252(44,3)	190(51,5)	381(63,2)	127(45,7)	204(29,2)	145(49,0)	354(66,7)
	G	317(55,7)	179(48,5)	222(36,8)	151(54,3)	495(70,8)	151(51,0)	177(33,3)
	F+G	569	369	603	278	699	296	531
Lames + Frgts méso-dist + Frgts proximaux	F	689(74,6)	249(77,1)	546(75,9)	314(71,2)	469(69,3)	395(83,3)	347(84,8)
	G	235(25,4)	74(22,9)	173(24,1)	127(28,8)	208(30,7)	79(16,7)	62(15,2)
	F+G	924	323	719	441	677	474	409
Eclats de 1 à 3cm2 Frgts de 1 à 3cm2	F	289(43,4)	303(48,6)	334(41,2)	86(33,5)	375(31,1)	116(65,5)	718(82,1)
	G	370(56,6)	321(51,4)	477(58,8)	171(66,5)	832(68,9)	61(34,5)	157(17,9)
	F+G	659	624	811	257	1207	177	875
Esquilles < 1cm2 Frgts < 1cm2	F	348(48,5)	175(52,1)	501(43,8)	124(34,2)	2396(33,4)		4631(88,8)
	G	370(51,5)	161(47,9)	644(56,2)	238(65,8)	4782(66,6)		582(11,2)
	F+G	718	336	1145	362	7178		5213
TOTAUX	F	1578	917	1762	651	3444	656	6050
	G	1292	735	1516	687	6317	291	978

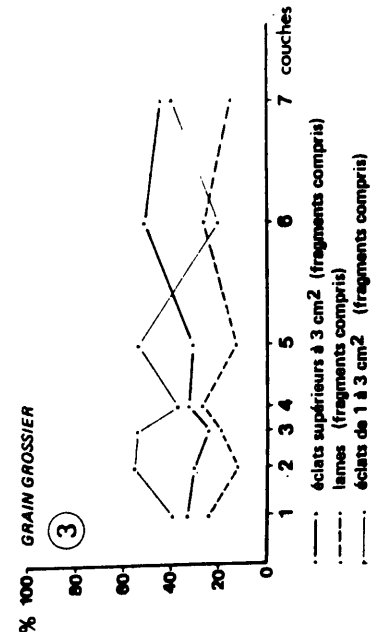
1



2



3

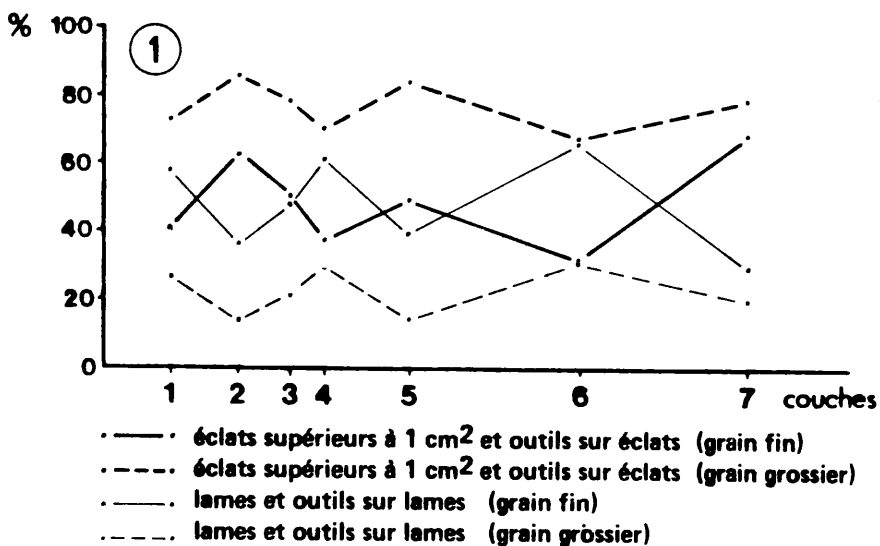


GRAIN FIN	1	2	3	4	5	6	7
ECLATS > 3cm2	20,5	25,6	30,2	24,1	19,5	22,1	25,0
LAMES	56,0	33,6	43,3	59,6	44,7	60,2	24,4
ECLATS de 1 à 3 cm2	23,5	40,8	26,5	16,3	35,8	17,7	50,6
TOTAL sans les esquilles < 1 cm2	1230 (100%)	742 (100%)	1261 (100%)	527 (100%)	1048 (100%)	656 (100%)	1419 (100%)

GRAIN GROSSIER	1	2	3	4	5	6	7
ECLATS > 3 cm2	34,4	31,2	25,5	33,6	32,2	51,9	44,7
LAMES	25,5	12,9	19,8	28,3	13,6	27,1	15,7
ECLATS de 1 à 3 cm2	40,1	55,9	54,7	38,1	54,2	21,0	39,6
TOTAL sans les esquilles < 1 cm2	922 (100%)	574 (100%)	872 (100%)	449 (100%)	1535 (100%)	291 (100%)	396 (100%)

Fig. 41 - Distinction en fonction du type de silex : effectifs et proportions.  
Distinction according to flint type : number and proportions.

Fig. 40 - Composition du matériel : distinction en fonction du type de silex  
Composition of the assemblage : distinction according to flint type.



②

		1	2	3	4	5	6	7	
SILEX A GRAIN FIN	Supports et outils sur éclats > 1 cm <sup>2</sup>	Nb	552	496	729	214	599	317	1241
		%	41,6	63,3	51,6	38,2	50,4	33,2	70,5
SILEX A GRAIN FIN	Supports et outils sur lames	Nb	776	287	683	346	590	638	519
		%	58,4	36,7	48,4	68,8	49,6	66,8	29,5
TOTAL			1328	783	1412	560	1189	955	1760

SILEX GR. GROSSIER	Supports et outils sur éclats > 1 cm <sup>2</sup>	Nb	713	504	708	327	1339	226	351
		%	73,3	85,7	78,8	70,8	85,5	68,1	79,8
SILEX GR. GROSSIER	Supports et outils sur lames	Nb	260	84	191	135	227	102	89
		%	26,7	14,3	21,2	29,2	14,5	31,1	20,2
TOTAL			973	588	899	462	1566	328	440

Pour une lame, combien d'éclats ?

③

	1	2	3	4	5	6	7
F	0,7	1,7	1,1	0,6	1,0	0,5	2,4
G	2,7	6	3,7	2,4	5,9	2,2	3,9

Fig. 42 - Supports non retouchés et outils en fonction du type de silex.  
 Blanks and tools according to flint type.

	1		2		3		4		5		6		7	
	F	G	F	G	F	G	F	G	F	G	F	G	F	G
① LAMES ENTIÈRES	69	52	52	21	69	19	38	35	45	38	21	24	28	26
FRAGTS PROXIM.	97	52	8	3	60	35	46	46	64	53	91	23	69	18
FRAGTS MES.-DIS.	103	30	21	5	79	28	43	12	114	46	112	16	113	10
TOTAL Nb	269	114	81	29	208	82	127	93	223	137	224	63	210	54
% (1)	70,2	29,8	73,6	26,4	71,7	28,3	57,7	42,3	61,9	38,1	78,1	21,9	79,5	20,5
TOTAL F+G (a)	383		110		290		220		360		287		264	

② LAMELLES ENTIÈRES	51	23	16	2	73	4	30	7	12	7	11	5	16	2
FRAGTS PROXIM.	163	45	95	20	109	27	28	13	70	16	55	4	43	0
FRAGTS MES.-DIS.	206	53	59	23	156	60	122	21	164	48	105	7	78	6
TOTAL Nb	420	121	170	45	338	91	180	41	246	71	191	16	137	8
% (2)	77,6	22,4	79,1	20,9	78,8	21,2	89,4	18,6	77,6	22,4	91,4	8,6	94,5	5,5
TOTAL F+G (b)	541		215		429		221		317		187		145	

(1) Les pourcentages ont été calculés par rapport au total (a).

(2) Les pourcentages ont été calculés par rapport au total (b).

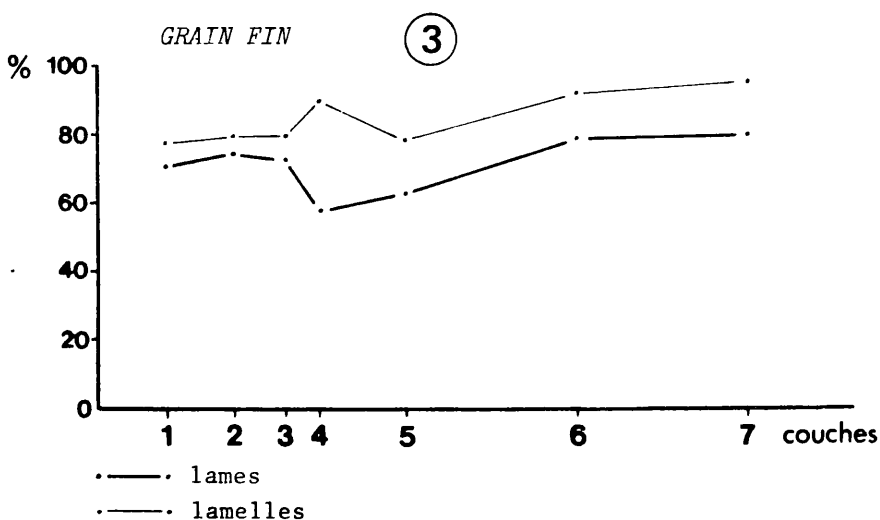


Fig. 43 - Lames et lamelles en fonction du type de silex.  
Blades and bladelets according to flint type.

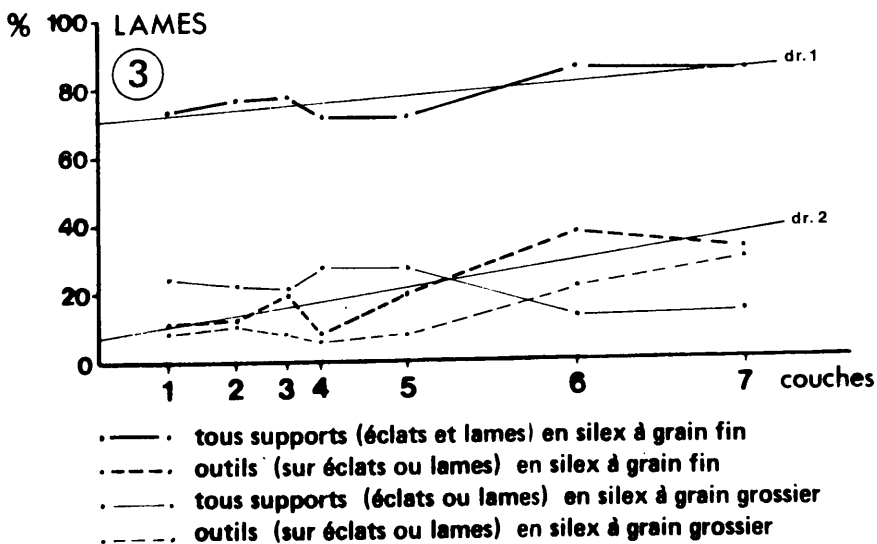
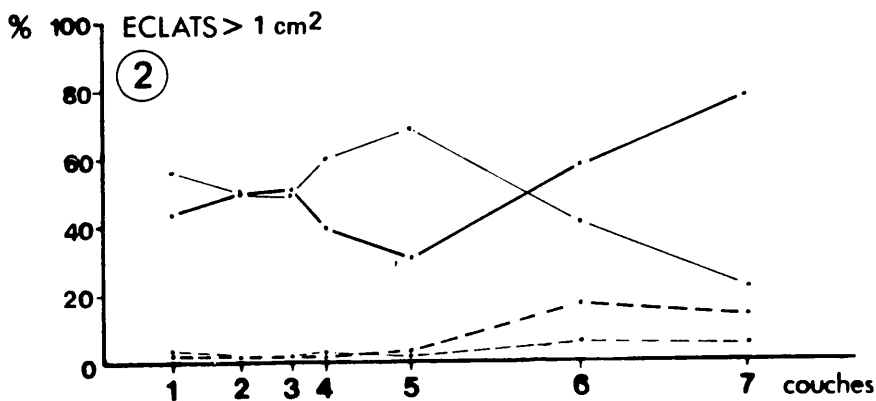
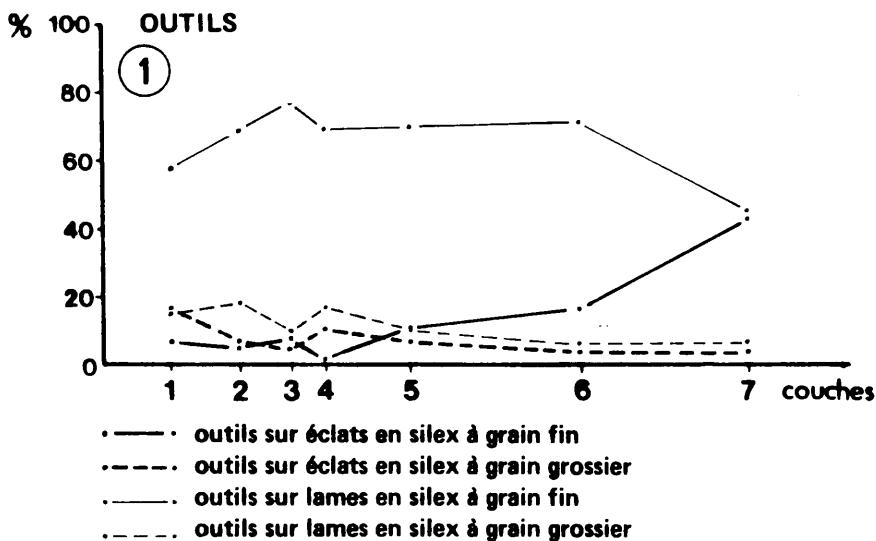


Fig. 44 - Comparaison entre supports non retouchés et outils, en fonction du type de silex.  
 Comparison between blanks and tools according to flint type.

①	GRAIN	1	2	3	4	5	6	7
OUTILS SUR ECLATS	F	11 (7,4)	3 (5,4)	14 (7,9)	1 (2,2)	20(11,6)	56(16,7)	169(43,9)
	G	26(17,4)	4 (7,3)	9 (5,0)	5(10,9)	12 (7,0)	14 (4,2)	17 (4,4)
OUTILS SUR LAMES	F	87(58,4)	38(69,1)	137(77,0)	32(69,6)	121(70,3)	243(72,3)	172(44,7)
	G	25(16,8)	10(18,2)	18(10,1)	8(17,4)	19(11,1)	23 (6,8)	27 (7,0)
TOTAL	F+G	149(100)	55(100)	178(100)	46(100)	172(100)	336(100)	385(100)

②	GRAIN	1	2	3	4	5	6	7
SUPPORTS ASSIMILES AUX ECLATS > 1 cm <sup>2</sup> + OUTILS / ECLATS	F	552(43,6)	496(49,6)	729(50,7)	214(39,6)	599(30,9)	317(58,4)	1241(78,0)
	G	713(56,4)	504(50,4)	708(49,3)	327(60,4)	1339(69,1)	226(41,6)	351(22,0)
	F+G	1265	1000	1437	541	1938	543	1592
OUTILS SUR ECLATS	F	11(2,0)*	3 (0,6)	14 (1,9)	1 (0,5)	20 (3,3)	56(17,7)	169(13,6)
	G	26 (3,7)	4 (0,8)	9 (1,3)	5 (1,5)	12 (0,9)	14 (6,2)	17 (4,8)

\* Pourcentages calculés par rapport à l'ensemble des supports assimilés aux éclats supérieurs à 1 cm<sup>2</sup> et des outils sur éclats.

③	GRAIN	1	2	3	4	5	6	7
SUPPORTS ASSIMILES AUX LAMES + OUTILS / LAMES	F	776(74,9)	287(77,4)	683(78,1)	346(71,9)	590(72,2)	638(86,2)	519(85,4)
	G	260(25,1)	84(22,6)	191(21,9)	135(28,1)	227(27,8)	102(13,8)	89(14,6)
	F+G	1036	371	874	481	817	740	608
OUTILS SUR LAMES	F	87(11,2)*	38(13,2)	137(20,1)	32 (9,2)	121(20,5)	243(38,1)	172(33,1)
	G	25 (9,6)	10(11,9)	18 (9,4)	8 (5,9)	19 (8,4)	23(22,5)	27(30,3)

\* Pourcentages calculés par rapport à l'ensemble des supports assimilés aux lames et des outils sur lames.

Fig. 45 - Comparaison entre supports non retouchés et outils : effectifs et proportions.  
Comparison between blanks and tools : number and proportions.

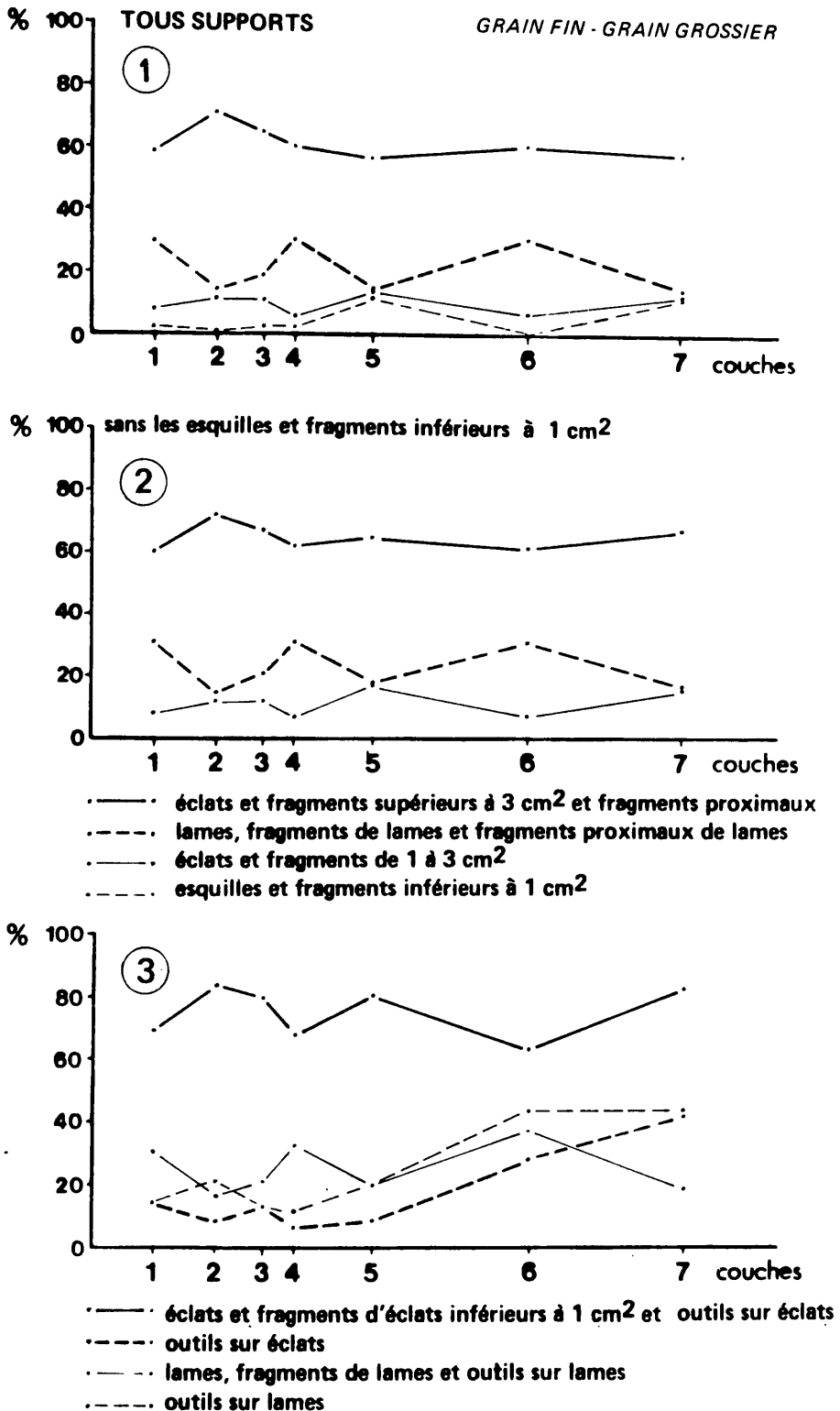


Fig. 46 - Poids des supports non retouchés et des outils (sans distinction de silex).  
 The weight of all the unretouched products and tools (all flint types included).



COUCHE	1	2	3	4	5	6	7
Eclats > 3 cm <sup>2</sup>	3155 40,3	2485 52,0	3050 39,4	1600 45,0	3055 30,4	1680 41,1	3035 32,2
Frgts Prox.Ecl.	435 5,6	25 0,5	335 4,3	50 1,4	725 7,2	375 9,2	870 9,2
Frgts Ecl > 3 cm <sup>2</sup>	1045 13,3	895 18,7	1665 21,5	500 14,1	1915 19,0	440 10,8	1605 17,0
Lames	1270 16,2	500 10,5	640 8,3	560 15,8	705 7,0	430 10,5	540 5,7
Frgts Prox.Lam.	665 8,5	90 1,9	490 6,3	190 5,3	425 4,2	390 9,5	480 5,1
Frgts de Lames	455 5,8	115 2,4	410 5,3	340 9,6	435 4,3	475 11,6	390 4,1
Eclats 1 à 3 cm <sup>2</sup>	390 5,0	220 4,6	530 6,9	165 4,6	795 7,9	240 5,9	880 9,3
Frgts Ecl.1-3cm <sup>2</sup>	240 3,1	385 8,1	360 4,7	75 2,1	745 7,4	60 1,5	430 4,6
Esquilles < 1 cm <sup>2</sup>	100 1,3	25 0,5	115 1,5	45 1,3	560 5,6		895 9,5
Frgts < 1 cm <sup>2</sup>	75 1,0	40 0,8	140 1,8	30 0,8	695 6,9	1255 12,5	290 3,1
POIDS TOTAL	7830 7655	4780 4715	7735 7480	3555 3480	10055 8800	4090	9415 8230

	1	2	3	4	5	6	7
Outils sur Ecl. (sans out.lourds)	890 69,8*	360 66,1	860 79,6	150 50,8	685 63,7	1100 52,0	4785 81,3
	14,5	8,2	12,6	5,9	8,6	28,2	41,2
Outils sur Lames	385 30,2	185 33,9	220 20,4	145 49,2	390 36,3	1015 48,0	1100 18,7
	13,9	20,8	12,5	11,7	19,9	43,9	43,8
TOTAL	1275	545	1080	295	1075	2115	5885

\* % calculé à partir du total des outils.

	1	2	3	4	5	6	7
Tous sup. assim. écl. > 1cm <sup>2</sup> (out. compris)	6155 68,9	4370 83,1	6800 79,4	2540 67,3	7920 80,2	3895 62,8	11605 82,2
Tous supports assimilés Lames	2775 31,1	890 16,9	1760 20,6	1235 32,7	1955 19,8	2310 37,2	2510 17,8
TOTAL	8930	5260	8560	3775	9875	6205	14115

Fig. 47 - Poids des supports non retouchés et des outils: effectifs et proportions.  
The weight of all the unretouched products and tools: number and proportions.

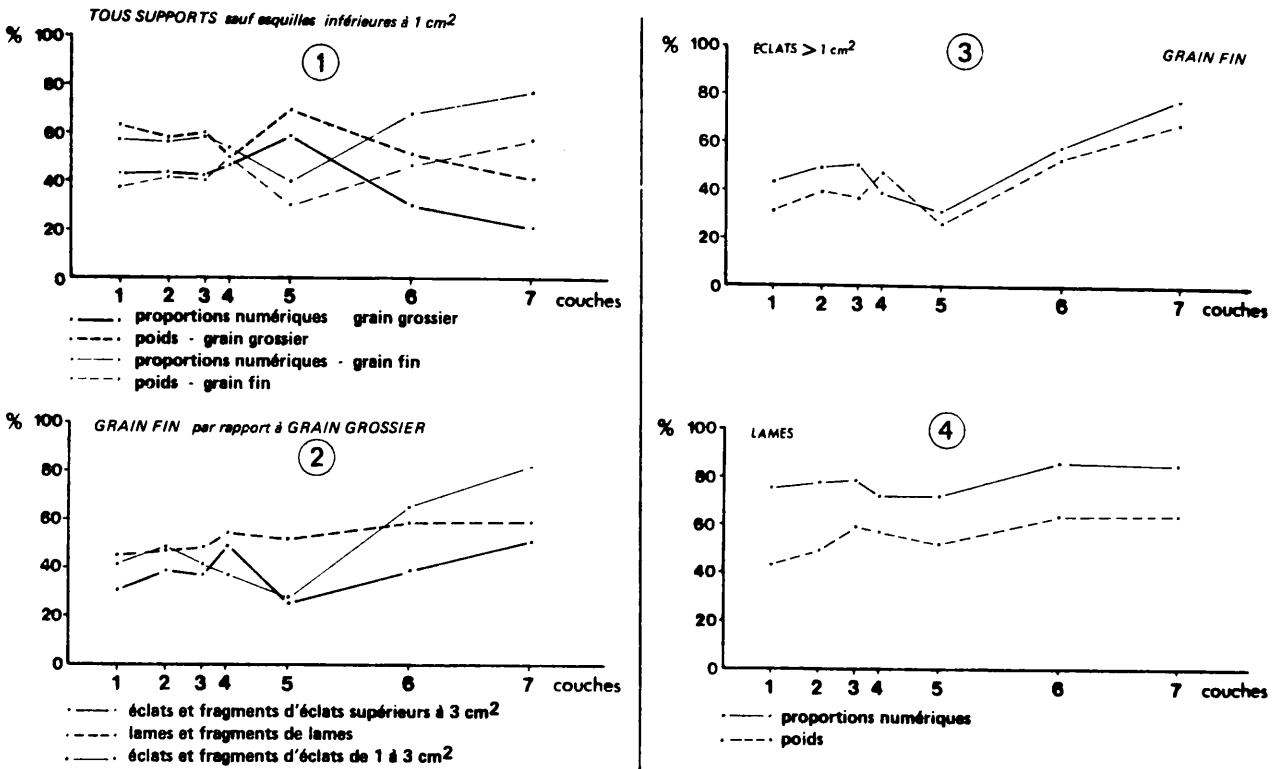


Fig. 48 - Poids en fonction du type de silex et comparaison entre poids et proportions.  
 Weight according to flint type and comparison between weight and proportions.

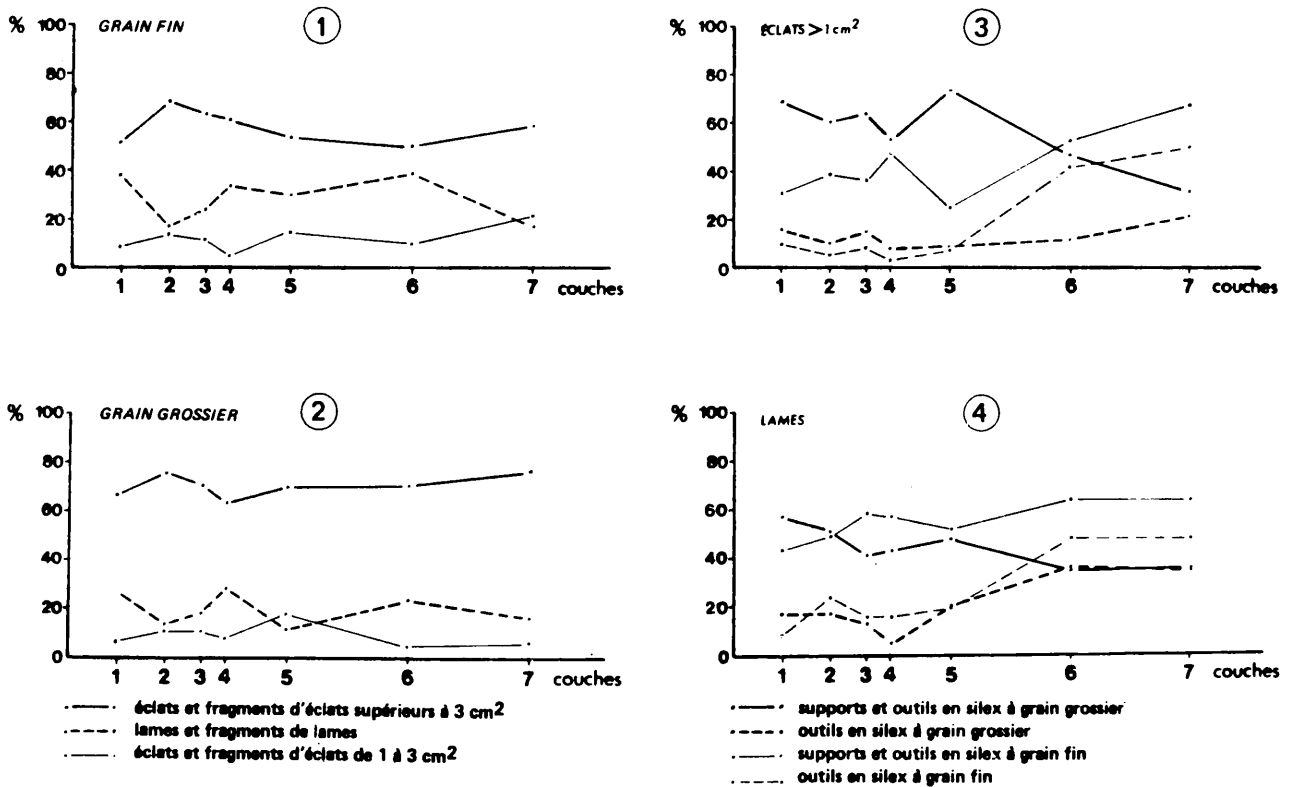


Fig. 49 - Poids en fonction du type de silex.  
 Weight according to flint type.

1

		1		2		3		4		5		6		7	
		Pds	%	Pds	%	Pds	%	Pds	%	Pds	%	Pds	%	Pds	%
Ecl. Frgts écl. >3cm2 Frgts prox.	F	1465	31,6° 51,8*	1340	39,4° 68,4*	1895	37,5° 63,2*	1060	49,3° 60,9*	1465	25,7° 54,1*	985	39,5° 50,5*	2840	51,5° 59,9*
	G	3170	68,4 65,7	2065	60,6 75,0	3155	62,5 70,4	1090	50,7 62,6	4230	74,3 69,5	1510	60,5 70,6	2670	48,5 76,5
Lames Fragments de Lames	F	1090	45,6 38,5	330	46,8 16,8	735	47,7 24,5	590	54,1 33,9	820	52,4 30,3	770	59,5 39,5	830	58,9 17,5
	G	1300	54,4 26,9	375	53,2 13,6	805	52,3 18,0	500	45,9 28,7	745	47,6 12,2	525	40,5 24,5	580	41,1 16,6
Eclats Frgts écl. 1 à 3 cm2	F	275	43,7 9,7	290	47,9 14,8	370	41,6 12,3	90	37,5 5,2	425	27,6 15,7	195	65,0 10,0	1070	81,7 22,6
	G	355	56,3 7,4	315	52,1 11,4	520	58,4 11,6	150	62,5 8,6	1115	72,4 18,3	105	35,0 4,9	240	18,3 6,9
TOTAL F		2830	37,0	1960	41,6	3000	40,1	1740	50,0	2710	30,8	1950	47,7	4740	57,6
TOTAL G		4825	63,0	2755	58,4	4480	59,9	1740	50,0	6090	69,2	2140	52,3	3490	42,4
TOTAL F + G		7655		4715		7480		3480		8800		4090		8230	

° % par rapport aux supports de la même catégorie.

\* % par rapport aux supports du même silex.

2

POIDS MOYEN D'UN SUPPORT								
Pds moy(en gr)	F	5,8*	7,0	5,0	8,3	7,2	6,8	8,0
d'un Ecl. >3cm2	G	10,0	11,5	14,2	7,2	8,5	10,0	15,1
Pds moy(en gr)	F	1,6	1,3	1,3	1,9	1,7	1,9	2,4
d'une lame	G	5,5	5,1	4,6	3,9	3,6	6,6	9,3
Pds moy(en gr)	F	0,9	1,0	1,1	1,0	1,1	1,7	1,5
écl.de 1-3cm2	G	1,0	1,0	1,1	0,9	1,3	1,7	1,5

\* Poids moyen calculé par rapport à l'ensemble des supports assimilés à un groupe rassemblant plusieurs catégories de supports (ex. éclats &gt;3 cm2 fragments prox. d'éclats, fragments d'éclats 3 cm2).

3

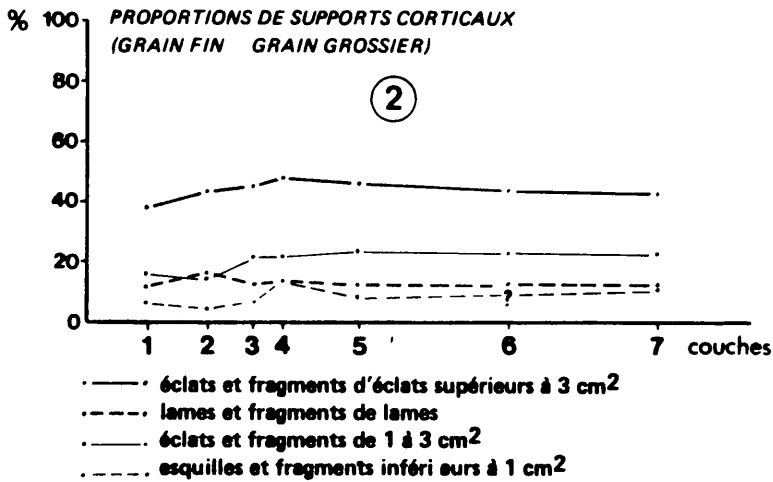
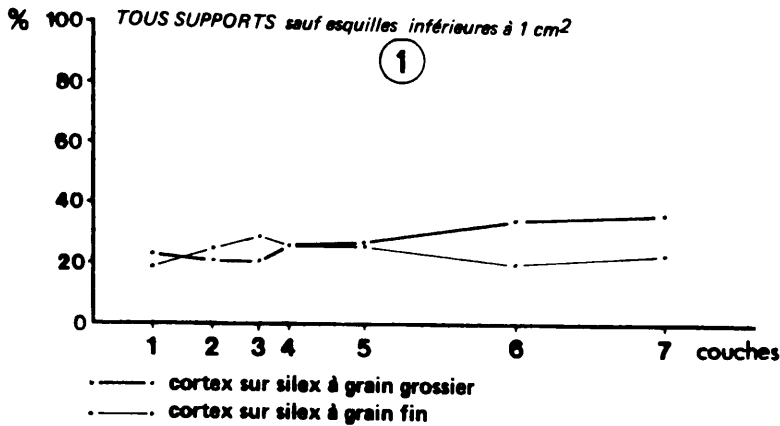
Ts supp ass. écl. >1cm2 + out/éclats	F	1930(31,4)	1725(39,5)	2470(36,3)	1190(46,9)	2035(25,7)	2055(52,8)	7860(67,7)
	G	4225(68,6)	2645(60,5)	4330(63,7)	1350(53,1)	5885(74,3)	1840(47,2)	3745(32,3)
TOTAL F + G		6155	4370	6800	2540	7920	3895	11605
Outils sur éclats	F	190(9,8)*	95(5,5)	205(8,3)	40(3,4)	145(7,1)	875(42,6)	3950(50,2)
	G	700(16,6)	265(10,0)	655(15,1)	110(8,1)	540(9,2)	225(12,2)	835(22,3)

\* Les % ont été calculés par rapport au poids total des supports de la même catégorie y compris les outils.

4

Ts supp lames + outils/lames	F	1195(43,1)	435(48,9)	875(59,3)	705(57,1)	1020(52,2)	1490(64,5)	1615(64,3)
	G	1580(56,9)	455(51,1)	600(40,7)	530(42,9)	935(47,8)	820(35,5)	895(35,7)
TOTAL F + G		2775	890	1475	1235	1955	2310	2510
Outils sur lames	F	105(8,8)	105(24,1)	140(16,0)	115(16,3)	200(19,6)	720(48,3)	785(48,6)
	G	280(17,7)	80(17,6)	80(13,3)	30(5,7)	190(20,3)	295(35,8)	315(35,2)

Fig. 50 - Poids en fonction du type de silex : effectifs et proportions.  
Weight according to flint type : number and proportions.



③

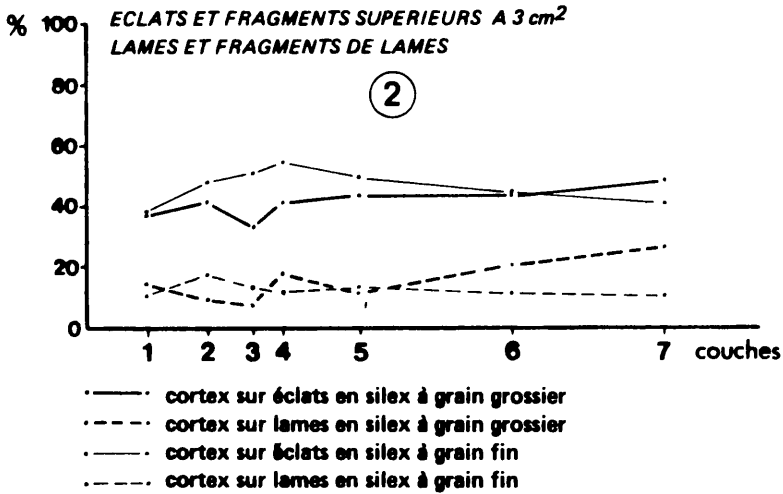
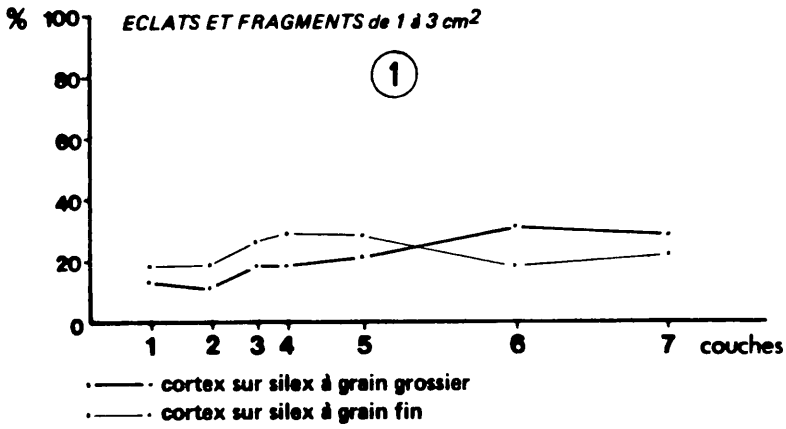
		1	2	3	4	5	6	7
TOTALITE DES SUPPORTS SAUF ECLATS < 1cm <sup>2</sup>	F	232(18,9)*	191(25,7)	365(28,9)	136(25,8)	274(26,1)	134(20,4)	342(24,1)
	G	211(22,9)	120(20,9)	180(20,6)	118(26,3)	426(27,7)	102(35,1)	148(37,4)
TOTAL F + G		443(20,6)	311(23,6)	545(25,5)	254(26,0)	700(27,1)	236(24,9)	490(27,0)

④

Eclats > 3cm <sup>2</sup>	220(38,7)*	164(44,4)	271(44,9)	134(48,2)	320(45,8)	131(44,3)	233(43,9)
Lames	114(12,3)	54(16,7)	94(13,1)	64(14,5)	91(13,4)	65(13,7)	55(13,4)
Eclats 1-3cm <sup>2</sup>	109(16,5)	93(14,9)	180(22,2)	56(21,8)	289(23,9)	40(22,6)	202(23,1)
Esquil. < 1cm <sup>2</sup>	43(6,0)	17(5,1)	85(7,4)	53(14,6)	557(7,8)		603(11,6)

\* Les pourcentages sont calculés en fonction du nombre total de supports dans la catégorie considérée.

Fig. 51 - Proportions des supports corticaux (1).  
Proportions of the cortical blanks (1).



		1	2	3	4	5	6	7
ECLATS 3cm2	F	99(39,3)*	88(46,3)	195(51,2)	71(55,9)	101(49,5)	65(44,8)	146(41,2)
	G	121(38,2)	76(42,5)	76(34,2)	63(41,7)	219(44,2)	66(43,7)	87(49,1)
LAMES	F	79(11,5)	46(18,5)	79(14,2)	40(12,7)	66(14,1)	48(12,2)	38(11,0)
	G	35(14,9)	8(10,3)	15(8,7)	24(18,9)	25(12,0)	17(21,5)	17(27,4)
ECLATS 1 à 3cm2	F	54(18,7)	57(18,8)	91(27,2)	25(29,1)	107(28,5)	21(18,1)	158(22,0)
	G	55(14,9)	36(11,2)	89(18,7)	31(18,1)	182(21,9)	19(31,1)	44(28,0)

\* Les chiffres entre parenthèses sont les pourcentages de supports corticaux par rapport à la totalité des supports de la catégorie et du silex considérés.

Fig. 52 - Proportions des supports corticaux (2).  
Proportions of the cortical blanks (2).

①

PROPORTIONS		1	2	3	4	5	6	7
ECLATS	F	130 10,6	139 18,7	242 19,2	91 17,3	66 6,3	80 12,2	162 11,4
	G	224 24,3	138 24,0	92 10,6	98 21,8	221 14,4	89 30,6	104 26,3
TOTAL		354 (16,4)*	277 (21,0)	334 (15,7)	189 (19,4)	287 (11,1)	169 (17,8)	266 (14,7)
LAMES	F	120 9,8	68 9,2	142 11,3	75 14,2	57 5,4	32 4,9	44 3,1
	G	75 8,1	23 4,0	23 2,6	35 7,8	45 2,9	29 10,0	28 7,1
TOTAL		195 (9,1)	91 (6,9)	165 (7,7)	110 (11,3)	102 (4,0)	61 (6,4)	72 (4,0)
TOTAL E + L		549 (25,5)	368 (28,0)	499 (23,4)	299 (30,6)	389 (15,1)	230 (24,3)	338 (18,6)

\* % calculé par rapport à la totalité des supports sauf < 1 cm<sup>2</sup> (effectifs fig. 36 ).

②

PROPORTIONS		1	2	3	4	5	6	7
ECLATS	F	51,6	73,2	63,5	71,6	32,2	55,2	45,8
	G	70,7	77,1	41,4	64,9	44,6	58,9	58,8
F + G		62,2	75,1	55,4	68,0	41,1	57,1	50,1
LAMES	F	17,4	27,3	26,0	23,9	12,1	8,1	12,7
	G	31,9	31,1	13,3	27,6	21,6	36,7	45,2
F + G		21,1	28,2	22,9	24,9	15,1	12,9	17,6

③

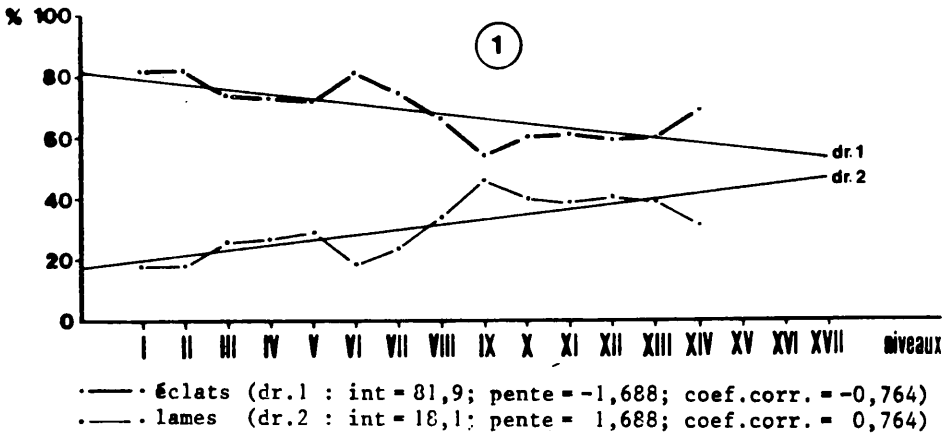
POIDS en grammes		1	2	3	4	5	6	7
ECLATS	F	675 23,9	850 30,9	820 18,3	780 44,8	545 20,1	620 31,8	1125 23,7
	G	2480 51,4	1635 34,7	2230 29,8	820 23,6	2510 41,2	1060 49,5	1910 54,7
F + G		3155	2485	3050	1600	3055	1680	3035
LAMES	F	430 15,2	175 6,4	230 5,1	205 11,8	305 11,3	115 5,9	170 3,6
	G	840 17,4	325 6,9	410 5,5	355 10,2	400 6,6	315 14,7	370 10,6
F + G		1270	500	640	560	705	430	540

\* % calculés par rapport à la totalité des supports (sauf ceux < 1 cm<sup>2</sup>) du même silex.

④

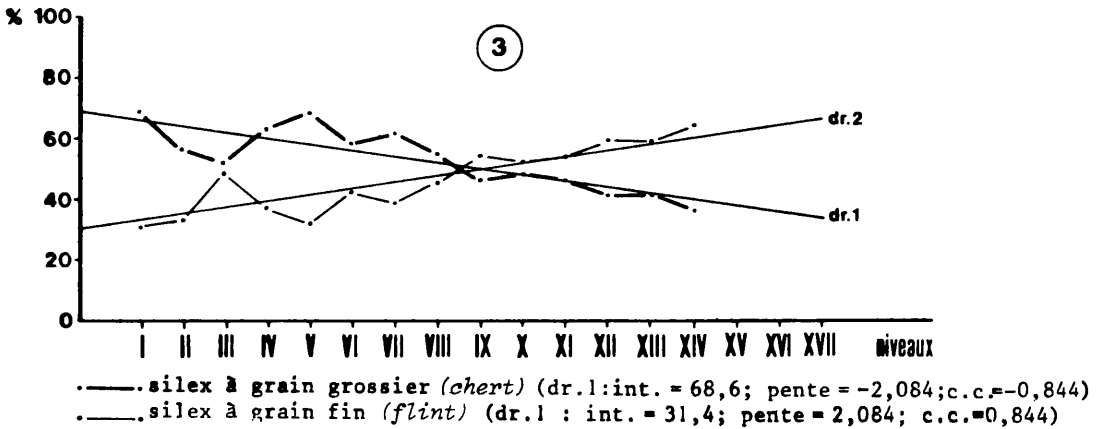
POIDS MOYEN en grammes		1	2	3	4	5	6	7
ECLATS	F	5,2	6,1	3,4	8,6	8,3	7,8	6,9
	G	11,1	11,8	24,2	8,4	11,4	11,9	18,4
LAMES	F	3,6	2,6	1,6	2,7	5,4	3,6	3,9
	G	11,2	14,1	17,8	10,1	8,9	10,1	13,2

Fig. 53 - Les supports entiers: effectifs et poids.  
Complete blanks: number and proportions.



②

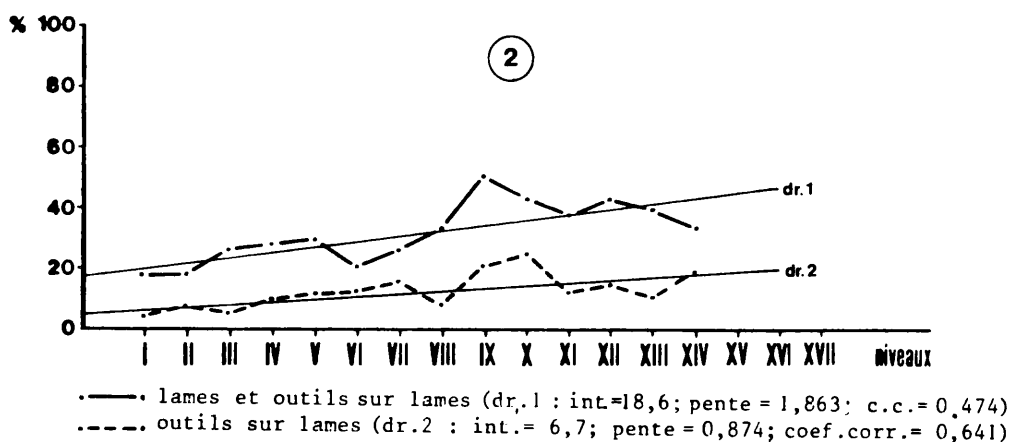
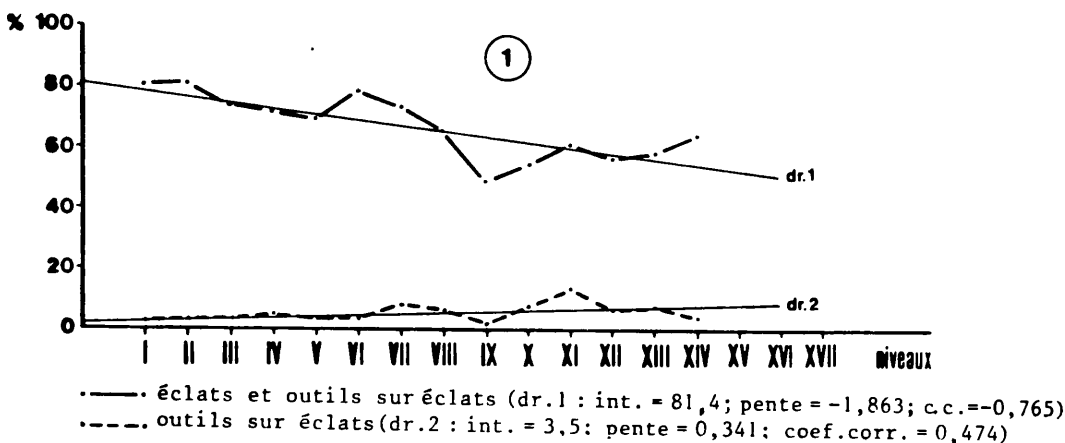
		I	II	III	IV	V	VI	VII	VIII	IX	X	XI	XII	XIII	XIV
ECLATS	Nb	771	940	904	973	561	1768	529	1301	334	244	582	181	199	215
	%	81,6	82,2	73,8	72,9	72,1	80,9	75,5	66,1	53,8	60,2	61,3	59,3	60,3	68,9
LAMES	Nb	174	203	321	361	217	418	172	667	287	161	367	124	131	97
	%	18,4	17,8	26,2	27,1	28,9	19,1	24,5	33,9	46,2	39,8	38,7	40,7	39,7	31,1
TOTAL		945	1143	1125	1334	778	2186	701	1968	621	405	949	305	330	312



④

		I	II	III	IV	V	VI	VII	VIII	IX	X	XI	XII	XIII	XIV
SILEX F (flint)	Nb	297	497	591	489	247	918	269	877	338	212	509	180	193	199
	%	31,4	43,5	48,2	36,7	31,7	42,0	38,4	44,6	54,4	52,3	53,6	59,0	58,5	63,8
SILEX G (chert)	Nb	648	646	634	845	531	1268	432	1091	283	193	440	125	137	113
	%	68,6	56,5	51,8	63,3	68,3	58,0	61,6	55,4	45,6	47,7	46,4	41,0	41,5	36,2
TOTAL		945	1143	1225	1334	778	2186	701	1968	621	405	949	305	330	312

Fig. 54 - Effectifs, pourcentages et graphiques (supports et type de silicium) à partir de l'étude de J.H. Skinner (1968).  
 Number, percentages and diagrams (blanks and flint type) (after SKINNER, 1968).



3

		I	II	III	IV	V	VI	VII	VIII	IX	X	XI	XII	XIII	XIV
OUTILS SUR E.	Nb	35	39	42	54	16	75	50	92	12	22	96	13	18	10
	%(1)	77,8	67,2	70,0	55,7	34,0	53,6	61,0	60,1	13,5	29,3	63,6	36,1	51,4	30,3
	%(2)	4,3	4,0	4,4	5,3	2,8	4,1	8,6	6,6	3,5	8,3	14,2	6,7	8,3	4,4
OUTILS SUR L.	Nb	10	19	18	43	31	65	32	61	77	53	55	23	17	23
	%	22,2	32,8	30,0	44,3	66,0	46,4	29,0	39,9	86,5	70,7	36,4	63,9	48,6	69,7
	%	5,4	8,6	5,3	10,6	12,5	13,5	15,7	8,4	21,1	24,8	13,0	15,6	11,5	19,2
TOTAL(a)		45	58	60	97	47	140	82	153	89	75	151	36	35	33

4

		I	II	III	IV	V	VI	VII	VIII	IX	X	XI	XII	XIII	XIV
ECLATS + O/E	Nb	806	979	946	1027	577	1843	579	1393	346	266	678	194	217	225
	%	81,4	81,5	73,6	71,8	69,9	79,2	73,9	65,7	48,7	55,4	61,6	56,9	59,4	65,2
LAMES + O/L	Nb	184	222	339	404	248	483	204	728	364	214	422	147	148	120
	%	18,6	18,5	26,4	28,2	30,1	20,8	26,1	34,3	51,3	44,6	38,4	43,1	40,6	34,8
TOTAL(b)		990	1201	1285	1431	825	2326	783	2121	710	480	1100	341	365	345

(1) Pourcentages calculés par rapport au nombre total d'outils (a)

(2) Pourcentages calculés par rapport au nombre total de supports bruts et d'outils (b)

Fig. 55 Effectifs, pourcentages et graphiques (supports bruts et outils) à partir de l'étude de J.H. Skinner.

Number, percentages and diagrams (blanks and tools) (after SKINNER, 1968).



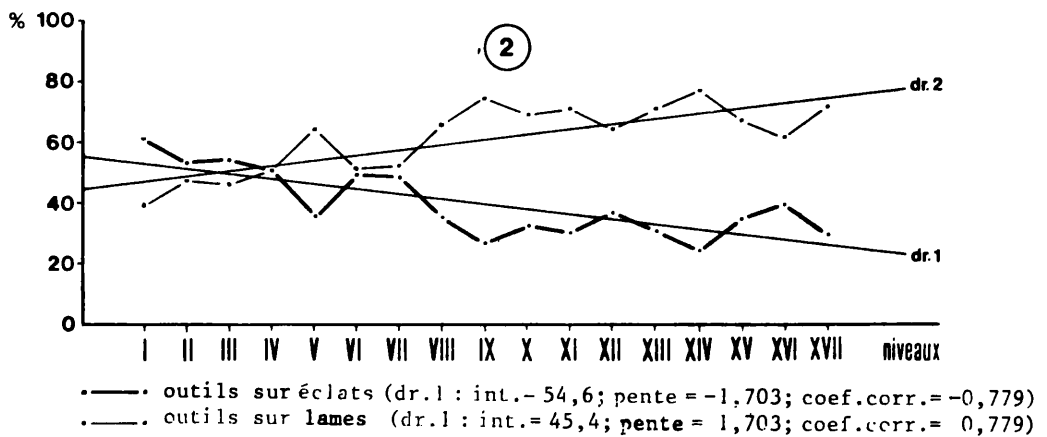
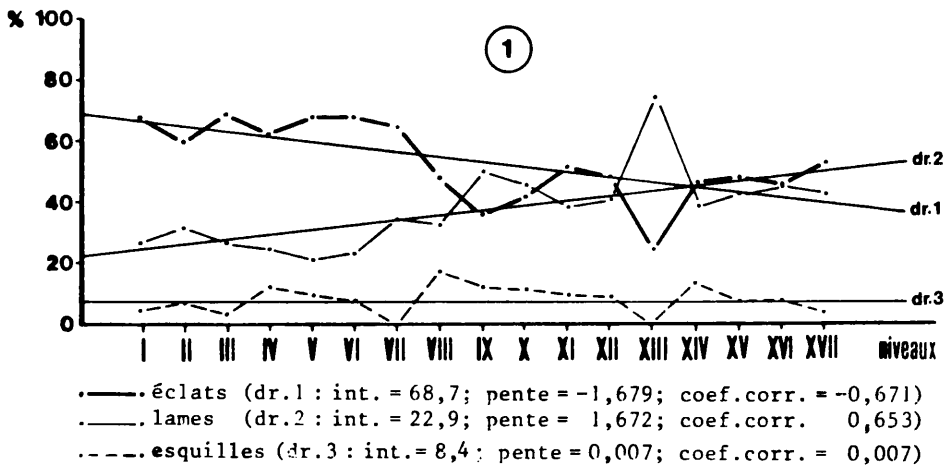
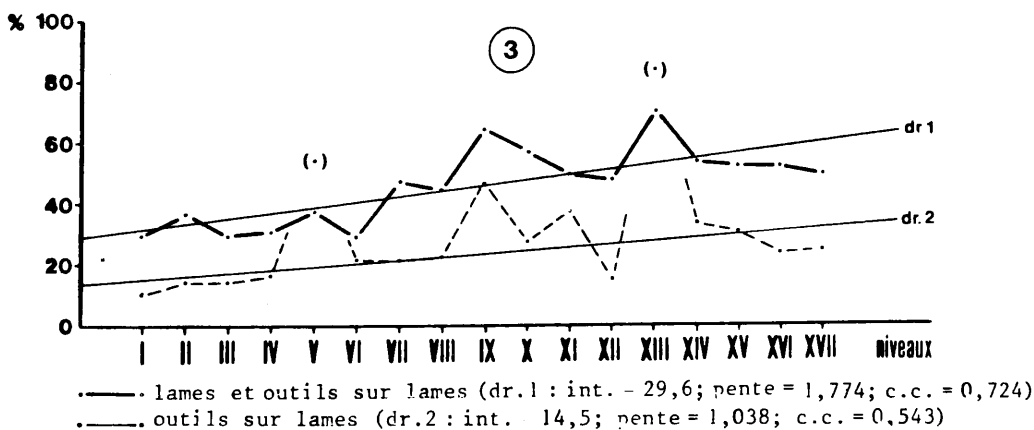
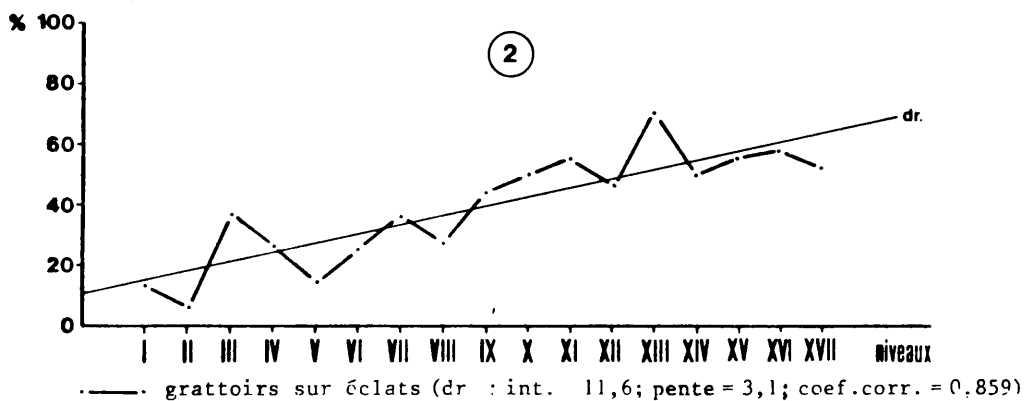
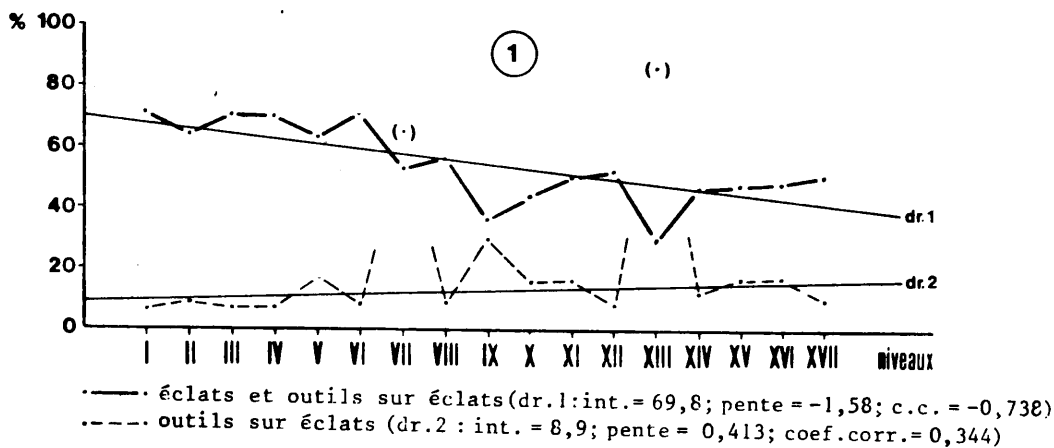


Fig. 56 - Supports bruts et outils d'après l'étude de M.-C. Cauvin (1978).  
 Blanks and tools (after M.-C. CAUVIN, 1978).



Les droites de régression ont été calculées sans les valeurs aberrantes qui figurent entre parenthèses.

Fig. 57 - Comparaison entre outils et supports bruts en fonction du type de supports, d'après l'étude de M.-C. Cauvin.  
 Comparison between tools and blanks according to blank type (after M.-C. CAUVIN, 1978).

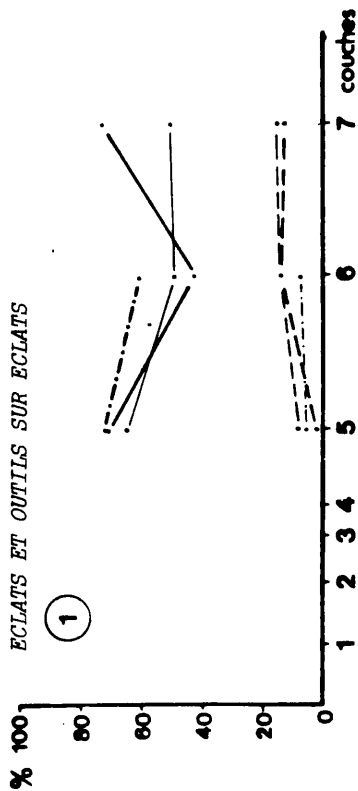
		i	II	III	IV	V	VI	VII	VIII	IX	X	XI	XII	XIII	XIV	XV	XVI	XVII
DEBITAGE	Nb	1207	457	671	834	100	1202	15	701	68	148	265	149	2	181	616	200	707
	%	68,2	60,4	69,6	62,7	68,0	68,2	65,2	48,6	36,8	42,3	51,8	49,2	25,0	46,8	48,6	46,5	53,2
LAMES	Nb	475	244	256	328	32	415	8	482	93	160	194	125	6	152	549	197	571
	%	26,8	32,2	26,6	24,7	21,8	23,5	34,8	33,4	50,2	45,7	37,9	41,2	75,0	39,3	43,3	45,8	43,0
ESQUILLES	Nb	88	56	37	168	15	145	0	259	24	42	53	29	0	54	102	33	50
	%	5,0	7,4	3,8	12,6	10,2	8,2	18,0	13,0	12,0	10,3	9,6	13,9	8,1	7,7	3,8		
TOTAL		1770	757	964	1330	147	1762	23	1442	185	350	512	303	8	387	1267	430	1328
OUTILS	Nb	80	46	51	61	21	104	28	73	29	28	49	13	14	24	127	41	75
	%	60,6	52,9	54,3	50,0	35,6	49,1	48,3	34,8	26,4	31,8	29,7	36,1	30,4	24,0	34,3	39,4	29,3
OUTILS SUR LAMES	Nb	52	41	43	61	38	108	30	137	81	60	116	23	32	76	243	63	181
	%	39,4	47,1	45,7	50,0	64,4	50,9	51,7	65,2	73,6	68,2	70,3	63,9	69,6	76,0	65,7	60,6	70,7
TOTAL		132	87	94	122	59	212	58	210	110	88	165	36	46	100	370	104	256
DEBITAGE ET OUTILS	Nb	1287	503	722	895	121	1306	43	774	97	176	314	162	16	205	743	241	782
	% (1)	70,9	63,8	70,7	69,7	63,3	71,4	53,1	55,6	35,8	44,4	50,3	52,3	29,6	47,3	48,4	48,1	51,0
OUTILS SUR ECLATS	Nb	80	46	51	61	21	104	28	73	29	28	49	13	14	24	127	41	75
	% (2)	6,2	9,1	7,1	6,8	17,4	8,0	65,1	9,4	29,9	15,9	15,6	8,0	87,5	11,7	17,1	17,0	9,6
LAMES ET OUTILS SUR LAMES	Nb	527	285	299	389	70	523	38	619	174	220	310	148	38	228	792	260	752
	% (1)	29,1	36,2	29,3	30,3	36,7	28,6	46,9	44,4	64,2	55,6	49,7	47,7	70,4	52,7	51,6	51,9	49,0
OUTILS SUR LAMES	Nb	52	41	43	61	38	108	8	137	81	60	116	23	32	76	243	63	181
	% (3)	9,9	14,4	14,4	15,7	54,3	20,7	21,0	22,1	46,5	27,3	37,4	15,5	84,2	33,3	30,7	24,2	24,1
TOTAL (a)		814	788	1021	1284	191	1829	81	1393	271	396	624	310	54	433	1535	501	1534

Pourcentages calculés par rapport (1) au total (a), (2) au nombre total d'éclats, bruts et retouchés (3) au total de lames, brutes et retouchées.

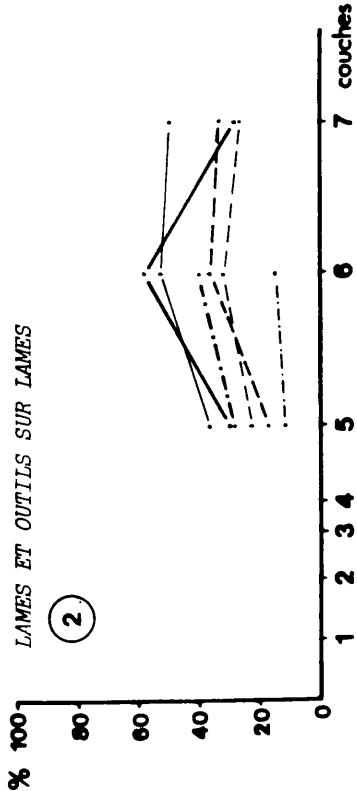
		i	II	III	IV	V	VI	VII	VIII	IX	X	XI	XII	XIII	XIV	XV	XVI	XVII
GRATTOIRS SUR ECLATS	Nb	11	3	19	16	3	26	10	20	13	14	27	6	10	12	71	24	40
	%	13,7	6,5	37,2	26,2	14,3	25,0	35,7	27,4	44,8	50,0	55,1	46,1	71,4	50,0	55,9	58,5	53,3
OUTILS SUR ECLATS	Nb	80	46	51	61	21	104	28	73	29	28	49	13	14	24	127	41	75

Fig. 58 - Effectifs et pourcentages des supports bruts et des outils, d'après l'étude de M.-C. Cauvin. Number and percentages of the blanks and tools (after M.-C. CAUVIN, 1978).

ECLATS ET OUTILS SUR ECLATS



LAMES ET OUTILS SUR LAMES



- supports et outils des couches 5,6 et 7
- - - outils des couches 5,6 et 7
- ..... supports et outils étudiés par M.-C. Cauvin
- ..... outils étudiés par M.-C. Cauvin
- ..... supports et outils étudiés par J.H. Skinner
- ..... outils étudiés par J.H. Skinner

Fig. 59 -

Comparaison entre le débitage des couches n° 5, n° 6 et n° 7 et les débitages étudiés par M.-C. Cauvin et J.H. Skinner. Les niveaux de M. van Loon ont été regroupés selon les phases définies par J. Cauvin.  
 Comparison between the debitage from layers 5, 6 and 7, and the debitage studied by M.-C. Cauvin and J.H. Skinner. The van Loon levels are grouped according to Cauvin's phases.

3

	Phase II		Phase IIIA		Phase IIIB	
	Nb	%	Nb	%	Nb	%
Eclats et outils sur éclats	1838	70,3*	543	42,3	1592	72,4
Eclats et outils sur lames	817	29,7	740	57,7	608	27,6
outils sur éclats	32	1,6°	70	12,9	186	11,7
outils sur lames	140	17,1	266	35,9	199	32,7

4

D'après M.-C. Cauvin

	Niveaux I à XI	Niveaux XII à XIV	Niveaux XV à XVII			
Eclats et outils sur éclats	6238	64,4	383	48,1	1766	49,5
Lames et outils sur lames	3454	35,6	414	51,9	1804	50,5
outils sur éclats	570	9,1	51	13,3	243	13,6
outils sur lames	745	21,6	131	31,6	487	27,0

5

D'après J.H. Skinner

	Niveaux I à XI	Niveaux XII à XIV		
Eclats et outils sur éclats	9440	71,2	636	60,5
Lames et outils sur lames	3812	28,8	415	39,5
outils sur éclats	533	5,6	41	6,4
outils sur lames	464	12,2	63	15,2

\* Les pourcentages sont calculés par rapport à la totalité des supports bruts et des outils

° Les pourcentages sont calculés par rapport à la somme des supports bruts et des outils de la même catégorie.

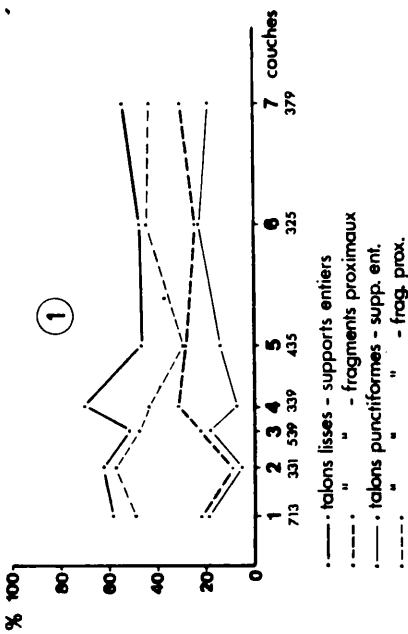


Fig. 60 - Comparaison des différentes proportions de talons entiers et proximaux (écarts, lames, silex à grain fin et silex à grain grossier confondus).  
 Comparison of the different butt proportions between complete blanks and proximal fragments (flakes, blades, fine flint and coarse flint).

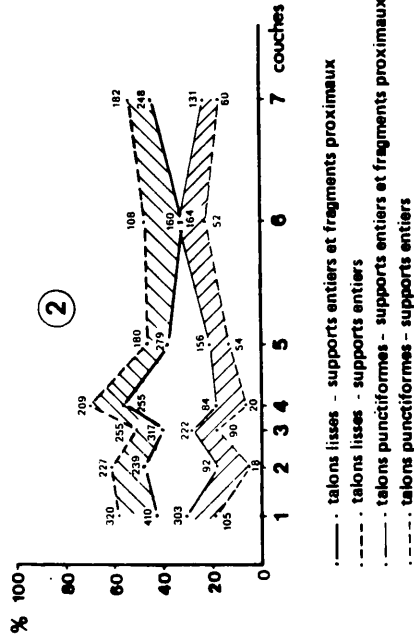


Fig. 61 - Vérification de la représentativité statistique des parties proximales: test d'homogénéité appliqué aux talons lisses et aux talons punctiformes.  
 Verification of statistical representativity of the proximal ends. Homogeneity test applied to plain and punctiform butts.

	1	2	3	4	5	6	7
TALONS LISSES	Nb	320	227	255	209	180	182
	z(1)	58,3	61,7	51,1	70,1	46,3	47,0
SUPPORTS ENTIERS	Nb	90	12	62	46	99	56
	z	22,1	9,2	22,0	31,1	28,4	22,9
FRAGTS PROXIMAUX	Nb	410	239	317	255	279	164
	z	42,9	47,9	40,6	57,2	37,6	34,5
TALONS PUNCTIFORMES	Nb	105	18	90	20	54	52
	z	19,1	4,9	18,0	6,7	13,9	22,6
FRAGTS PROXIMAUX	Nb	198	74	132	64	102	108
	z	48,6	56,5	46,8	43,2	29,3	44,1
SUPPORTS ENTIERS	Nb	303	92	222	84	156	160
	z	31,7	18,4	28,4	18,8	21,0	34,5
ET FRAGTS PROXIM.	Nb	320	227	255	209	180	182
	z	58,3	61,7	51,1	70,1	46,3	47,0

(1) Les pourcentages sont calculés par rapport au nombre total de supports considérés.  
 - Test du  $\chi^2$  à partir des données brutes :  $\chi^2 = 252,00$ ,  $v = 30$ , P. associée 0,001.  
 - Test du  $\chi^2$  à partir des données normalisées :  $\chi^2 = 63,20$ ,  $v = 30$ , P. associée 0,001.

	TALONS LISSES SUPP. FRAG.	TALONS LISSES ENT. + FRAG.	TALONS PUNCTIFORMES SUPP. FRAG.	TALONS PUNCTIFORMES ENT. + FRAG.
TALONS LISSES SUPP. ENT.	$\chi^2 = 17,14$ $v = 6$ P = 0,009	$\chi^2 = 0,73$ $v = 6$ P = 0,994	TALONS PUNCTIFORMES SUPP. ENT.	TALONS PUNCTIFORMES SUPP. FRAG.
TALONS LISSES SUPP. FRAG.	$\chi^2 = 12,54$ $v = 6$ P = 0,051	$\chi^2 = 19,83$ $v = 6$ P = 0,003	TALONS PUNCTIFORMES SUPP. FRAG.	TALONS PUNCTIFORMES ENT. + FRAG.

ENT. = supports entiers.  
 FRAG. = fragments proximaux.  
 v = degré de liberté.  
 P = coefficient d'association (coefficient de contingence de Pearson).  
 Le test d'homogénéité a été appliqué aux données normalisées.

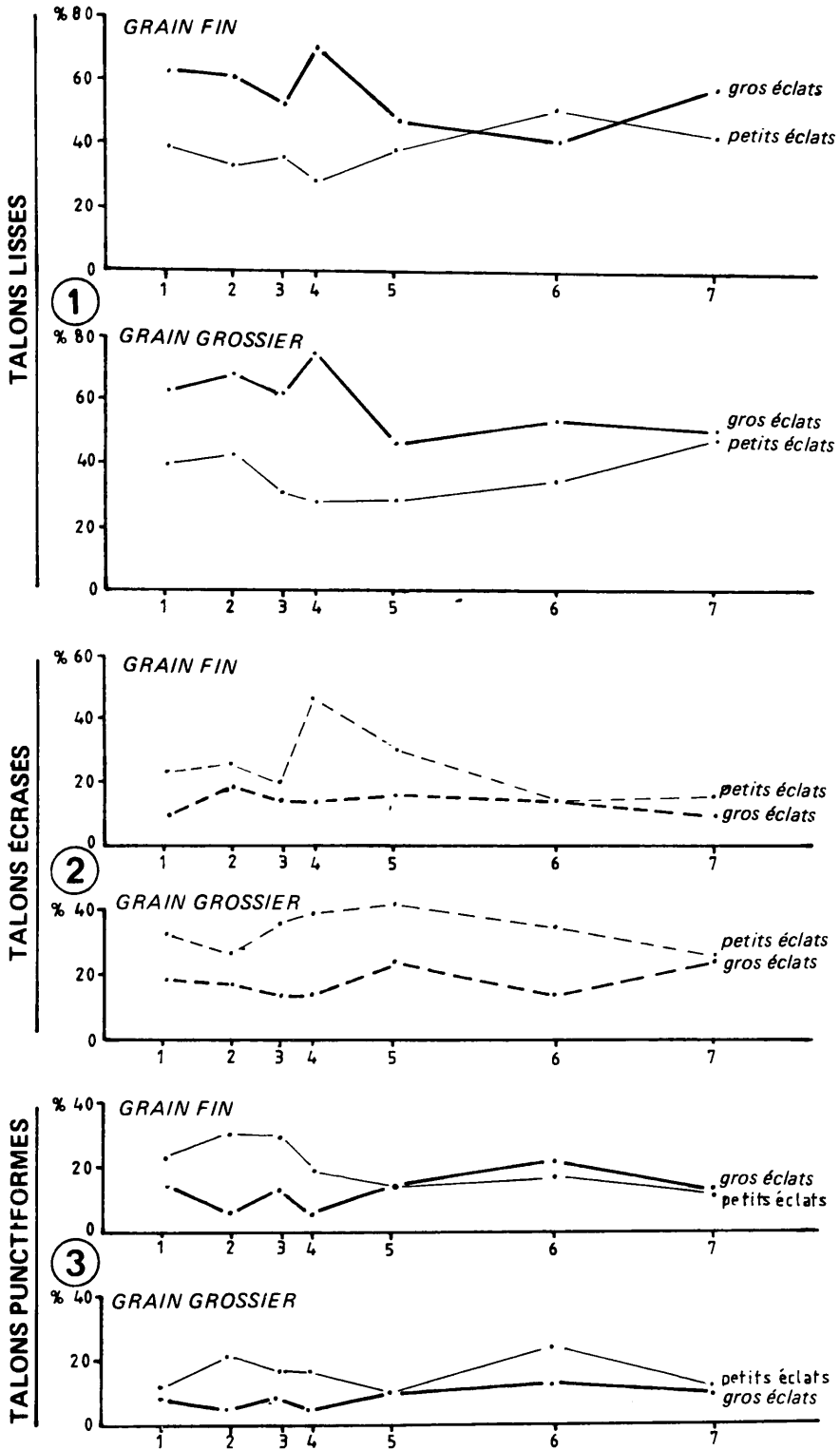
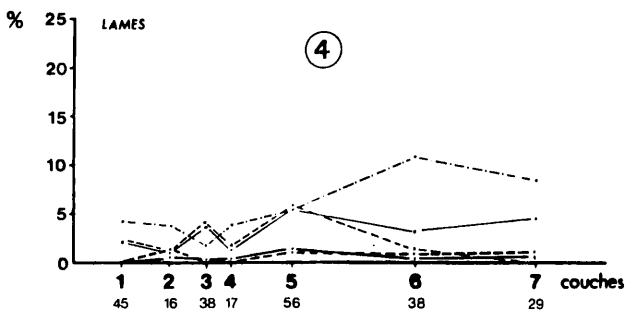
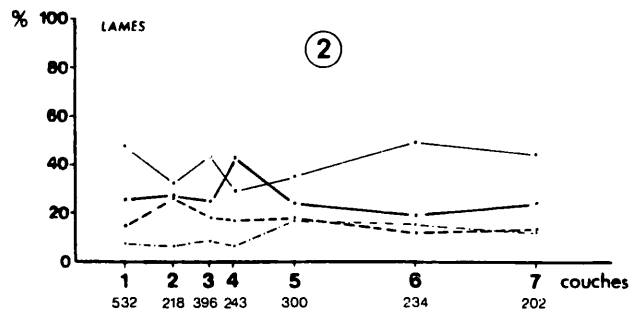
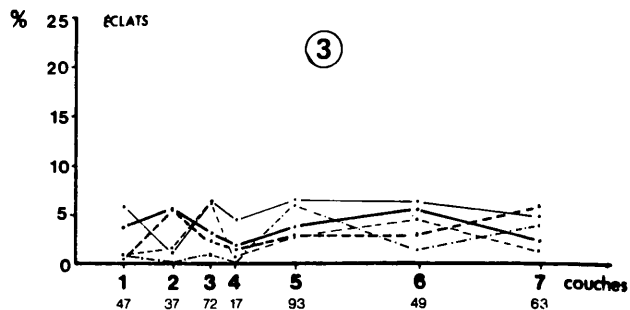
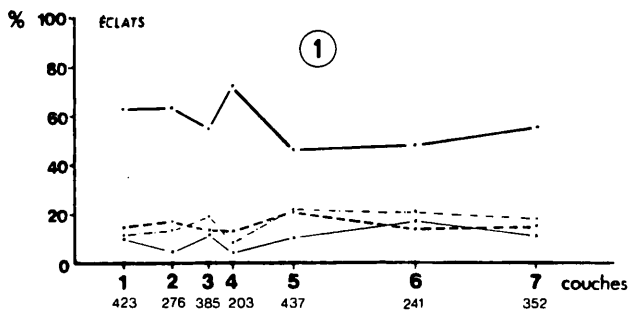


Fig. 62 - Comparaison entre les talons lisses, écrasés et punctiformes sur les éclats (supérieurs à 3 cm<sup>2</sup> et compris entre 1 et 3 cm<sup>2</sup>) en silex à grain fin et en silex à grain grossier.

Comparison between plain, crushed and punctiform butts on flakes (according to the size of the flakes and the flint type).

GRAIN FIN - GRAIN GROSSIER

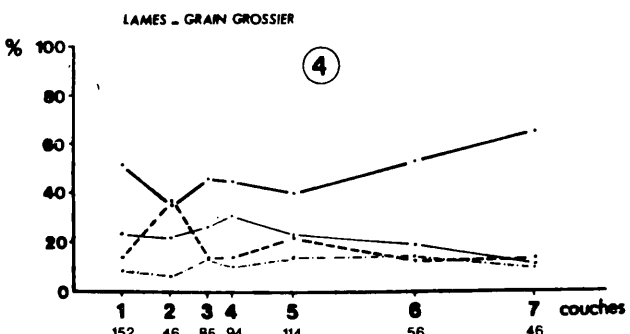
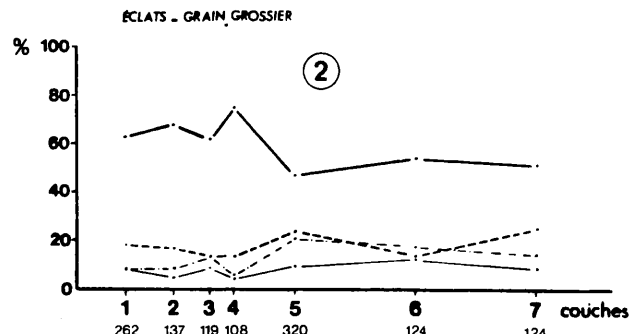
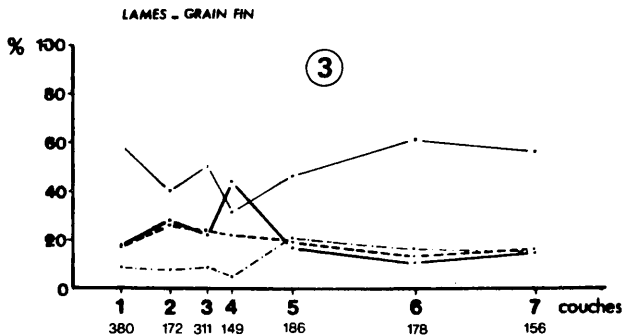
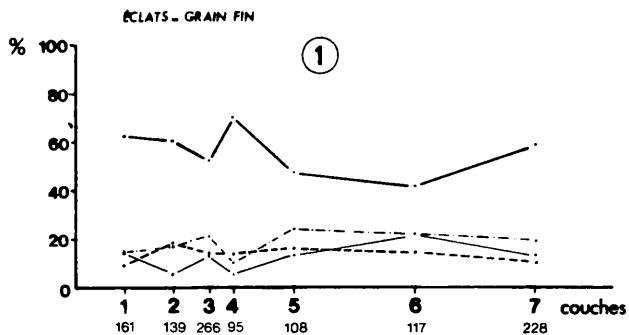
GRAIN FIN - GRAIN GROSSIER



— lisses  
 - - - écrasés  
 — talons punctiformes  
 - - - talons «rares» éversés, filiformes, dièdres, facettés et corticaux

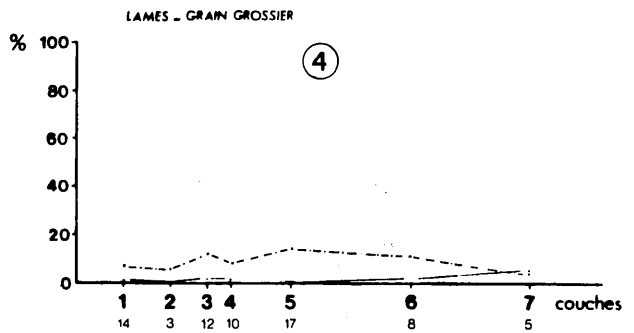
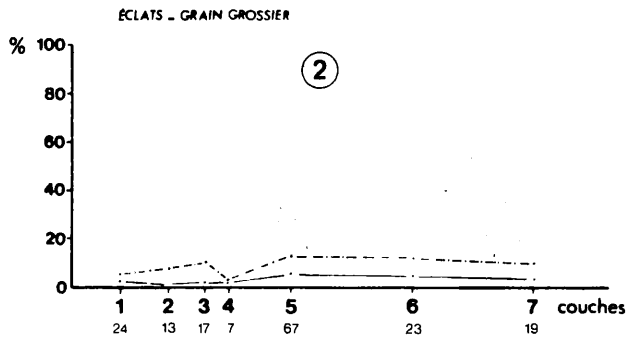
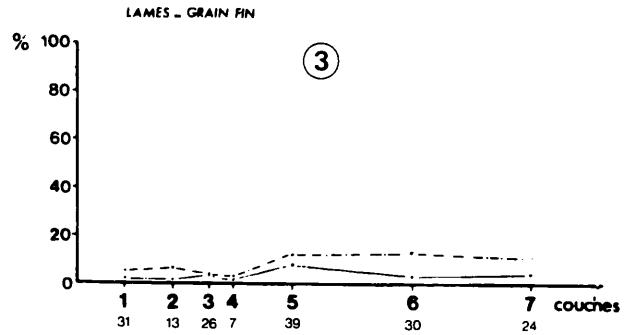
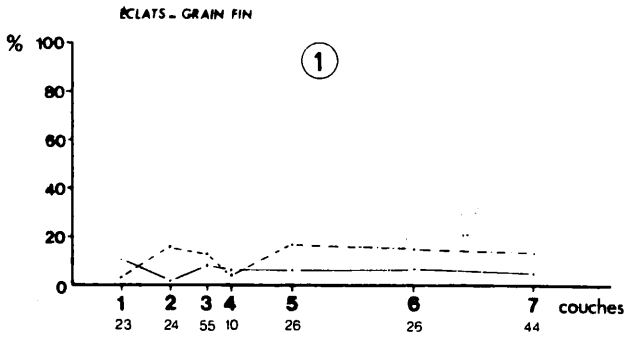
— dièdres  
 - - - corticaux  
 - - - filiformes  
 - - - éversés

Fig. 63 - Aspect du talon.  
 Form of the butt.



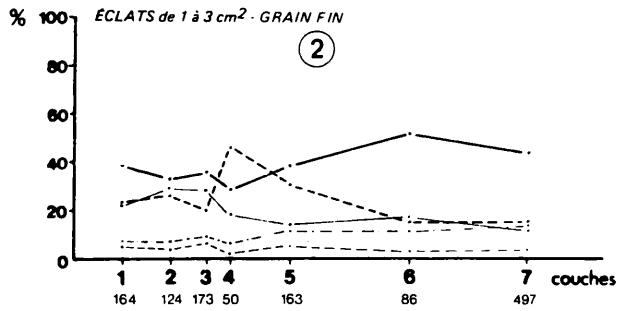
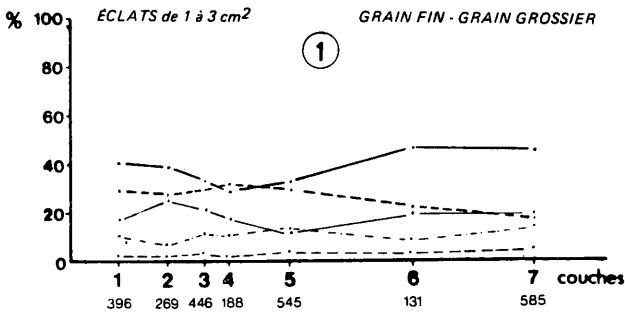
— talons lisses  
 - - - talons écrasés  
 — talons punctiformes  
 - - - talons «rares»

Fig. 64 - Aspect du talon: tous les talons.  
 Form of the butt: all butts.



..... talons corticaux  
 - - - - - talons « rares » : éversés, filiformes, dièdres, facettés

Fig. 65 - Aspect du talon: les talons "rares".  
 Form of the butt: "rare" butt types.



..... talons lisses  
 - - - - - talons corticaux  
 - - - - - talons écrasés  
 - - - - - talons punctiformes  
 - - - - - talons « rares »

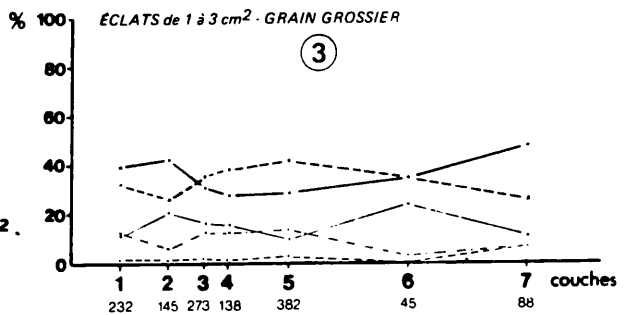
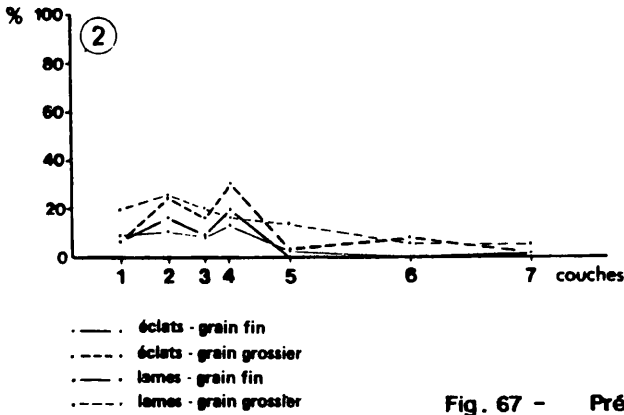
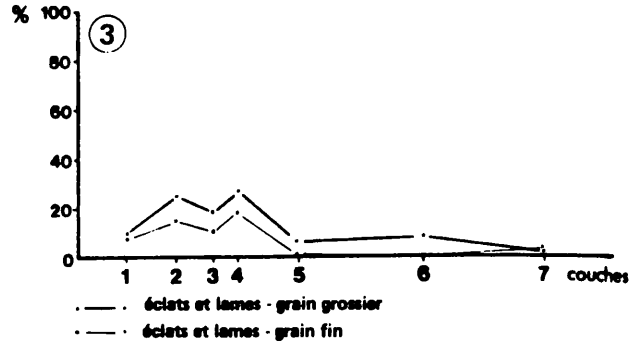
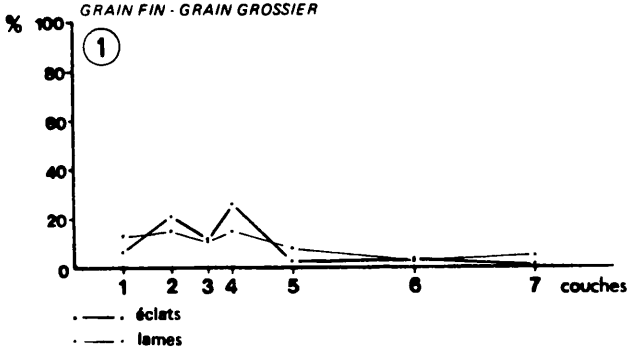


Fig. 66 - Aspect du talon: sur les éclats de 1 à 3 cm<sup>2</sup>.  
 Form of the butt on flakes of 1 to 3 cm<sup>2</sup>.





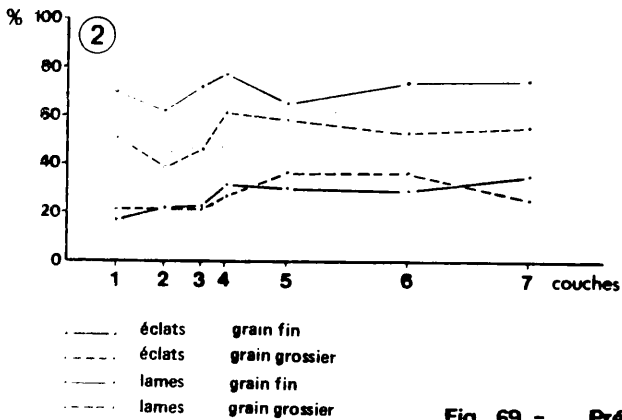
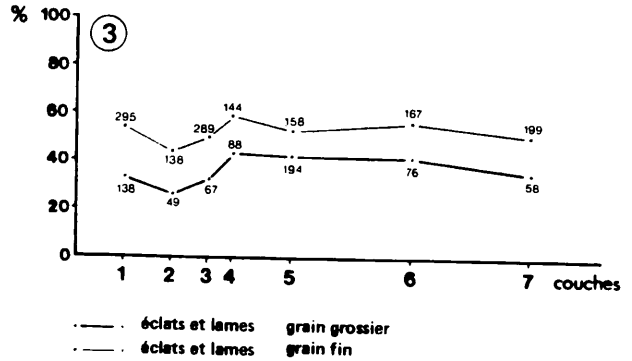
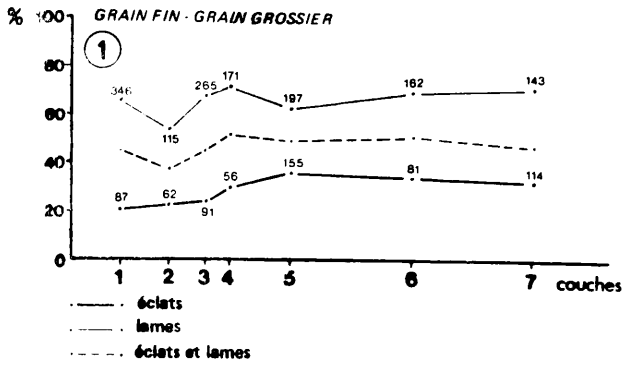
	1	2	3	4	5	6	7
Eclats F + G	24 354	59 277	44 524	50 189	10 287	8 169	6 266
Lames F + G	26 195	14 91	19 165	11 110	9 102	2 61	4 131
Eclats F	9 130	24 139	25 242	19 91	0 67	0 80	4 162
Eclats G	15 224	35 138	16 92	31 98	10 220	8 89	2 104
Lames F	11 120	8 68	14 142	11 75	2 57	0 32	3 44
Lames G	15 45	6 23	5 23	6 35	7 45	8 29	1 28
Eclats+ Lames F	20 250	32 207	39 384	30 166	2 124	0 112	7 206
Eclats+ Lames G	30 277	44 161	24 145	37 133	12 165	10 118	3 132

a nombre de supports avec une lèvres  
o nombre total de supports considérés

Fig. 67 - Présence d'une lèvres.  
Presence of a lip.

		COUCHE 2		COUCHE 4		COUCHE 7
		ECLATS à LEVRE	TOTALITE des ECLATS	ECLATS à LEVRE	TOTALITE des ECLATS	TOTALITE des ECLATS
		Nb: 47	Nb: 174	Nb: 46	Nb: 139	Nb: 160
MODULE (rapport long / larg )	Moyenne	1,14	1,18	1,16	1,15	1,016
	Ecart-type	0,368	0,370	0,375	0,368	0,330
	Variance	0,133	0,137	0,138	0,136	0,109
LONGUEUR	Moyenne	29,4 mm	32,5 mm	33,9 mm	33,3 mm	34,2 mm
	Ecart-type	8,277	11,081	11,462	11,315	12,390
	Variance	67,049	122,784	128,514	128,038	153,51
LARGEUR	Moyenne	27,4 mm	29,3 mm	31,0 mm	31,0 mm	34,3 mm
	Ecart-type	8,824	10,499	11,251	12,031	10,397
	Variance	76,20	110,221	123,826	144,746	108,098
EPAISSEUR	Moyenne	7,8 mm	8,3 mm	6,6 mm	7,0 mm	9,2 mm
	Ecart-type	3,301	4,004	3,309	3,497	3,333
	Variance	10,694	16,029	10,711	12,232	11,109
LONGUEUR DU TALON	Moyenne	14,0 mm	16,7 mm	12,4 mm	12,9 mm	21,1 mm
	Ecart-type	8,292	9,330	9,306	8,092	8,102
	Variance	67,26	87,042	84,721	65,475	65,643
EPAISSEUR DU TALON	Moyenne	5,8 mm	6,9 mm	4,2 mm	4,5 mm	7,9 mm
	Ecart-type	3,627	3,781	2,479	2,707	3,389
	Variance	12,86	14,293	6,013	7,329	11,486
ANGLE D'ECLATEMENT	Moyenne	115,89°	112,65°	113,69°	111,44°	117,70°
	Ecart-type	14,059	12,974	12,02	12,173	10,82
	Variance	193,358	168,325	142,214	148,174	117,08

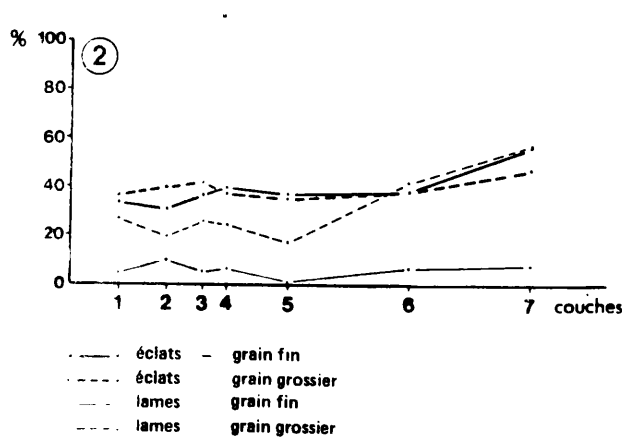
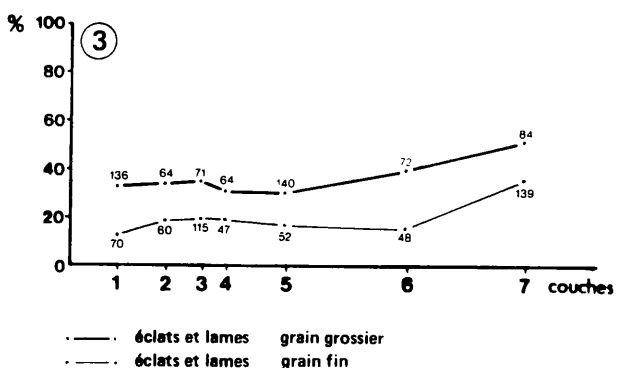
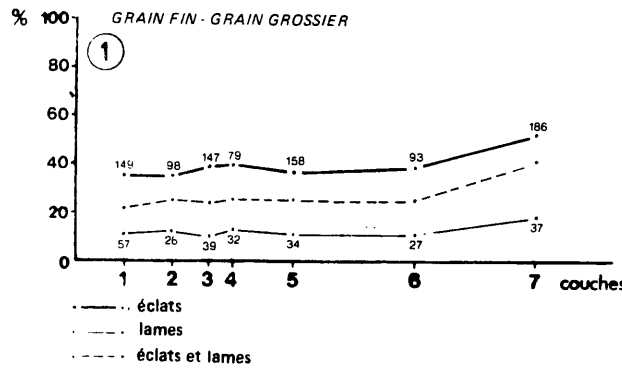
Fig. 68 Dimensions des éclats avec talon à lèvres.  
Dimensions of flakes with lipped butt.



		1	2	3	4	5	6	7
éclats	F + G	81	62	91	61	155	81	114
	F	42	281	385	304	437	241	352
lames	F + G	346	115	247	114	197	162	143
	F	532	247	396	240	345	234	302
éclats	grain F	18	31	63	31	33	35	32
	grain G	59	31	28	30	122	46	32
lames	grain F	87	107	126	113	125	132	117
	grain G	79	18	35	58	94	30	46
éclats et lames	F	295	138	289	144	158	167	199
	G	138	49	67	88	194	76	58

• nombre de supports préparés  
 ◦ nombre total de supports considérés

Fig. 69 - Préparation. Preparation of flaking angle.



		1	2	3	4	5	6	7
éclats	F G	47	98	147	79	158	93	186
	F	24	381	385	304	437	241	352
lames	F G	57	26	39	32	34	33	37
	F	532	247	396	240	345	234	302
éclats	grain F	54	43	98	38	40	46	48
	grain G	35	65	47	41	118	48	58
lames	grain F	16	13	17	9	12	3	11
	grain G	41	66	85	74	94	36	46
éclats et lames	F	70	60	115	47	52	48	139
	G	136	64	71	64	140	72	84

• nombre de supports avec un point d'impact  
 ◦ nombre total de supports considérés

Fig. 70 - Marque du point d'impact. Trace of point-of-impact of removal blow.

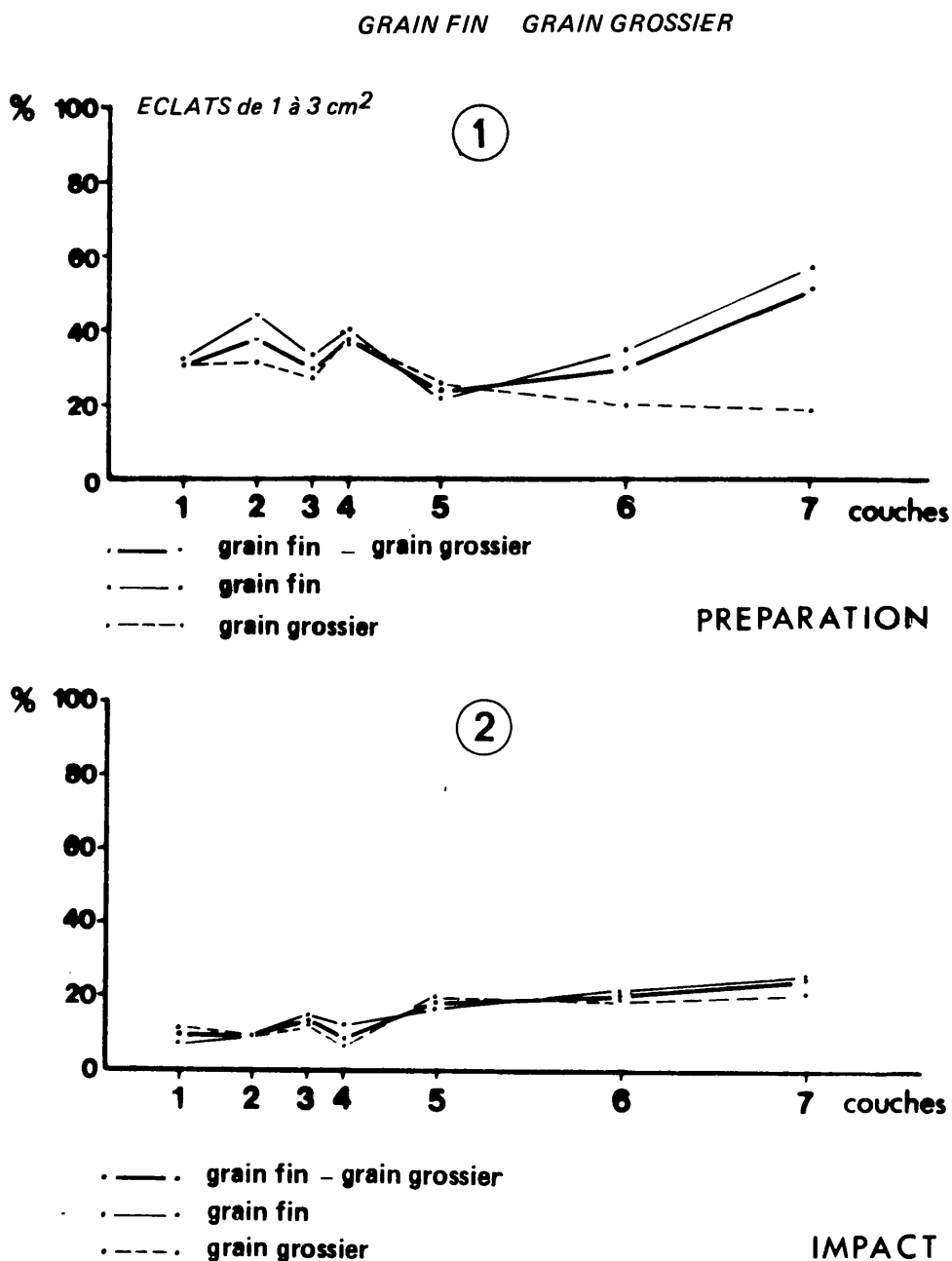
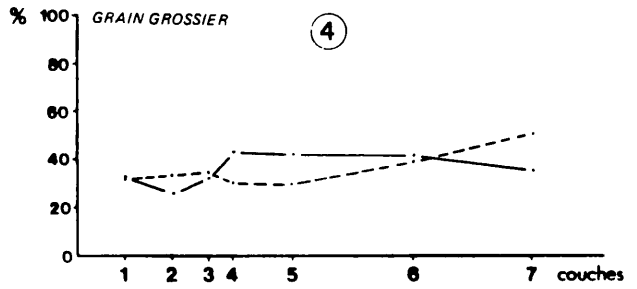
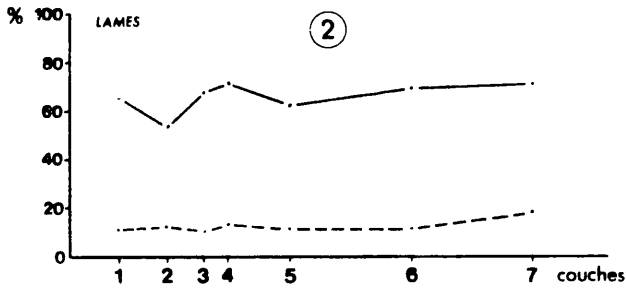
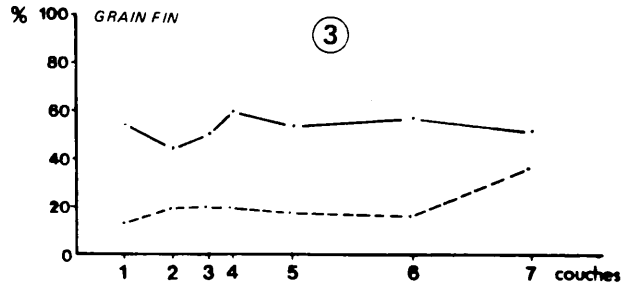
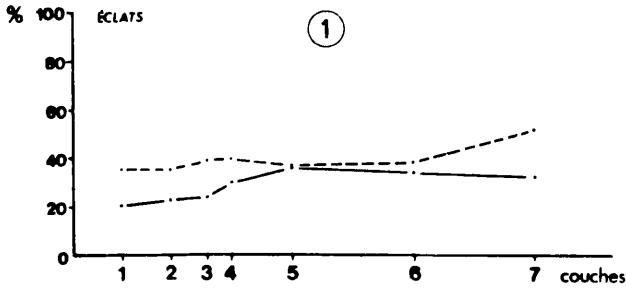


Fig. 71 - Préparation et impact sur les éclats de 1 à 3 cm<sup>2</sup>.  
Preparation of the platform angle and trace of the  
point-of-impact on the flakes of 1 to 3 cm<sup>2</sup>.

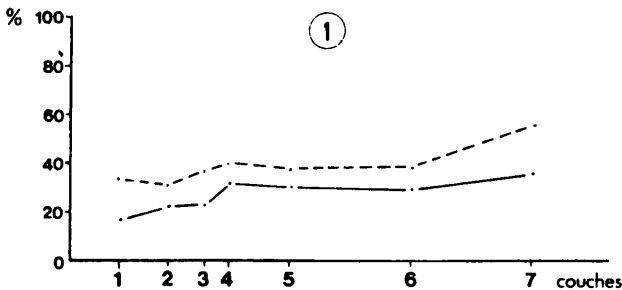
GRAIN FIN - GRAIN GROSSIER



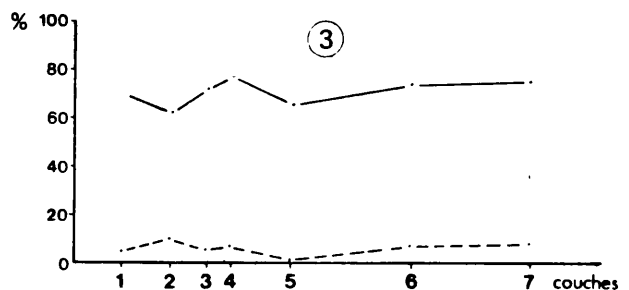
— préparation  
- - - impact

Fig. 72 - Comparaison entre préparation et impact (1).  
Comparison of the proportions between the preparation of the platform angle and the trace of the point-of-impact (1).

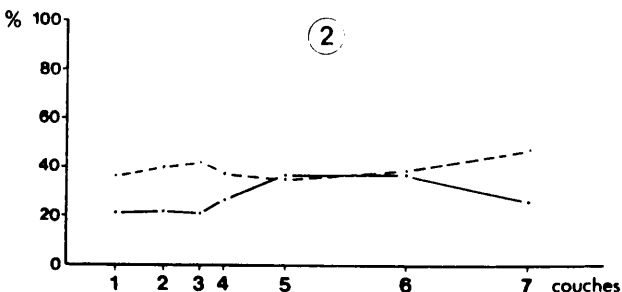
ECLATS - GRAIN FIN



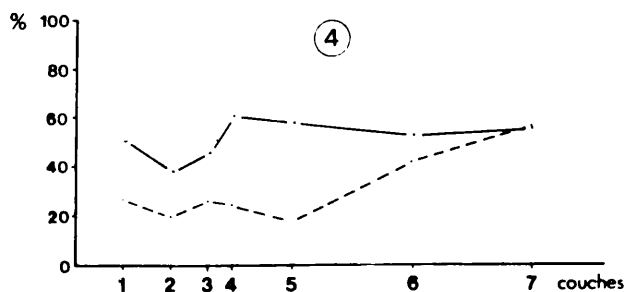
LAMES - GRAIN FIN



ECLATS - GRAIN GROSSIER



LAMES - GRAIN GROSSIER



— préparation  
- - - impact

Fig. 73 - Comparaison entre préparation et impact (2).  
Comparison of the proportions between the preparation of the platform angle and the trace of the point-of-impact (2).

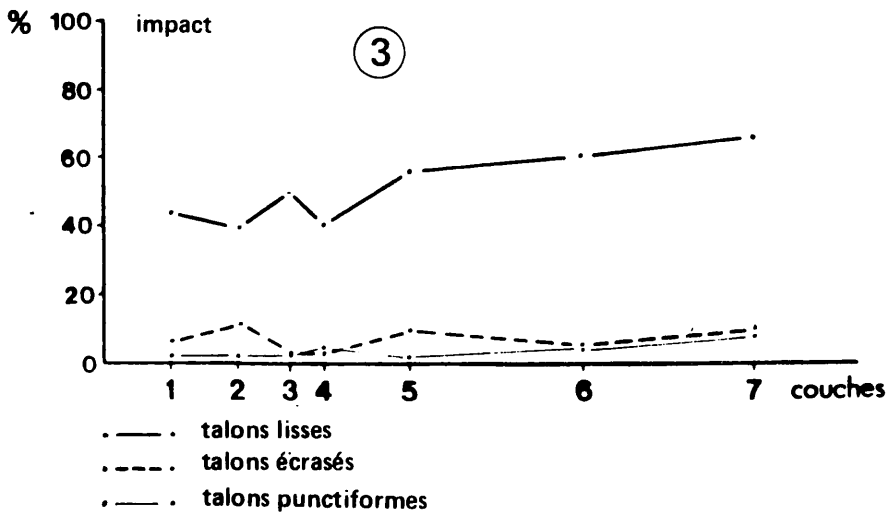
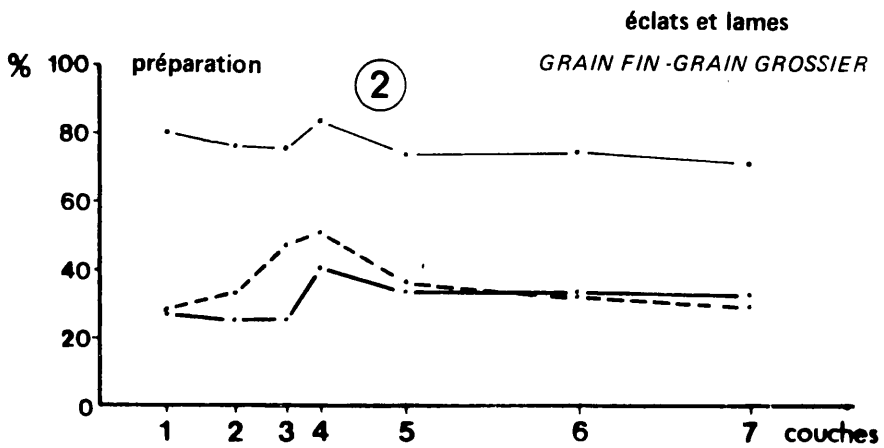
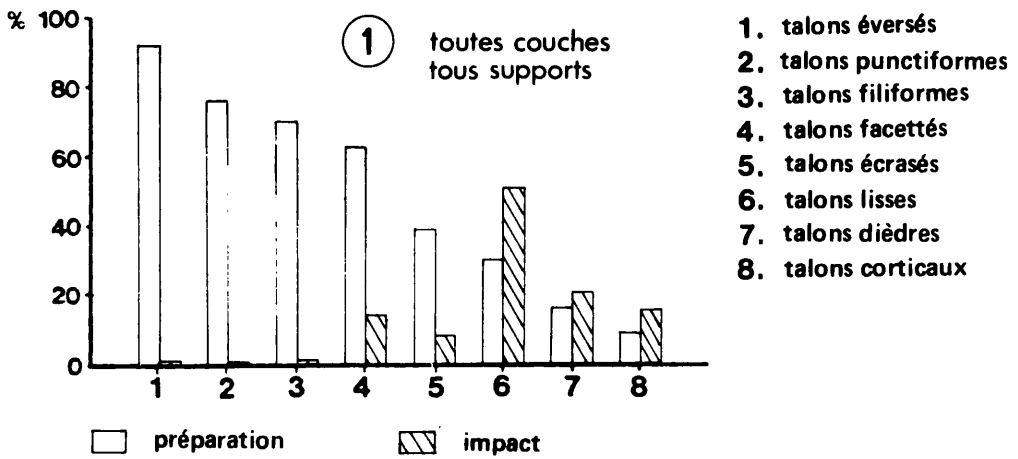
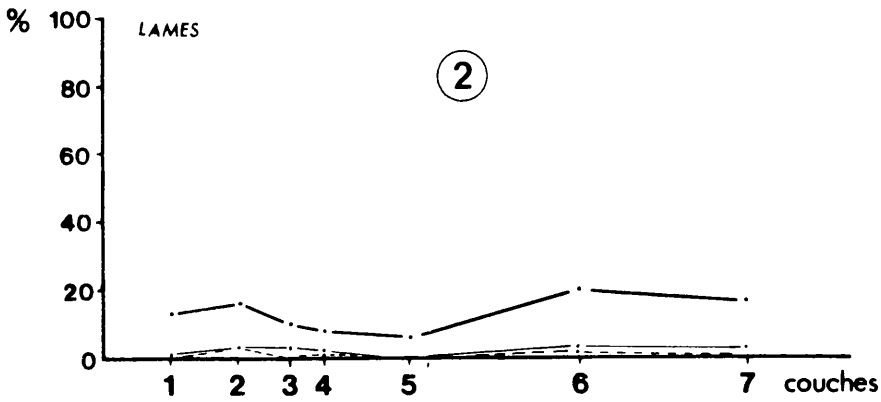
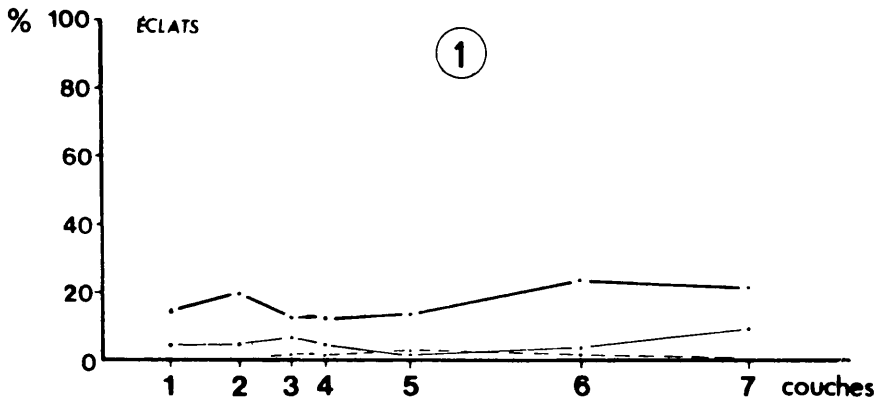
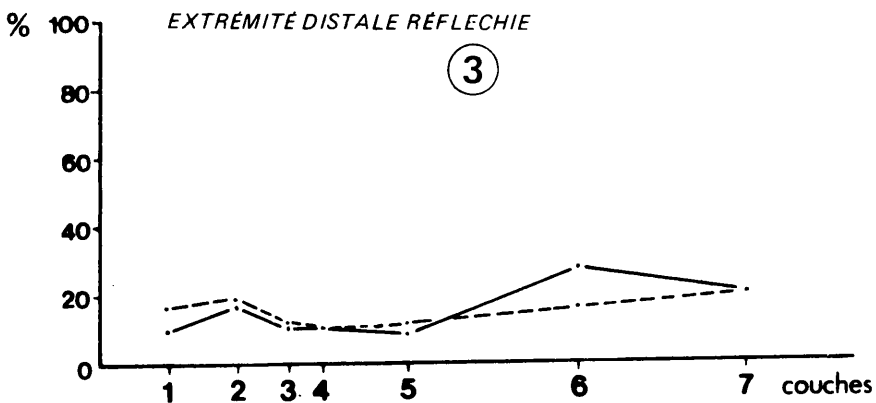


Fig. 74 - Présence d'une préparation ou d'un impact en fonction du type de talon.  
Presence of a preparation of the platform angle or a trace of the point-of-impact according to butt type.

GRAIN FIN - GRAIN GROSSIER

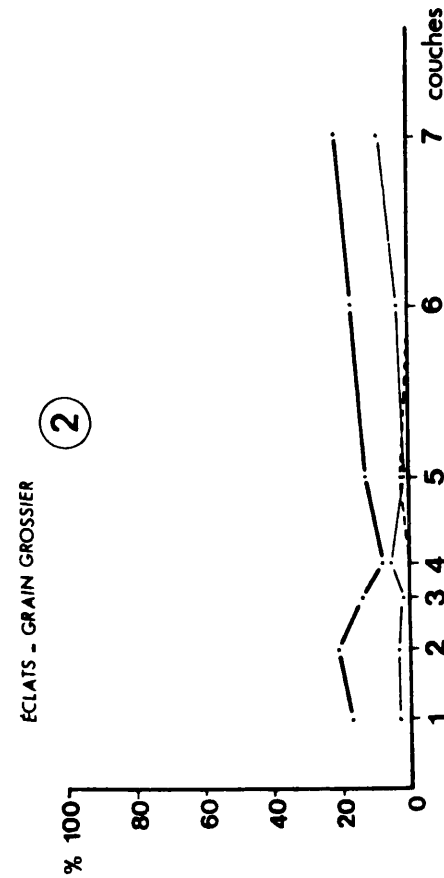
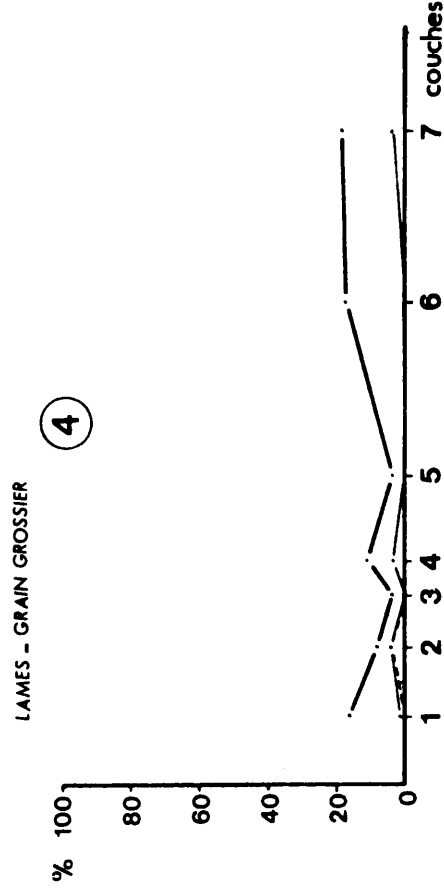
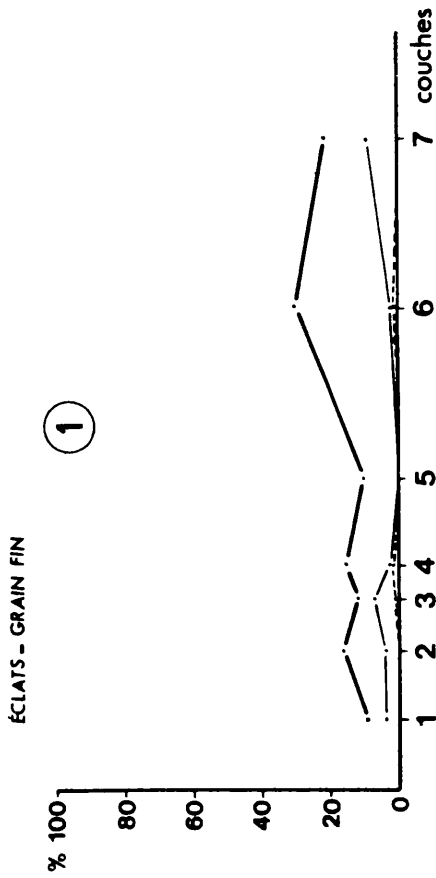
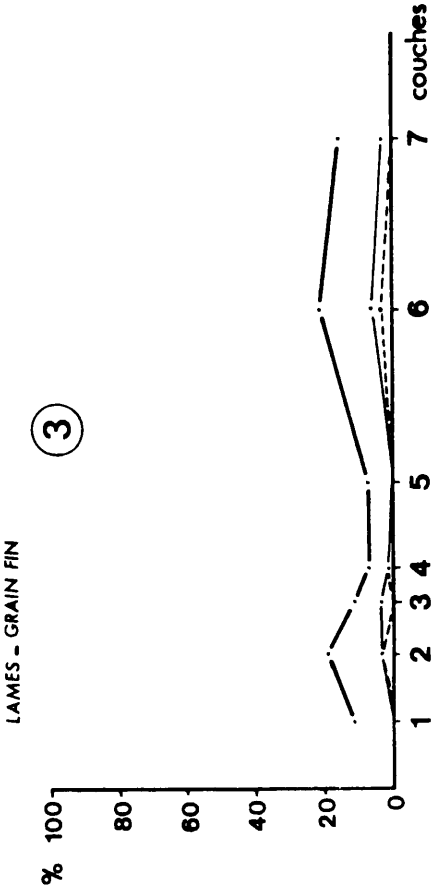


- · — · réfléchie
- · · · · à bourrelets
- - - - - outrepassée



- · — · éclats et lames - grain fin
- - - - - éclats et lames - grain grossier

Fig. 77 - Accidents de l'extrémité distale (1).  
Accidents at the distal end (1).



- réfléchie
- à bourrelets
- ..... outrepassée

Fig. 78 - Accidents de l'extrémité distale (2).  
Accidents at the distal end (2).

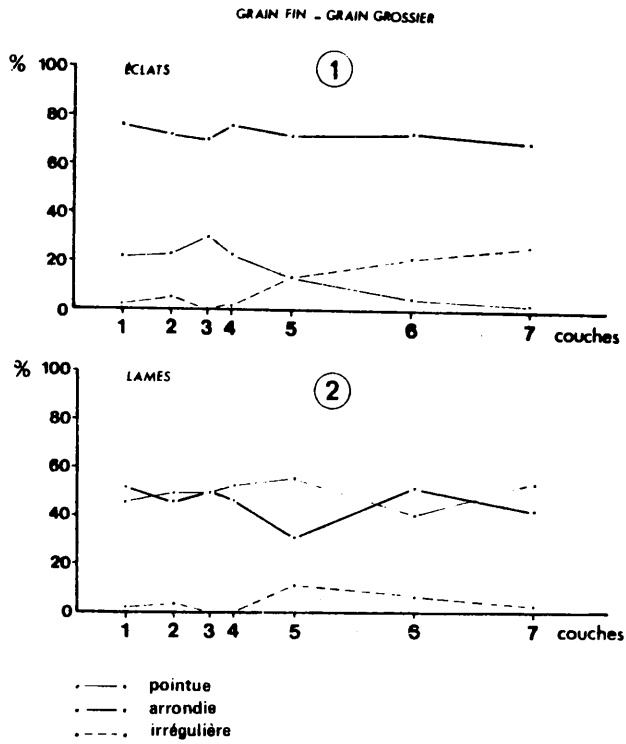


Fig. 75 - Aspect de l'extrémité distale (1).  
Shape of the distal end (1).

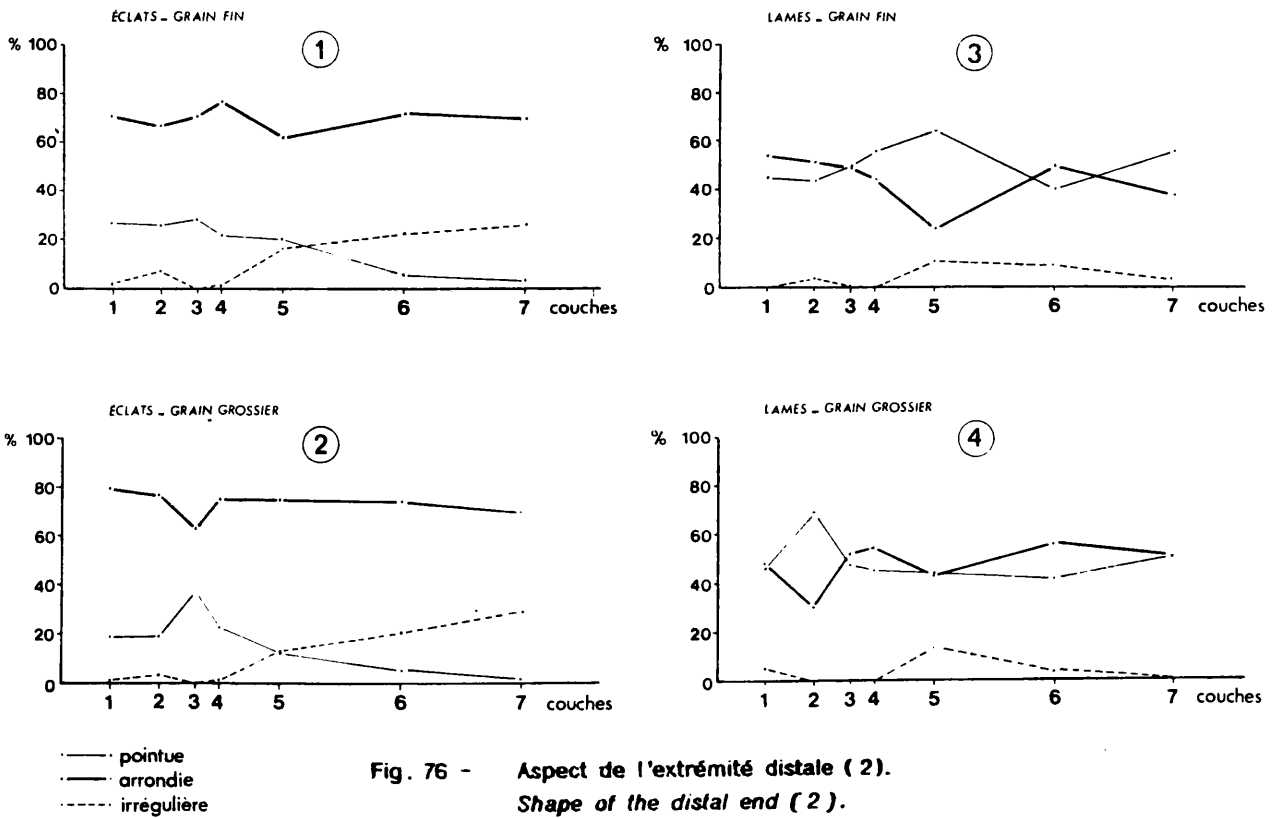


Fig. 76 - Aspect de l'extrémité distale (2).  
Shape of the distal end (2).



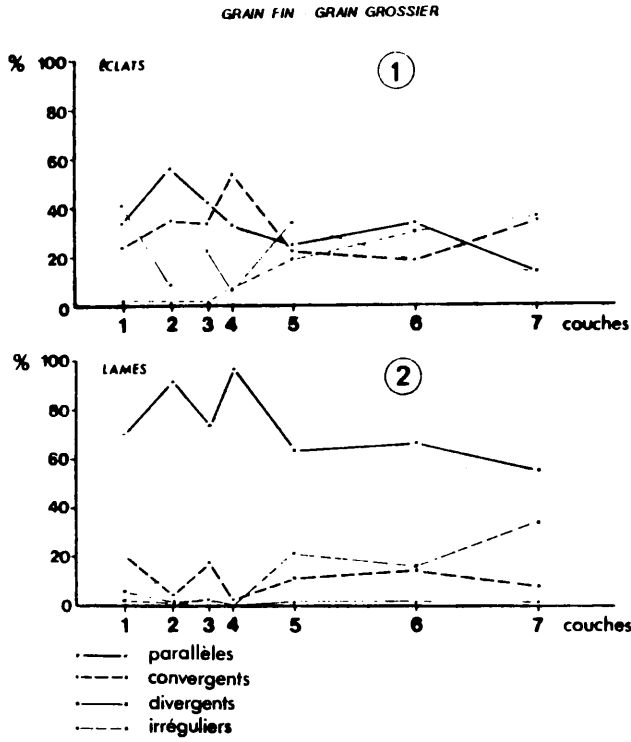


Fig. 79 - Disposition des bords (1).  
 Arrangement of the edges (1).

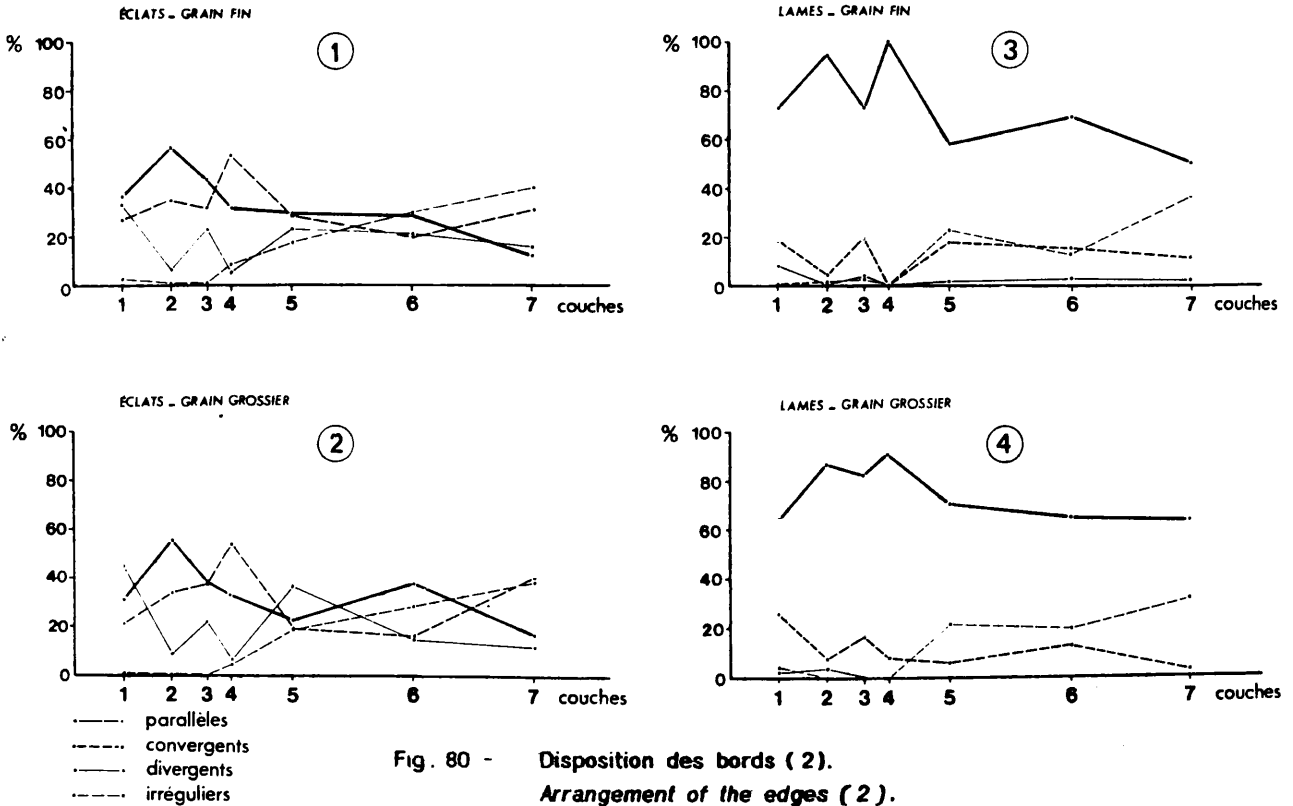


Fig. 80 - Disposition des bords (2).  
 Arrangement of the edges (2).

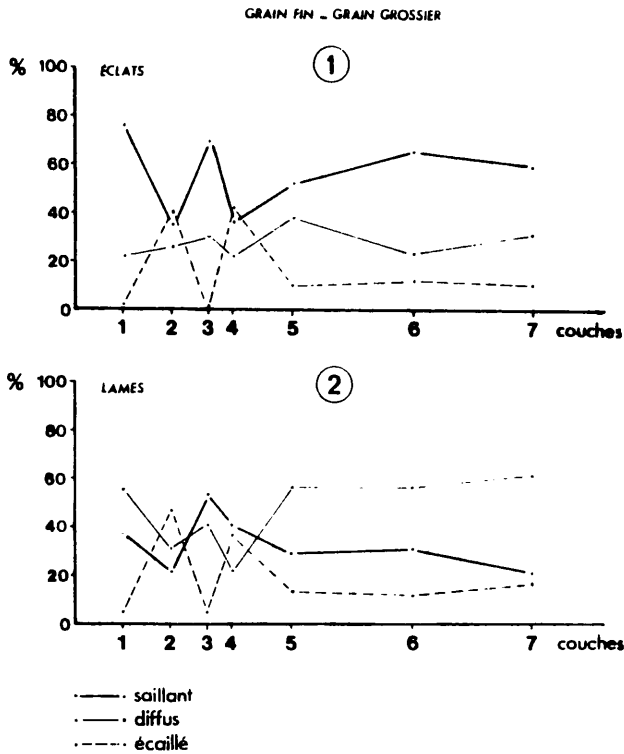


Fig. 81 - Aspect du bulbe (1).  
Shape of the bulb of percussion (1).

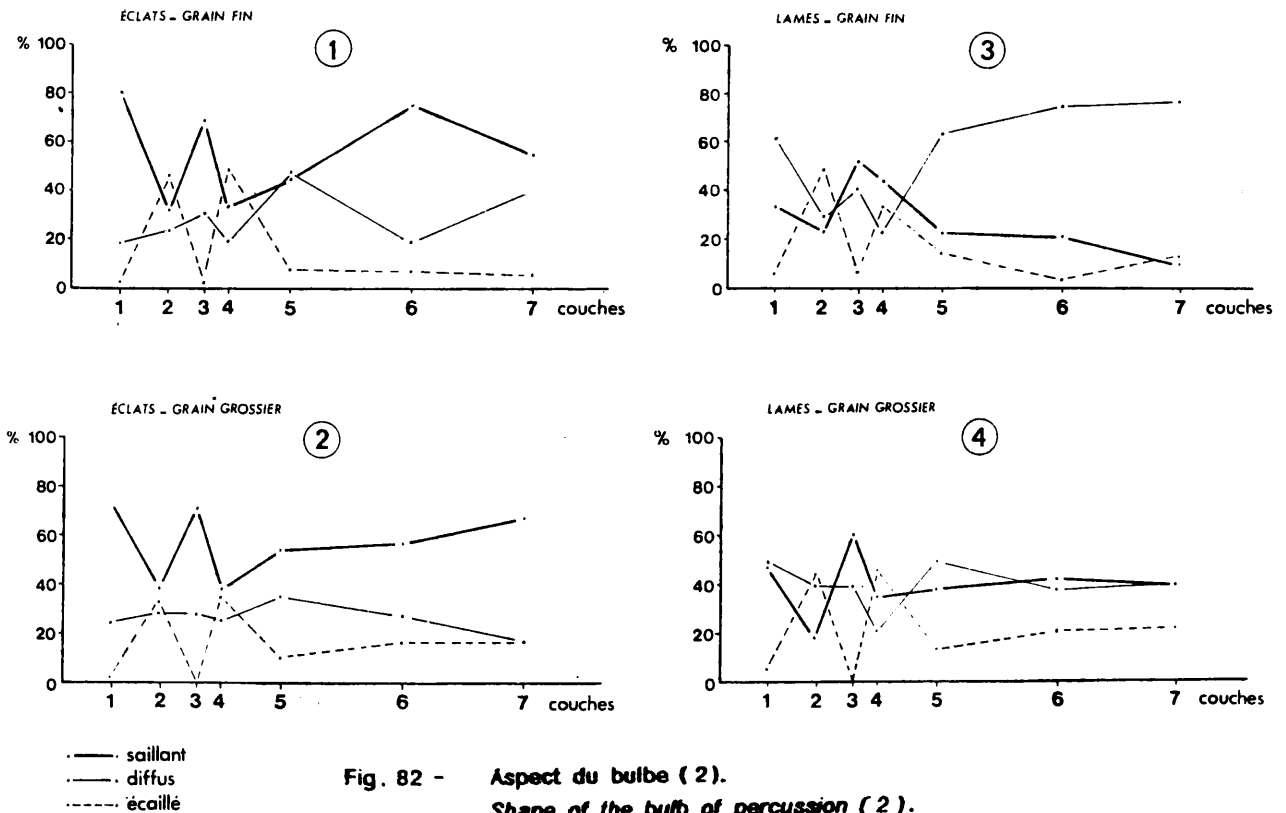


Fig. 82 - Aspect du bulbe (2).  
Shape of the bulb of percussion (2).



	EPAISSEUR TALON ASPECT DU BULBE	en mm											TOTAL
		1-2	3-4	5-6	7-8	9-10	11-12	13-14	15-16	17-18	19-20	>20	
7	Saillant	Nb %	12 9,8	42 34,1	34 27,6	16 13,0	6 4,9	8 6,5	4 3,2	1 0,8			123
	Diffus	Nb %	1 2,0	12 24,5	7 14,3	5 10,2	14 28,6	6 12,2	2 4,1		1 2,0		1 2,0
$\chi^2_{0,015} = 33,357$ et $v = 18$													
6	Saillant	Nb %	1 0,1	12 14,6	29 35,4	17 20,7	11 13,4	6 7,3	1 1,2	5 6,1			82
	Diffus	Nb %		5 22,7	11 50,0	4 20,7		2 9,1					22
$\chi^2_{0,804} = 9,413$ et $v = 14$													
5	Saillant	Nb %	3 2,6	11 9,5	47 40,5	21 18,1	17 14,6	6 5,2	6 5,2	1 0,9	3 2,6	1 0,9	116
	Diffus	Nb %	25 33,8	25 33,8	10 13,5	8 10,8	3 4,1	1 1,3			2 2,7		74
$\chi^2_{0,000} = 78,333$ et $v = 27$													
4	Saillant	Nb %	35 40,2	13 14,3	15 17,2	18 20,7	2 2,3	4 4,6					87
	Diffus	Nb %	24 63,1	9 23,9	3 7,9		1 2,6	1 2,6					38
	Ecaillé	Nb %	25 32,9	21 27,6	18 23,7	8 10,5	3 3,9	1 1,3					76
$\chi^2_{0,020} = 28,274$ et $v = 15$													
3	Saillant	Nb %	29 14,1	42 20,4	52 25,2	38 18,4	25 12,1	14 6,8	2 1,0	3 1,4		1 0,5	206
	Diffus	Nb %	25 37,3	24 35,8	10 14,9	4 6,0	3 4,5	1 1,5					67
$\chi^2_{0,020} = 47,644$ et $v = 24$													
2	Saillant	Nb %	6 8,2	15 20,5	20 27,4	15 20,5	11 15,1	2 2,7	2 2,7	1 1,4	1 1,4		73
	Diffus	Nb %	12 20,3	16 27,1	14 23,7	6 10,2	5 8,5	2 3,4	2 3,4		1 1,7	1 1,7	59
	Ecaillé	Nb %	16 23,9	17 25,4	14 20,9	2 3,0	11 16,4	4 6,0	2 3,0	1 1,5			67
$\chi^2_{0,067} = 42,306$ et $v = 30$													
1	Saillant	Nb %	22 8,9	67 27,1	76 30,8	36 14,6	26 10,5	8 3,2	3 1,2	6 2,4	2 0,8	1 0,4	247
	Diffus	Nb %	18 26,5	27 39,7	9 13,2	6 8,8	4 5,9	3 4,4	1 1,5				68
$\chi^2_{0,009} = 35,066$ et $v = 18$													

Les pourcentages ont été calculés sur la totalité des bulbes du même type

Fig. 84 - Rapprochement entre l'aspect du bulbe et l'épaisseur du talon : données numériques.  
Connections between the shape of the bulb of percussion and the thickness of the buff  
(in mm): numerical data.

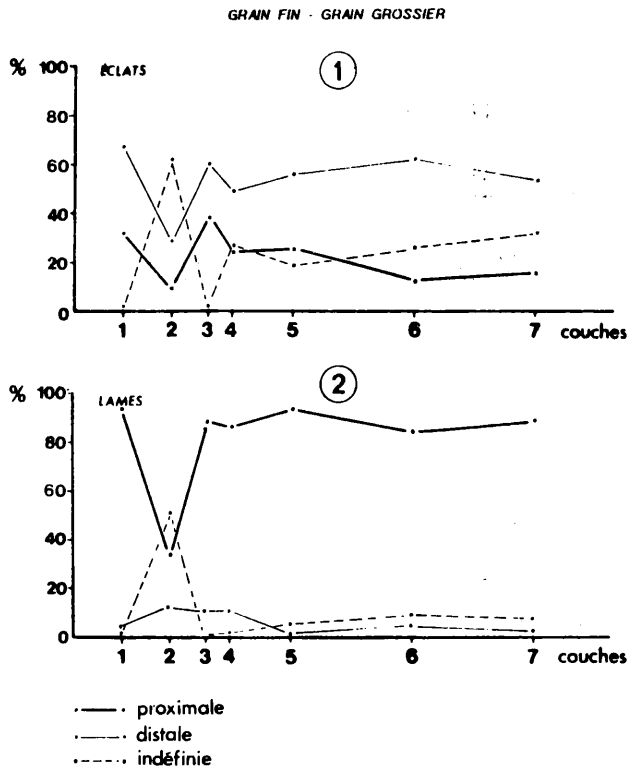


Fig. 85 - Courbure maximale de la face d'éclatement (1).  
Maximum curvature of the ventral surface (1).

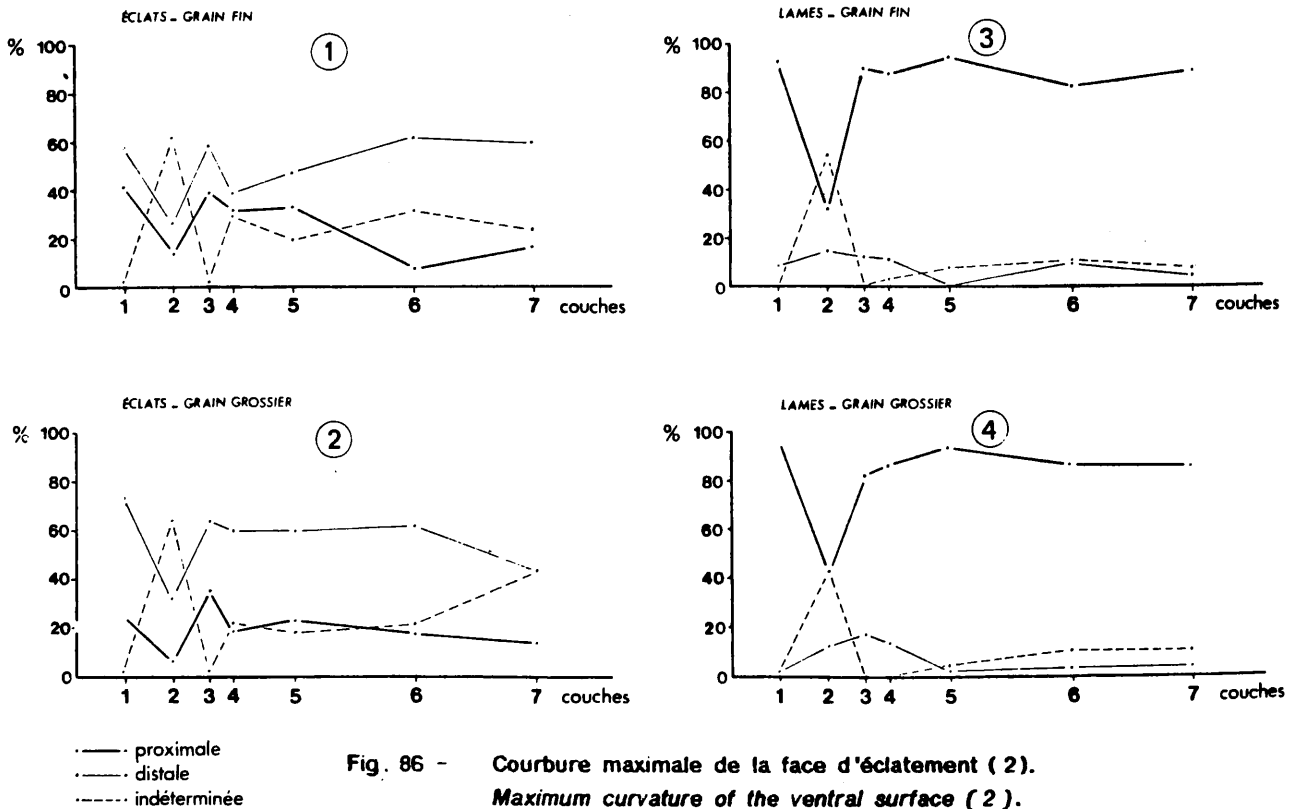


Fig. 86 - Courbure maximale de la face d'éclatement (2).  
Maximum curvature of the ventral surface (2).

GRAIN FIN - GRAIN GROSSIER

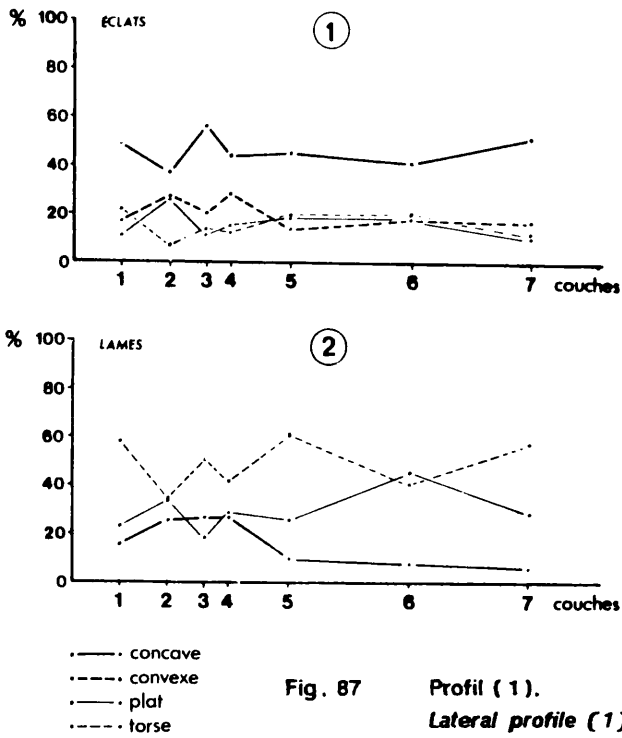
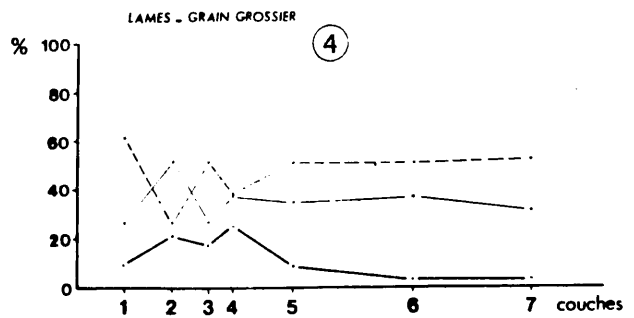
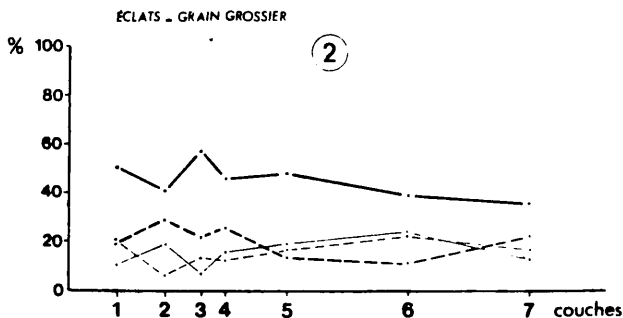
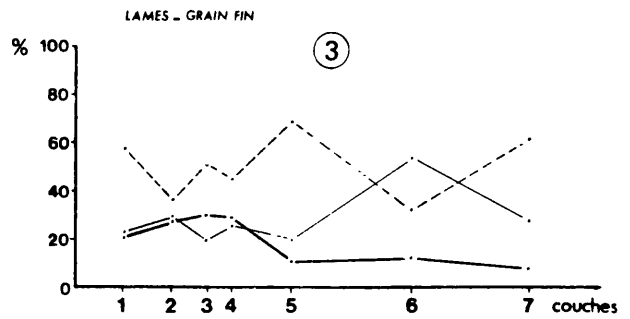
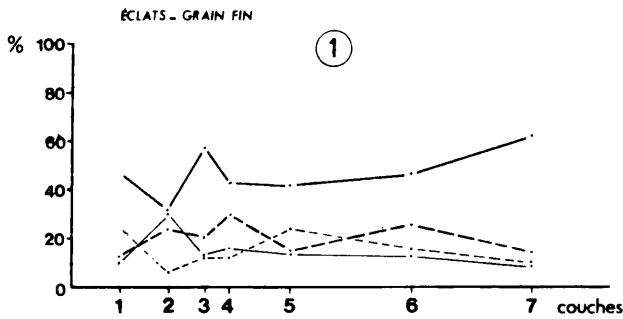


Fig. 87 Profil (1).  
Lateral profile (1).

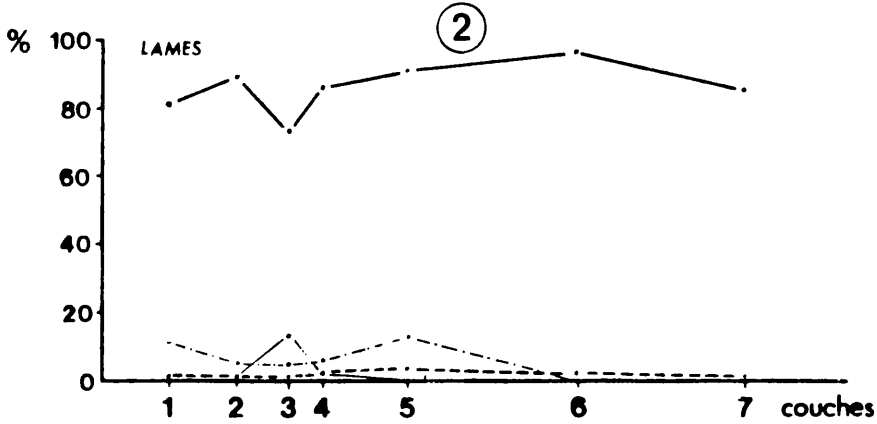
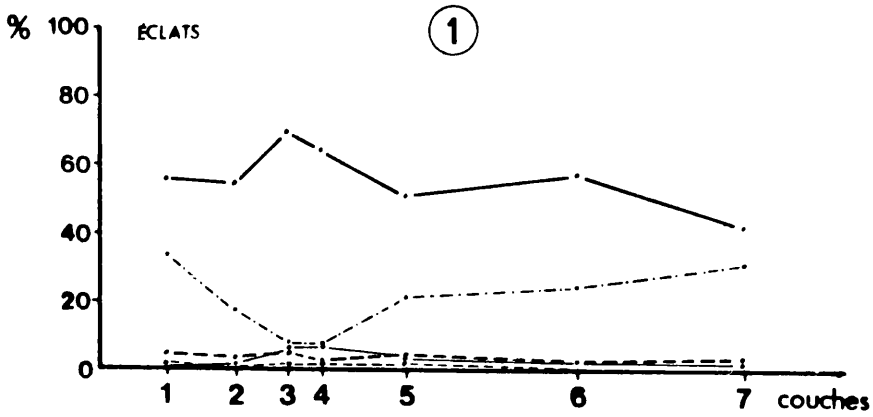


- concave
- convexe
- plat
- torse

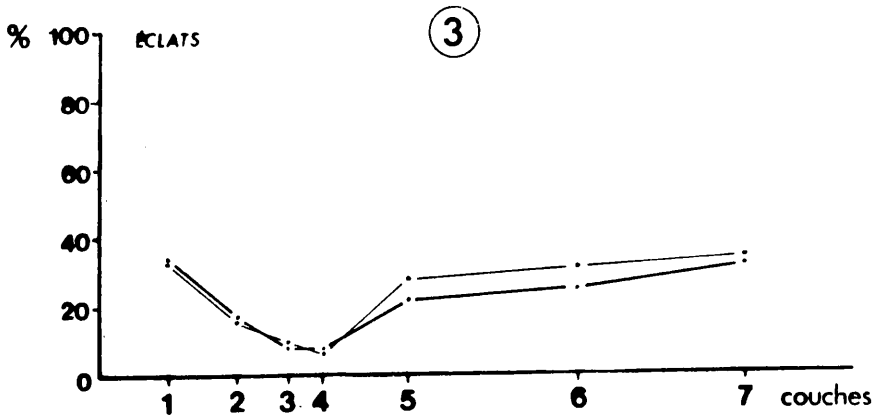
Fig. 88 Profil (2).  
Lateral profile (2).



GRAIN FIN GRAIN GROSSIER



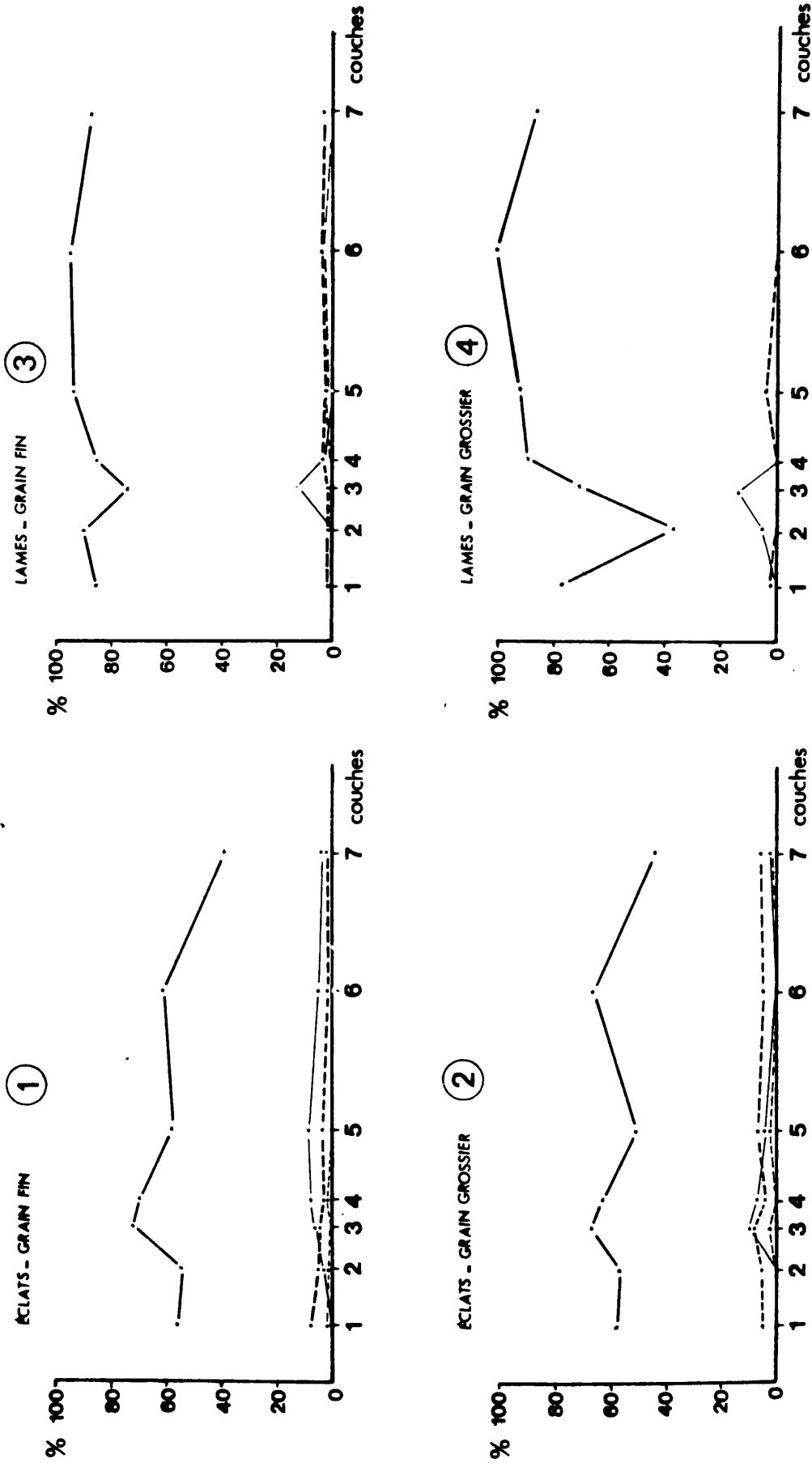
- identique
- - - perpendiculaire
- · - inclinée
- · · opposée
- - - sans orientation



- sans orientation par rapport au support
- - - négatifs d'enlèvements multiples, centripètes et orthogonaux

Fig. 91 - Sens d'extraction du support et comparaison avec la disposition des négatifs d'enlèvements.  
 Direction of the blow-of-removal from the core and comparison with the arrangement of the removal scars on the dorsal surface.





——— identique  
 - - - perpendiculaire  
 - · - inclinée  
 · · · opposée

Fig. 92 - Orientation des négatifs par rapport au sens d'extraction du support.  
 Orientation of the removal scars on the dorsal surface in relation to the direction of the blow-of-removal from the core.

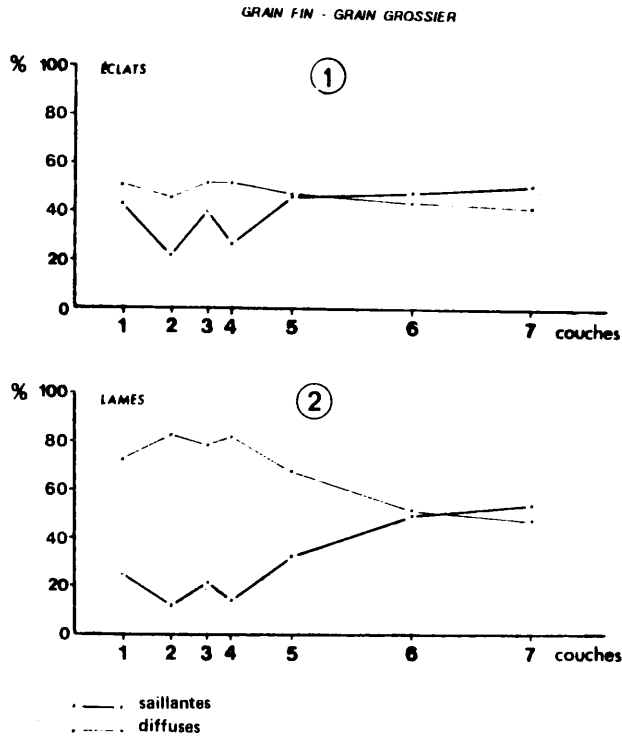


Fig. 93 - Aspect des nervures ( 1 ).  
Shape of the ridges ( 1 ).

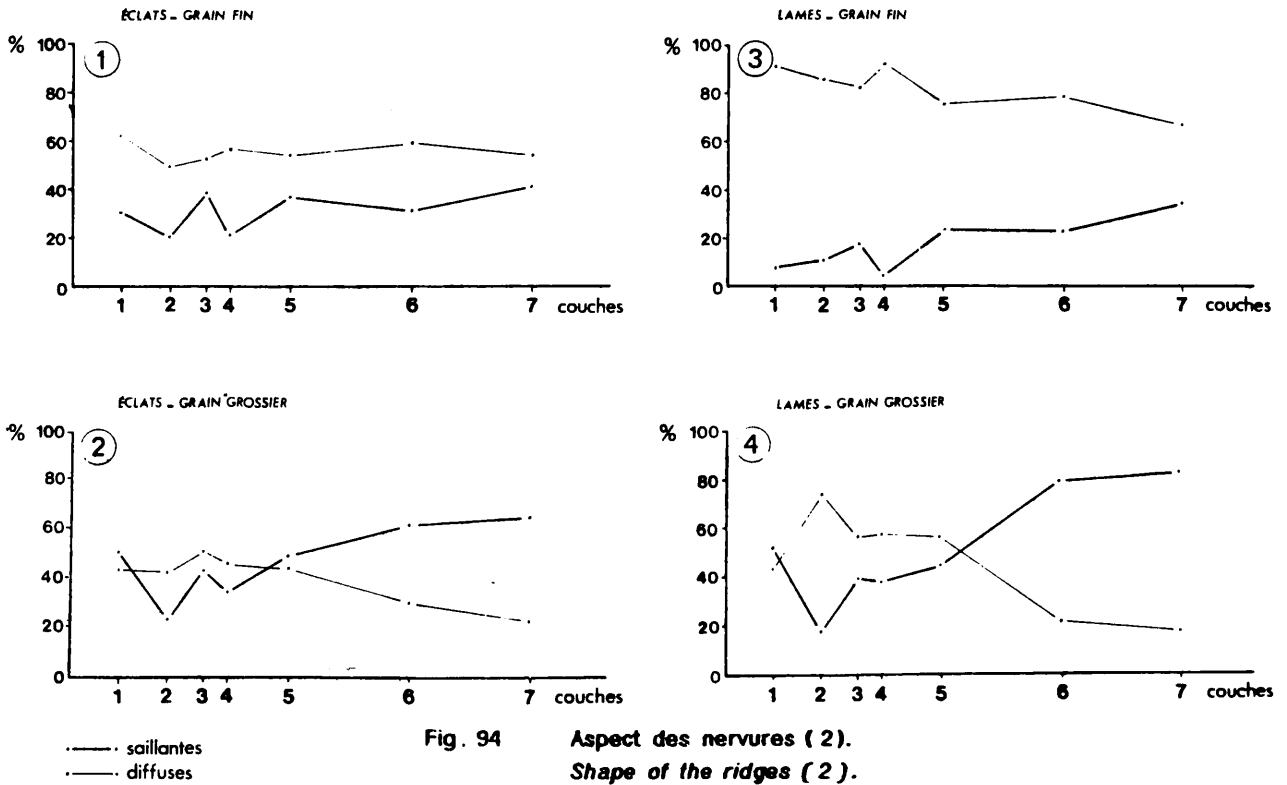


Fig. 94 Aspect des nervures ( 2 ).  
Shape of the ridges ( 2 ).

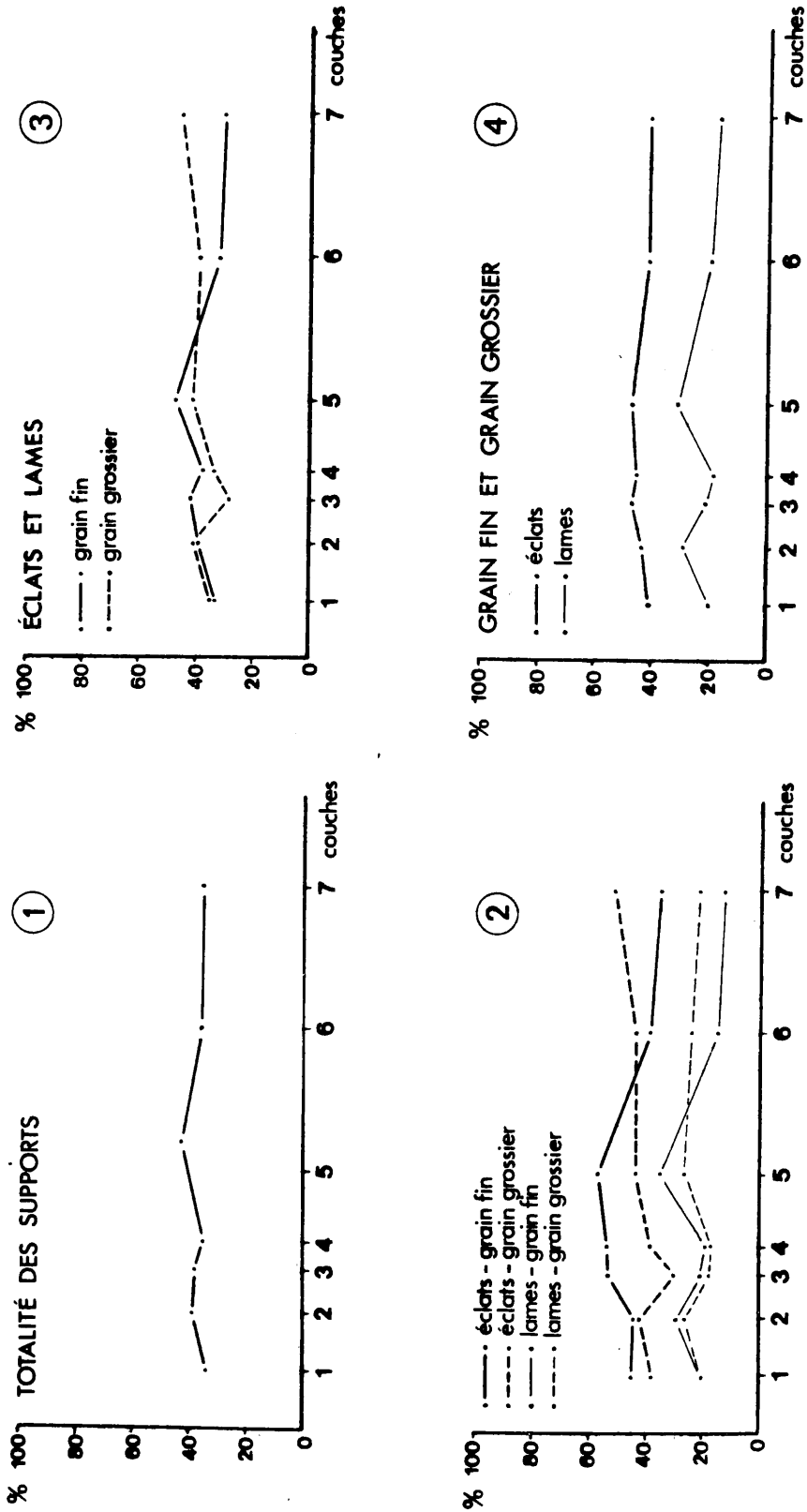
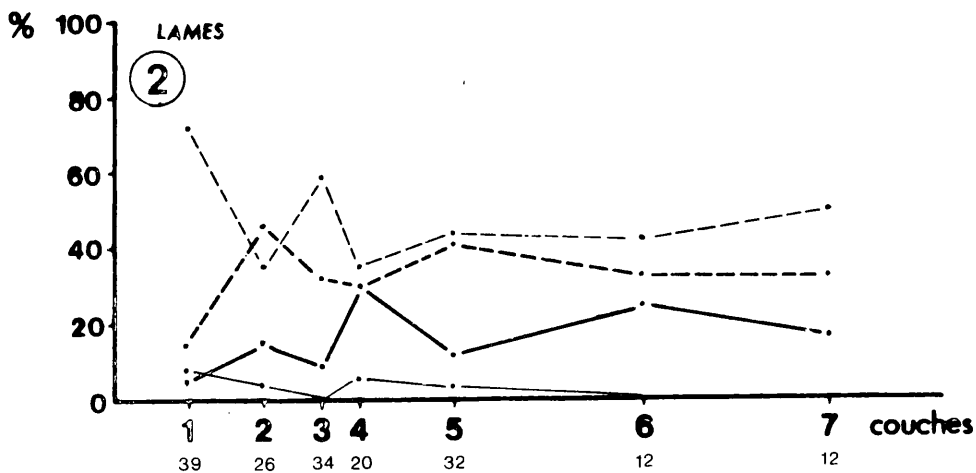
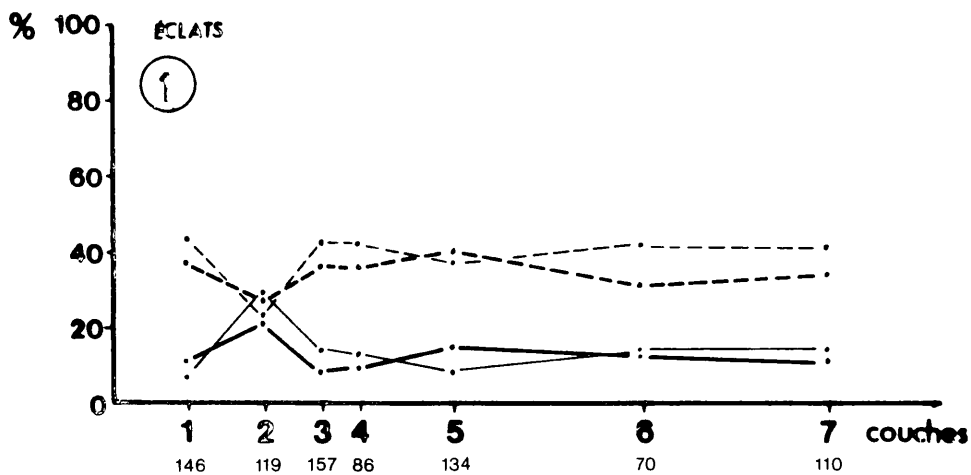


Fig. 95 - Présence de cortex.  
 Presence of cortex.

GRAIN FIN    GRAIN GROSSIER



- proximal et mésial
- - -•- - - distal
- sur la totalité
- - -•- - - latéral (gauche et droit)

Fig. 96    Emplacement du cortex.  
Location of the cortex.

## ① ECLATS (F + G)

		1	2	3	4	5	6	7
PROXIMAL ET MESIAL	Nb %(1)	17 11,6	25 21,0	13 8,3	8 9,3	21 15,7	9 12,9	12 10,9
DISTAL	Nb %	58 39,7	32 26,9	56 35,7	31 36,0	54 40,3	22 31,4	38 34,5
SUR TOUTE LA FACE SUPERIEURE	Nb %	10 6,8	35 29,4	22 14,0	11 12,8	10 7,5	10 14,3	15 13,6
LATERAL DROITE ET GAUCHE	Nb %	61 41,8	27 22,7	66 42,0	36 41,9	49 36,5	29 41,4	45 40,9
TOTAL DES ECLATS CORTICAUX	Nb	146	119	157	86	134	70	110

Khi-deux à 30 degrés de liberté : 69,06 (maximum au risque de 5% = 44,00)

## ② LAMES (F + G)

		1	2	3	4	5	6	7
PROXIMAL ET MESIAL	Nb %(1)	2 5,1	4 15,4	3 8	6 30,0	4 12,5	3 25,0	2 16,7
DISTAL	Nb %	6 15,4	12 46,2	11 32,4	6 30,0	13 40,6	4 33,3	4 33,3
SUR TOUTE LA FACE SUPERIEURE	Nb %	3 7,7	1 3,8	0 0,0	1 5,0	1 3,1	0 0,0	0 0,0
LATERAL DROITE ET GAUCHE	Nb %	71,8	34,6	58,8	35,0	43,8	41,7	50,0
TOTAL DES LAMES CORTICALES	Nb	39	26	34	20	32	12	12

Khi-deux à 30 degrés de liberté : 33,84 (maximum au risque de 5% = 44,00)

(1) Les pourcentages ont été calculés par rapport à la totalité des pièces corticales dans chaque couche.

Fig. 97 **Emplacement du cortex : effectifs et proportions.**  
*Location of the cortex : number and proportions.*

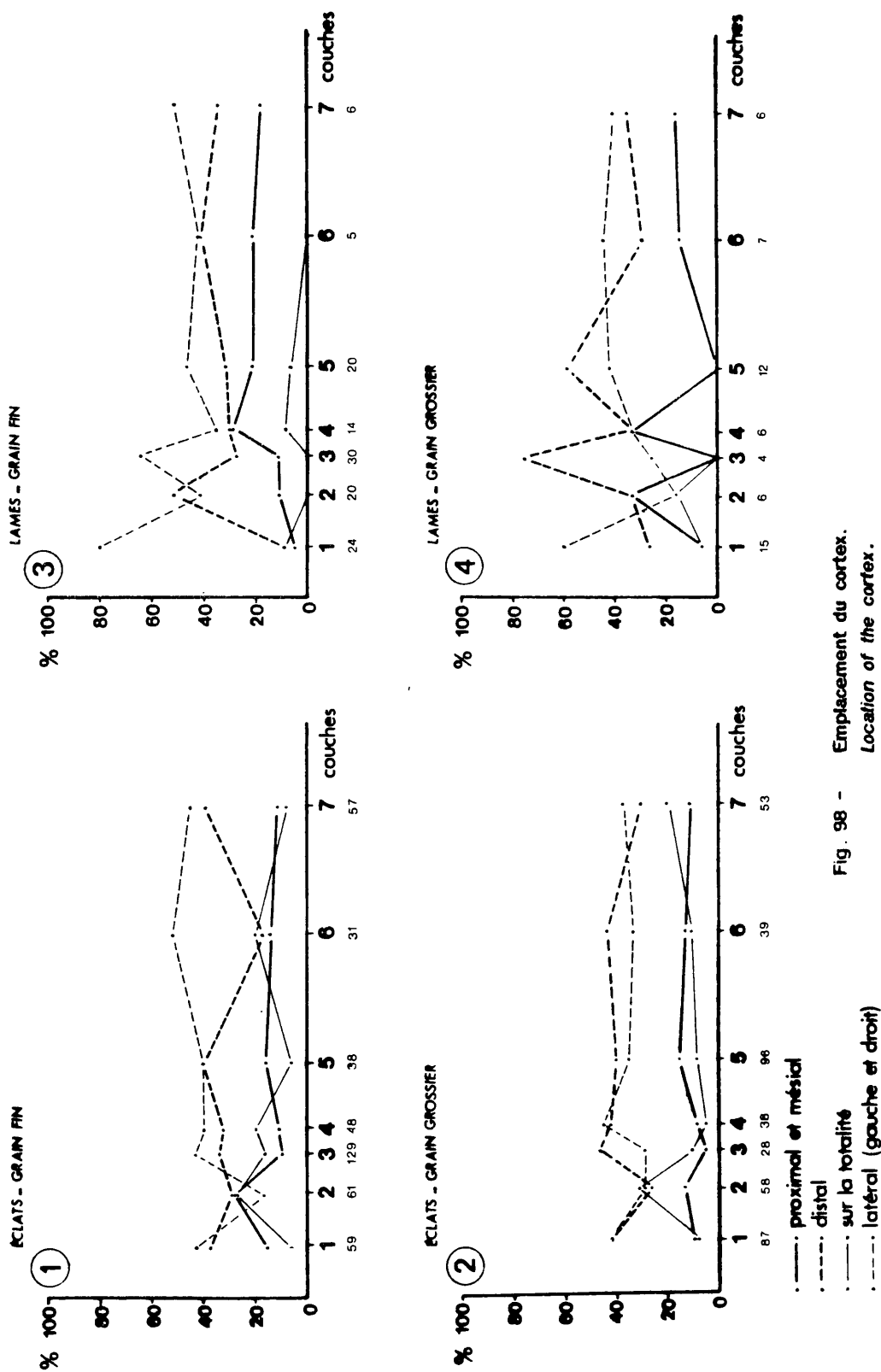


Fig. 98 - Emplacement du cortex.  
Location of the cortex.

	E-L	E-L	E-L	E	E	E	L	L	L
	F-G	F	G	F-G	F	G	F-G	F	G
Effectifs	2672	1449	1223	1876	911	965	796	538	258
TALON (1)	295,77	249,95	136,72	229,79	163,63	131,95	180,99*	179,93*	62,81*
(2)	65,51	65,51	65,51	65,51	65,51	65,51	58,43	58,43	51,27
(3)	48	48	48	48	48	48	42	42	36
LEVRE	334,05 21,10 12	153,77 21,10 12	199,36 21,10 12	307,06 21,10 12	113,52 21,10 12	206,08 21,10 12	62,61 21,10 12	48,94 21,10 12	<del>29,56 21,10 12</del>
PREPARATION	56,08 29,00 18	44,17 29,00 18	33,55 29,00 18	43,81 29,00 18	29,10 27,57 18	<del>26,98 29,00 18</del>	28,04 21,10 12	35,32 21,10 12	<del>20,84 21,10 12</del>
IMPACT	293,96 29,00 18	198,90 29,00 18	148,04 21,10 12	273,91 29,00 18	177,79 29,00 18	133,58 21,10 12	52,08 21,10 12	39,00* 21,10 12	33,69 21,10 12
EXTREMITE DISTALE	455,64 36,60 24	304,80 36,60 24	177,13 29,00 18	424,43 36,60 24	243,27 36,60 24	193,63 29,00 18	78,32 29,00 18	38,72 29,00 18	66,44 29,00 18
ACCIDENTS	71,99 29,00 18	62,52 29,00 18	40,69 29,00 18	56,19 29,00 18	43,56 29,00 18	39,00 29,00 18	35,86* 29,00 18	30,17* 29,00 18	<del>21,04* 29,00 18</del>
BORDS	705,04 36,60 24	396,66 36,60 24	323,79 36,60 24	594,19 36,60 24	301,57 36,60 24	297,60 36,60 24	204,16 36,60 24	152,73 36,60 24	72,88* 36,60 24
BULBE	571,20 29,00 18	401,64 29,00 18	241,83 29,00 18	448,50 29,00 18	320,70 29,00 18	189,48 29,00 18	194,05 29,00 18	161,38 29,00 18	66,65 29,00 18
COURBURE MAXIMALE	1566,66 29,00 18	874,91 29,00 18	732,32 29,00 18	1163,40 29,00 18	573,51 29,00 18	630,22 29,00 18	433,78 29,00 18	306,04 29,00 18	127,51* 29,00 18
PROFIL	287,24 44,00 30	189,22 44,00 30	163,60 44,00 30	222,78 44,00 30	140,82 44,00 30	136,31 44,00 30	116,07 44,00 30	88,04* 44,00 30	40,41* 36,60 24
DISPOSITION DES NEGATIFS	584,51 72,53 54	387,51 72,53 54	277,33 72,53 54	491,16 72,53 54	292,14 72,53 54	250,66 65,51 48	188,37* 72,53 54	165,38* 72,53 54	73,86 58,43 42
ORIENTATION DES NEGATIFS	276,97 51,27 36	161,91 51,27 36	170,97 51,27 36	227,82 51,27 36	136,28 51,27 36	154,26 51,27 36	124,13* 51,27 36	83,39* 51,27 36	62,91* 44,00 30
NERVURES	367,33 29,00 18	189,09 29,00 18	213,16 29,00 18	298,84 29,00 18	148,60 29,00 18	179,93 29,00 18	72,84 21,10 12	36,48 21,10 12	39,43 21,10 12
EMPLACEMENT DU CORTEX	70,10 44,00 30	54,05 44,00 30	<del>43,04 44,00 30</del>	69,06 44,00 30	54,01 44,00 30	<del>39,06 44,00 30</del>	<del>33,84 44,00 30</del>	<del>32,46 44,00 30</del>	<del>28,18 44,00 30</del>

E = Eclats - L = Lames - F = silex à grain fin - G = silex à grain grossier

(1) Khi-deux observé (2) Khi-deux théorique (3) degrés de liberté

\*indique qu'il y a plus de 5 effectifs théoriques dont les valeurs sont inférieures à 5 (environ 10%)

Les valeurs du khi-deux présentées dans ce tableau confirment toutes la non indépendance statistique au seuil de 5%, sauf celles qui sont barrées d'une croix.

Fig. 99 - Valeurs des khi-deux.  
Values of the Chi<sup>2</sup> test.

	Couche 1	Couche 2	Couche 3	Couche 4	Couche 5	Couche 6	Couche 7	
LONGUEUR	ECLATS F	32,90 (10,45)	32,37 (11,65)	36,08 (12,02)	32,93 (11,68)	33,68 (9,03)	33,52 (9,62)	30,39 (8,61)
	ECLATS G	32,86 (11,49)	32,59 (10,43)	35,67 (12,21)	33,57 (11,02)	36,76 (11,24)	37,66 (11,23)	40,60 (13,01)
	ECLATS F+G	32,87 (11,12)	32,48 (11,06)	35,97 (12,07)	33,27 (11,34)	36,05 (10,84)	35,70 (10,70)	34,38 (11,67)
LARGEUR	LAMES (1) F	35,72 (11,31)	40,17 (13,27)	36,69 (16,41)	36,77 (13,76)	48,09 (12,48)	44,19 (13,35)	47,77 (15,06)
	LAMES G	45,80 (20,28)	48,70 (24,71)	50,74 (20,47)	51,37 (20,95)	53,71 (18,87)	62,86 (21,74)	58,25 (17,03)
	LAMES F+G	39,60 (16,15)	42,33 (17,31)	38,65 (17,71)	41,42 (17,75)	50,57 (15,87)	53,07 (20,12)	51,84 (16,66)
EPAISSEUR	ECLATS F	28,18 (8,90)	27,66 (10,63)	30,43 (9,41)	30,77 (13,19)	30,22 (8,73)	30,61 (9,30)	30,90 (7,08)
	ECLATS G	32,32 (10,92)	30,96 (10,09)	33,18 (13,33)	31,18 (10,91)	35,63 (13,04)	34,96 (10,99)	37,70 (12,39)
	ECLATS F+G	30,80 (10,42)	29,31 (10,50)	31,19 (10,71)	30,98 (12,06)	34,37 (12,38)	32,90 (10,45)	33,56 (10,07)
RAPPORT	LAMES F	13,37 (5,03)	15,99 (5,78)	13,15 (5,60)	13,73 (5,10)	17,14 (5,52)	14,94 (5,09)	14,43 (5,09)
	LAMES G	17,85 (8,74)	18,78 (8,77)	17,91 (6,47)	19,68 (9,46)	18,96 (6,58)	22,14 (8,31)	21,54 (8,27)
	LAMES F+G	15,09 (7,05)	16,69 (6,77)	13,82 (5,97)	15,63 (7,34)	17,94 (6,08)	18,36 (7,70)	17,19 (7,38)
EFFECTIFS	ECLATS F	7,22 (3,76)	8,29 (4,32)	7,84 (4,26)	7,00 (3,49)	7,97 (3,57)	7,87 (3,35)	8,11 (2,91)
	ECLATS G	7,71 (3,64)	8,29 (3,64)	7,60 (3,85)	7,07 (3,50)	8,24 (4,16)	8,22 (3,25)	9,57 (4,08)
	ECLATS F+G	7,53 (3,69)	8,29 (4,00)	7,77 (4,16)	7,04 (3,50)	8,18 (4,03)	8,06 (3,30)	8,68 (3,49)
LONG/LARG	LAMES F	4,17 (2,80)	5,49 (2,94)	3,66 (2,67)	3,80 (2,10)	5,40 (3,05)	4,75 (3,00)	5,39 (2,49)
	LAMES G	6,72 (4,03)	6,65 (4,98)	6,04 (3,40)	6,20 (4,17)	6,22 (3,55)	7,69 (3,55)	7,79 (3,38)
	LAMES F+G	5,15 (3,55)	5,78 (3,60)	3,99 (2,90)	4,56 (3,13)	5,76 (3,30)	6,15 (3,57)	6,32 (3,10)
EFFECTIFS	ECLATS F	1,22 (0,37)	1,25 (0,38)	1,23 (0,34)	1,16 (0,38)	1,16 (0,32)	1,16 (0,40)	1,02 (0,31)
	ECLATS G	1,07 (0,33)	1,10 (0,34)	1,14 (0,34)	1,14 (0,36)	1,09 (0,32)	1,14 (0,38)	1,12 (0,31)
	ECLATS F+G	1,12 (0,35)	1,18 (0,37)	1,20 (0,34)	1,15 (0,37)	1,11 (0,32)	1,15 (0,39)	1,06 (0,31)
EFFECTIFS	LAMES F	2,80 (0,74)	2,61 (0,65)	2,85 (0,79)	2,75 (0,72)	2,98 (0,79)	3,09 (0,76)	3,50 (0,10)
	LAMES G	2,72 (0,75)	2,68 (0,74)	2,82 (0,44)	2,74 (0,67)	2,93 (0,79)	2,92 (0,56)	2,90 (0,77)
	LAMES F+G	2,77 (0,74)	2,63 (0,67)	2,85 (0,75)	2,75 (0,71)	2,96 (0,79)	3,01 (0,68)	3,28 (0,96)
EFFECTIFS	ECLATS F	130	139	242	91	66	80	162
	ECLATS G	224	138	92	98	221	89	104
	LAMES F	120	68	142	75	57	32	44
LAMES G	75	23	23	35	45	29	28	

(1) Les lames comportent tous les supports élargés (lames et lamelles).  
Les chiffres entre parenthèses sont les écarts-types.

Fig. 100 - Moyennes et écarts-types des longueurs, largeurs, épaisseurs et rapports longueur/largeur sur les supports entiers.  
Means and standard deviation of the length, width, thickness and length/width ratio of the complete blanks.



		1	2	4	5	6	7	
LONGUEUR DU TALON en mm	ECLATS F	$\bar{X}$ 15,9 (8,05)	15,87 (9,42)	15,37 (6,12)	11,7 (6,56)	16,00 (6,39)	16,71 (5,26)	20,97 (7,45)
	ECLATS G	$\bar{X}$ 16,18 (6,80)	17,82 (8,85)	18,64 (10,40)	14,00 (9,03)	17,92 (7,83)	18,36 (8,39)	21,40 (8,81)
	ECLATS F+G	$\bar{X}$ 16,08 (7,29)	16,92 (9,17)	16,38 (7,85)	12,96 (8,10)	17,45 (7,55)	17,72 (7,39)	21,12 (7,95)
	LAMES F	$\bar{X}$ 7,81 (3,19)	7,29 (3,72)	8,44 (5,12)	5,72 (3,17)	10,69 (5,47)	8,86 (2,17)	8,40 (1,85)
	LAMES G	$\bar{X}$ 12,86 (5,67)	8,86 (3,08)	13,00 (5,64)	10,96 (6,77)	12,20 (4,82)	13,18 (4,44)	13,53 (4,43)
	LAMES F+G	$\bar{X}$ 10,74 (5,40)	7,75 (3,81)	9,45 (5,57)	7,65 (5,44)	11,68 (5,12)	11,92 (4,39)	12,36 (4,54)
EPAISSEUR DU TALON en mm	ECLATS F	$\bar{X}$ 5,98 (3,29)	6,78 (3,93)	5,80 (2,77)	4,18 (2,56)	6,26 (3,29)	7,23 (2,78)	7,62 (2,95)
	ECLATS G	$\bar{X}$ 6,21 (3,19)	7,00 (3,66)	6,58 (3,66)	4,75 (2,81)	6,48 (3,76)	7,00 (3,07)	8,41 (4,05)
	ECLATS F+G	$\bar{X}$ 6,12 (3,23)	6,89 (3,78)	6,04 (3,19)	4,49 (2,71)	6,43 (3,65)	7,09 (2,96)	7,89 (3,39)
	LAMES F	$\bar{X}$ 2,87 (1,58)	3,18 (1,85)	2,96 (2,37)	2,26 (1,59)	4,37 (4,11)	4,29 (1,48)	4,60 (0,80)
	LAMES G	$\bar{X}$ 5,74 (3,05)	3,93 (2,52)	6,14 (4,05)	4,20 (3,19)	5,39 (3,10)	6,88 (3,10)	6,35 (2,97)
	LAMES F+G	$\bar{X}$ 4,52 (2,90)	3,39 (2,10)	3,66 (3,11)	2,97 (2,49)	5,02 (3,36)	6,12 (2,98)	5,95 (2,74)
ANGLE D'ECLAITEMENT en degrés	ECLATS F	$\bar{X}$ 111,8 (9,3)	112,0 (14,7)	112,5 (11,1)	108,2 (12,1)	112,8 (9,35)	114,7 (10,6)	121,3 (10,0)
	ECLATS G	$\bar{X}$ 110,1 (8,80)	113,9 (9,80)	113,1 (11,5)	118,4 (11,9)	113,8 (11,6)	113,1 (12,6)	111,0 (8,9)
	ECLATS F+G	$\bar{X}$ 110,73 (9,02)	112,98 (12,33)	112,65 (11,22)	110,51 (12,19)	113,58 (11,17)	113,68 (11,88)	117,74 (10,81)
	LAMES F	$\bar{X}$ 111,3 (8,8)	108,4 (16,5)	111,1 (12,1)	109,6 (11,7)	109,3 (8,1)	109,4 (7,1)	111,0 (7,6)
	LAMES G	$\bar{X}$ 112,7 (10,7)	115,1 (15,6)	112,9 (11,1)	108,8 (8,0)	116,6 (12,8)	108,0 (5,62)	107,7 (4,0)
	LAMES F+G	$\bar{X}$ 112,14 (9,98)	110,45 (16,5)	111,56 (11,93)	109,33 (10,43)	114,61 (12,12)	108,42 (6,14)	108,45 (5,22)

Fig. 102 - Longueur du talon, épaisseur du talon et angle d'éclatement.  
Length and thickness of the butt, and flaking angle.

		1	2	3	4	5	6	7
LONGUEUR	ECLATS	$\bar{X}$ -0,04 (1,04)	0,22 (-1,22)	-0,41 (0,19)	0,64 (-0,66)	3,08 (2,21)	4,14 (1,61)	10,21 (4,4)
	LAMES	$\bar{X}$ 10,08 (8,97)	8,53 (11,44)	14,05 (4,06)	14,60 (7,19)	5,62 (6,39)	18,07 (8,19)	10,48 (1,97)
LARGEUR	ECLATS	$\bar{X}$ 4,14 (2,02)	3,30 (-0,54)	2,75 (3,92)	0,41 (-2,28)	5,41 (4,31)	4,35 (1,09)	6,80 (5,31)
	LAMES	$\bar{X}$ 4,46 (3,21)	2,79 (3,00)	4,76 (0,87)	5,95 (4,36)	8,59 (3,82)	5,68 (0,84)	6,89 (3,87)
EPAISSEUR	ECLATS	$\bar{X}$ 0,49 (-0,12)	0 (-0,68)	0,24 (-0,41)	0,07 (0,01)	0,27 (0,59)	0,15 (0,05)	1,46 (1,17)
	LAMES	$\bar{X}$ 2,55 (1,23)	1,16 (2,04)	2,38 (0,73)	2,40 (2,07)	0,82 (0,30)	2,94 (0,55)	2,40 (0,89)
RAPPORT LONG/LARG	ECLATS	$\bar{X}$ -0,15 (-0,04)	-0,15 (-0,04)	-0,09 (0)	-0,02 (-0,02)	-0,07 (0)	-0,02 (-0,02)	0,10 (0)
	LAMES	$\bar{X}$ -0,08 (0,01)	0,07 (0,09)	-0,03 (-0,35)	-0,01 (-0,05)	-0,05 (0)	-0,17 (-0,20)	-0,60 (0,67)

Fig. 101 - Différences entre les moyennes et les écarts-types  
(silex à grain grossier moins silex à grain fin).  
Differences between means and standard deviation  
(coarse flint minus fine flint).

1

2

3

1

2

3

4

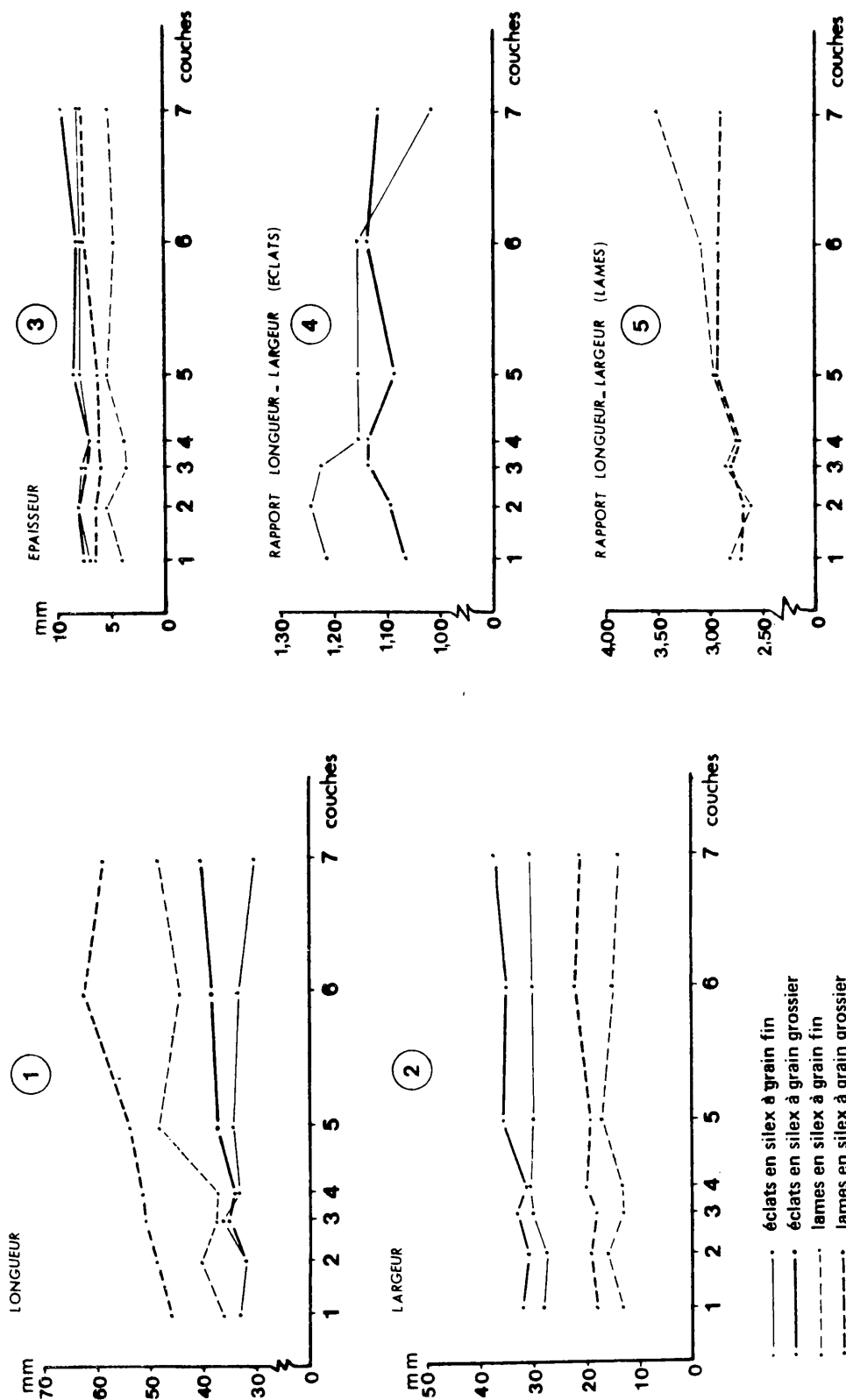


Fig. 103 - Représentation des moyennes des longueurs, largeurs, épaisseurs et du rapport longueur/largeur des supports entiers.  
Graphical representation of the length, width, thickness and length/width ratio means of complete blanks.

LAMES

		1	2	3	4	5	6	7
① Effectifs		122	73	88	73	85	45	54
	LONGUEUR	$\bar{X}$ 42,5 $\sigma$ 18,3	41,6 17,4	45,0 16,7	43,8 18,5	54,4 15,00	60,5 18,24	59,6 16,16
LARGEUR	$\bar{X}$	18,6	18,6	18,0	18,8	19,9	21,5	19,8
	$\sigma$	6,76	6,22	5,23	7,14	4,99	6,56	6,71
EPAISSEUR	$\bar{X}$	6,1	6,4	5,2	5,5	6,5	7,2	6,9
	$\sigma$	3,88	3,77	3,28	3,36	3,25	3,54	3,09
RAPPORT LONG/LARG.	$\bar{X}$	2,3	2,2	2,5	2,4	2,8	2,9	3,0
	$\sigma$	0,5	0,5	0,6	0,7	0,72	0,63	0,75

LAMELLES

		1	2	3	4	5	6	7
② Effectifs		73	18	77	37	19	16	18
	LONGUEUR	$\bar{X}$ 24,8 $\sigma$ 7,1	23,3 6,9	21,6 8,6	23,5 7,5	33,7 5,67	32,1 6,09	34,0 4,46
LARGEUR	$\bar{X}$	9,2	9,0	8,9	9,4	9,5	9,5	9,3
	$\sigma$	1,55	1,91	1,54	1,52	1,74	1,26	1,68
EPAISSEUR	$\bar{X}$	3,68	3,3	2,5	2,6	2,6	3,1	4,4
	$\sigma$	2,20	1,19	1,42	1,27	0,96	1,12	2,43
RAPPORT LONG/LARG.	$\bar{X}$	2,8	2,7	2,5	2,5	3,6	3,4	3,8
	$\sigma$	0,90	0,90	0,90	0,70	0,76	0,70	0,92

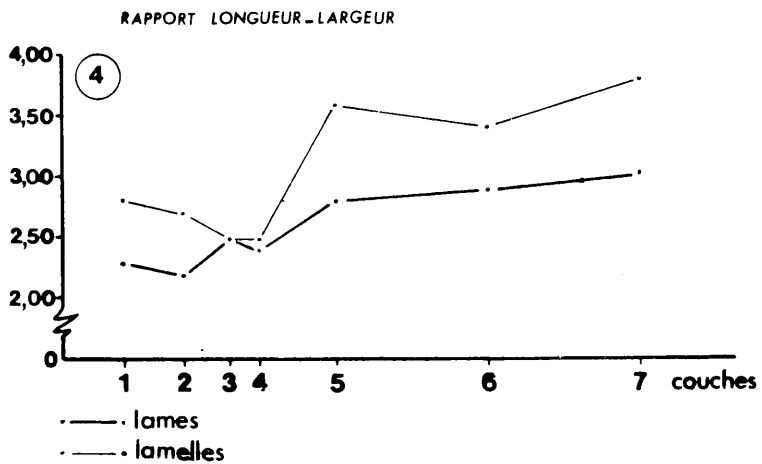
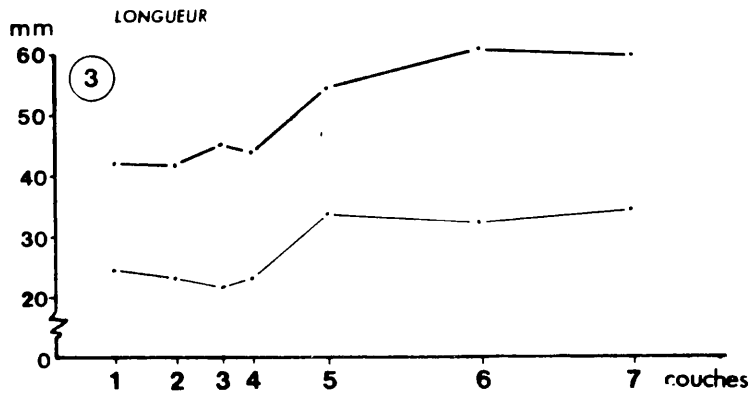


Fig. 104 - Longueur, largeur, épaisseur et rapport longueur/largeur des supports allongés, en séparant les lames des lamelles (limite à 12 mm de large).  
 Length, width, thickness and length/width ratio of the elongated blanks, separating blades and bladelets (limit at 12 mm width).

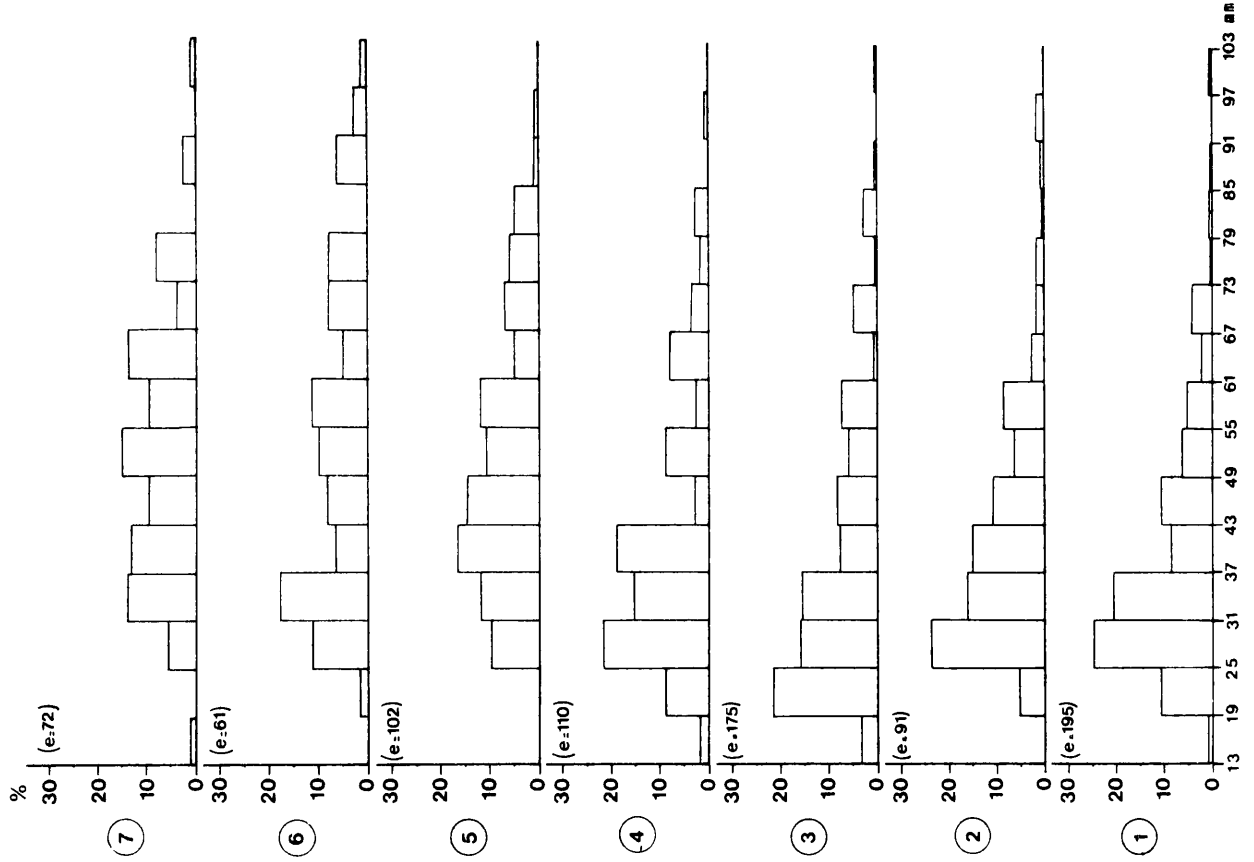


Fig. 106 - Histogrammes des longueurs des lames. Histograms showing blade lengths.

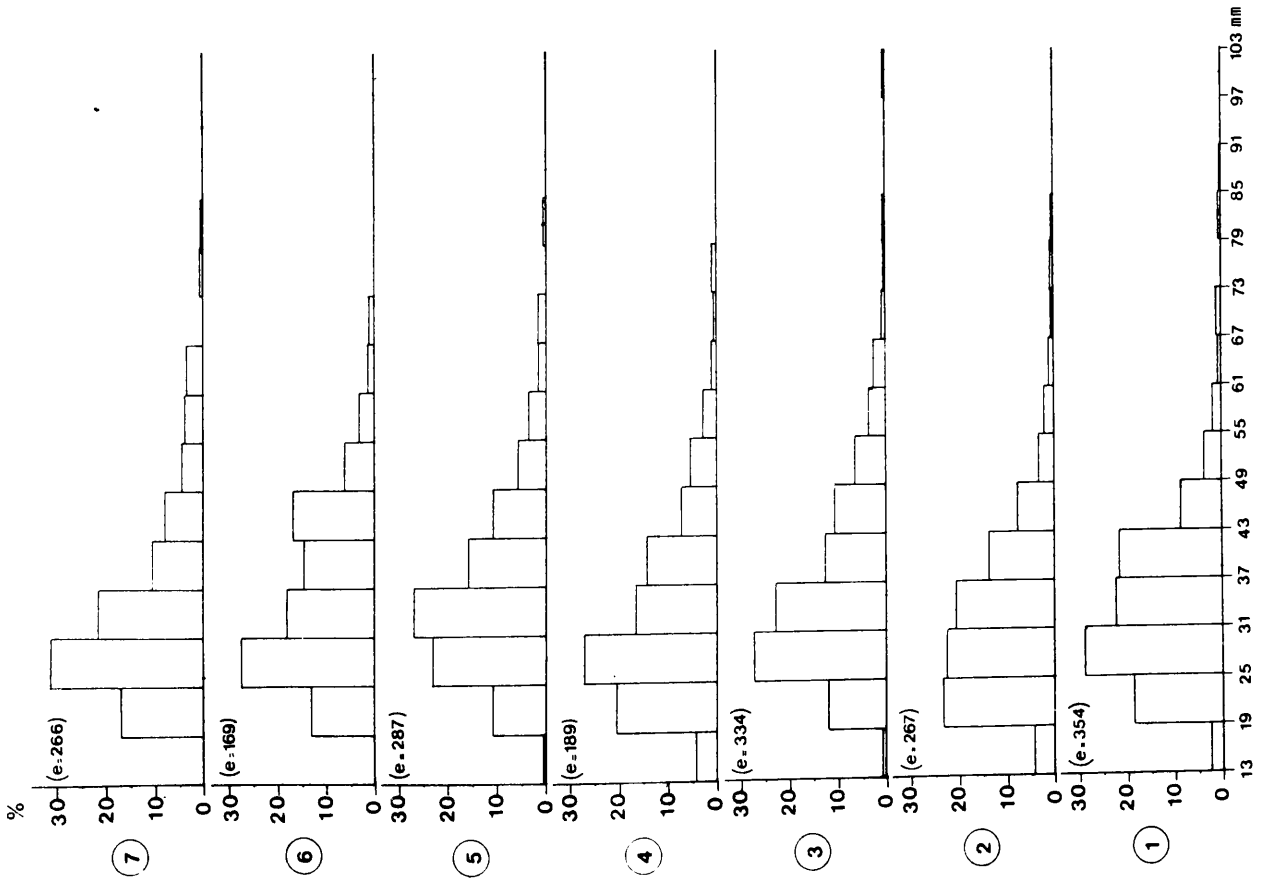


Fig. 105 - Histogrammes des longueurs des éclats. Histograms showing flake lengths.

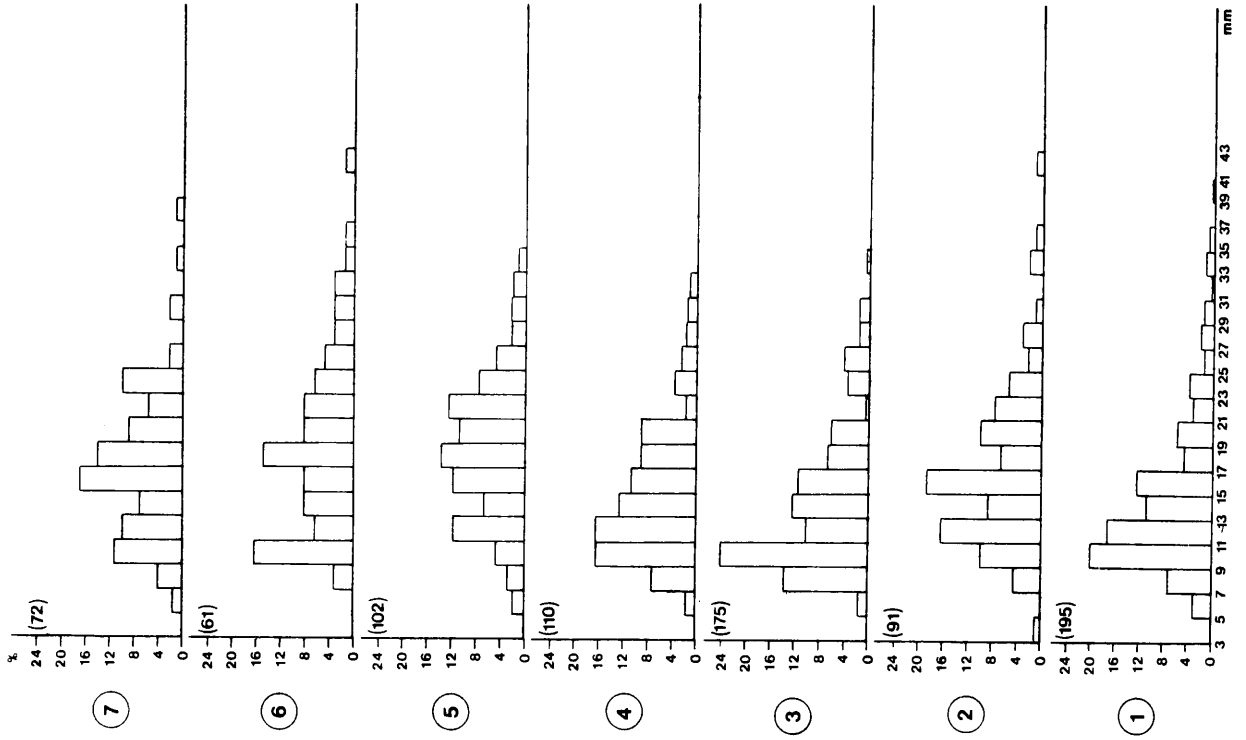


Fig. 106 - Histogrammes des largeurs des lames.  
Histograms showing blade widths.

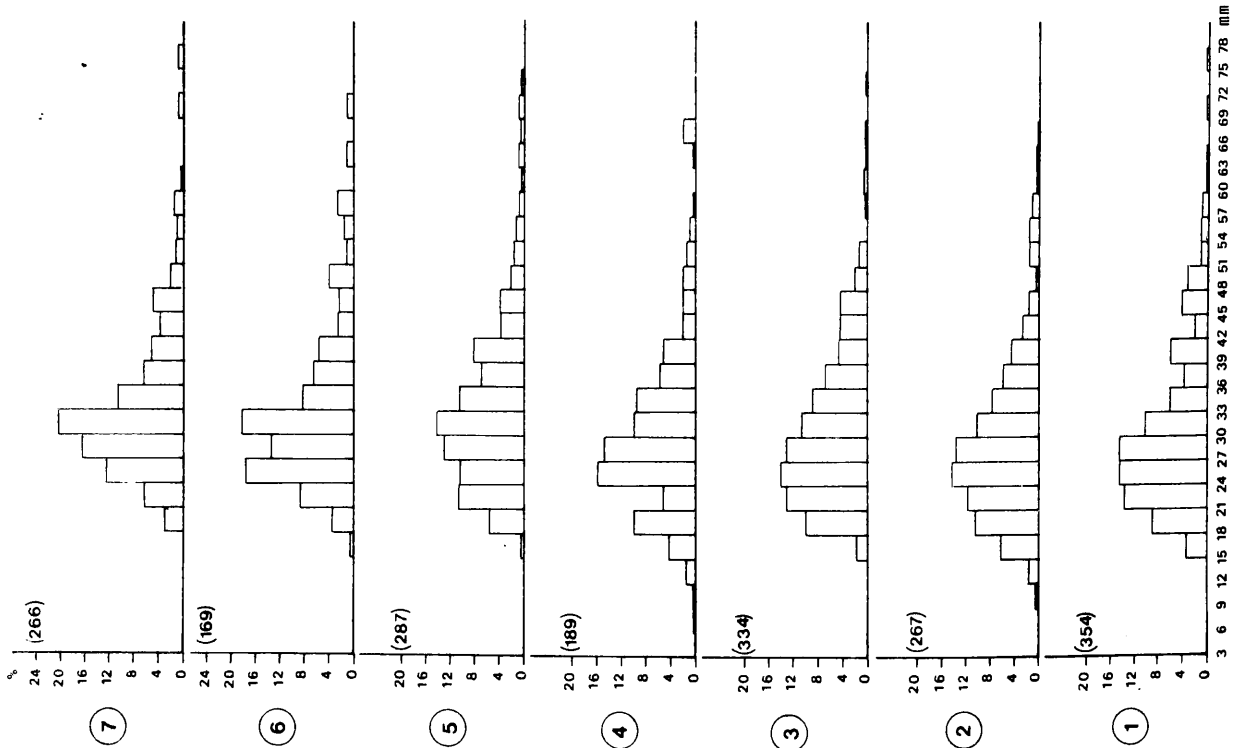


Fig. 107 - Histogrammes des largeurs des éclats.  
Histograms showing flake widths.

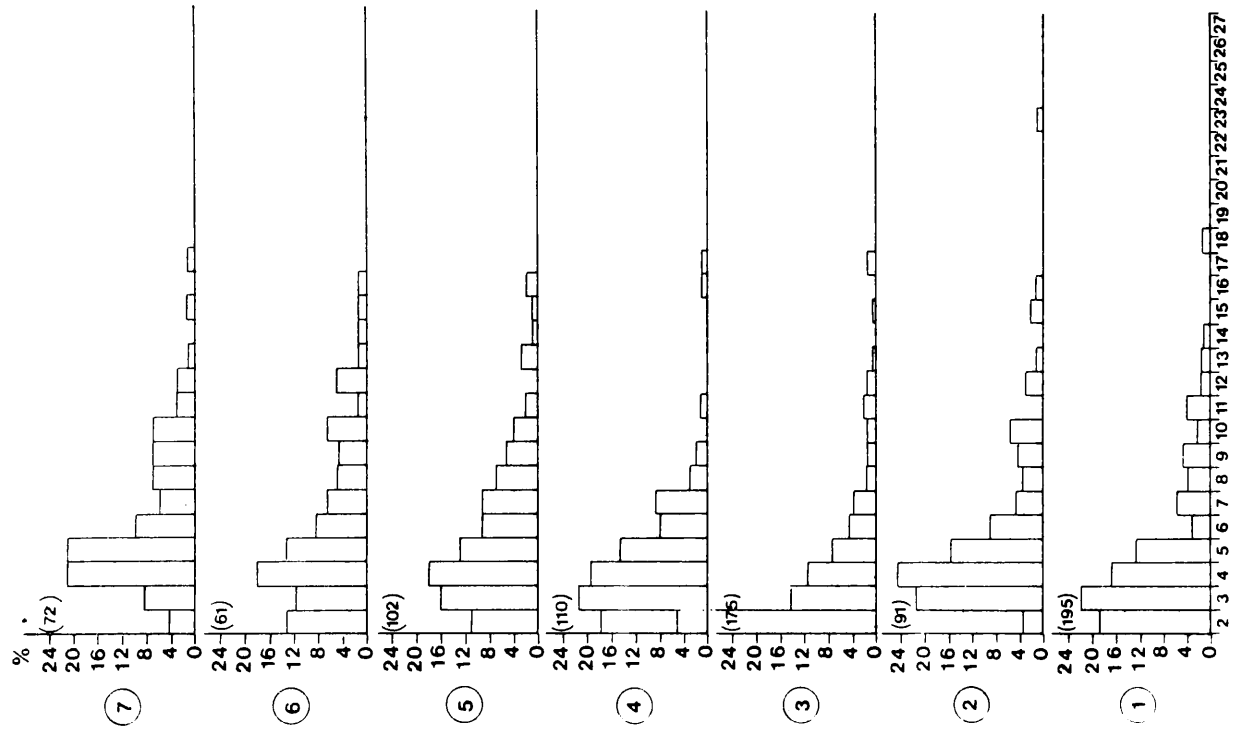


Fig. 110 - Histogrammes des épaisseurs des lames.  
Histograms showing blade thicknesses.

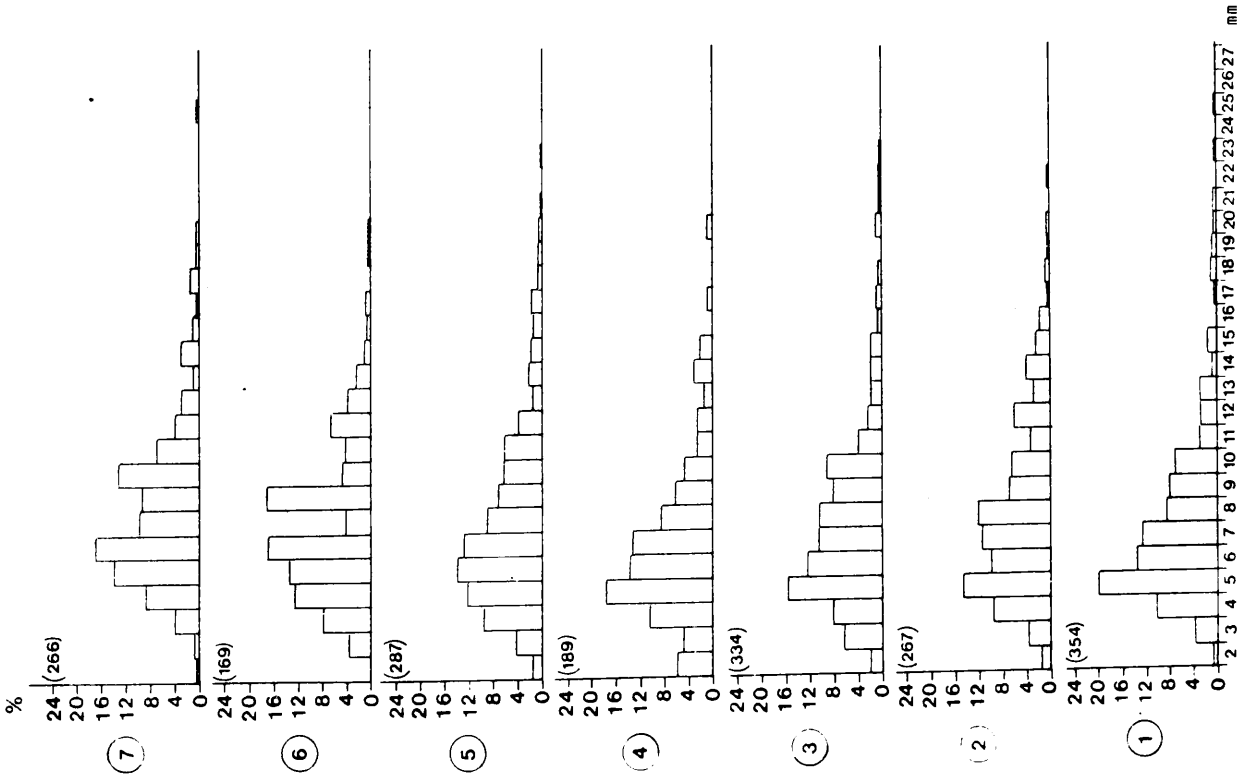


Fig. 109 - Histogrammes des épaisseurs des éclats.  
Histograms showing flake thicknesses.

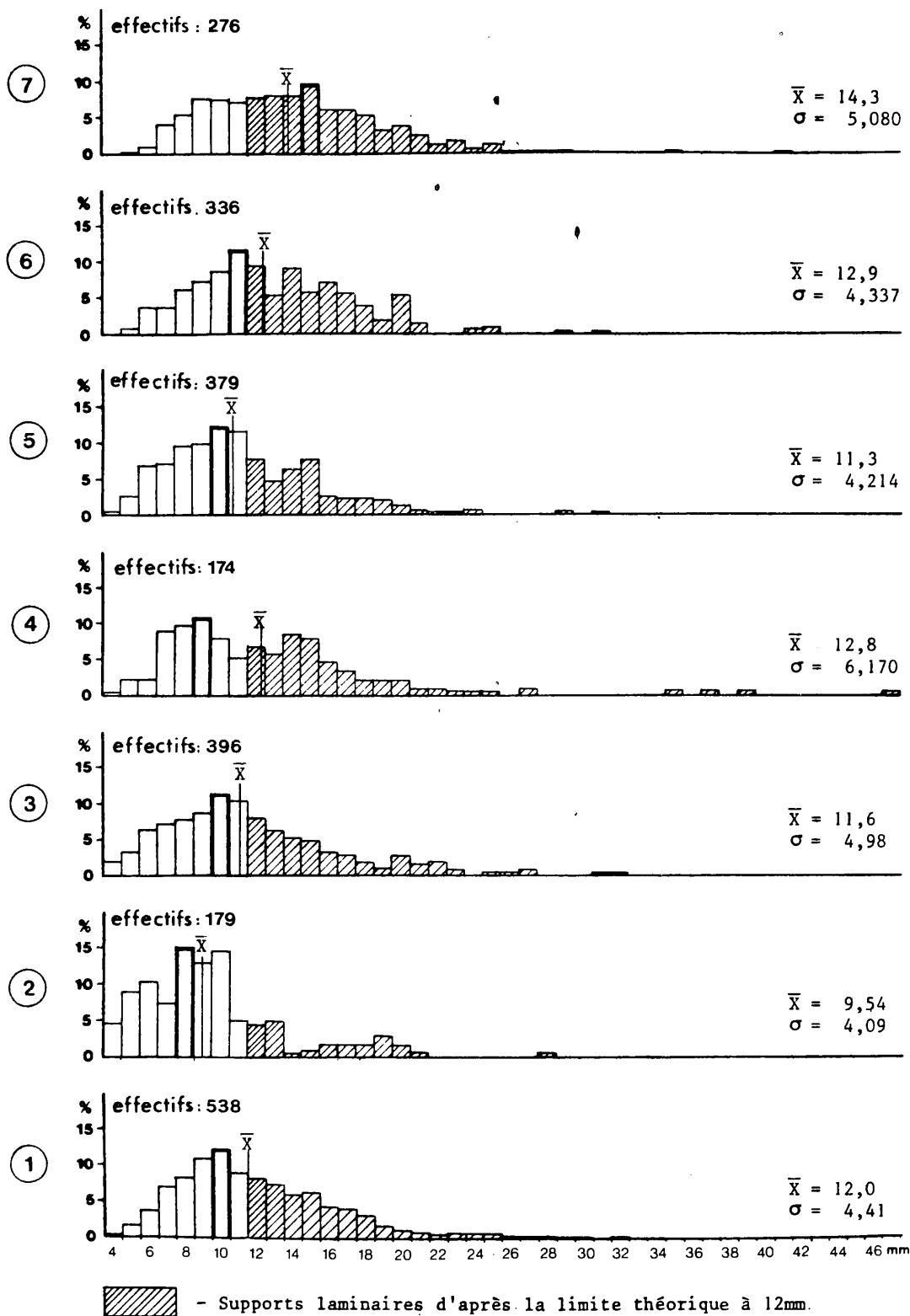


Fig. 111 - Histogrammes des largeurs de la totalité des supports élargés, fragments compris (silex à grain fin).  
Histograms showing widths of all the elongated blanks including fragments (fine flint).

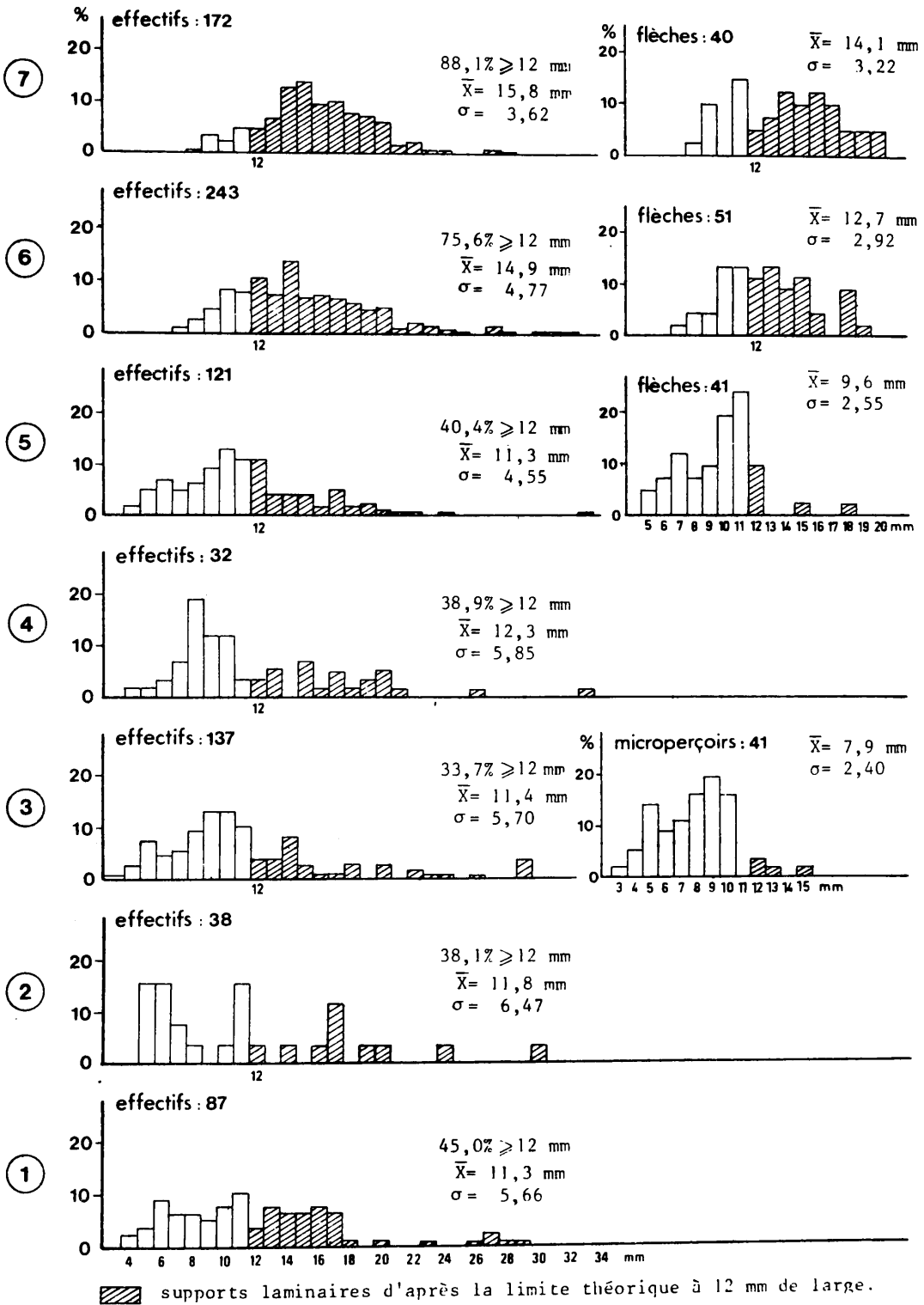


Fig. 112 - Histogrammes des largeurs des outils sur supports élancés en silex à grain fin.  
 Histograms showing widths of tools on elongated blanks of fine flint.



TENDANCES	MODALITES	EVOLUTION (2)	Incl. de régression		r (1)
			int.	m	
A**	Point d'impact	+	31,8	0,174	0,841
	Bords parallèles	-	47,2	-0,309	-0,762
	Profil convexe	+	22,8	-0,065	-0,378
	Profil irrégulier	eff. faible			
A*	Négatifs parallèles	-	59,2	-0,235	-0,703
	Orientation négatifs identique	-	64,4	-0,167	-0,573
	Talons lisses	-	64,4	-0,152	-0,490
	Sans préparation	-	78,3	-0,153	-0,757
B**	Extrém. dist. réfléchi et à bourrel.	+	30,1	-0,299	-0,887
	Courbure maximale proximale	-	15,2	0,131	0,698
	Profil plat et torse	+	29,3	-0,168	-0,482
	Disposition négatifs croisés	eff. faible	32,0	-0,037	-0,187
B*	Préparation côté plan de frappe	eff. faible			
	Extrém. dist. outrepassée	eff. faible			
	Bords divergents	eff. faible	25,4	-0,111	-0,257
B*	Négatifs divergents	eff. faible			
	Talons punct., dièdres, facet. et filif.	+	12,6	0,142	0,605
	Préparation côté surface débitée	+	21,7	0,153	0,757
	Bords convergents et irréguliers	+	27,3	0,419	0,791
Indéterm. (?)	Négatifs inverses, orthog. et centrip.	+	6,9	0,157	0,648
	Orientation opposée	eff. faible			
	Cortex proximal et mérial	eff. faible			
	Talons éraasés	-	16,3	-0,009	-0,098
Indéterm. (?)	Talons corticaux	-	4,3	0,015	0,235
	Talons éversés	-	2,2	0,006	0,083
	Extrém. dist. arrondie	-	74,4	-0,042	-0,468
	Extrém. dist. irrégulière	+	-4,6	0,341	0,940
	Courbure maximale distale	-	51,3	0,056	0,134
	Courbure maximale indéfinie	-	19,3	0,112	0,165
	Profil concave	-	45,5	0,024	0,111
	Disposition négatifs unique	-	5,8	0,051	0,427
	Dispositions des négatifs multiples	-	12,0	0,007	0,018
	Orientation perpendiculaire	-	4,6	-0,016	-0,427
	Orientation inclinée	-	3,1	0,002	0,031
	Sans orientation	-	18,0	0,125	0,343
Cortex distal	-	16,0	-0,016	-0,194	
Cortex total	-	6,8	-0,015	-0,143	
Cortex latéral droit	-	7,1	0,018	0,279	
Cortex latéral gauche	-	9,1	-0,003	-0,041	

(1) int. = intersection de la droite (x=0), m = pente, r = coefficient de corrélation (2) eff. faible = effectifs trop faibles.

Fig. 113 - Synthèse des modalités sur les ECLATS (silex à grain fin et silex à grain grossier).  
Synthesis of the attributes of the FLAKES (fine flint and coarse flint).

TENDANCES	MODALITES	EVOLUTION (2)	Droite de régression		r (1)
			int.	m	
A**	Talons lisses	-	31,8	-0,084	-0,340
	Sans préparation	-	39,2	-0,111	-0,522
	Avec impact	+	9,4	0,069	0,731
	Bords divergents et irréguliers	+	-2,3	0,368	0,848
A*	Extrém. distales réfléchies et à bour.	+	11,1	0,086	0,419
	Bords convergents	-	14,5	-0,055	-0,234
	Courbure maximale distale	-	11,1	-0,074	-0,455
	Profil concave, convexe et irrégulier	-	28,8	-0,186	-0,626
B**	Emplacement du cortex (sauf distal)	+	69,8	-0,066	-0,207
	Négatifs divergents et orthogonaux	+	1,9	0,099	0,780
B**	Talons punctiformes	+	38,5	0,071	0,287
	Préparation côté plan de frappe	eff. faible			
	Extrém. distale outrepassée	eff. faible			
	Négatifs parallèles inverses	+	-2,5	0,250	0,820
B*	Orientation perpendiculaire	eff. faible			
	Talons dièdres, facetés et filif.	+	2,4	0,095	0,813
	Préparation côté surface débitée	+	60,8	0,111	0,522
	Extrém. distale pointue	-	49,4	0,014	0,084
Indéterm. (?)	Courbure maximale proximale	-	73,8	0,167	0,239
	Profil plat et torse	+	71,2	0,186	0,625
	Orientation opposée	eff. faible			
	Talons éraasés	-	22,6	-0,094	-0,572
	Talons corticaux	-	1,6	0,032	0,580
	Talons éversés	-	3,2	-0,022	-0,333
	Lèvre	-	16,2	-0,134	-0,846
	Extrém. dist. arrondie	-	48,3	-0,050	-0,217
	Extrém. dist. irrégulière	-	2,3	0,036	0,267
	Bords parallèles	-	87,7	-0,313	-0,618
	Courbure maximale indéfinie	-	15,1	-0,093	-0,153
	Dispos. négatifs parallèles identiques	-	90,4	-0,308	-0,694
Dispos. négatifs croisés	eff. faible				
Dispos. négatifs centrifuges	eff. faible				
Dispos. négatifs unique	eff. faible				
Dispos. négatifs multiples	eff. faible				
Orientation inclinée	-	5,2	-0,055	-0,401	
Orientation identique	-	81,4	0,111	0,453	
Cortex distal	eff. faible				

(1) int. = intersection de la droite (x=0), m = pente, r = coefficient de corrélation (2) eff. faible = effectifs trop faibles.

Fig. 114 - Synthèse des modalités sur les LAMES (silex à grain fin et silex à grain grossier).  
Synthesis of the attributes of the BLADES (fine flint and coarse flint).

## ① ECLATS

MODALITES	GRAIN	$\bar{X}$	$\sigma$	Droite de régression		
				int.	m	r
Talons punc.dièd.facet.filif.	F	22,5	8,06	14,5	0,185	0,639
	G	14,6	3,76	11,4	0,074	0,547
Talons écrasés	F	13,4	2,88	14,8	-0,031	-0,299
	G	18,3	4,29	15,3	0,069	0,444
Lèvre	F	8,3	7,72	15,1	-0,160	-0,577
	G	13,9	10,46	22,0	-0,193	-0,512
Préparation	F	27,4	6,09	19,6	0,182	0,832
	G	28,0	6,04	23,7	0,100	0,458
Profil concave	F	46,7	8,95	39,2	0,174	0,539
	G	45,2	6,97	52,7	-0,176	-0,702
Négatifs centrip.et orthog.	F	11,9	8,56	1,4	0,244	0,794
	G	9,1	3,99	6,0	0,072	0,498
Nervures saillantes	F	31,3	7,73	24,6	0,156	0,560
	G	47,1	13,63	31,5	0,364	0,743
Nervures diffuses	F	55,3	4,08	55,8	-0,011	-0,072
	G	40,2	9,10	52,5	-0,288	-0,878

## ② LAMES

MODALITES	GRAIN	$\bar{X}$	$\sigma$	Droite de régression		
				int.	m	r
Talons lisses	F	21,2	10,36	28,2	-0,165	-0,442
	G	48,1	9,20	38,0	0,235	0,709
Talons punctiformes	F	42,2	10,02	42,5	0,132	0,365
	G	22,3	5,70	29,1	-0,159	-0,778
Lèvre	F	8,0	4,63	12,1	-0,095	-0,571
	G	15,9	7,45	26,6	-0,251	-0,936
Préparation	F	71,5	4,96	67,9	0,075	0,421
	G	52,4	7,14	47,8	0,107	0,417
Impact	F	5,8	2,33	6,5	-0,016	-0,195
	G	30,6	13,00	13,4	0,400	0,855
Extrémité distale pointue	F	51,2	7,89	48,5	0,063	0,223
	G	49,4	8,63	53,4	-0,094	-0,302
Bulbe saillant	F	29,6	13,74	43,7	-0,329	-0,666
	G	39,7	12,14	39,4	0,006	0,013
Négatifs parallèles inverses	F	10,4	12,84	-5,1	0,362	0,783
	G	4,5	3,18	0,9	0,084	0,730
Négatifs orthog.et diverg.	F	6,3	3,70	1,1	0,121	0,908
	G	6,8	4,43	3,9	0,066	0,415
Nervures saillantes	F	16,9	9,70	4,0	0,301	0,865
	G	50,2	21,62	22,9	0,636	0,817
Nervures diffuses	F	81,2	8,35	92,3	-0,258	-0,860
	G	46,3	19,06	69,6	-0,543	-0,792

Fig. 115 - Comparaison, en fonction du type de silex, des modalités les plus significatives.  
Comparison of the most significant attributes according to the flint type.

MODALITES	$\bar{X}$ (e)	1	2	3	4	5	6	7	Tend.
Talon lisse	57,9 (8,67)	63,1	63,8	55,3	72,4	46,4	48,1	55,7	A*
Talon écrasé	15,9 (2,59)	15,3	17,7	14,0	13,8	21,5	14,1	15,1	?
Talon punc., diè., facet., filif.	18,7 (5,77)	15,3	15,9	18,1	8,4	22,9	26,9	23,4	B*
Avec lèvre	11,6 (8,76)	6,8	21,3	12,3	26,5	3,5	4,7	2,3	?
Avec préparation	28,2 (5,61)	20,5	22,1	23,6	29,9	35,5	33,6	32,4	B*
Avec impact	39,2 (5,74)	35,1	34,9	38,2	38,7	36,2	38,6	52,8	A**
Extrémité distale pointue	17,3 (9,39)	22,0	22,7	30,5	23,1	14,3	5,2	3,0	A*
Extrémité distale arrondie	72,6 (2,53)	76,3	71,8	69,5	75,8	72,1	73,4	69,5	?
Extrémité distale irrégulière	10,1(10,09)	1,7	5,4	0,0	1,1	13,6	21,3	27,4	?
Extr.dist. réfléch. et à bour.	20,8 (5,22)	18,3	23,1	18,6	15,8	14,3	26,1	29,7	A*
Bords parallèles	34,0(12,22)	33,6	56,3	42,5	32,8	24,7	33,7	14,3	A**
Bords convergents	31,7(11,11)	23,7	34,7	33,8	54,0	21,9	18,3	35,3	B*
Bords divergents	20,7(11,96)	40,8	7,9	22,7	6,3	34,1	18,3	14,7	B**
Bords irréguliers	13,6(13,48)	2,0	1,1	0,9	6,9	19,2	29,6	35,7	B*
Courbure maximale proximale	22,2 (9,67)	31,3	9,4	38,0	24,3	24,7	12,4	15,0	A*
Courbure maximale distale	53,6(11,54)	66,9	28,5	59,6	49,2	56,4	61,5	53,4	?
Courbure maximale indéfinie	24,1(18,94)	1,7	62,1	2,4	26,4	18,8	26,0	31,6	?
Profil concave	46,6 (6,02)	48,9	36,8	56,6	44,4	46,3	41,4	51,5	?
Profil convexe	20,0 (4,76)	17,2	26,7	19,8	27,5	13,9	17,8	17,3	A**
Profil plat	15,5 (5,28)	10,7	26,0	10,8	15,3	17,4	18,3	10,2	A*
Profil torse	14,9 (4,91)	22,3	6,9	12,6	12,2	18,1	19,5	12,4	A*
Négatif parallèle identique	49,1 (9,29)	53,5	46,6	64,1	58,7	41,5	43,2	36,1	A**
Négatif paral., inv., orth., cent.	13,3 (6,71)	5,0	14,3	12,0	7,4	21,9	10,1	24,5	B*
Négatifs multiples	13,3(10,20)	31,1	6,5	1,8	1,1	11,5	22,5	11,7	(1)
Orientation négat.identique	57,3 (8,07)	56,4	55,0	69,9	65,6	52,0	58,5	43,4	A*
Sans orientation	23,4(10,15)	35,2	21,1	9,5	8,2	29,2	26,4	33,9	(1)


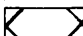
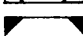
Légende :  proportion la plus forte  
 proportions au-dessus de la moyenne  
 proportion la plus faible  
(1) modalité associée à la tendance B\*

Fig. 116 - Proportions, selon les couches, des modalités les plus significatives sur les ECLATS.  
Proportions of the most significant attributes of the FLAKES, according to layer.

MODALITES	$\bar{X}$ (G)	1	2	3	4	5	6	7	Tend.
Talon lisse	28,2 (6,86)	26,9	28,9	26,3	44,0	25,3	20,5	25,7	A**
Talon écrasé	18,5 (4,54)	16,2	28,0	19,7	18,6	19,7	12,8	14,8	?
Talon punctiforme	41,5 (6,88)	48,5	35,8	44,4	30,4	36,3	50,4	45,0	B**
Talon dièd., facet., filif.	6,5 (3,23)	4,3	5,6	2,0	4,2	7,6	11,9	9,9	B*
Avec lèvre	10,5 (4,40)	13,3	15,4	11,5	15,4	8,8	3,3	5,6	?
Avec préparation	65,6 (5,90)	65,0	53,0	66,9	71,2	62,5	69,5	70,8	B*
Avec point d'impact	12,3 (2,64)	10,7	12,0	9,8	13,3	10,8	11,5	18,3	A**
Extrémité distale pointue	50,0 (4,71)	46,2	50,5	49,7	52,7	55,9	41,0	54,2	B*
Extrémité distale arrondie	46,1 (6,38)	51,8	46,2	49,7	47,3	32,4	52,5	43,1	?
Extr.dist.réfl. et à bour.	14,8 (5,70)	13,8	19,8	11,7	10,0	5,9	23,0	19,5	A*
Bords parallèles	74,3(14,07)	69,7	92,3	74,5	97,3	63,7	67,2	55,6	?
Bords convergents	12,1 (6,50)	21,5	5,5	19,4	2,7	12,7	14,8	8,3	A*
Bords diverg. et irréguliers	13,5(12,07)	8,8	2,2	6,0	0,0	23,5	18,0	36,1	A**
Courbure maximale proximale	81,0(19,46)	94,4	34,1	87,9	86,4	93,1	83,6	87,5	B*
Courbure maximale distale	7,9 (4,55)	5,1	14,3	12,1	11,8	1,0	6,6	4,2	A*
Profil concave, convexe, irr.	20,8 (8,26)	16,9	31,8	29,7	29,1	12,7	13,1	12,5	A*
Profil plat et torse	79,2 (8,26)	83,1	68,2	70,3	70,9	87,3	86,9	87,5	B*
Disp.négatifs parallèles	77,2(12,35)	79,0	81,3	81,2	84,5	83,3	83,6	47,2	?
Disp.négat.parall.inverses	8,3 (8,48)	2,6	8,8	4,2	1,8	2,9	9,8	27,8	B**
Disp.négat.orthog.diverg.	6,2 (3,53)	1,5	2,2	6,0	7,3	8,8	4,9	12,5	R***


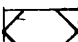
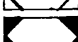
Légende :  proportion la plus forte  
 proportions au-dessus de la moyenne  
 proportion la plus faible

Fig. 117

Proportions, selon les couches, des modalités les plus significatives sur les LAMES.  
 Proportions of the most significant attributes of the BLADES, according to layer

① ECLATS (26 modalités considérées)

	1	2	3	4	5	6	7
Modalités associées au schéma A (1)	7	6	6	10	3	5	2
Modalités associées au schéma B (2)	3	5	2	2	9	5	11
Modalités associées à la tend.indéterm.	4	5	5	4	3	4	5
Modalités aux proportions $\leq \bar{X}$	12	10	13	10	11	12	8

② LAMES (20 modalités considérées)

	1	2	3	4	5	6	7
Modalités associées au schéma A (1)	2	7	4	6	2	4	3
Modalités associées au schéma B (2)	3	2	4	6	7	7	9
Modalités associées à la tend.indéterm.	3	5	5	5	3	4	2
Modalités aux proportions $\leq \bar{X}$	12	6	7	3	8	5	6

(1) A + fort A >  $\bar{X}$  et B + faible. (2) B + fort B >  $\bar{X}$  et A + faible.

③ ECLATS et LAMES (46 modalités)

	1	2	3	4	5	6	7
A	9 (19,6)	13 (28,3)	10 (21,7)	16 (34,8)	5 (10,9)	9 (19,6)	5 (10,9)
B	6 (13,0)	7 (15,2)	6 (13,0)	8 (17,4)	16 (34,8)	11 (23,9)	20 (43,5)
Indéterminée	7 (15,2)	10 (21,7)	10 (21,7)	9 (19,6)	6 (13,0)	8 (17,4)	7 (15,2)
$\leq \bar{X}$	24 (52,2)	16 (34,8)	20 (43,5)	13 (28,3)	19 (41,3)	17 (36,9)	14 (30,4)

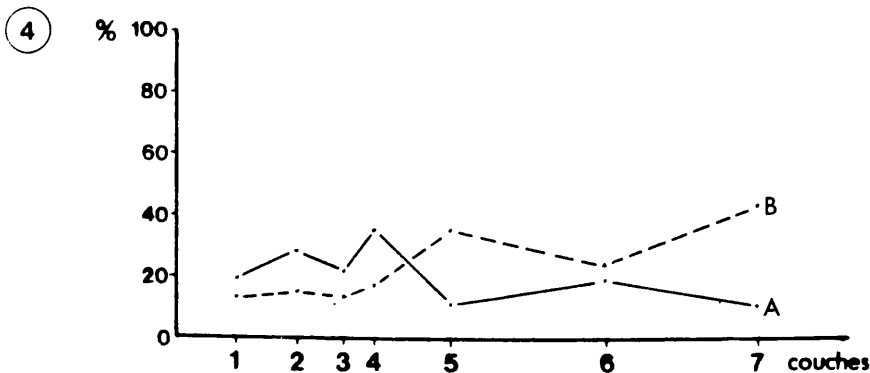


Fig. 118 Recensement des modalités significatives, couche par couche.  
Inventory of the significant attributes, layer by layer.

**3 ECLATS - Grain Grossier**

couche	A**		indét.	B**		B***	total
	nb	%		nb	%		
7	19,2	20,6	33,6	13,5	1,8		887
6	21,7	23,2	37,9	15,2	3,0		100
5	18,6	19,4	2,81	9,1	1,8		770
4	24,2	25,2	36,5	11,8	2,3		100
3	37,6	44,4	6,81	27,0	9,1		1862
2	20,2	23,8	36,6	14,5	4,9		100
1	21,0	23,1	27,2	9,6	8		847
	35,7	28,3	33,3	11,7	1,0		100
	21,4	22,8	2,45	8,0	2,3		790
	27,1	28,9	31,0	10,1	2,9		100
	30,7	30,7	3,91	12,1	1,5		14,1
	26,9	26,9	34,3	10,6	4,3		100
	44,2	53,8	6,72	14,9	10,4		1905
	23,2	28,2	35,3	7,8	5,5		100

**6 LAMES - Grain Grossier**

couche	A**		indét.	B**		B***	total
	nb	%		nb	%		
7	53	16	8,6	8,4	5	0	244
6	21,7	6,6	35,2	34,4	2,1	0,0	100
5	49	18	102	8,4	7	0	260
4	19,9	6,9	39,2	32,3	2,7	0,0	100
3	65	17	164	13,5	11	3	395
2	16,5	4,3	44,5	34,2	2,8	0,7	100
1	60	26	128	9,1	2	0	307
	19,5	8,5	41,7	39,6	0,7	0,0	100
	3,6	1,5	8,1	5,7	5	0	194
	19,6	7,7	41,7	29,4	2,6	0,0	100
	3,0	1,7	9,3	5,3	2	0	195
	15,4	8,7	47,7	27,2	1,0	0,0	100
	12,3	5,4	2,42	2,11	1,6	1	647
	19,0	8,3	37,4	32,6	2,5	0,2	100

**2 ECLATS - Grain Fin**

couche	A**		indét.	B**		B***	total
	nb	%		nb	%		
7	27,4	32,5	49,7	26,0	3,4		1990
6	19,7	33,4	35,8	18,7	2,4		100
5	14,7	15,0	2,65	9,7	2,3		682
4	21,5	22,0	38,9	14,2	3,4		100
3	12,7	15,0	19,7	8,8	2,0		582
2	21,8	25,8	33,9	15,1	3,4		100
1	19,7	2,14	2,54	10,7	9		781
	25,2	27,4	32,5	13,7	1,2		100
	56,3	5,90	6,84	2,18	5,9		2114
	26,6	27,9	35,4	10,3	2,8		100
	29,2	33,1	3,60	14,2	1,4		1139
	25,6	29,1	31,6	12,5	1,2		100
	25,0	34,9	3,62	9,7	4,4		1102
	22,7	31,7	32,8	9,8	4,0		100

**5 LAMES - Grain Fin**

couche	A**		indét.	B**		B***	total
	nb	%		nb	%		
7	3,6	2,4	11,3	14,3	4,8	1	365
6	9,9	6,6	31,0	39,2	13,1	0,2	100
5	2,3	2,5	10,6	9,4	2,4	1	273
4	8,4	9,2	38,8	34,4	9,8	0,4	100
3	5,0	3,5	19,2	18,0	2,2	3	482
2	10,4	7,3	39,9	37,3	4,6	0,6	100
1	6,6	4,7	27,6	21,9	1,5	1	624
	10,6	7,5	44,2	35,1	2,4	0,2	100
	12,6	1,50	4,82	3,90	5,6	2	1186
	10,6	11,0	40,6	32,9	4,7	0,2	100
	7,7	6,2	2,96	13,6	1,5	0	586
	13,1	10,6	50,5	23,2	2,6	0,0	100
	10,6	9,1	40,8	33,2	5,9	0	996
	10,6	9,2	41,0	33,3	5,9	0,0	100

**1 ECLATS**

couche	A**		indét.	B**		B***	total
	nb	%		nb	%		
7	46,6	53,1	83,3	39,5	5,2		2277
6	20,5	23,3	36,6	17,3	2,3		100
5	33,3	34,4	54,6	1,88	4,1		1452
4	21,9	23,7	37,6	13,0	3,8		100
3	50,3	59,4	87,8	3,58	11,1		2444
2	20,6	24,3	35,9	14,7	4,5		100
1	40,7	44,5	57,6	20,3	1,7		1598
	25,5	27,8	32,9	12,7	1,1		100
	7,7	8,18	9,19	2,98	8,1		2904
	26,8	28,2	31,9	10,3	2,8		100
	59,9	63,8	7,51	2,63	2,9		2880
	26,3	28,0	32,9	11,5	1,3		100
	6,92	8,87	10,34	24,6	14,8		3007
	23,0	29,5	34,4	8,2	4,9		100

**4 LAMES**

couche	A**		indét.	B**		B***	total
	nb	%		nb	%		
7	89	4,0	1,99	22,7	5,3	1	609
6	14,6	6,6	32,7	37,3	8,7	0,1	100
5	7,2	4,3	20,8	17,8	3,1	1	533
4	19,5	9,1	39,0	33,4	5,8	0,2	100
3	11,5	5,2	3,56	3,15	3,3	6	877
2	13,1	5,9	40,6	35,9	3,8	0,7	100
1	12,6	7,3	40,4	31,0	1,7	1	931
	13,5	7,9	42,4	33,3	1,8	0,1	100
	16,2	14,5	5,63	44,7	6,1	2	1380
	11,7	10,5	40,8	32,4	4,4	0,2	100
	10,7	7,9	38,9	18,9	1,7	0	781
	13,7	10,1	49,8	24,2	2,2	0,0	100
	22,9	14,5	6,50	54,3	7,5	1	1643
	13,9	9,8	32,6	33,0	4,6	0,1	100

Fig. 119 - Synthèse des effectifs totalisés en fonction de leur tendance et de leur degré de probabilité.  
 Synthesis of the number totalled according to their tendency (schema A or B) and their degree of probability.

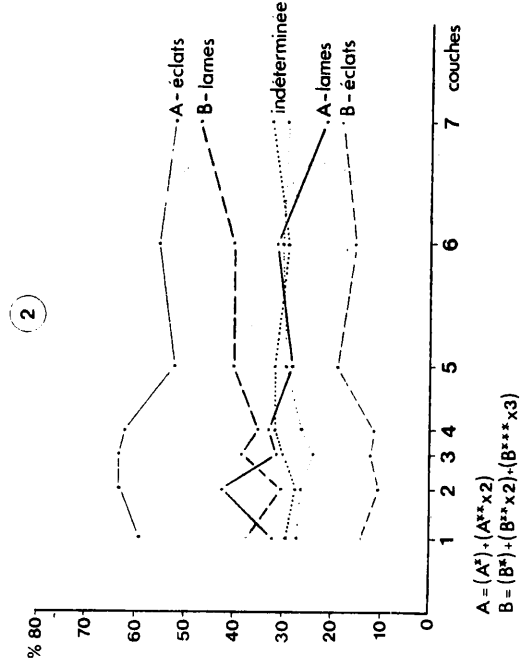
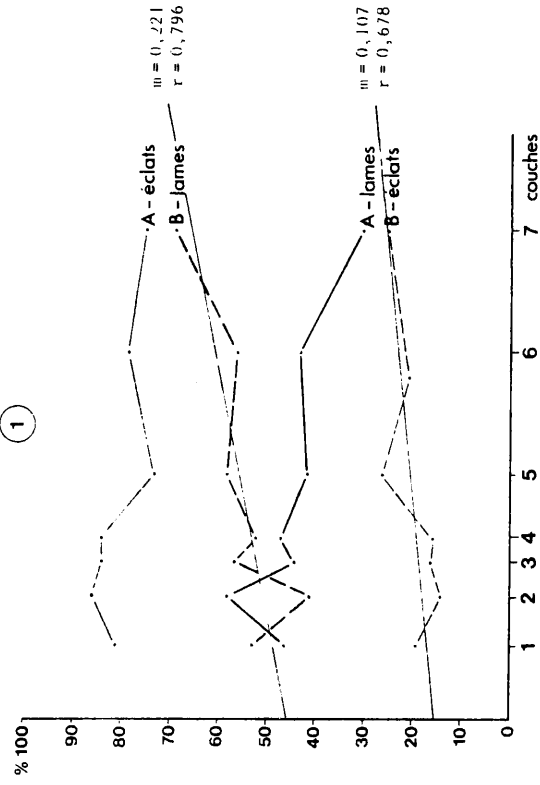


Fig. 121 - Calcul des tendances avec coefficients, pour éclats et lames, sans distinction de grain (Les pourcentages du graphique 1 ont été calculés sans tenir compte de la tendance "indétérminée").  
Calculation of the tendencies with coefficients, for flakes and blades, without distinction as to type of flint.

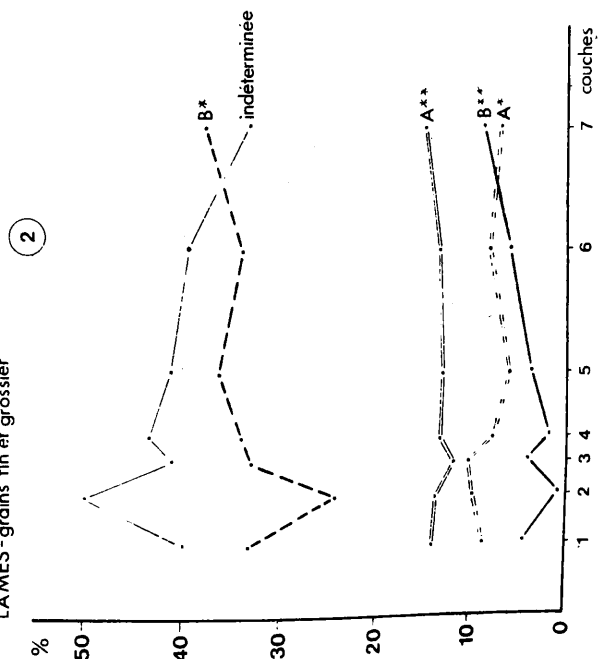
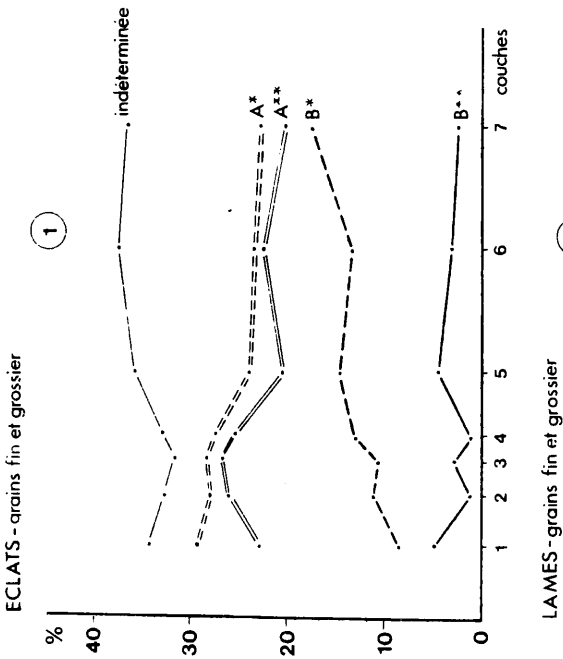


Fig. 120 - Représentation des tendances en fonction du type de support.  
Representation of the tendencies, according to blank type.

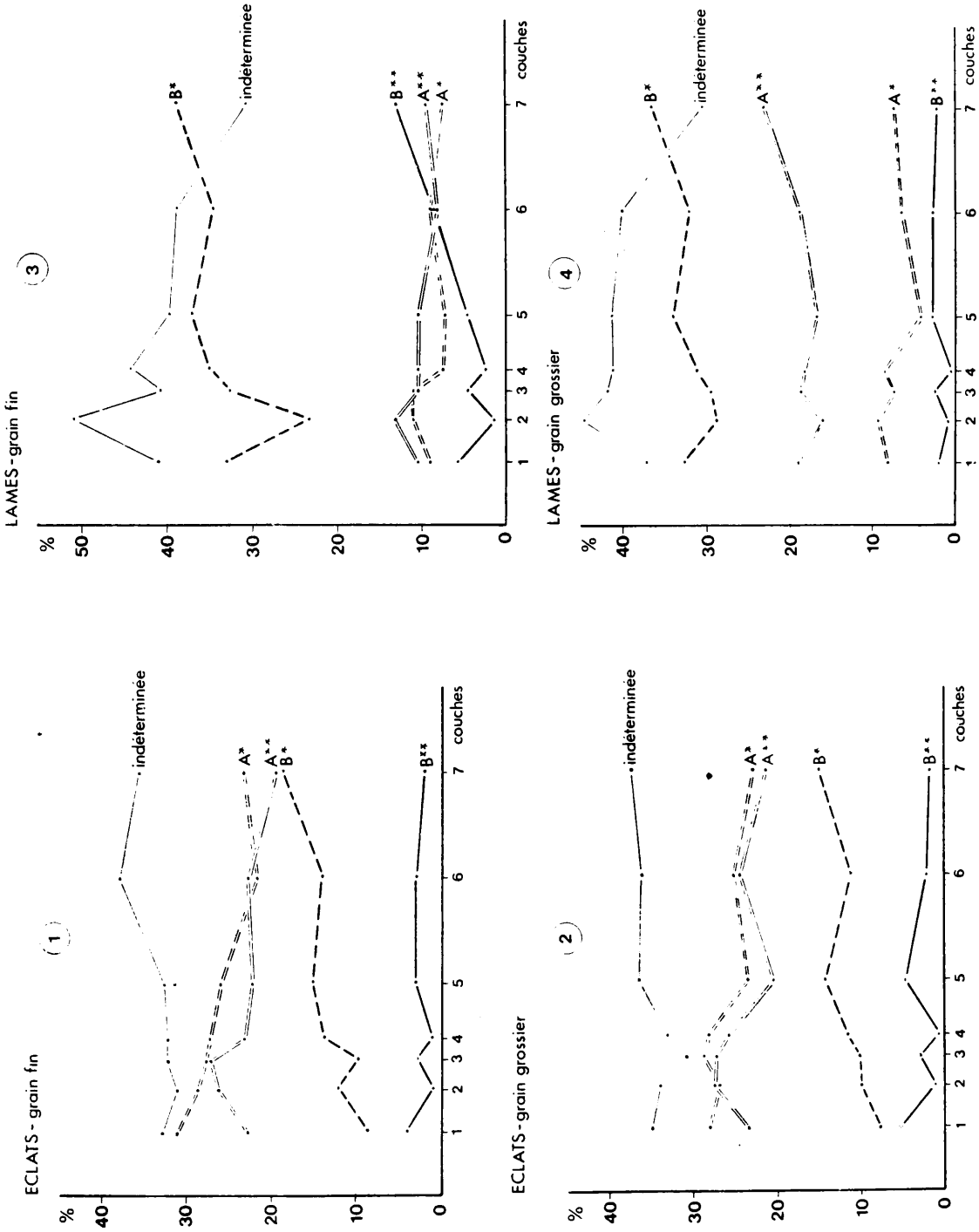
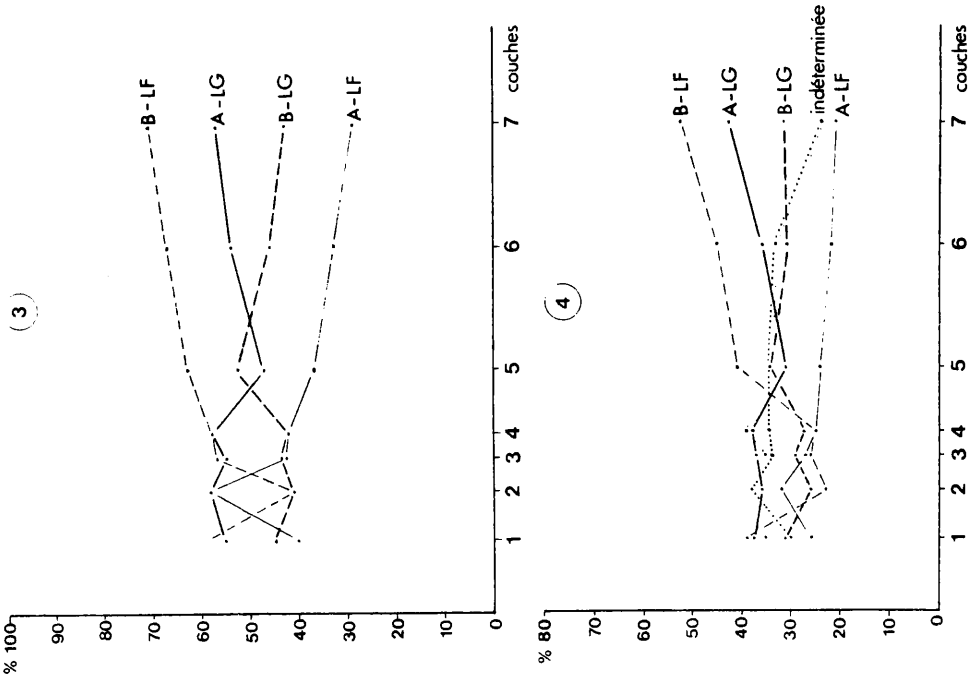


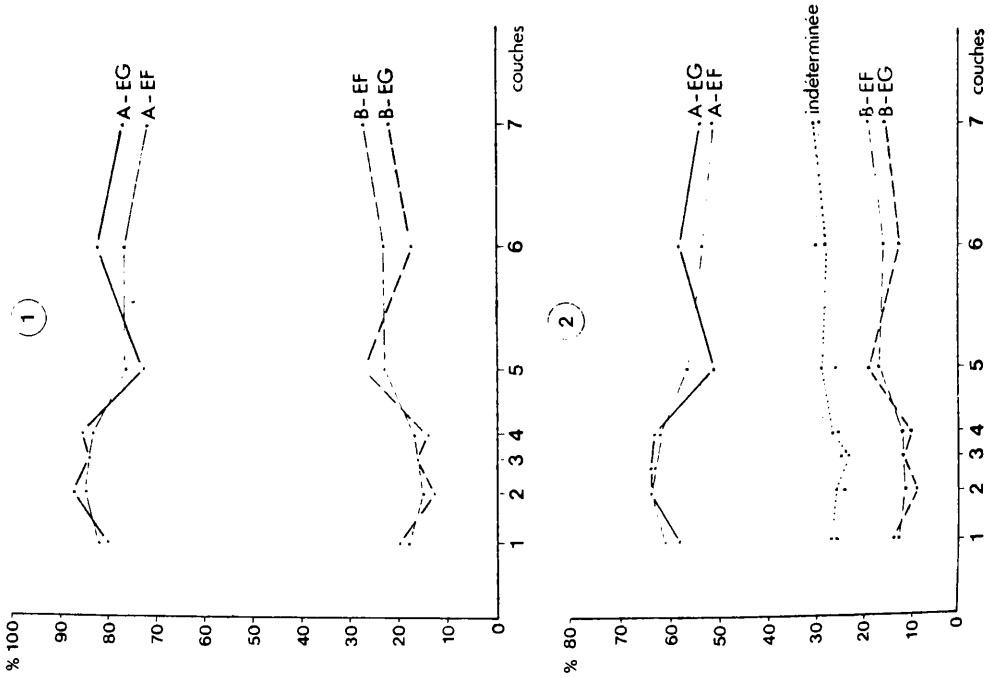
Fig. 122 - Représentation des diverses tendances enregistrées sur les éclats et sur les lames, selon leur degré de probabilité et en fonction du type de silex.  
 Representation of the various tendencies recorded on the flakes and the blades, according to their degree of probability and to the flint type.



LAMES



ECLATS



$$A = (A^1) + (A^{2*} \times 2)$$

$$B = (B^1) + (B^{2*} \times 2) + (B^{3*} \times 3)$$

EF= éclats - grain fin

EG= éclats - grain grossier

LF lames - grain fin

LG lames - grain grossier

Fig. 123 - Calcul des tendances avec des coefficients correspondant au degré de probabilité et en fonction de la nature du silex ( Les proportions des graphiques 1 et 3 ont été calculées sans tenir compte de la tendance "indéterminée" ).  
Calculation of the tendencies with coefficients corresponding to the degree of probability and according to the flint type.

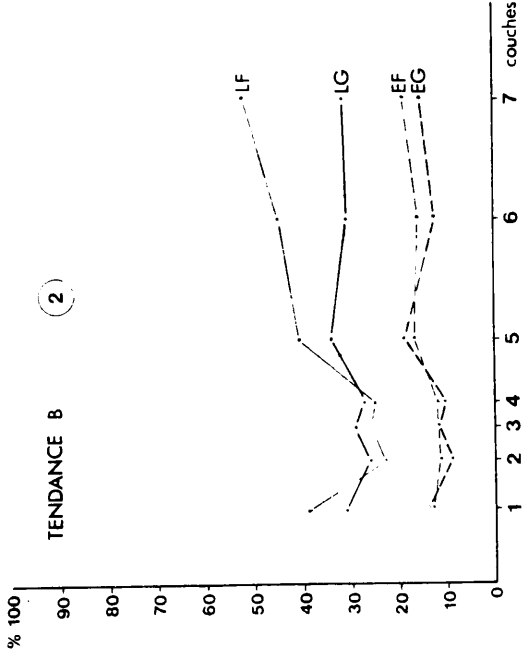
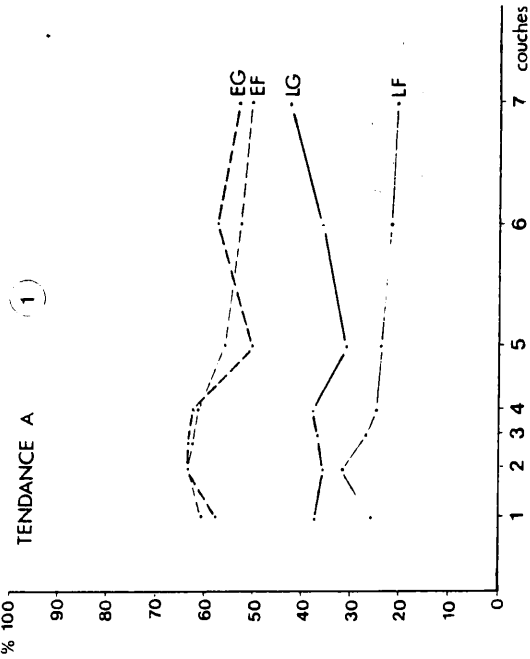
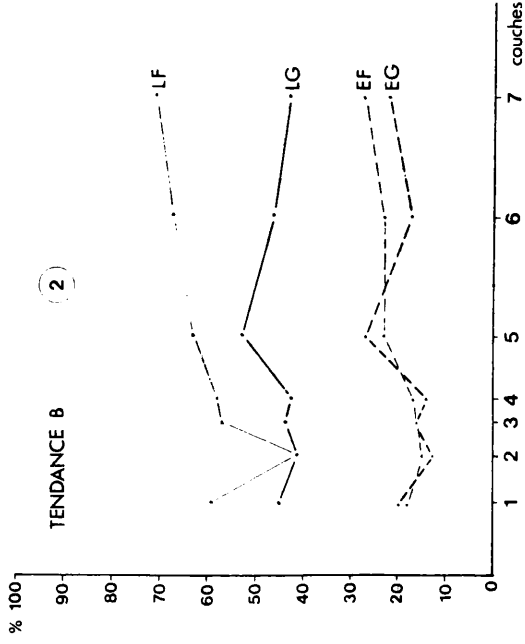
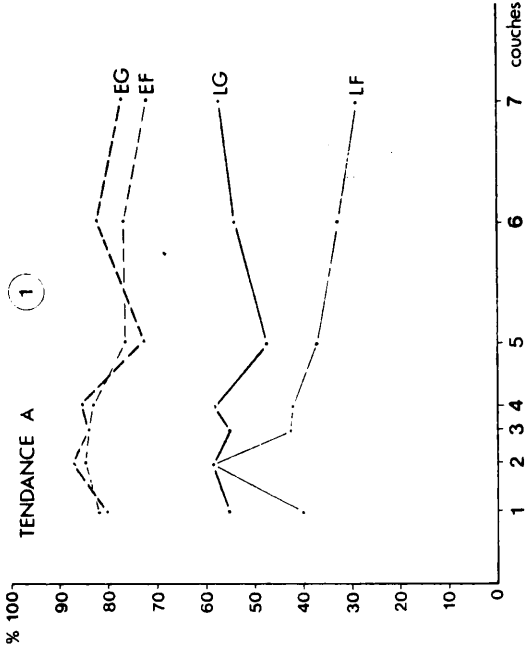
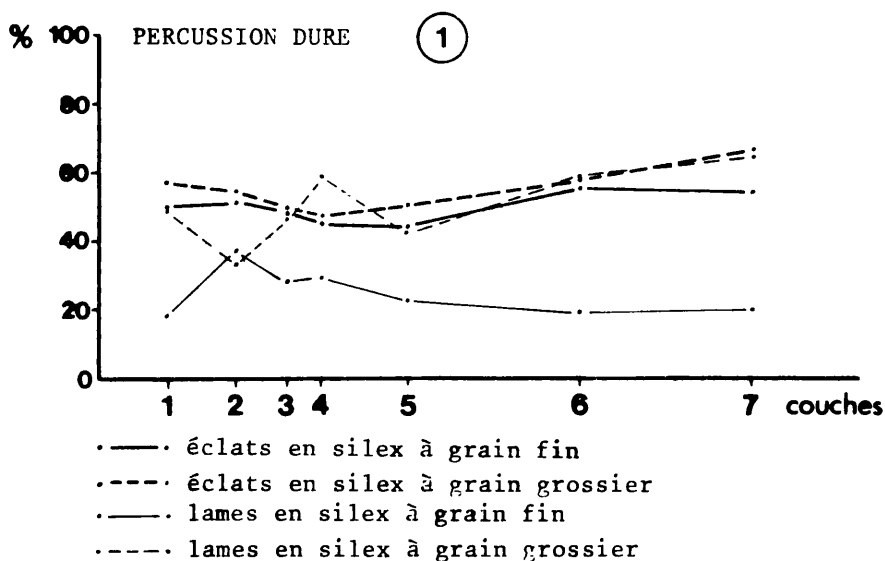


Fig. 125 - Comparaison entre éclats et lames à l'intérieur de chaque tendance (les pourcentages ont été calculés sans tenir compte de la tendance "indéterminée").  
Comparison between flakes and blades for each tendency.

Fig. 124 - Comparaison entre éclats et lames à l'intérieur de chaque tendance (les pourcentages ont été calculés en tenant compte de la tendance "indéterminée").  
Comparison between flakes and blades for each tendency.



(2)

		couche n°1	couche n°2	couche n°3	couche n°4	couche n°5	couche n°6	couche n°7
ECLATS F	T.I.	252(50,2)	242(49,2)	542(52,3)	205(54,7)	154(56,0)	152(45,2)	356(45,9)
	D. (1)	250(49,8)	250(50,8)	494(47,7)	170(45,3)	121(44,0)	184(54,8)	420(54,1)
	tot.	502	492	1036	375	275	336	776
ECLATS G	T.I.	377(43,1)	231(45,6)	209(51,0)	204(53,0)	459(49,8)	166(42,9)	142(33,3)
	D.	497(56,9)	276(54,4)	201(49,0)	181(47,0)	463(50,2)	221(57,1)	285(66,7)
	tot.	874	507	410	385	922	387	427
LAMES F	T.I.	377(82,0)	132(62,6)	376(71,8)	173(70,6)	167(77,7)	111(81,0)	161(80,1)
	D.	83(18,0)	79(37,4)	148(28,2)	72(29,4)	48(22,3)	26(19,0)	40(19,9)
	tot.	460	211	524	245	215	137	201
LAMES G	T.I.	147(50,5)	41(67,2)	42(53,8)	53(41,4)	105(57,7)	54(42,2)	43(36,4)
	D.	144(49,5)	20(32,8)	36(46,2)	75(58,6)	77(42,3)	74(57,8)	75(63,6)
	tot.	291	61	78	128	182	128	118

(1) T.I.= percussion tendre ou indirecte; D.= percussion dure.

Les nombres de ce tableau ont été obtenus en affectant le nombre de modalités T.I.\*\* et D.\*\* d'un coefficient (x2).

Fig. 126 - Mode de percussion.  
Method of percussion flaking.

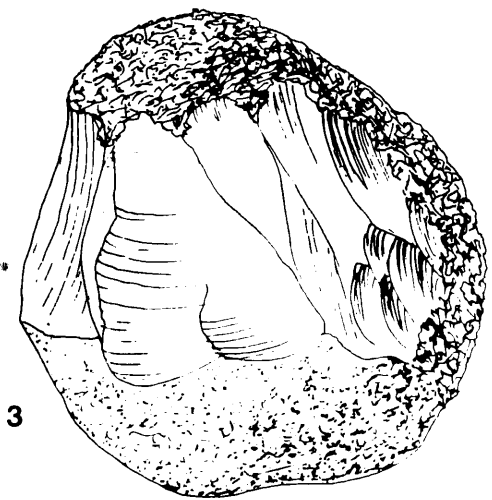
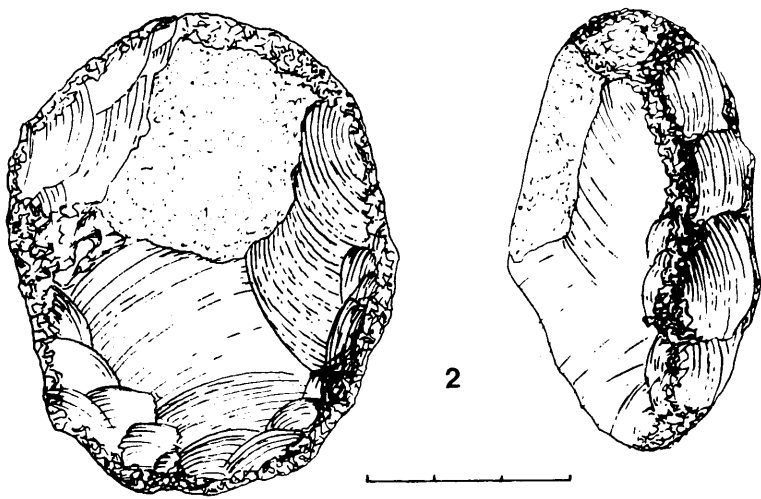
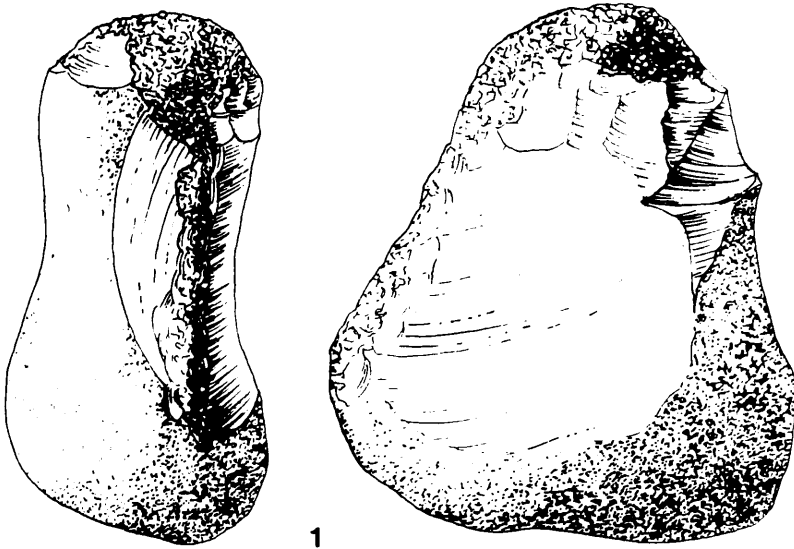


Fig. 127 Percuteurs en silex.  
Flint hammers.

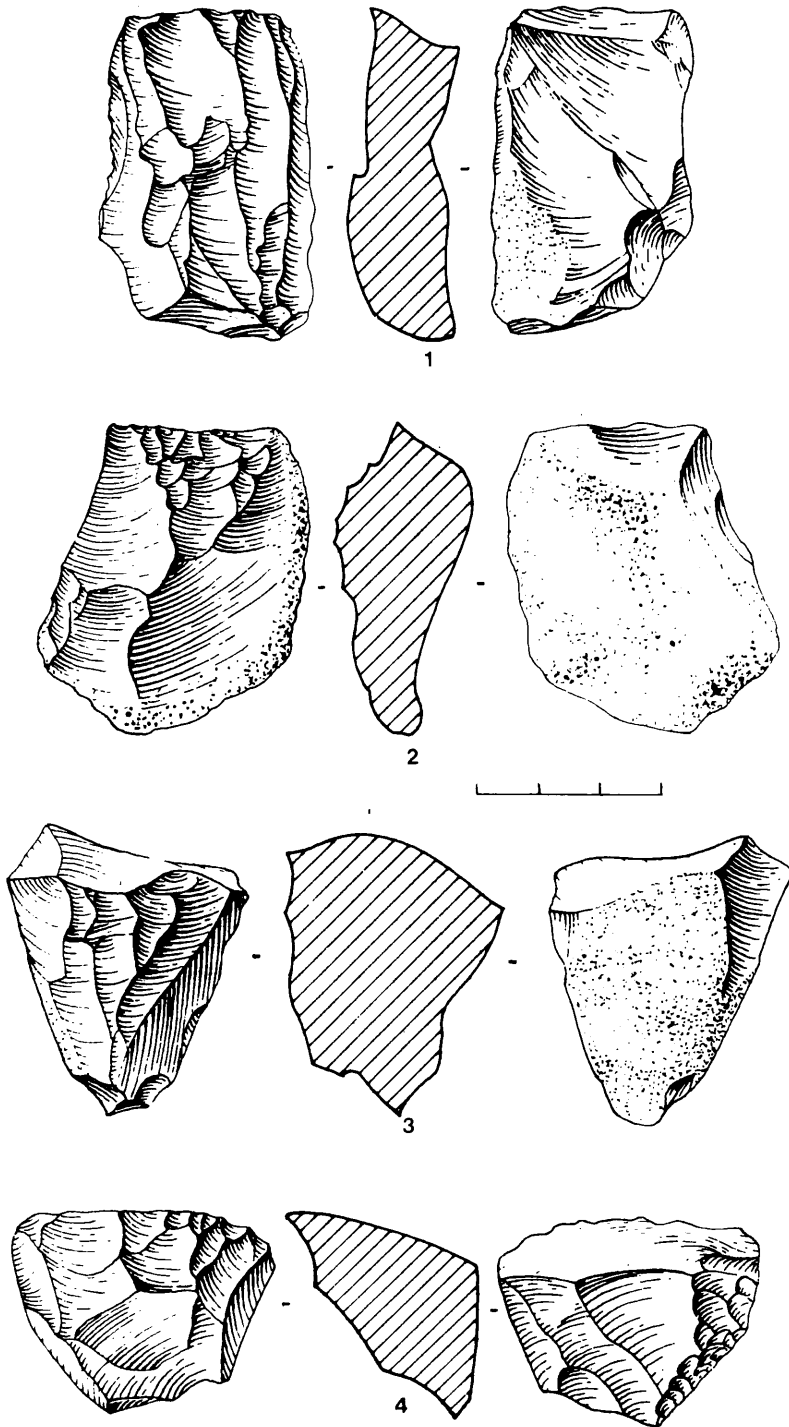


Fig. 128

Nucléus de la couche n°1 (phase IA). 1 à 3: nucléus "prismatiques" à lamelles à un plan de frappe lisse; 4: nucléus à petits éclats à plan de frappe lisse (Silex à grain fin: 1 à 4).

*Cores from level n°1, phase IA.*

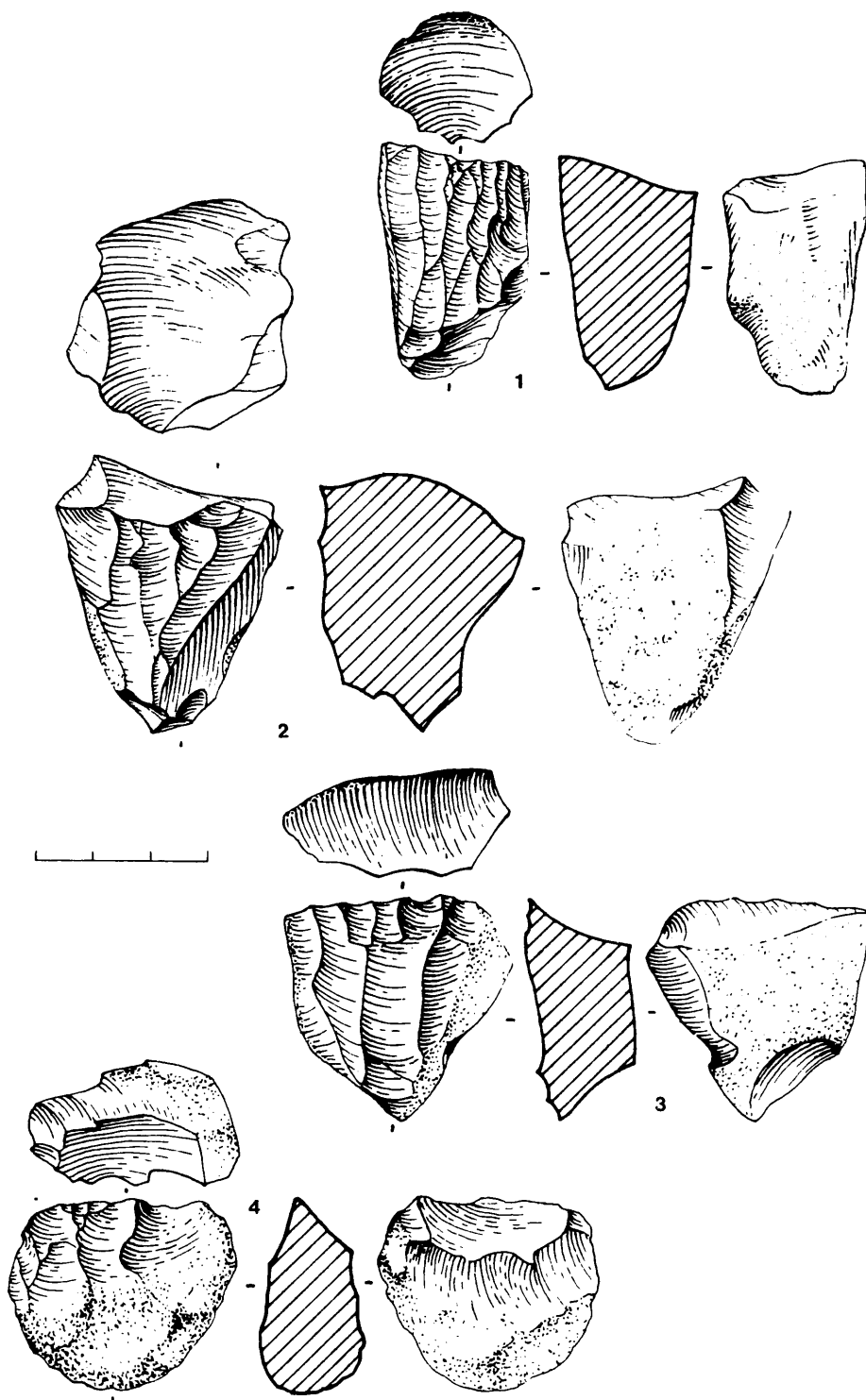


Fig. 129 - Nucléus de la couche n°1 (phase IA). 1 à 3: nucléus "prismatiques" à lamelles à un plan de frappe lisse; 4: nucléus à petits éclats à un plan de frappe lisse (silex à grain fin: 1 à 4).

*Cores from level n°1, phase IA.*

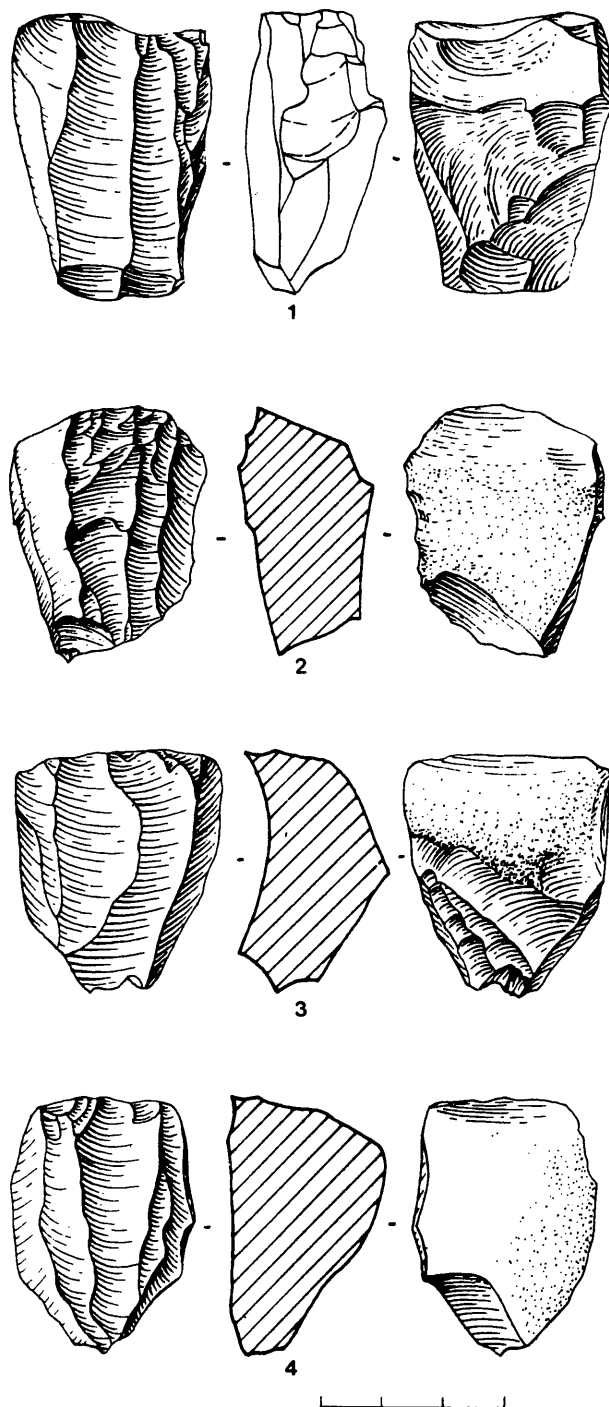


Fig. 130 - Nucléus de la couche n° 1 (phase IA). 1 à 4: nucléus prismatiques à lamelles à un plan de frappe lisse (silex à grain fin: 2 à 4; silex à grain grossier: 1).  
Cores from level n° 1, phase IA.

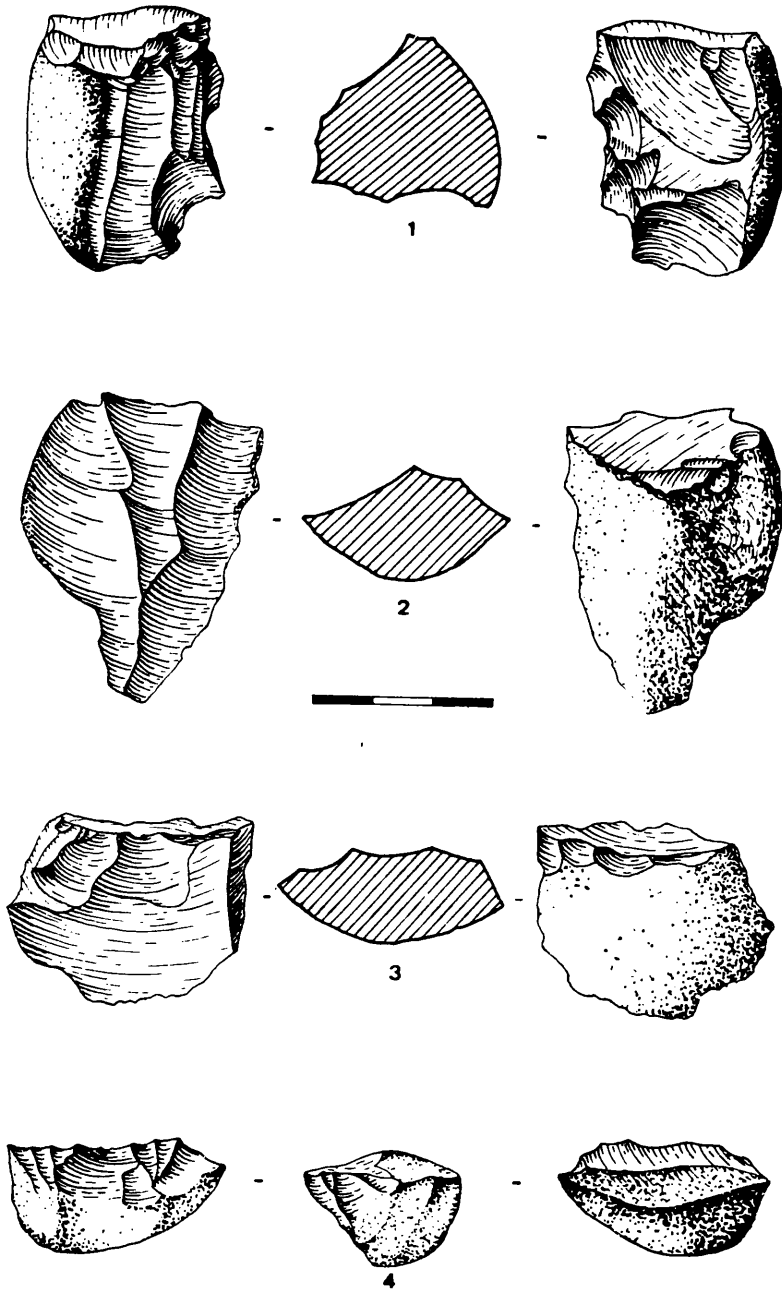


Fig. 131 - Nucléus de la couche n° 2 (phase IA). 1-2: nucléus irréguliers à un plan de frappe lisse; 3-4: nucléus sur éclats (silex à grain fin: 1 et 3; silex à grain grossier: 2 et 4).

*Cores from level n° 2, phase IA.*



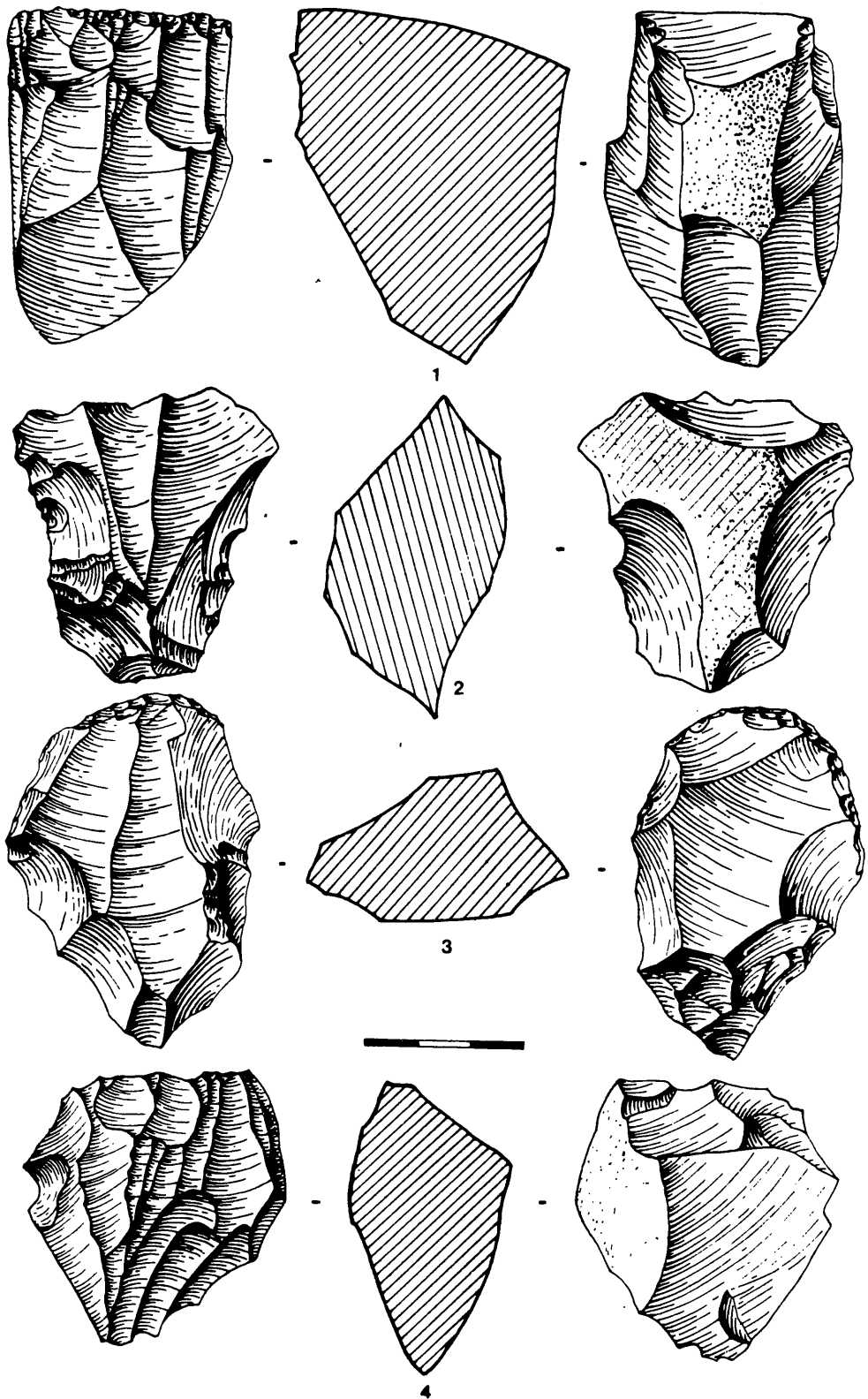


Fig. 132 - Nucléus de la couche n°3 (phase IB). 1: nucléus prismatique à lames à un plan de frappe lisse; 2-3: nucléus à lames avec mise en forme centripète; 4: nucléus bipolaire à lamelles (silex à grain fin: 4; silex à grain grossier: 1 à 3).  
Cores from level n°3, phase IB.

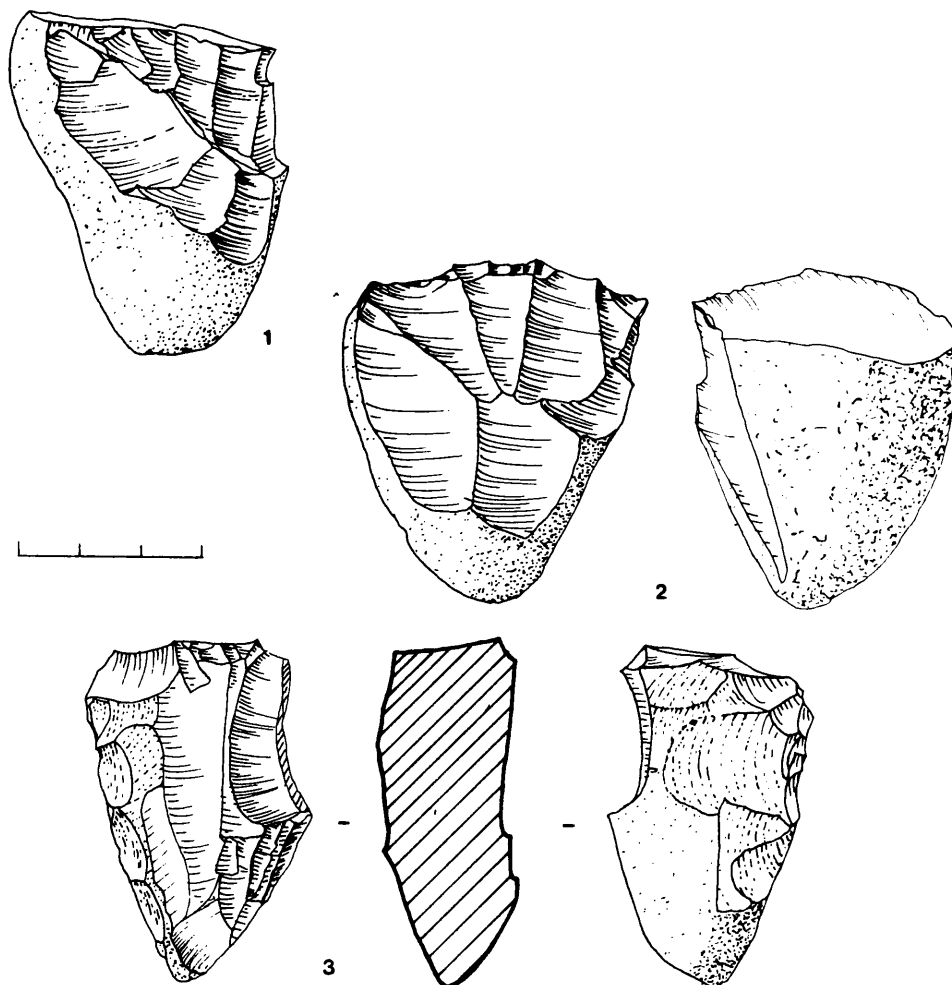


Fig. 133 - Nucléus de la couche n° 3 (phase IB). 1 - 2: nucléus à un plan de frappe lisse sur galets; 3: nucléus à lamelles avec crête postérieure de mise en forme (silex à grain fin: 3; silex à grain grossier: 1 et 2).

*Cores from level n° 3, phase IB.*

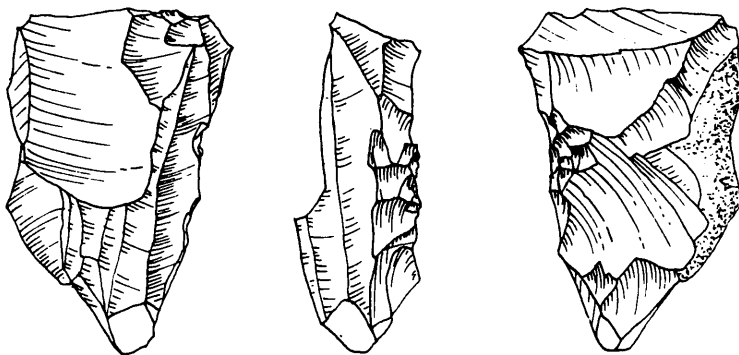


Fig. 134

Nucléus de la couche n° 4 (phase IB). Nucléus à plan de frappe lisse et crête postérieure de mise en forme (silex à grain fin).

*Cores from level n° 4, phase IB.*

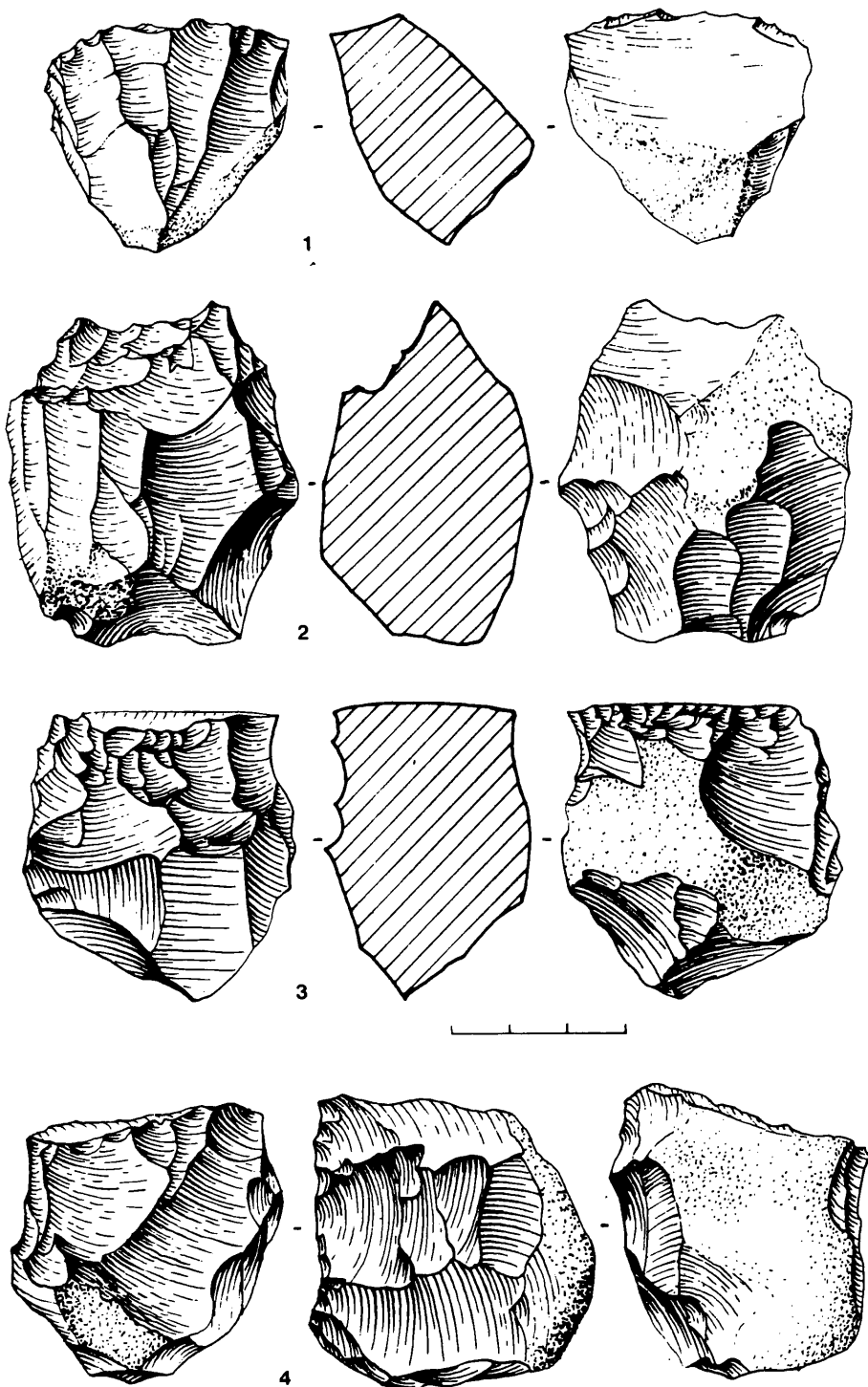


Fig. 135 - Nucléus de la couche n° 4 (phase IB). 1-3: nucléus à un plan de frappe lisse; 2: nucléus avec mise en forme centripète du revers; 4: nucléus à deux plans de frappe perpendiculaires (silex à grain fin: 1-2-4; silex à grain grossier: 3).  
Cores from level n° 4, phase IB.

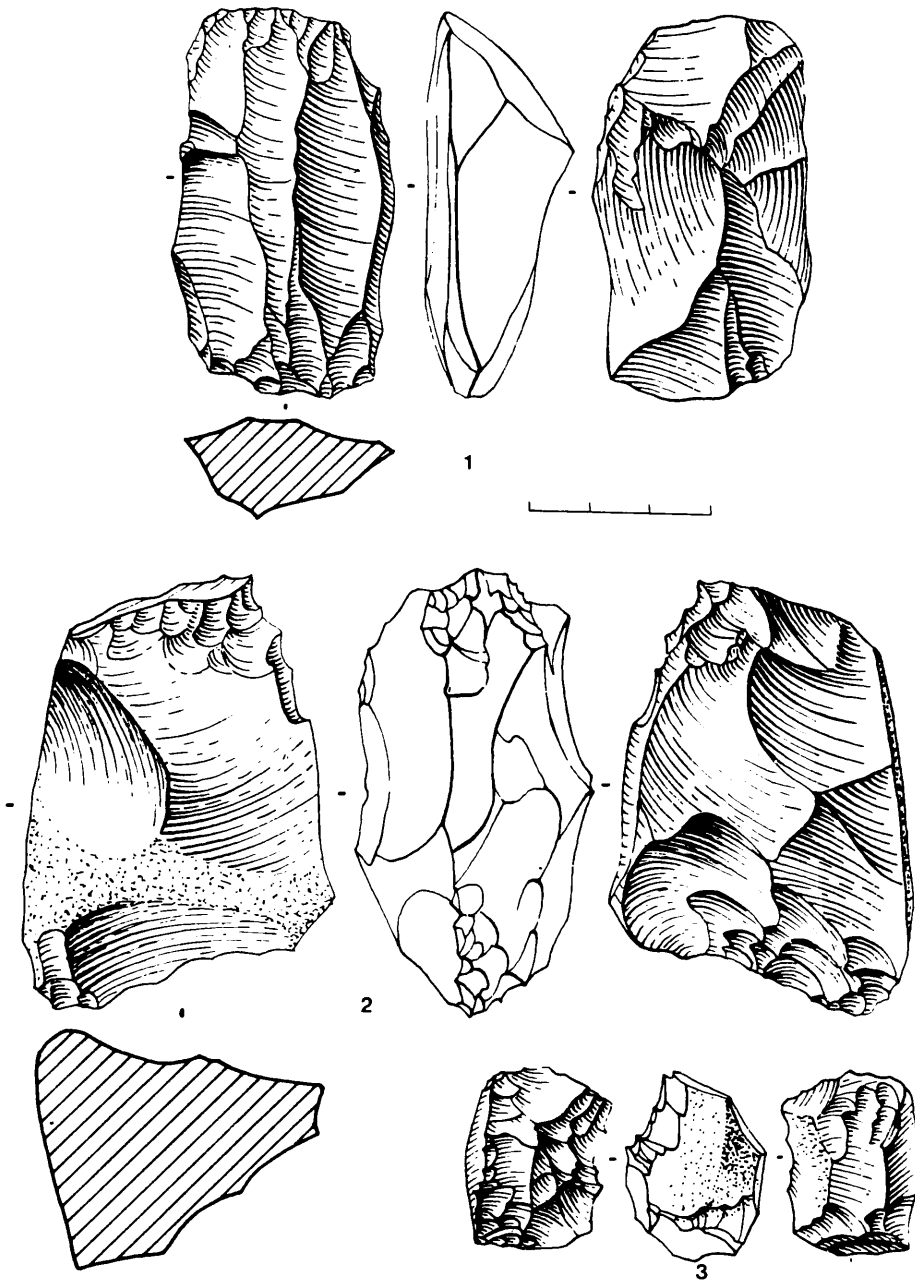


Fig. 136 - Nucléus de la couche n°6 (phase IIIA). 1: nucléus naviforme; 2-3: nucléus irréguliers (silex à grain fin: 1 à 3).  
Cores from level n°6, phase IIIA.

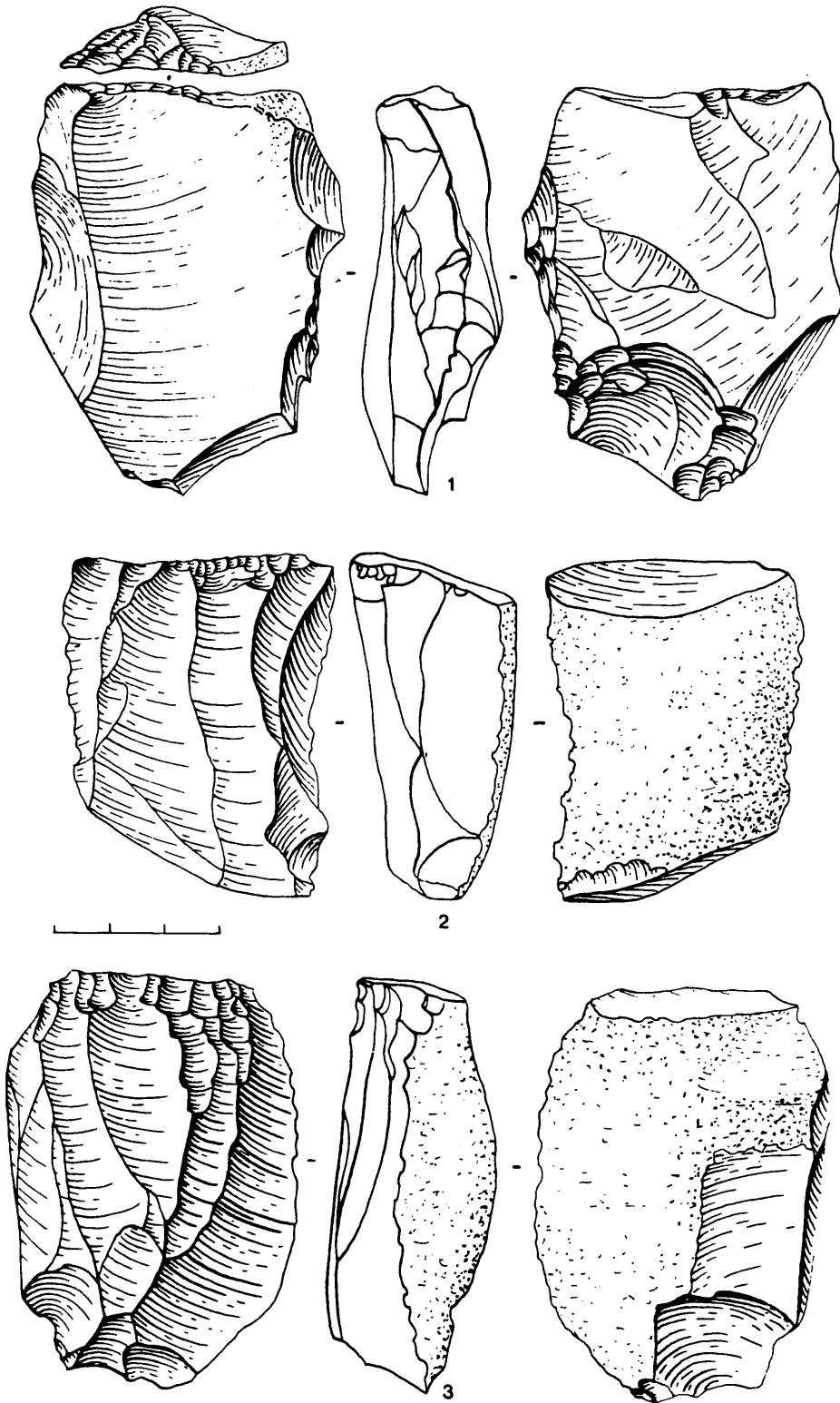


Fig. 137 - Nucléus de la couche n° 7 (phase IIIB). 1: nucléus à éclats avec mise en forme centripète; 2-3: nucléus prismatiques à lames à un plan de frappe lisse (silex à grain fin: 1; silex à grain grossier: 2 et 3).  
 Cores from level n° 7, phase IIIB.

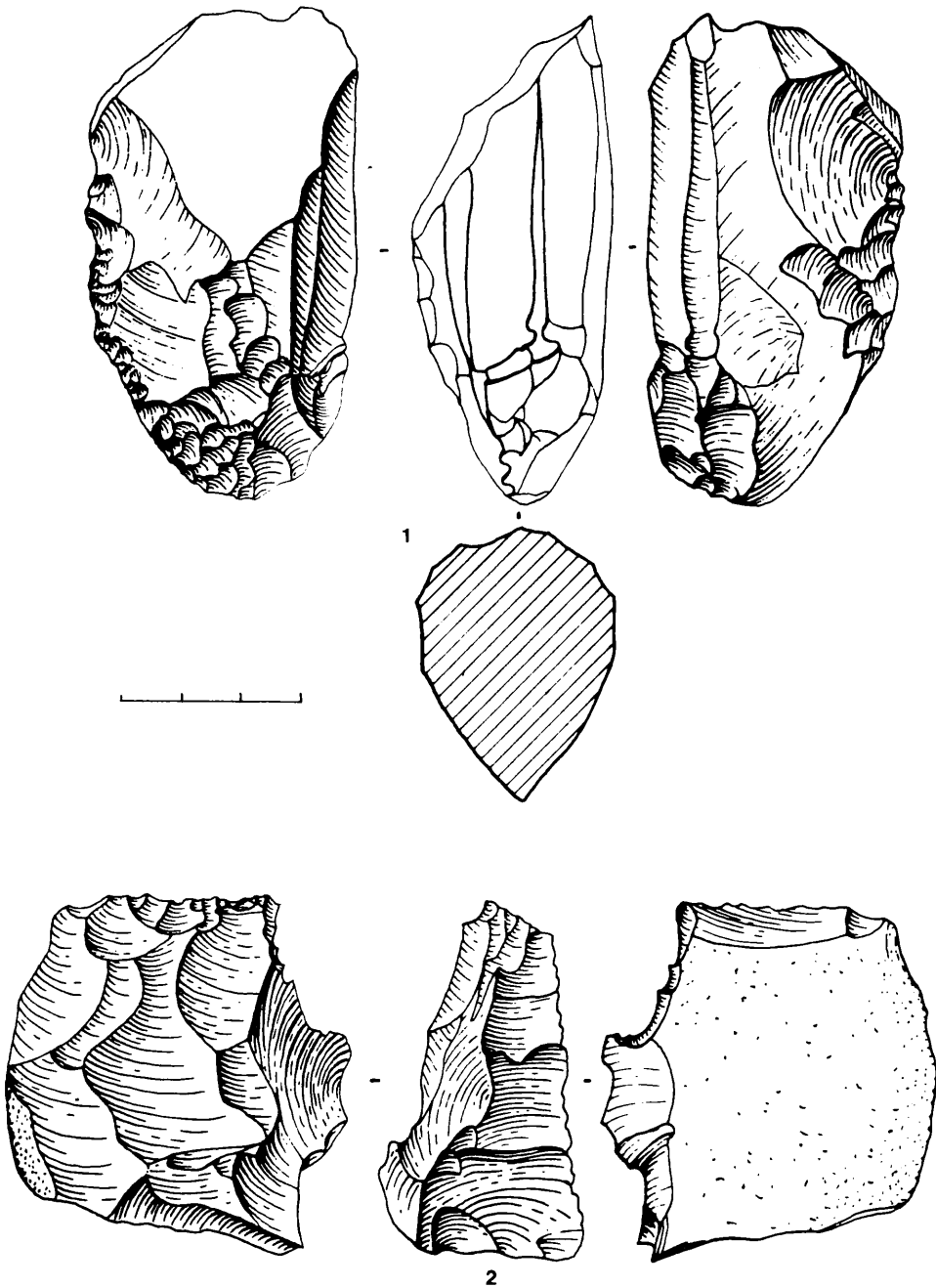


Fig. 138 - Nucléus de la couche n°7 (phase III B). 1: nucléus en obsidienne débité par pression avec crête postérieure de mise en forme; 2: nucléus irrégulier (obsidienne: 1; silex à grain grossier: 2).  
Cores from level n°7. phase III B.

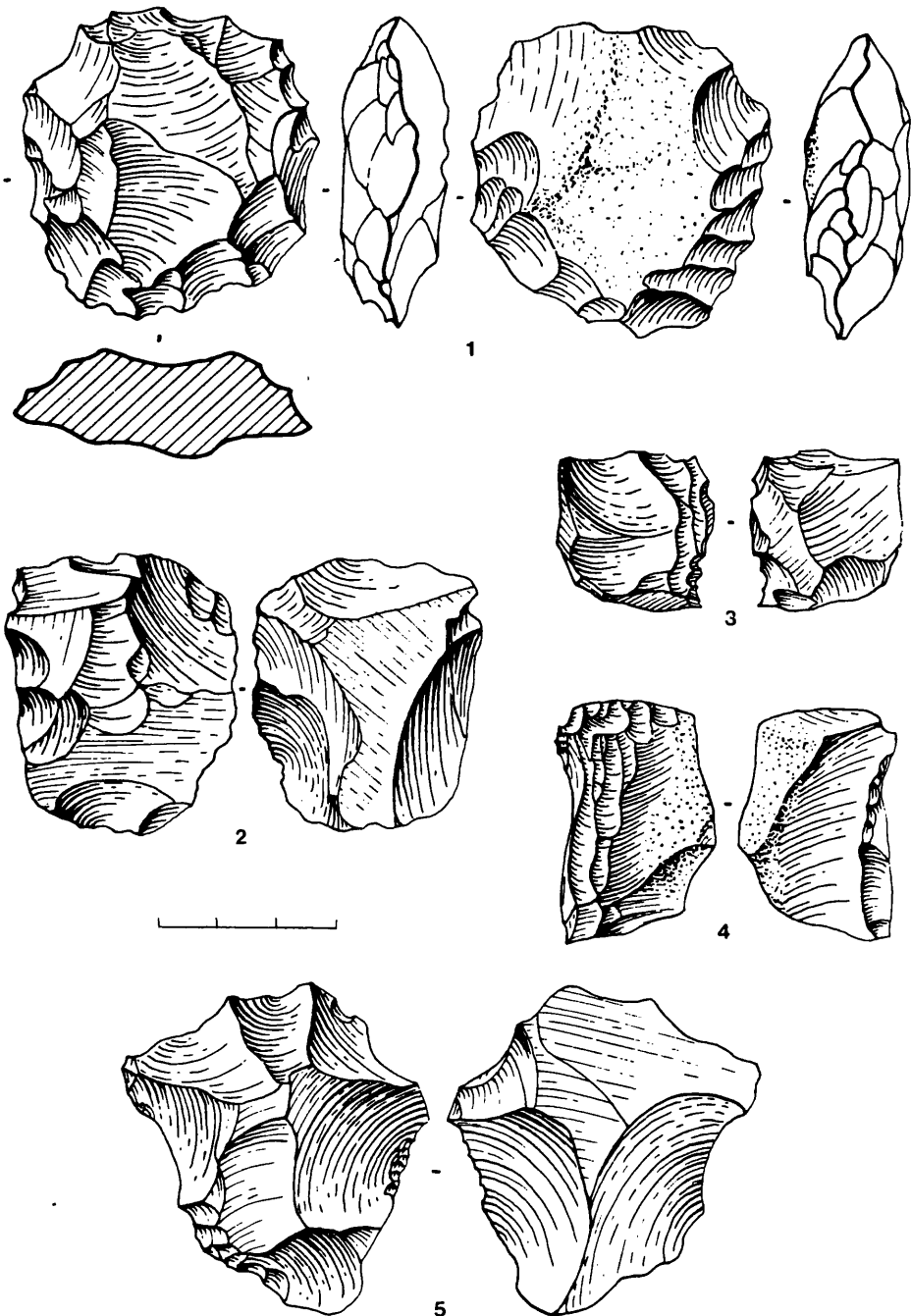


Fig. 139 - Nucléus de la couche n °7 (phase III B). 1: nucléus discoïde à éclats; 2-3-5: nucléus à éclats avec préparation centripète; 4: nucléus à lamelles irrégulier (silex à grain fin: 1-2-4; silex à grain grossier: 3 et 5).  
*Cores from level n °7. phase III B.*

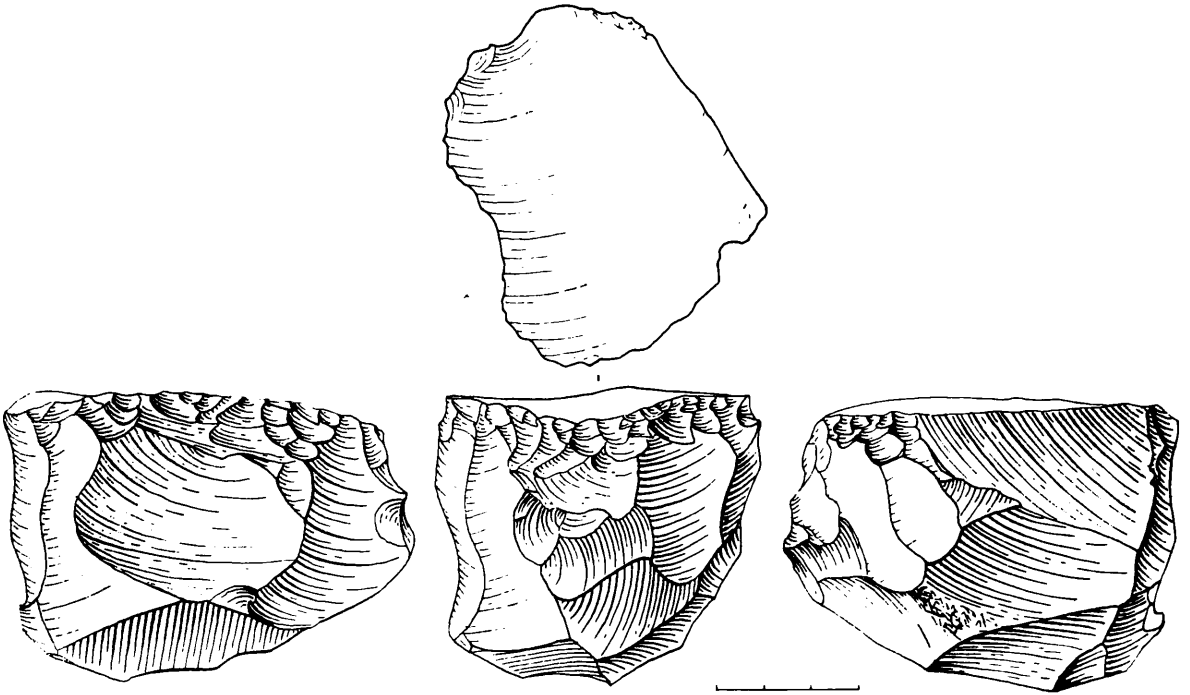


Fig. 140 - Nucléus de la couche n°7 (phase III B). Nucléus "tea cozy core" à éclats (silex à grain grossier).  
 Cores from level n°7, phase III B.

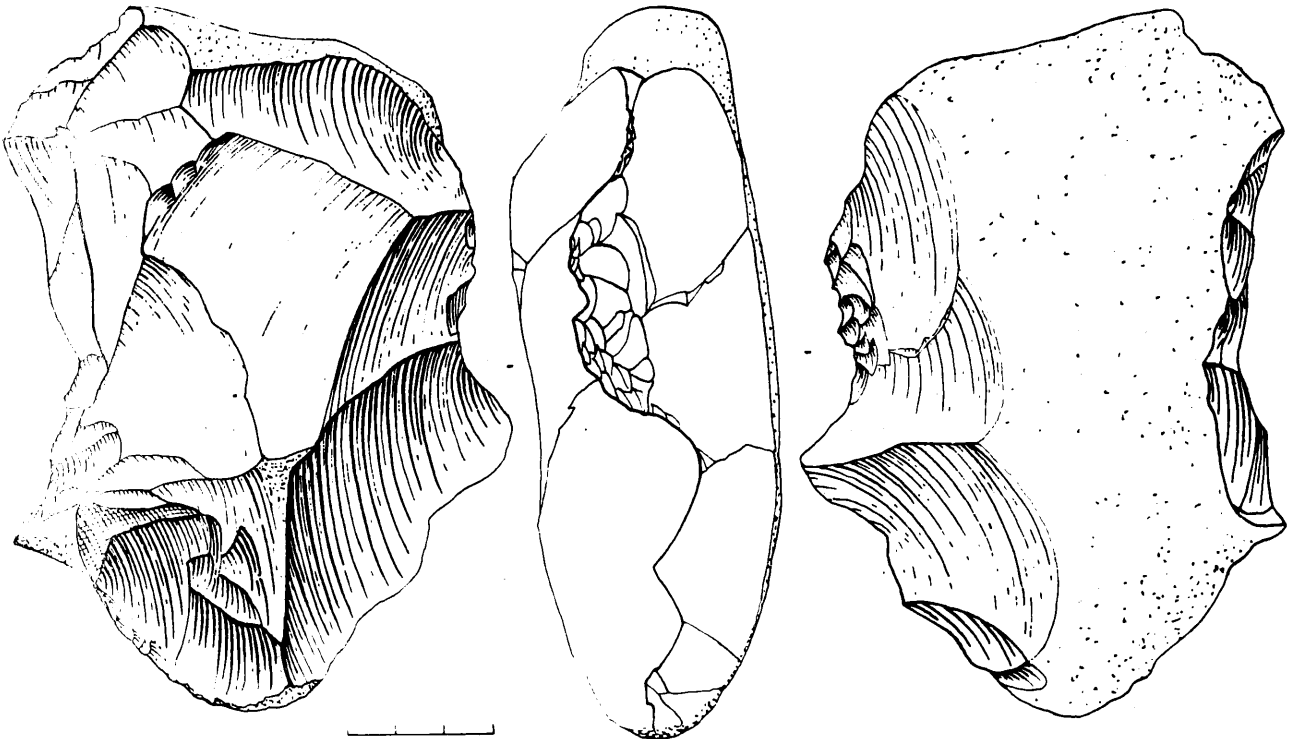


Fig. 141 - Ebauche de mise en forme de la couche n°7 (phase III B) (silex à grain grossier).  
 Core rough-out from level n°7, phase III B.



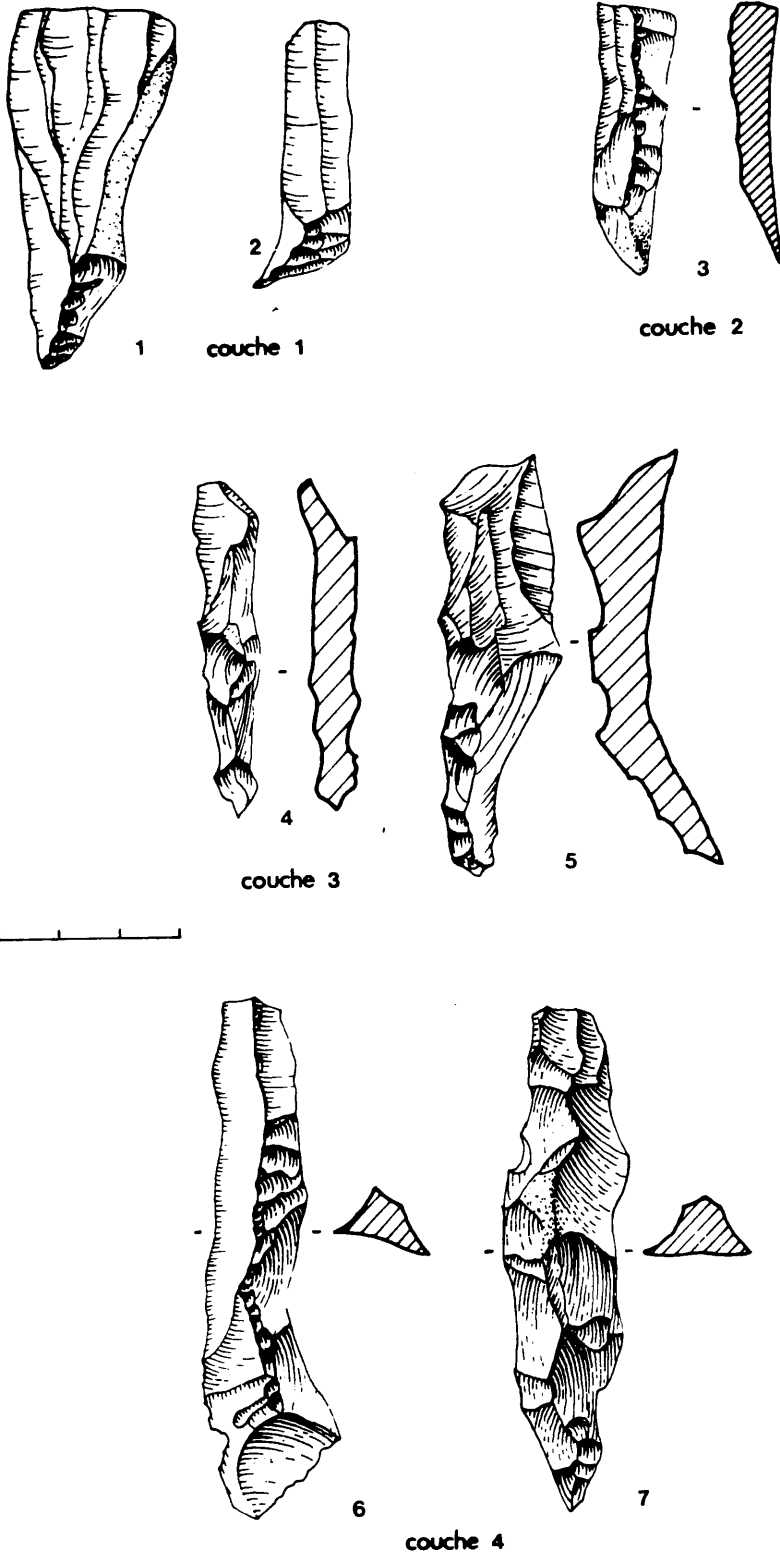


Fig. 142 - Eléments de mise en forme et de ravivage (1). 1-2-3-5-6: crêtes de réfection; 4-7: crêtes d'entame (silex à grain fin: 1 à 7).  
 Shaping and resharpening elements (1).

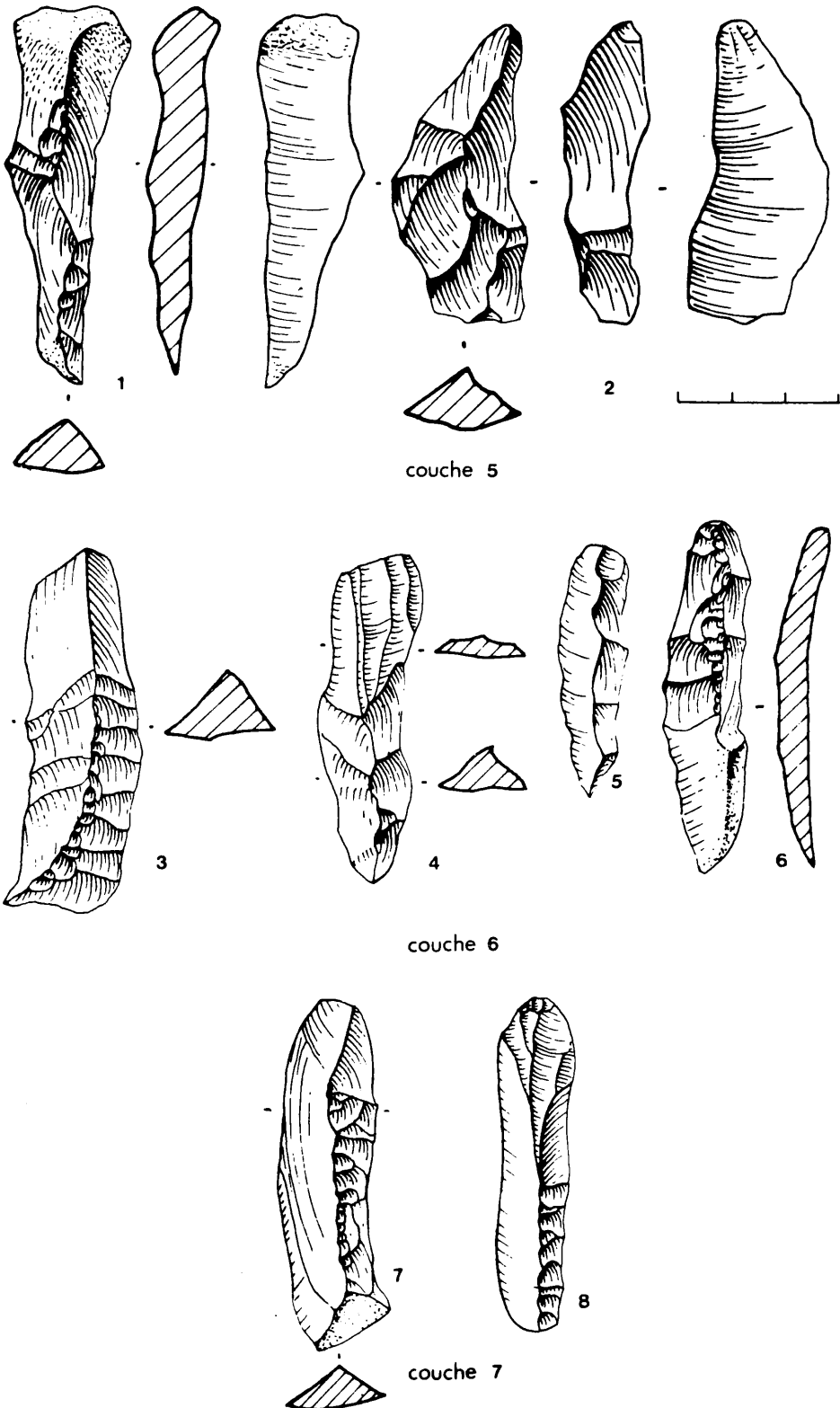


Fig. 143 - Eléments de mise en forme et de ravivage (2). 1-2-6: crêtes d'entame; 3-4-5-7-8: crêtes de réfection (silex à grain fin: 1-3-4-5-6-8; silex à grain grossier: 2-7).

*Shaping and resharpening elements (2).*

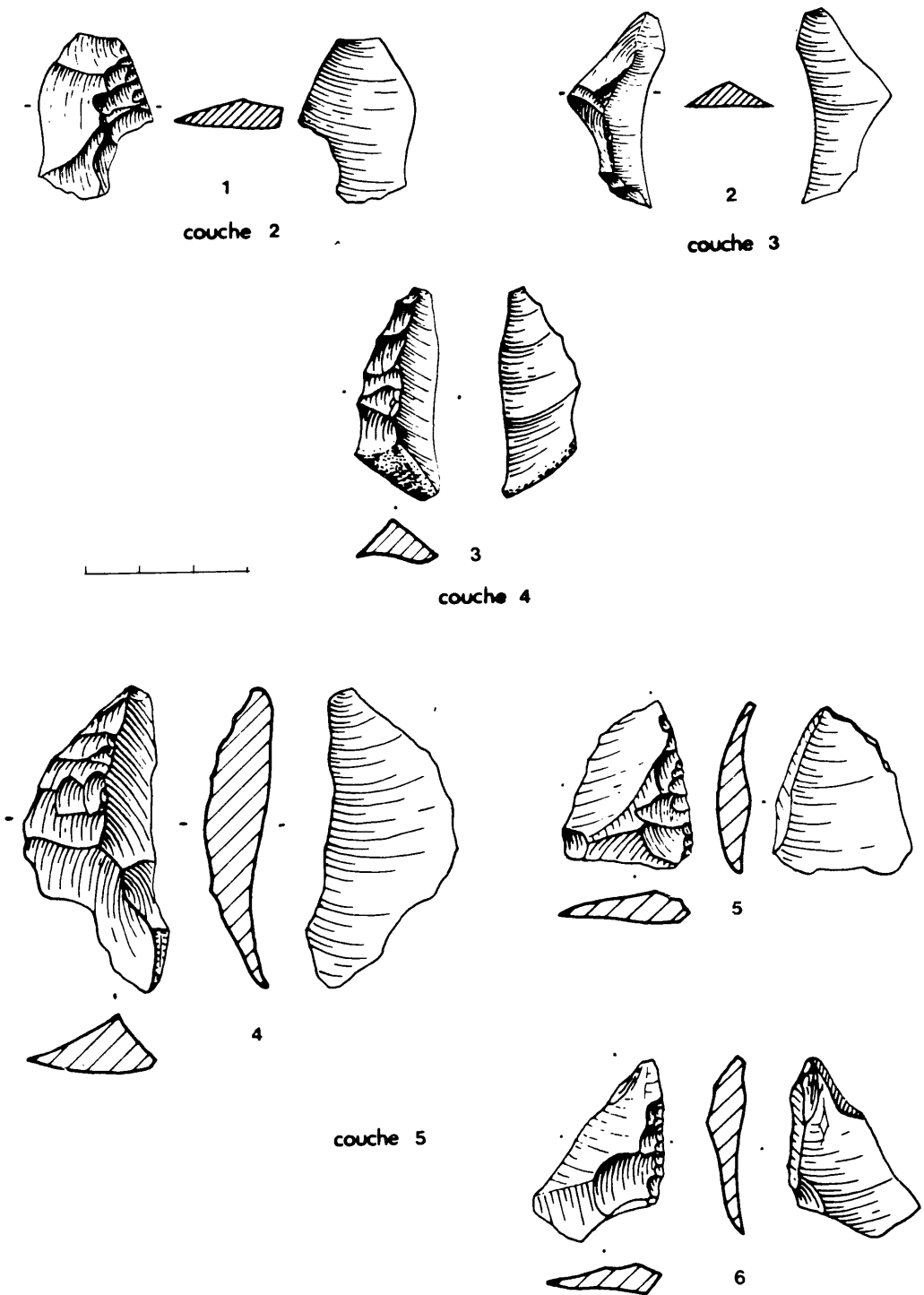


Fig. 144 - Ravivage et réfection. Eclats de ravivage (silex à grain fin : 2-3-4; silex à grain grossier : 1-2-5-6).  
Resharpener and reworking elements.

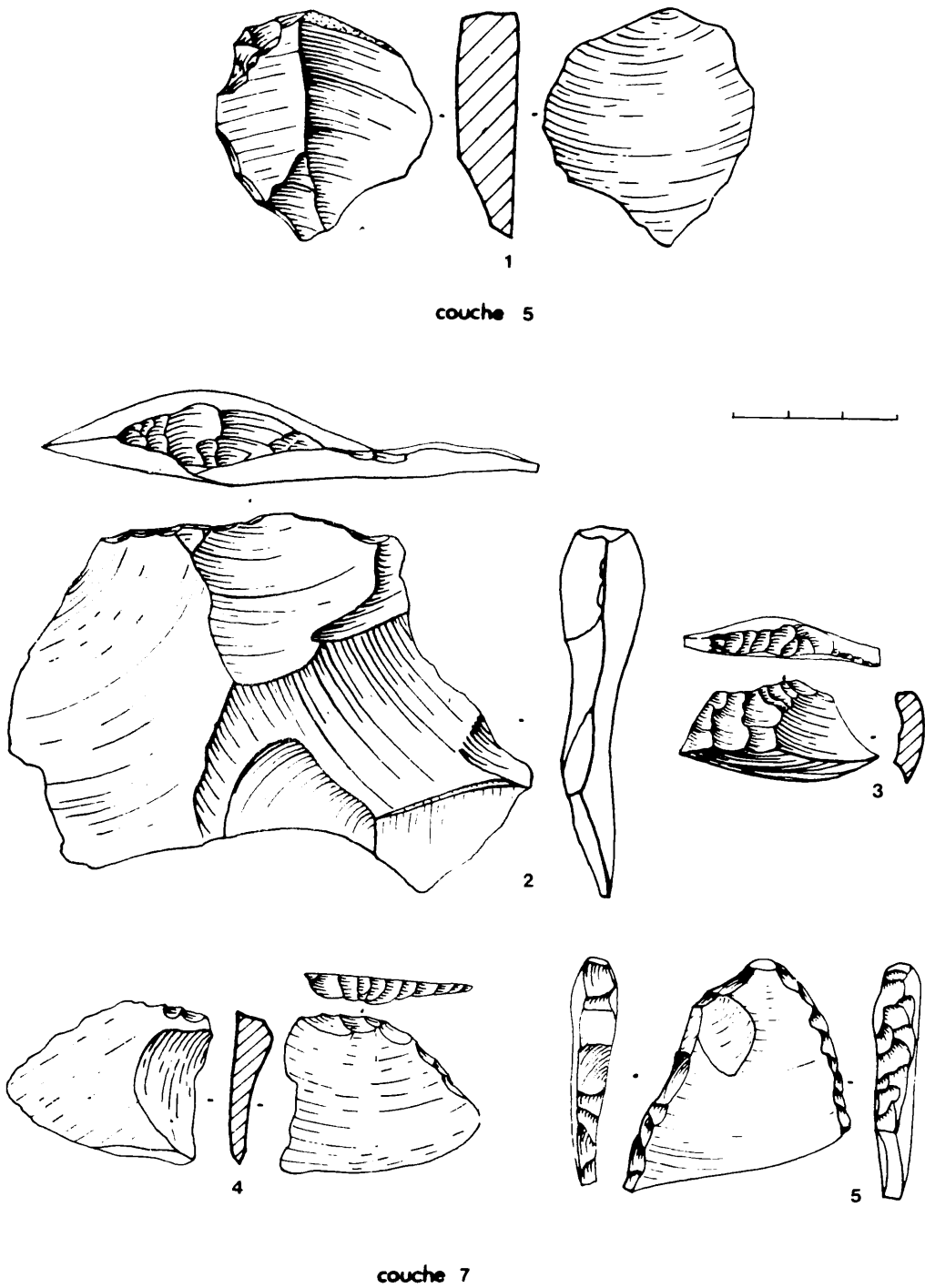


Fig. 145 - Ravivage et supports particuliers. 1-3-4-5: tablettes de ravivage; 2: éclat extrait pour la fabrication d'un grattoir (silex à grain fin: 2-3-4; silex à grain grossier: 1 et 5).  
*Resharpener elements and particular blanks.*

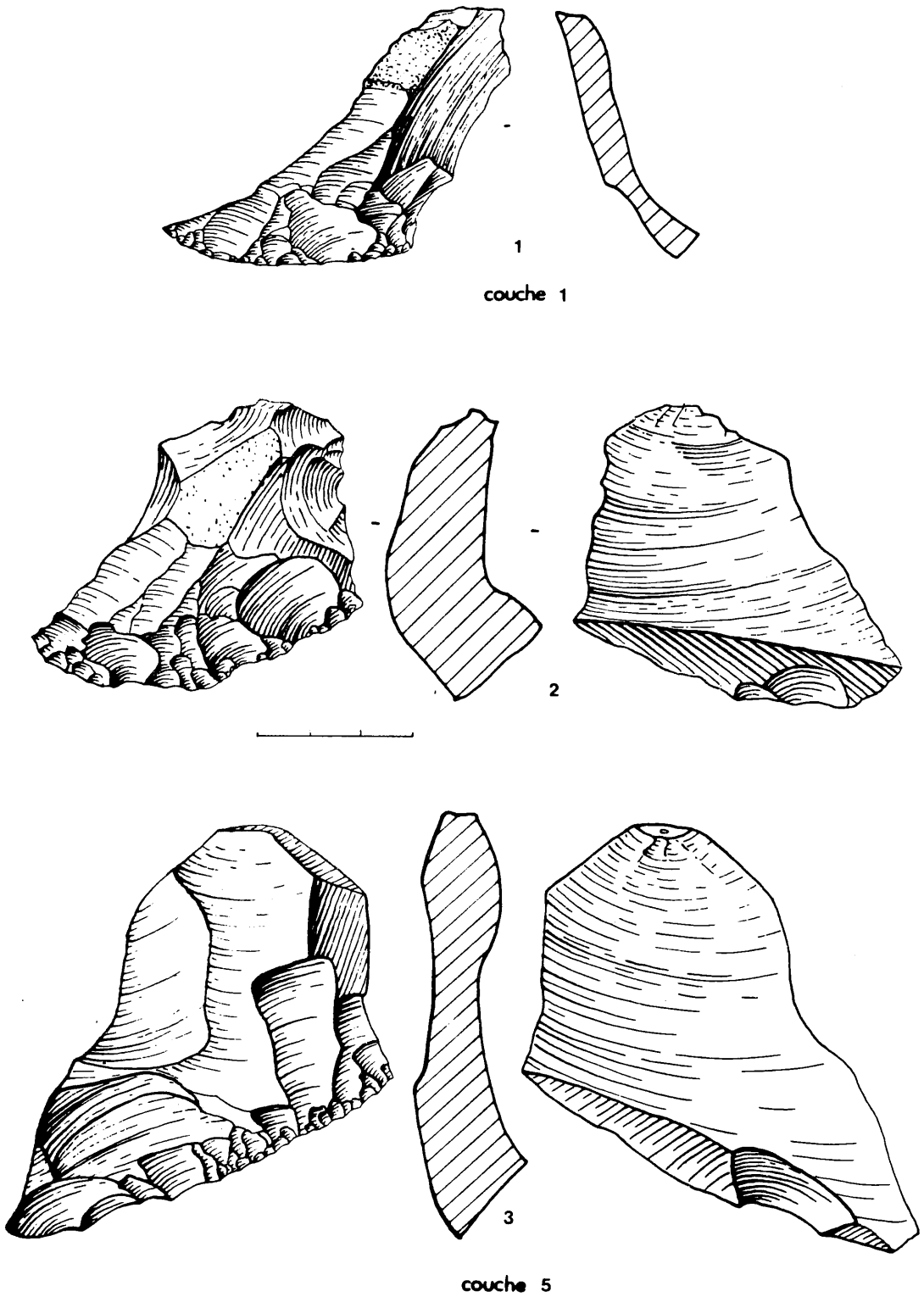
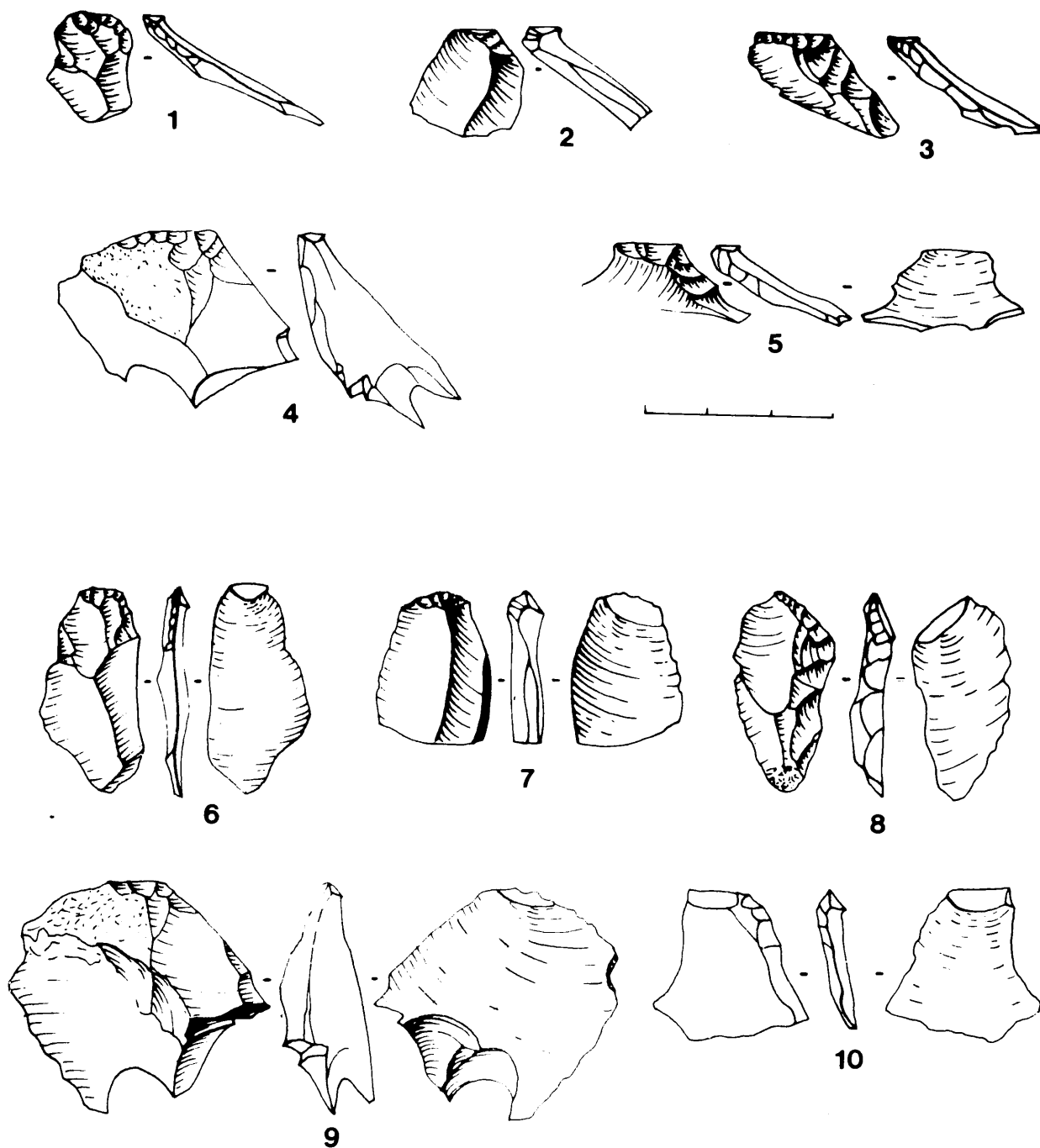
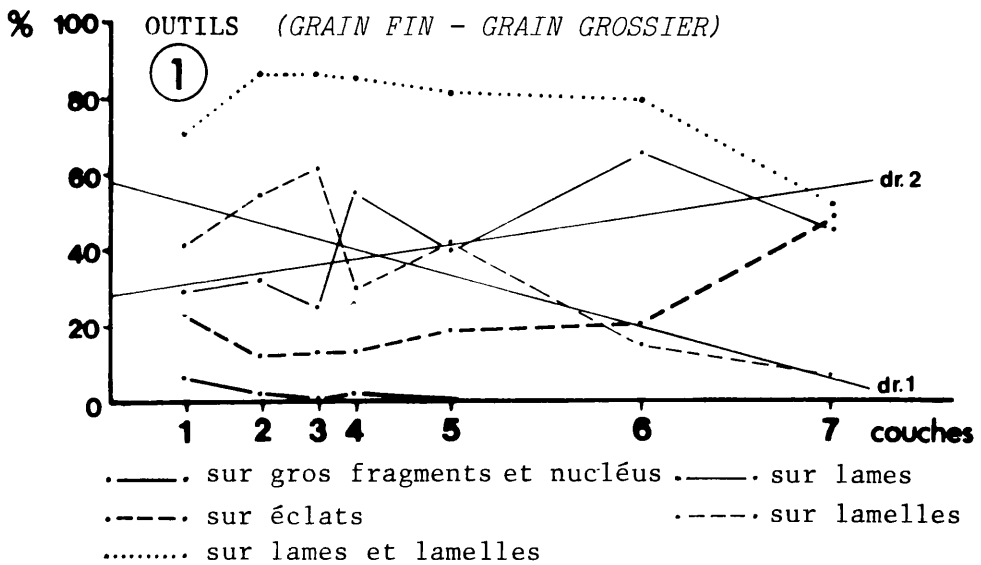


Fig. 146 Eclats outrepassés (silex à grain grossier: 1 à 3).  
*Plunging flakes.*



1-5: représentation des éclats dans leur position supposée au moment de leur extraction.  
 6-10: représentation traditionnelle des mêmes éclats.

Fig. 147 - Eclats avec talon à lèvres.  
 Flakes with lipped butt.



dr.1 : int. = 59,4; m = -0,555; r = -0,840

dr.2 : int. = 29,3; m = 0,284; r = 0,588

②

		1	2	3	4	5	6	7
Outils sur gros fragments et nucléus	Nb	10	1	2	1	0	0	1
	%*	6,7	1,8	1,1	2,2	0,0	0,0	0,2
Outils sur ECLATS	Nb	27	7	23	5	32	70	186
	%	18,1	12,5	12,8	10,9	18,6	20,8	48,2
Outils sur LAMES	Nb	46	18	45	26	68	217	173
	%	30,9	32,1	25,0	56,5	39,5	64,6	44,8
Outils sur LAMELLES	Nb	66	30	110	14	72	49	26
	%	44,3	53,6	61,1	30,4	41,9	14,6	6,7
Outils sur LAMES et sur LAMELLES	Nb	112	48	155	40	140	266	199
	%	75,2	85,7	86,1	86,9	81,4	79,2	51,5
TOTAL des outils		149	56	180	46	172	336	386

\* Les pourcentages sont calculés par rapport à la totalité des outils.

Fig. 148 - Les outils: effectifs et proportions.  
 Tools: number and proportions.

## ① NATURE DU SILEX

couche support	1		2		3		4		5		6		7	
	F(1)	G	F	G	F	G	F	G	F	G	F	G	F	G
Out./frgts et nucleus	0	10	1(2)	0	0	2(2)	1(2)	0	0	0	0	0	0	1
Outils sur ECLATS	11 29,7	26 70,3	3 42,9	4 57,1	14 60,9	9 39,1	1 16,7	5 83,3	20 62,5	12 37,5	56 80,0	14 20,0	169 90,9	17 9,1
Outils sur LAMES	26 56,5	20 43,5	11 61,1	7 38,9	37 82,2	8 17,8	22 84,6	4 15,4	59 86,8	9 13,2	195 89,9	22 10,1	149 86,1	24 13,9
Outils sur LAMELLES	61 92,4	5 7,6	27 90,0	3 10,0	100 90,9	10 9,1	10 71,4	4 28,6	62 86,1	10 13,9	48 98,0	1 2,0	23 88,5	3 11,5
Out./LAMFS LAMELLES	87 77,7	25 22,3	38 79,2	10 20,8	137 88,4	18 11,6	32 80,0	8 20,0	121 86,4	19 13,6	243 91,3	23 8,7	172 86,4	27 13,6

(1) F = silex à grain fin; G = silex à grain grossier.

(2) Outils sur nucléus.

## ② ETAT DES SUPPORTS (entiers ou fragmentés)

	1	2	3	4	5	6	7
Out. sur ent	24(64,9)	7(100)	14(60,9)	5(83,3)	14(43,7)	51(72,9)	118(63,4)
ECLATS frg	13(35,1)	0(0,0)	9(39,1)	1(16,7)	18(56,3)	19(27,1)	68(36,6)
Out. sur ent	20(43,5)	4(22,2)	18(40,0)	14(53,8)	27(39,7)	89(41,0)	64(37,0)
LAMES frg	26(56,5)	14(77,8)	27(60,0)	12(46,2)	41(60,3)	128(59,0)	109(63,0)
Out. sur ent	10(15,2)	5(16,7)	17(15,5)	2(14,3)	5(6,9)	12(24,5)	3(11,5)
LAMELLES frg	56(84,8)	25(83,3)	93(84,5)	12(85,7)	67(93,1)	37(75,5)	23(88,5)

## ③ ASPECT DU TALON

	1	2	3	4	5	6	7
Outils lis.	18(69,2)*	1	6(66,7)	3	9(60,0)	15(55,6)	31(39,7)
sur écr.	3	1	3	-	4	1	10
ECLATS pun.	4	-	-	-	-	3	6
fac.	1	-	-	-	-	4(14,8)	20(25,6)
aut.	-	1	-	-	2	4	11
TOTAL	26	3	9	3	15	27	78
Outils lis.	12(46,1)	7(77,8)	7(31,8)	4(28,6)	4(25,0)	15(25,4)	13(24,5)
sur écr.	1	1	2	1	2	2	1
LAMES pun.	13(50,0)	1(11,1)	13(59,1)	9(64,3)	10(62,5)	35(59,3)	30(56,6)
aut.	-	-	-	-	-	7	9
TOTAL	26	9	22	14	16	59	53
Outils lis.	3	1	4	-	1	-	-
sur écr.	2	1	10	1	-	-	-
LAMEL. pun.	16(76,2)	4(66,7)	26(65,0)	4(80,0)	6(75,0)	9(90,0)	1
aut.	-	-	-	-	1	1	-
TOTAL	21	6	40	5	8	10	1

\* Seuls les pourcentages les plus significatifs ont été donnés.

\* Les talons facettés sont regroupés avec les talons "autres" (aut.)

Fig. 149 - Les outils: supports retouchés.

Tools: retouched blanks.



## ① SEGMENTS ET MICROPERÇOIRS

		IA		IB		II	IIIA	IIIB
		1	2	3	4	5	6	7
Microlithes géométriques (segments et triangles)	Nb	15	11(1)	10	1	3	0	0
	%(4)	26,8	35,7	9,2	7,1	4,2	0,0	0,0
Microperçoirs	Nb	5	1(2)	41	0	4	5	6
	%(4)	8,9	3,6	37,6	0,0	5,5	10,2	23,1
Technique du microburin	Nb	10	3(3)	1	0	0	0	0
Outils sur lamelles	Nb	56	28	109	14	72	49	26
Production lamellaire	Nb	587	243	539	235	389	236	171
	%(5)	56,7	65,5	61,7	48,9	47,6	31,9	28,1

(1) Dont 1 segment en cours de fabrication large de plus de 12mm.

(2) Dont 1 microperçoir large de plus de 12mm.

(3) Dont 1 microburin large de plus de 12mm.

(4) Pourcentages calculés par rapport aux outils sur lamelles.

(5) Pourcentages calculés par rapport à la production totale des supports élançés (lames et lamelles).

## ② FLECHES

		IB		II	IIIA	IIIB
		3	4	5	6	7
Flèches sur lamelles	Nb	3	3	36	18	10
	%(1)	75,0	75,0	87,8	35,3	25,0
Flèches sur lames	Nb	1	1	5	33	30
	%(1)	25,0	25,0	12,2	64,7	75,0
Production lamellaire	Nb	539	235	389	236	171
	%(2)	61,7	48,9	47,6	31,9	28,1
Production laminaire	Nb	335	246	428	504	436
	%(2)	38,3	51,1	52,4	68,1	71,9

(1) Pourcentages calculés par rapport à la totalité des flèches

(2) Pourcentages calculés par rapport à la totalité des supports élançés (lames et lamelles).

## ③ GRATTOIRS SUR ECLATS

		IA		IB		II	IIIA	IIIB
		1	2	3	4	5	6	7
Grattoirs sur éclats	Nb	4	4	5	1	7	39	145
	%(1)	14,8	57,1	21,7	20,0	21,9	55,7	78,0
Outils sur éclats	Nb	27	7	23	5	32	70	186
Grattoirs sur silex F	Nb	1	1	2	0	5	33	133
	%(2)	25,0	25,0	40,0	0,0	71,4	84,6	91,7
Talons facet./grattoirs	Nb	1	0	0	0	0	1	19

(1) Pourcentages calculés par rapport au nombre total d'outils sur éclats

(2) Pourcentages calculés par rapport au nombre total de grattoirs sur éclats.

Fig. 150 - Segments, microperçoirs, flèches et grattoirs.  
Lunates, minute drills, arrowheads and scrapers.

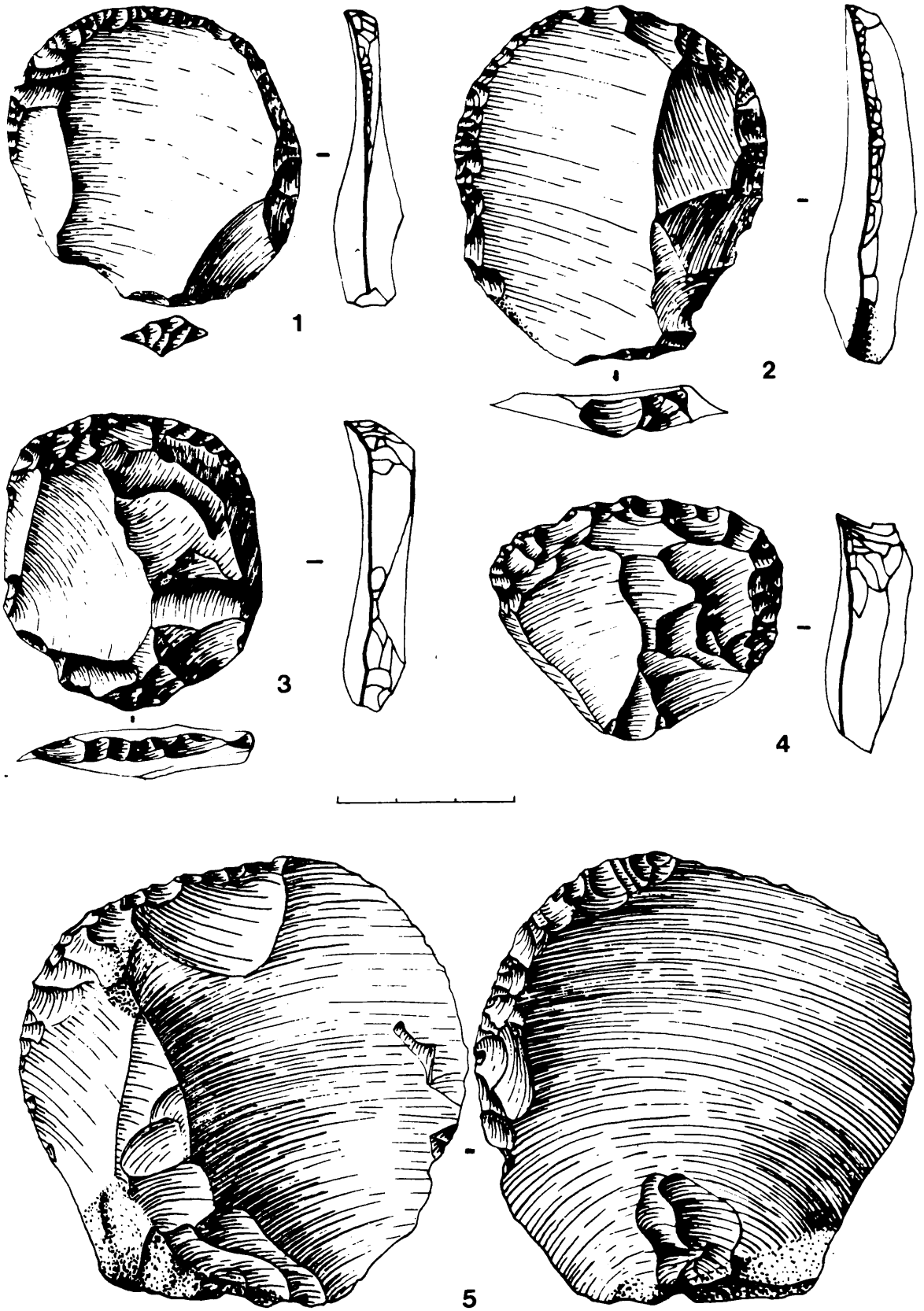


Fig. 151

Grattoirs sur éclats d'allure Levallois.  
Scrapers on Levallois-like flakes.

Numéro couche	Nature de la couche	Surface	Cubage	Effectifs		Poids en grammes		eff. au m <sup>3</sup> (2)	poids au m <sup>3</sup> (2)	Supports entiers		Outils					
				Débit. (1)	Outils Total	Débit. Outils Total	Total			eff. Poids (3)	Outils (4)	eff. (3)	Outils (4)				
7	aire de rejet	13 m <sup>2</sup>	1,9 m <sup>3</sup>	7058	386	7444	12655	6210	18865	3918	9929	338	3575	15,1	20,2	17,3	35,1
6	démolit. (maison XLVII)	13 m <sup>2</sup>	5,0 m <sup>3</sup>	954	336	1290	4520	2115	6635	256	1327	230	2110	17,8	31,8	26,0	31,9
5	aire extérieure d'activité	16 m <sup>2</sup>	3,2 m <sup>3</sup>	9761	172	9934	10080	1075	11155	3104	3486	389	3760	14,1	38,0	6,2	10,9
4	aire extérieure d'activité	4 m <sup>2</sup>	0,3 m <sup>3</sup>	1350	49	1399	4895	645	5540	4663	18466	299	2160	28,8	39,5	4,7	12,0
3	aire extérieure d'activité	6 m <sup>2</sup>	1,5 m <sup>3</sup>	3295	180	3475	9395	1730	11125	2317	7417	499	3690	21,4	33,9	7,7	15,9
2	aire extérieure d'activité	6 m <sup>2</sup>	1,2 m <sup>3</sup>	1660	56	1716	5050	585	5635	1430	4696	368	2985	26,7	53,6	4,1	10,5
1	aire extérieure d'activité	4 m <sup>2</sup>	0,4 m <sup>3</sup>	2896	159	3055	8960	2065	11025	7637	27562	549	4425	23,5	40,8	6,8	19,0

(1) Débitage y compris les nucléus. (2) Débitage et outillage y compris outils sur nucléus et gros fragments. (3) Pourcentages calculés par rapport à la totalité du matériel lithique (débitage et outillage) sans les esquilles et fragments < 1cm<sup>2</sup>. (4) Pourcentages calculés par rapport au poids total du matériel lithique (débitage et outillage) sans les esquilles et fragments < 1cm<sup>2</sup>.

Fig. 152 - Présentation générale des couches et de leur matériel lithique.  
General presentation of the layers and their lithic assemblages.

FICHE DE RECENSEMENT GLOBAL DE LA TOTALITÉ DU DÉBITAGE PAR CATÉGORIE DE TRI.				SITE : MUREYBET COUCHE : 1 (Q32.E2)			
CATÉGORIES * TRI DÉTERMINÉES EN FONCTION DE L'ÉTAT ET DE LA NATURE DES PIÈCES DÉBITÉES.	SILEX A GRAIN FIN		SILEX A GRAIN GROSSIER		TOUS GRAINS		
	NOMBRE	POIDS (en grammes)	NOMBRE	POIDS (en grammes)	NOMBRE	POIDS (en grammes)	
ÉCLATS ENTIERS SURFACE SUPÉRIEURE A 3 cm <sup>2</sup>	130	675	224	2480	354	3155	
LAMES ENTIÈRES SURFACE SUPÉRIEURE A 1cm <sup>2</sup>	120	430	75	840	195	1270	
FRAGMENTS PROXIMAUX D'ÉCLATS	32	200	38	235	70	435	
FRAGMENTS PROXIMAUX DE LAMES	260	350	77	315	337	665	
PETITS ÉCLATS SURF. COMPRISE ENTRE 1 et 3 cm <sup>2</sup>	164	160	232	230	396	390	
ESQUILLES SURFACE INFÉRIEURE A 1 cm <sup>2</sup>	166	40	224	60	390	100	
FRAGMENTS MÉDIAUX /DISTAUX D'ÉCLATS (SURF. SUP <sup>te</sup> A 3 cm <sup>2</sup> )	90	590	55	455	145	1045	
FRAGMENTS MÉDIAUX /DISTAUX DE LAMES	309	310	83	145	392	455	
FRAGMENTS MÉDIAUX /DISTAUX D'ÉCLATS (SURF. ENTRE 1 et 3 cm <sup>2</sup> )	125	115	138	125	263	240	
FRAGMENTS INFÉRIEURS A 1cm <sup>2</sup>	182	40	146	35	328	75	
NUCLEUS ENTIERS ET FRAGMENTS DE NUCLEUS	21	850	5	280	26	1130	
NOMBRE TOTAL DES PIÈCES DÉBITÉES NON RETOUCHÉES SANS LES NUCLEUS	1578	2910	1292	4920	2870	7830	
NOMBRE TOTAL DES PIÈCES DÉBITÉES NON RETOUCHÉES AVEC LES NUCLEUS	1599	3760	1297	5200	2896	8960	
OUTILS SUR ÉCLATS	11	190	26	700	37	890	
OUTILS SUR LAMES	87	105	25	280	112	385	
OUTILS SUR NUCLEUS ET SUR GROS FRAGMENTS	0	0	10	790	10	790	
TOTAL DES OUTILS	98	295	61	1770	159	2065	
NOMBRE TOTAL DE PIÈCES	1697	4055	1358	6970	3055	11025	

FICHE DE RECENSEMENT GLOBAL DE LA TOTALITÉ DU DÉBITAGE PAR CATÉGORIE DE TRI.				SITE : MUREYBET COUCHE : 2 (Q32.E1)			
CATÉGORIES * TRI DÉTERMINÉES EN FONCTION DE L'ÉTAT ET DE LA NATURE DES PIÈCES DÉBITÉES.	SILEX A GRAIN FIN		SILEX A GRAIN GROSSIER		TOUS GRAINS		
	NOMBRE	POIDS (en grammes)	NOMBRE	POIDS (en grammes)	NOMBRE	POIDS (en grammes)	
ÉCLATS ENTIERS SURFACE SUPÉRIEURE A 3 cm <sup>2</sup>	139	850	138	1635	277	2485	
LAMES ENTIÈRES SURFACE SUPÉRIEURE A 1cm <sup>2</sup>	68	175	23	325	91	500	
FRAGMENTS PROXIMAUX D'ÉCLATS	2	10	2	15	4	25	
FRAGMENTS PROXIMAUX DE LAMES	103	65	23	25	126	90	
PETITS ÉCLATS SURF. COMPRISE ENTRE 1 et 3 cm <sup>2</sup>	124	95	145	125	269	220	
ESQUILLES SURFACE INFÉRIEURE A 1 cm <sup>2</sup>	66	15	55	10	121	25	
FRAGMENTS MÉDIAUX /DISTAUX D'ÉCLATS (SURF. SUP <sup>te</sup> A 3 cm <sup>2</sup> )	49	480	39	415	88	895	
FRAGMENTS MÉDIAUX /DISTAUX DE LAMES	78	90	28	25	106	115	
FRAGMENTS MÉDIAUX /DISTAUX D'ÉCLATS (SURF. ENTRE 1 et 3 cm <sup>2</sup> )	179	195	176	190	355	385	
FRAGMENTS INFÉRIEURS A 1cm <sup>2</sup>	109	20	106	20	215	40	
NUCLEUS ENTIERS ET FRAGMENTS DE NUCLEUS	4	140	4	130	8	270	
NOMBRE TOTAL DES PIÈCES DÉBITÉES NON RETOUCHÉES SANS LES NUCLEUS	917	1995	735	2785	1652	4780	
NOMBRE TOTAL DES PIÈCES DÉBITÉES NON RETOUCHÉES AVEC LES NUCLEUS	921	2135	739	2915	1660	5050	
OUTILS SUR ÉCLATS	3	95	4	265	7	360	
OUTILS SUR LAMES	38	105	10	80	48	185	
OUTILS SUR NUCLEUS ET SUR GROS FRAGMENTS	1	40	0	0	1	40	
TOTAL DES OUTILS	42	240	14	345	56	585	
NOMBRE TOTAL DE PIÈCES	963	2375	753	3260	1716	5635	

Fig. 153 - Recensement du matériel lithique des couches n° 1 et n° 2 (phase IA).  
Inventory of the lithic assemblages from the layers n° 1 and n° 2 (phase IA).

FICHE DE RECENSEMENT GLOBAL  
DE LA TOTALITÉ DU DÉBITAGE  
PAR CATÉGORIE DE TRI.

FICHE DE RECENSEMENT GLOBAL  
DE LA TOTALITÉ DU DÉBITAGE  
PAR CATÉGORIE DE TRI.

SITE: MUREYBET  
COUCHE: 4 (Q32-E1a)

SITE: MUREYBET  
COUCHE: 3 (Q32-E1b)

CATÉGORIES TRI DÉTERMINÉES EN FONCTION DE L'ÉTAT ET DE LA NATURE DES PIÈCES DÉBITÉES.	SILEX A GRAIN FIN		SILEX A GRAIN GROSSIER		TOUS GRAINS	
	NOMBRE	POIDS (en grammes)	NOMBRE	POIDS (en grammes)	NOMBRE	POIDS (en grammes)
ÉCLATS ENTIERS SURFACE SUPÉRIEURE A 3 cm <sup>2</sup>	91	780	98	820	189	1600
LAMES ENTIÈRES SURFACE SUPÉRIEURE A 1 cm <sup>2</sup>	75	205	35	355	110	560
FRAGMENTS PROXIMAUX D'ÉCLATS	5	20	10	30	15	50
FRAGMENTS PROXIMAUX DE LAMES	74	115	59	75	133	190
PETITS ÉCLATS SURF COMPRISE ENTRE 1 et 3 cm <sup>2</sup>	50	45	138	120	188	165
ESQUILLES SURFACE INFÉRIEURE A 1 cm <sup>2</sup>	85	15	149	30	234	45
FRAGMENTS MÉDIAUX / DISTAUX D'ÉCLATS (SURF. SUP. A 3 cm <sup>2</sup> )	31	260	43	240	74	500
FRAGMENTS MÉDIAUX / DISTAUX DE LAMES	165	295	33	45	198	340
FRAGMENTS MÉDIAUX / DISTAUX D'ÉCLATS (SURF. ENTRE 1 et 3 cm <sup>2</sup> )	36	45	33	30	69	75
FRAGMENTS INFÉRIEURS A 1 cm <sup>2</sup>	39	5	89	25	128	30
NUCLEUS ENTIERS ET FRAGMENTS DE NUCLEUS	9	490	3	850	12	1340
NOMBRE TOTAL DES PIÈCES DÉBITÉES NON RETOUCHÉES SANS LES NUCLEUS	651	1785	687	1770	1338	3555
NOMBRE TOTAL DES PIÈCES DÉBITÉES NON RETOUCHÉES AVEC LES NUCLEUS	660	2275	690	2620	1350	4895
OUTILS SUR ÉCLATS	1	40	5	110	6	150
OUTILS SUR LAMES	32	115	8	30	40	145
OUTILS SUR NUCLEUS ET SUR GROS FRAGMENTS	1	30	2	320	3	350
TOTAL DES OUTILS	34	185	15	460	49	645
NOMBRE TOTAL DE PIÈCES	694	2430	705	3080	1399	5540

CATÉGORIES TRI DÉTERMINÉES EN FONCTION DE L'ÉTAT ET DE LA NATURE DES PIÈCES DÉBITÉES.	SILEX A GRAIN FIN		SILEX A GRAIN GROSSIER		TOUS GRAINS	
	NOMBRE	POIDS (en grammes)	NOMBRE	POIDS (en grammes)	NOMBRE	POIDS (en grammes)
ÉCLATS ENTIERS SURFACE SUPÉRIEURE A 3 cm <sup>2</sup>	242	820	92	2230	334	3050
LAMES ENTIÈRES SURFACE SUPÉRIEURE A 1 cm <sup>2</sup>	142	230	23	410	165	640
FRAGMENTS PROXIMAUX D'ÉCLATS	24	120	27	215	51	335
FRAGMENTS PROXIMAUX DE LAMES	169	220	62	270	231	490
PETITS ÉCLATS SURF COMPRISE ENTRE 1 et 3 cm <sup>2</sup>	173	215	274	315	447	530
ESQUILLES SURFACE INFÉRIEURE A 1 cm <sup>2</sup>	243	55	281	60	524	115
FRAGMENTS MÉDIAUX / DISTAUX D'ÉCLATS (SURF. SUP. A 3 cm <sup>2</sup> )	115	955	103	710	218	1665
FRAGMENTS MÉDIAUX / DISTAUX DE LAMES	235	285	88	125	323	410
FRAGMENTS MÉDIAUX / DISTAUX D'ÉCLATS (SURF. ENTRE 1 et 3 cm <sup>2</sup> )	161	155	203	205	364	360
FRAGMENTS INFÉRIEURS A 1 cm <sup>2</sup>	258	55	363	85	621	140
NUCLEUS ENTIERS ET FRAGMENTS DE NUCLEUS	10	600	7	1060	17	1660
NOMBRE TOTAL DES PIÈCES DÉBITÉES NON RETOUCHÉES SANS LES NUCLEUS	1762	3110	1516	4625	3278	7735
NOMBRE TOTAL DES PIÈCES DÉBITÉES NON RETOUCHÉES AVEC LES NUCLEUS	1772	3710	1523	5685	3295	9395
OUTILS SUR ÉCLATS	14	205	9	655	23	860
OUTILS SUR LAMES	137	140	18	80	155	220
OUTILS SUR NUCLEUS ET SUR GROS FRAGMENTS	0	0	2	650	2	650
TOTAL DES OUTILS	151	345	29	1385	180	1730
NOMBRE TOTAL DE PIÈCES	1923	4055	1550	6420	3475	11125

Fig. 154 - Recensement du matériel lithique des couches n°3 et n°4 (phase IB).  
Inventory of the lithic assemblages from the layers n°3 and n°4 (phase IB).

FICHE DE RECENSEMENT GLOBAL DE LA TOTALITÉ DU DÉBITAGE PAR CATÉGORIE DE TRI.				SITE : MUREYBET			
				COUCHE : 5 (Q32-B1)			
CATÉGORIES DE TRI DÉTERMINÉES EN FONCTION DE L'ÉTAT ET DE LA NATURE DES PIÈCES DÉBITÉES.	SILEX A GRAIN FIN		SILEX A GRAIN GROSSIER		TOUS GRAINS		
	NOMBRE	POIDS (en grammes)	NOMBRE	POIDS (en grammes)	NOMBRE	POIDS (en grammes)	
ÉCLATS ENTIERS SURFACE SUPÉRIEURE A 3 cm <sup>2</sup>	66	545	221	2510	287	3055	
LAMES ENTIÈRES SURFACE SUPÉRIEURE A 1 cm <sup>2</sup>	57	305	45	400	102	705	
FRAGMENTS PROXIMAUX D'ÉCLATS	41	190	109	535	150	725	
FRAGMENTS PROXIMAUX DE LAMES	134	220	69	205	203	425	
PETITS ÉCLATS SURF. COMPRISE ENTRE 1 et 3 cm <sup>2</sup>	163	175	382	620	545	795	
ESQUILLES SURFACE INFÉRIEURE A 1 cm <sup>2</sup>	999	160	1751	400	2750	560	
FRAGMENTS MÉSIAUX / DISTAUX D'ÉCLATS (SURF. SUP <sup>RE</sup> A 3 cm <sup>2</sup> )	97	730	165	1185	262	1915	
FRAGMENTS MÉSIAUX / DISTAUX DE LAMES	278	295	94	140	372	435	
FRAGMENTS MÉSIAUX / DISTAUX D'ÉCLATS (SURF. ENTRE 1 et 3 cm <sup>2</sup> )	212	250	450	495	662	745	
FRAGMENTS INFÉRIEURS A 1 cm <sup>2</sup>	1397	205	3031	490	4428	695	
NUCLEUS ENTIERS ET FRAGMENTS DE NUCLEUS	1	25	0	0	1	25	
NOMBRE TOTAL DES PIÈCES DÉBITÉES NON RETOUCHÉES SANS LES NUCLEUS	3444	3075	6317	6980	9761	10055	
NOMBRE TOTAL DES PIÈCES DÉBITÉES NON RETOUCHÉES AVEC LES NUCLEUS	3445	3100	6317	6980	9762	10055	
OUTILS SUR ÉCLATS	20	145	12	540	32	685	
OUTILS SUR LAMES	121	200	19	190	140	390	
OUTILS SUR NUCLEUS ET SUR GROS FRAGMENTS	0	0	0	0	0	0	
TOTAL DES OUTILS	141	345	31	730	172	1075	
NOMBRE TOTAL DE PIÈCES	3586	3445	6348	7710	9934	11155	

Fig. 155 - Recensement du matériel lithique de la couche n°5 (phase II).  
Inventory of the lithic assemblage from the layer n°5 (phase II).

FICHE DE RECENSEMENT GLOBAL DE LA TOTALITÉ DU DÉBITAGE PAR CATÉGORIE DE TRI.	SITE: MUREYBET
	COUCHE: 6 (R32-C)

CATÉGORIES DE TRI DÉTERMINÉES EN FONCTION DE L'ÉTAT ET DE LA NATURE DES PIÈCES DÉBITÉES.	SILEX À GRAIN FIN		SILEX À GRAIN GROSSIER		TOUS GRAINS	
	NOMBRE	POIDS (en grammes)	NOMBRE	POIDS (en grammes)	NOMBRE	POIDS (en grammes)

ECLATS ENTIERS SURFACE SUPÉRIEURE A 3 cm <sup>2</sup>	80	620	89	1060	169	1680
LAMES ENTIÈRES SURFACE SUPÉRIEURE A 1 cm <sup>2</sup>	32	115	29	315	61	430
FRAGMENTS PROXIMAUX D'ÉCLATS	37	185	35	190	72	375
FRAGMENTS PROXIMAUX DE LAMES	146	250	27	140	173	390
PETITS ÉCLATS SURF. COMPRISE ENTRE 1 et 3 cm <sup>2</sup>	86	155	45	85	131	240
ESQUILLES SURFACE INFÉRIEURE A 1 cm <sup>2</sup>						
FRAGMENTS MÉDIAUX / DISTAUX D'ÉCLATS (SURF. SUP. A 3 cm <sup>2</sup> )	28	180	27	260	55	440
FRAGMENTS MÉDIAUX / DISTAUX DE LAMES	217	405	23	70	240	475
FRAGMENTS MÉDIAUX / DISTAUX D'ÉCLATS (SURF. ENTRE 1 et 3 cm <sup>2</sup> )	30	40	16	20	46	60
FRAGMENTS INFÉRIEURS A 1 cm <sup>2</sup>						

NUCLEUS ENTIERS ET FRAGMENTS DE NUCLEUS	7	430	0	0	7	430
--	---	-----	---	---	---	-----

NOMBRE TOTAL DES PIÈCES DÉBITÉES NON RETOUCHÉES SANS LES NUCLEUS	656	1950	291	2140	947	4090
NOMBRE TOTAL DES PIÈCES DÉBITÉES NON RETOUCHÉES AVEC LES NUCLEUS	663	2330	291	2140	954	4520

OUTILS SUR ÉCLATS	56	875	14	225	70	1100
OUTILS SUR LAMES	243	720	23	295	266	1015
OUTILS SUR NUCLEUS ET SUR GROS FRAGMENTS	0	0	0	0	0	0
TOTAL DES OUTILS	299	1595	37	520	336	2115

NOMBRE TOTAL DE PIÈCES	962	3975	328	2660	1290	6635
------------------------	-----	------	-----	------	------	------

Fig. 156 - Recensement du matériel lithique de la couche n°6 (phase IIIA).  
Inventory of the lithic assemblage from the layer n°6 (phase IIIA).

FICHE DE RECENSEMENT GLOBAL DE LA TOTALITÉ DU DÉBITAGE PAR CATÉGORIE DE TRI.	SITE: MUREYBET
	COUCHE: 7 (S32-A2)

CATÉGORIES DE TRI DÉTERMINÉES EN FONCTION DE L'ÉTAT ET DE LA NATURE DES PIÈCES DÉBITÉES.	SILEX A GRAIN FIN		SILEX A GRAIN GROSSIER		TOUS GRAINS	
	NOMBRE	POIDS (en grammes)	NOMBRE	POIDS (en grammes)	NOMBRE	POIDS (en grammes)
ÉCLATS ENTIERS SURFACE SUPÉRIEURE A 3 cm <sup>2</sup>	162	1125	104	1910	266	3035
LAMES ENTIÈRES SURFACE SUPÉRIEURE A 1 cm <sup>2</sup>	44	170	28	370	72	540
FRAGMENTS PROXIMAUX D'ÉCLATS	66	680	20	190	86	870
FRAGMENTS PROXIMAUX DE LAMES	112	305	18	175	130	480
PETITS ÉCLATS SURF. COMPRISE ENTRE 1 et 3 cm <sup>2</sup>	497	745	88	135	585	880
ESQUILLES SURFACE INFÉRIEURE A 1 cm <sup>2</sup>	3822	800	347	95	4169	895
FRAGMENTS MÉDIAUX / DISTAUX D'ÉCLATS (SURF. SUP <sup>RE</sup> A 3 cm <sup>2</sup> )	126	1035	53	570	179	1605
FRAGMENTS MÉDIAUX / DISTAUX DE LAMES	191	355	16	35	207	390
FRAGMENTS MÉDIAUX / DISTAUX D'ÉCLATS (SURF. ENTRE 1 et 3 cm <sup>2</sup> )	221	325	69	105	290	430
FRAGMENTS INFÉRIEURS A 1 cm <sup>2</sup>	809	220	235	70	1044	290
NUCLEUS ENTIERS ET FRAGMENTS DE NUCLEUS	19	690	11	2550	30	3240
NOMBRE TOTAL DES PIÈCES DÉBITÉES NON RETOUCHÉES SANS LES NUCLEUS	6050	5760	978	3655	7028	9415
NOMBRE TOTAL DES PIÈCES DÉBITÉES NON RETOUCHÉES AVEC LES NUCLEUS	6069	6450	989	6205	7058	12655
OUTILS SUR ÉCLATS	169	3950	17	835	186	4785
OUTILS SUR LAMES	172	785	27	315	199	1100
OUTILS SUR NUCLEUS ET SUR GROS FRAGMENTS	0	0	1	325	1	325
TOTAL DES OUTILS	341	4735	45	1475	386	6210
NOMBRE TOTAL DE PIÈCES	6410	11185	1034	7680	7444	18865

Fig. 157 - Recensement du matériel lithique de la couche n°7 (phase IIIB).  
Inventory of the lithic assemblage from the layer n°7 (phase IIIB).



SITES	niveau	AUTEURS	TEXTE ind. Lith.	TEXTE débitage	TABLEAUX débitage	DESSINS débitage	REMARQUES
ABU BUREYRA		Moore, Hillman, Legge 1975 Moore 1975 Olszewski 1984	56-58 116 116-207	56 0 224-227 271-273 274-280	0 0 X	0 0 X	Rien sur débitage (hammerstone on cores p. 56)
NAHR EL HOMR		Boerma, Roodenberg 1977 Roodenberg 1976	11-14 72-73	11 0	X 15 0	X fig.3:1 X fig.1:4-5	
DIBSI FARAJ	X	Wilkinson, Moore 1978 Olszewski 1984	28-36 286-289	33 288-289	X 35 (dé-compte) X 288-289	X fig.6 (nucléus) X	84% des lames brutes ont une longueur comprise entre 2 et 5 cm; jamais plus de 8 cm

## 1 - Natoufien ancien de l'Euphrate.

SITES	niveau	AUTEURS	TEXTE ind. Lith.	TEXTE débitage	TABLEAUX débitage	DESSINS débitage	REMARQUES
ROSH HOESHA G 7	X	Henry 1973 Marks, Larson 1977 Ferring 1980	128-130 201-229 201-229	129-130 201-206 209-219	X 126, 280 X X 209-219 346-351	0 X 0	Problème lames/lamelles Comparaisons intéressantes entre dimensions
ROSH ZIN	X	Henry 1973 Henry 1977 Valla 1983	122-128 199-248 321-342 464-488	209-217 322-327 0	X 122-128 210-215 X 0	X X 0	Problème distinction lames/lamelles " " " " Rien sur le débitage
TOR ABU SIF B	X	Neuville 1951 Henry 1973	126-131 120-122	130 121	0 X	X fig.57:21 0	Nucléus nombreux et petits Forme pyramidale très régulière (p. 130)
SALIBIYA I		Bar Yosef, Valla 1979 Valla 1983	0 462-464	0 0	0 0	0 0	"Pas d'étude systématique" Rien sur le débitage
SHIKBAH B		Garrod, Bate 1942 Henry 1973	9-12 111-114	0 0	0 0	X 0	Rien sur le débitage
OLMM EZ ZOU-EITINA		Neuville 1951 Henry 1973	121-124 117-119	124 118-119	0 X	0 0	Mention de nucléus sans description Problème lames/lamelles
EL WAD B I Terrasse	X	Henry 1973 Valla 1983	94-100 374-400	0 0	0 0	0 0	Rien sur le débitage " " "
NAHAL OREN VI	X	Stekelis, Yizraeli 1963 Noy, Legge, Higgs 1973 Henry 1973 Valla 1983	totalité 84-86 103-107 489-510	0 84-86 105-106 0	0 X 84 dé-compte X 0	0 X 0 0	Rien sur le débitage Sans précision de niveau Rien sur le débitage
HAYONIM CAVE B Upper		Henry 1973	80-90	85-89	X	0	Ne précise pas le niveau
MALLAHA I C		Cauvin MC 1966 Perrot 1960 1962 1966 Valla 1983	totalité 0 263-376	0 0 265-270	0 0 X nucléus	0 0 X fig.65-66	Rien sur le débitage
TAIBE	X	Cauvin MC 1974 c	totalité	0	0	0	Rien sur le débitage

## 2 - Natoufien récent

Fig. 158

Tableaux récapitulatifs des données publiées concernant le débitage (Natoufien ancien de l'Euphrate et Natoufien récent).

Tables summarising the published information about the debitage (Euphrates Early Natufian and Late Natufian).

SITES	AUTEURS	TEXTE <i>ind.Lith.</i>	TEXTE <i>débitage</i>	TABLEAUX <i>débitage</i>	DESSINS <i>débitage</i>	REMARQUES
FAZAEI IV	X Bar Yosef, Goldberg, Leveson 1974 Valla 1983	423 668-699	423 0	0 0	X fig. 7 0	Rapport préliminaire, pas de débitage Pas de débitage
NAHAL OREN V	X Stekelis, Yisraeli 1963 Noy, Legge, Higgs 1973  Henry 1973  Valla 1983	totalité 84-86  103-107  642-668	0 84  104-106  0	0 X 88 décompte X  0	0 0  0  0	Rien sur le débitage  Sans précision de niveau  Rien sur le débitage
MALLAHA I B	Cauvin MC 1966 Perrot 1960 1962 1966 Valla 1983	totalité 0  523-568	0 0  523-568	0 0  X nucléus	0 0  X fig. 97	Rien sur le débitage

## 1 - Natoufien final

SITES	AUTEURS	TEXTE <i>ind.Lith.</i>	TEXTE <i>débitage</i>	TABLEAUX <i>débitage</i>	DESSINS <i>débitage</i>	REMARQUES
ABU SALEM C 12	X Marks, Scott 1976  Scott 1977	totalité  <i>passim</i>	50-51  286-291	51 décompte  11:4 sqq	fig.10 nucléus fig.11-7 nucléus	très peu d'éléments de mise en forme comparé à G8, G20, K3
G8	X Scott 1977 Ferring 1980	<i>passim</i>	286-291 219-228	X 352-357	0 0	tableau des caractères morphologiques nucléus
G20/K3	X Scott 1977	<i>passim</i>	286-291	X	0	
LAGAMA IV	X Phillips 1977	199-202	202 (mi- croburin)	0	0	rien sur le débitage
MUSHABI III	X Phillips 1977	203-204	204 (mi- croburin)	0	0	rien sur le débitage
MUSHABI XX	X Phillips 1977	204-212	216 (mi- croburin)	0	fig.98:17-19 nucléus	rien sur le débitage
MUSHABI XV	X Phillips 1977	212-215	0	0	0	

## 2 - Harifien

SITES	AUTEURS	TEXTE <i>ind.Lith.</i>	TEXTE <i>débitage</i>	TABLEAUX <i>débitage</i>	DESSINS <i>débitage</i>	REMARQUES
DHRA	Raikes 1980	56-60	0	0	0	Rien sur le débitage
EL KHIAM IV (Base B I)	Perrot 1951 Echegaray 1966	155-166 49-53	0 0	0 0	0 X nucléus	Rien sur le débitage
GILGAL I	Noy 1976 Noy, Schuldenrein, Tchernov 1980	48 66-68	0 0	0 0	0 0	Imprécis, rien sur le débitage Rien sur le débitage
EL WAD B I	Garrod, Bate 1937	1-41	0	0	X nucléus	Rien sur le débitage
NAHAL OREN IV early PPNA	Noy, Legge, Higgs 1973	86	0	0	0	Rien sur le débitage
RAKEFET	Vita Finzi, Higgs 1970 Noy, Higgs 1971	21 225-226	0 0	0 0	0 0	Rien sur le débitage
SALIBIYA IX	Bar Yosef 1980	193	0	0	0	Rien sur le débitage
ABU MADI	Bar Yosef 1981	402	0	0	0	Rien sur le débitage
HATOULA	Lechevallier, Ronen 1984	23	0	0	0	Rien sur le débitage

## 3 - Khiamien

Fig. 159

Tableaux récapitulatifs des données publiées concernant le débitage (Natoufien final, Khiamien et Harifien).

Tables summarising the published information about the debitage (Final Natufian, Khiamian and Harifian).

SITES	AUTEURS	TEXTE <i>ind. lith.</i>	TEXTE <i>débitage</i>	TABLEAUX <i>débitage</i>	DESSINS <i>débitage</i>	REMARQUES
JERICO Proto-neolithic	Kenyon 1960 Kirkbride 1960 Crowfoot Payne 1983	0 0 629-631	0 0 629-631	0 0 X 729-734	0 0 X 630 fig.252	Rien sur le débitage Rien sur le débitage
NETIV HAGDUD	Bar Yosef, Gopher, Goring-Morris 1980	202	0	0	0	Rien sur le débitage

## 1 - Proto-neolithic.

SITES	AUTEURS	TEXTE <i>ind. lith.</i>	TEXTE <i>débitage</i>	TABLEAUX <i>débitage</i>	DESSINS <i>débitage</i>	REMARQUES
JERICO PPNA	Crowfoot Payne 1983	639-665	640-644	729-735 p. 659	fig. 264-266 et 286	
NAHAL OREN early PPNA	Noy, Legge, Higgs 1973	86	0	0	0	rien sur le débitage
EL KHIAM sommets B1	Perrot 1951 Echegaray 1966	161-166 60-71	0 0	0 0	0 0	nucléus pyramidaux
ASWAD IA	Contenson 1972 Contenson 1976 Cauvin MC 1974d Cauvin MC 1979	76-77 80-82 totalité 157-158	0 0 0 157	0 0 0 0	0 0 0 0	rien sur le débitage rien sur le débitage nucléus naviformes
CHEIKH HASSAN	Cauvin J 1980	26	0	0	0	rien sur le débitage

## 2 - Horizon PPNA.

Fig. 160 - Tableaux récapitulatifs des données publiées concernant le débitage (Proto-neolithic et horizon PPNA).  
Tables summarising the published information about the debitage (Proto-Neolithic and PPNA Horizon).

# Tableaux

MÉTHODE DE RECHERCHE ANALYTIQUE DES TECHNIQUES DE TAILLE				SITE MUREYBET							
TABLEAU RÉCAPITULATIF DES MODALITÉS DE CARACTÈRES ET DE LEUR DEGRÉ DE SIGNIFICATION DANS LA RECHERCHE SUR UN SUPPORT, DE SA TECHNIQUE DE TAILLE				ÉCLATS		F+G					
				DONNÉES BRUTES							
CARACTÈRES MORPHOLOGIQUES		CODE INFORM.	MODALITÉS DE CARACTÈRES	1	2	3	4	5	6	7	
PARTIE PROXIMALE	• TALON	60	1	LISSE	267	176	213	148	203	116	196
			2	ÉCRASÉ	64	49	54	28	94	34	53
		3	PUNCTIFORME	45	14	46	10	47	42	40	
		4	DIÈDRE	15	15	12	4	16	13	8	
		5	FACETTÉ	2	15	9	3	12	7	20	
		6	FILIFORME	3	0	3	0	25	3	14	
		7	CORTICAL	24	3	24	9	28	15	17	
		8	ÉVERSE	3	4	24	1	12	11	4	
	• LÈVRE	61	0	SANS	330	218	293	139	277	161	160
			1	AVEC LÈVRE	24	59	41	50	10	8	6
• PRÉPARATION DE L'ANGLE DE CHASSE	62	0	SANS	337	219	294	143	282	161	239	
		1	CÔTÉ SURF. DÉBITÉE	87	62	91	61	155	81	114	
		2	CÔTÉ PLAN DE FRAPPE								
• POINT D'IMPACT	63	0	SANS	275	183	238	125	279	148	166	
		1	AVEC PT D'IMPACT	149	98	147	79	158	93	186	
PARTIE DISTALE	• EXTRÉMITÉ DISTALE	69	1	POINTUE	78	63	102	43	41	9	8
			2	ARRONDIE	270	199	232	144	207	124	185
			3	IRRÉGULIÈRE	6	15	0	2	39	36	73
	• TYPE D'ANOMALIE DISTALE	76	0	SANS	289	213	270	157	241	124	187
			1	OUTREPASSÉE	0	0	2	2	5	1	0
			2	RÉFLÉCHIE	51	53	42	22	37	39	56
3	A BOURRELETS	14	11	20	8	4	5	23			
BORDS	• BORDS	71	1	PARALLÈLES	119	156	142	62	71	57	38
			2	CONVERGENTS	84	96	113	102	63	31	94
			3	DIVERGENTS	144	22	76	12	98	31	39
			4	IRRÉGULIERS	7	3	3	13	55	50	95
FACE D'ÉCLATEMENT	• BULBE	67	1	SAILLANT	270	96	231	68	150	110	156
			2	DIFFUS	77	71	99	42	110	39	83
			3	ÉCAILLÉ	7	110	4	79	27	20	27
	• COURBURE MAXIMALE	65	1	PROXIMALE	111	26	127	46	71	21	40
			2	DISTALE	237	79	199	93	162	104	142
			3	INDÉFINIE	6	172	8	50	54	44	84
	• PROFIL	66	1	CONCAVE	173	102	189	84	133	70	137
			2	CONVEXE	61	74	66	52	40	30	46
			3	PLAT	38	72	36	29	50	31	23
4			TORSE	79	19	42	23	52	33	33	
5			IRRÉGULIER	3	10	1	1	12	5	23	
FACE SUPÉRIÈRE	• DISPOSITION DES NÉGATIFS D'ENLEVEMENTS	72	0	SANS	10	35	18	11	10	10	15
			1	PARALLÈLES IDENTIQUES	189	129	214	111	119	73	96
			2	PARALLÈLES INVERSES	10	12	13	2	15	3	5
			3	ORTHOCONAUX	4	14	25	12	13	8	9
			4	CROISÉS	0	4	0	0	4	0	0
			5	CENTRIPÈTES	4	14	2	0	35	6	51
			6	UNIQUES	17	5	28	21	31	19	20
			7	MULTIPLÉS	110	18	6	2	33	38	31
			8	DIVERGENTS	0	1	0	0	1	0	1
	9	INCERTAINS	10	45	28	30	26	12	38		
	• ORIENTATION DES NÉGATIFS PAR RAPPORT AU SENS D'EXTRACTION DU SUPPORT	73	1	IDENTIQUE	194	133	221	120	144	93	109
			2	PERPENDICULAIRE	17	9	16	5	14	4	9
			3	INCLINÉE	0	3	19	12	11	4	6
			4	OPPOSÉE	2	1	2	1	5	0	1
			5	SANS	121	51	30	15	81	42	85
			6	INCERTAINE	10	45	28	30	22	16	41
	• NERVURES	74	1	SAILLANTES	153	62	132	52	132	81	135
			2	DIFFUSES	179	127	175	97	134	74	111
			3	SANS	22	88	27	40	21	14	20
	• EMBLEMEMENT DU CORTEX.	33	0	SANS	268	158	177	103	153	99	156
			1	PROXIMAL	12	12	6	5	15	7	5
2			MÉSIAL	5	13	7	3	6	2	7	
3			DISTAL	58	32	56	31	54	22	38	
4			SUR LA TOTALITÉ	10	35	22	11	10	10	15	
5			LATÉRAL GAUCHE	32	11	24	15	28	15	21	
6	LATÉRAL DROIT	31	16	42	21	21	14	24			

Tableau 1 - ECLATS: données brutes.

FLAKES: absolute numbers.

MÉTHODE DE RECHERCHE ANALYTIQUE DES TECHNIQUES DE TAILLE				SITE							
TABLEAU RÉCAPITULATIF DES MODALITÉS DE CARACTÈRES ET DE LEUR DEGRÉ DE SIGNIFICATION DANS LA RECHERCHE SUR UN SUPPORT, DE SA TECHNIQUE DE TAILLE				MUREYBET							
				ÉCLATS		F+G					
				POURCENTAGES							
CARACTÈRES MORPHOLOGIQUES		CODE INFORM.	MODALITÉS DE CARACTÈRES	1	2	3	4	5	6	7	
PARTIE PROXIMALE	• TALON	60	1	LISSE	63,1	63,8	55,3	72,9	46,4	48,1	55,7
			2	ÉCRASÉ	15,3	17,7	14,0	13,8	21,5	14,1	15,1
			3	PUNCTIFORME	10,6	5,1	11,9	4,9	10,8	17,4	11,4
			4	DIÈDRE	3,5	5,4	3,1	2,0	3,7	5,4	2,3
			5	FACETTÉ	0,5	5,4	2,3	1,5	2,7	2,9	5,7
			6	FILIFORME	0,7	0,0	0,8	0,0	5,7	1,2	4,0
			7	CORTICAL	5,7	1,1	6,2	4,4	6,4	6,2	4,8
			8	ÉVERSE	0,7	1,4	6,2	0,5	2,7	4,6	1,1
	• LÈVRE	61	0	SANS	93,2	78,7	87,7	73,5	96,5	95,3	97,7
			1	AVEC LÈVRE	6,8	21,3	12,3	26,5	3,5	4,7	2,3
	• PRÉPARATION DE L'ANGLE DE CHASSE	62	0	SANS	79,5	77,9	76,4	70,1	44,5	66,4	67,4
			1	CÔTÉ SURF. DÉBITÉE	20,5	22,1	23,6	29,9	35,5	38,4	32,4
2			CÔTÉ PLAN DE FRAPPE								
• POINT D'IMPACT	63	0	SANS	64,9	65,1	61,8	61,3	63,8	61,4	47,2	
		1	AVEC PT D'IMPACT	35,1	34,9	38,2	38,7	36,2	38,6	52,8	
PARTIE DISTALE	• EXTRÉMITÉ DISTALE	69	1	POINTUE	22,0	22,7	30,5	23,1	14,3	5,3	3,0
			2	ARRONDIE	76,3	71,8	69,5	75,8	72,1	73,4	69,5
			3	IRRÉGULIÈRE	1,7	5,4	0,0	1,1	13,6	21,3	27,4
	• TYPE D'ANOMALIE DISTALE	76	0	SANS	81,6	76,9	80,8	83,1	84,0	73,4	70,3
			1	OUTREPASSÉE	0,0	0,0	0,6	1,1	1,7	0,6	0,0
			2	RÉFLÉCHIE	14,4	19,1	12,6	11,6	12,9	23,1	21,1
3	A BOURRELETS	3,9	4,0	6,0	4,2	1,4	3,0	8,6			
BORDS	• BORDS	71	1	PARALLÈLES	53,6	56,3	42,5	32,8	24,7	33,7	14,3
			2	CONVERGENTS	33,7	34,7	33,8	54,0	21,9	18,3	35,3
			3	DIVERGENTS	40,8	7,9	22,7	6,3	34,1	18,3	14,7
			4	IRRÉGULIERS	2,0	1,1	0,9	6,9	19,2	29,6	35,7
FACE D'ÉCLATEMENT	• BULBE	67	1	SAILLANT	76,3	34,7	69,2	36,0	52,3	65,1	58,4
			2	DIFFUS	21,7	25,6	29,6	22,2	38,3	23,1	31,2
			3	ÉCAILLÉ	2,0	39,7	1,2	41,8	9,4	11,8	10,2
	• COURBURE MAXIMALE	65	1	PROXIMALE	31,3	9,4	38,0	24,3	24,7	12,4	15,0
			2	DISTALE	66,9	28,5	59,6	49,2	56,4	61,5	53,4
	• PROFIL	66	0	INDÉFINIE	1,7	62,1	2,4	26,4	18,8	26,0	31,6
			1	CONCAVE	48,9	36,8	56,6	44,4	46,3	41,4	51,5
			2	CONVEXE	17,2	26,7	19,8	27,5	13,9	17,8	17,3
			3	PLAT	10,7	26,0	10,8	15,3	17,4	18,3	10,2
4			TORSE	22,3	6,9	12,6	12,2	18,1	19,5	12,4	
5	IRRÉGULIER	0,8	3,6	0,3	0,5	4,2	3,0	8,6			
FACE SUPÉRIÈRE	• DISPOSITION DES NÉGATIFS D'ENLEVEMENTS	72	0	SANS	2,8	12,6	5,4	5,8	3,5	5,9	5,6
			1	PARALLÈLES IDENTIQUES	53,5	46,6	64,1	58,7	41,5	43,2	36,1
			2	PARALLÈLES INVERSES	2,8	4,3	3,9	1,1	5,2	1,8	1,9
			3	ORTHOGONAUX	1,1	5,0	7,5	6,3	4,5	4,7	3,4
			4	CROISÉS	0,9	1,4	0,0	0,0	1,4	0,0	0,0
			5	CENTRIPÈTES	1,1	5,0	0,6	0,0	12,2	3,6	19,2
			6	UNIQUES	4,8	1,8	8,4	11,1	10,8	11,2	7,5
			7	MULTIPLÉS	31,1	6,5	1,8	1,1	11,5	22,5	11,7
			8	DIVERGENTS	0,0	0,4	0,0	0,0	0,3	0,0	0,4
	9	INCERTAINS	2,8	16,2	8,4	15,9	9,1	7,1	14,3		
	• ORIENTATION DES NÉGATIFS PAR RAPPORT AU SENS D'EXTRACTION DU SUPPORT	73	1	IDENTIQUE	56,4	55,0	69,9	65,6	52,0	58,5	43,4
			2	PERPENDICULAIRE	4,9	3,7	5,1	2,7	5,1	2,5	3,6
			3	INCLINÉE	0,0	1,2	6,0	6,6	4,0	2,5	2,4
			4	OPPOSÉE	0,6	0,4	0,6	0,5	1,8	0,0	0,4
			5	SANS	35,2	21,1	9,5	8,2	29,2	26,4	33,9
6			INCERTAINE	3,9	18,6	8,9	16,4	7,9	10,1	16,3	
• NERVURES	74	1	SAILLANTES	43,2	22,4	39,5	27,5	46,0	47,9	50,8	
		2	DIFFUSES	50,6	45,8	52,4	51,3	46,7	43,8	41,7	
		3	SANS	6,2	31,8	8,1	21,1	7,3	8,3	7,5	
• EMBLEMEMENT DU CORTEX.	33	0	SANS	58,4	57,0	53,0	54,5	53,3	58,6	58,6	
		1	PROXIMAL	3,4	4,3	1,8	2,6	5,2	4,1	1,9	
		2	MÉSIAL	1,4	4,7	2,1	1,6	2,1	1,2	2,6	
		3	DISTAL	16,3	11,5	16,8	16,4	18,8	13,0	14,3	
		4	SUR LA TOTALITÉ	2,8	12,6	6,6	5,8	3,5	5,9	5,6	
		5	LATÉRAL GAUCHE	9,0	4,0	7,2	7,9	9,8	8,9	7,9	
6	LATÉRAL DROIT	8,7	5,8	12,6	11,1	7,3	8,3	9,0			

Tableau 2 - ECLATS : pourcentages.

FLAKES : percentages.

MÉTHODE DE RECHERCHE ANALYTIQUE DES TECHNIQUES DE TAILLE				SITE MUREYBET							
TABLEAU RÉCAPITULATIF DES MODALITÉS DE CARACTÈRES ET DE LEUR DEGRÉ DE SIGNIFICATION DANS LA RECHERCHE SUR UN SUPPORT, DE SA TECHNIQUE DE TAILLE				ÉCLATS		F					
				DONNÉES BRUTES							
CARACTÈRES MORPHOLOGIQUES		CODE INFORM.	MODALITÉS DE CARACTÈRES	1	2	3	4	5	6	7	
PARTIE PROXIMALE	• TALON	60	1	LISSE	101	83	139	67	51	49	133
			2	ÉCRASÉ	15	25	37	13	17	16	22
		3	PUNCTIFORME	22	7	35	5	14	26	29	
		4	DIÈDRE	3	8	9	2	5	10	4	
		5	FACETTE	0	13	8	2	6	5	16	
		6	FILIFORME	2	0	2	0	5	2	11	
		7	CORTICAL	18	2	21	6	7	8	12	
		8	ÉVERSE	0	1	15	0	3	1	1	
	• LÈVRE	61	0	SANS	121	115	217	72	67	80	158
			1	AVEC LÈVRE	9	24	25	19	0	0	4
• PRÉPARATION DE L'ANGLE DE CHASSE	62	0	SANS	134	110	203	65	75	82	146	
		1	CÔTÉ SURF. DÉBITÉE	28	31	63	31	33	35	82	
		2	CÔTÉ PLAN DE FRAPPE								
• POINT D'IMPACT	63	0	SANS	108	98	168	58	68	72	100	
		1	AVEC PT D'IMPACT	54	43	98	38	40	45	128	
PARTIE DISTALE	• EXTRÉMITÉ DISTALE	69	1	POINTUE	35	36	68	20	14	4	6
			2	ARRONDIE	92	93	174	70	42	58	113
			3	IRRÉGULIÈRE	3	10	0	1	11	18	43
	• TYPE D'ANOMALIE DISTALE	76	0	SANS	113	110	193	72	60	53	114
			1	OUTREPASSÉE	0	0	2	2	0	1	0
BORDS	• BORDS	71	1	PARALLÈLES	48	79	106	29	20	23	20
			2	CONVERGENTS	35	49	78	49	19	16	51
			3	DIVERGENTS	43	9	55	5	16	17	26
			4	IRRÉGULIERS	4	2	3	8	12	24	65
FACE D'ÉCLATEMENT	• BULBE	67	1	SAILLANT	104	43	165	30	30	60	88
			2	DIFFUS	23	32	73	17	32	15	65
			3	ÉCAILLÉ	3	64	4	44	5	5	9
	• COURBURE MAXIMALE	65	1	PROXIMALE	54	18	95	28	22	6	26
			2	DISTALE	74	34	141	35	32	49	97
	• PROFIL	66	1	INDEFINIE	2	85	6	28	13	25	39
2			CONCAVE	61	45	136	39	28	36	100	
3			CONVEXE	18	34	46	27	10	20	23	
4			PLAT	15	45	29	14	9	10	14	
FACE SUPÉRIÈRE	• DISPOSITION DES NÉGATIFS D'ENLEVEMENTS	72	0	SANS	3	19	16	8	2	6	4
			1	PARALLÈLES IDENTIQUES	68	66	155	52	28	30	55
			2	PARALLÈLES INVERSES	5	5	10	1	2	1	4
			3	ORTHOGONAUX	1	8	18	6	6	4	7
			4	CROISÉS	0	2	0	0	1	0	0
			5	CENTRIPÈTES	1	6	1	0	7	3	40
			6	UNIQUES	11	2	19	11	9	9	8
			7	MULTIPLES	35	10	3	1	9	20	22
			8	DIVERGENTS	0	1	0	0	1	0	1
	9	INCERTAINS	6	20	20	12	2	7	21		
	• ORIENTATION DES NÉGATIFS PAR RAPPORT AU SENS D'EXTRACTION DU SUPPORT	73	1	IDENTIQUE	71	65	162	59	38	38	63
			2	PERPENDICULAIRE	9	5	10	2	2	1	4
			3	INCLINÉE	0	3	12	6	5	4	5
			4	OPPOSÉE	2	1	1	1	0	0	0
			5	SANS	39	26	21	6	18	23	65
6			INCERTAINE	6	20	20	12	2	8	21	
• NERVURES	74	1	SAILLANTES	39	28	92	19	25	25	67	
		2	DIFFUSES	81	68	128	52	36	47	87	
		3	SANS	10	43	22	20	6	8	8	
• EMBLEMEMENT DU CORTEX.	33	0	SANS	71	78	113	43	29	45	105	
		1	PROXIMAL	6	7	6	3	4	3	3	
		2	MÉSIAL	3	10	6	2	2	1	3	
		3	DISTAL	22	17	43	15	15	5	22	
		4	SUR LA TOTALITÉ	3	17	19	9	2	6	4	
		5	LATÉRAL GAUCHE	13	5	19	8	10	8	12	
6	LATÉRAL DROIT	12	5	36	11	5	8	13			

Tableau 3 - Eclats en silex à grain fin : données brutes.  
 Fine-grain flint flakes : absolute numbers.

MÉTHODE DE RECHERCHE ANALYTIQUE DES TECHNIQUES DE TAILLE				SITE MUREYBET							
TABLEAU RÉCAPITULATIF DES MODALITÉS DE CARACTÈRES ET DE LEUR DEGRÉ DE SIGNIFICATION DANS LA RECHERCHE SUR UN SUPPORT, DE SA TECHNIQUE DE TAILLE				ÉCLATS		F					
				POURCENTAGES							
CARACTÈRES MORPHOLOGIQUES		CODE INFORM.	MODALITÉS DE CARACTÈRES	1	2	3	4	5	6	7	
PARTIE PROXIMALE	• TALON	60	1	LISSE	62,7	59,7	52,3	70,5	47,2	41,9	58,3
			2	ÉCRASÉ	9,3	18,0	14,0	13,7	15,7	13,7	9,6
		4	3	PUNCTIFORME	13,7	5,0	13,2	5,3	13,0	22,2	12,7
			4	DIÈDRE	1,9	5,7	3,4	2,1	4,6	8,5	1,7
		6	5	FACETTÉ	0,0	9,3	3,0	2,1	5,5	4,3	7,0
			6	FILIFORME	1,2	0,0	0,7	0,0	4,6	1,7	4,8
		8	7	CORTICAL	11,2	1,4	7,9	6,3	6,5	6,8	5,3
			8	ÉVERSE	0,0	0,7	5,6	0,0	2,8	0,3	0,4
	61	0	SANS	93,1	82,7	99,7	79,1	100,0	100,0	97,5	
		1	AVEC LÈVRE	6,9	17,3	10,3	20,9	0,0	0,0	3,5	
62	0	SANS	82,7	78,0	76,3	67,7	69,4	70,1	64,0		
	1	CÔTÉ SURF. DÉBITÉE	17,3	22,0	23,7	32,3	30,6	29,9	36,0		
	3	CÔTÉ PLAN DE FRAPPE DES DEUX CÔTÉS									
63	0	SANS	66,7	69,5	63,2	60,4	63,0	61,5	48,9		
	1	AVEC PT D'IMPACT	33,3	30,5	36,8	39,6	37,0	38,5	56,1		
PARTIE DISTALE	• EXTRÉMITÉ DISTALE	69	1	POINTUE	26,9	25,9	28,1	22,0	20,9	5,0	3,7
			2	ARRONDIE	70,3	66,9	71,9	76,3	62,7	72,5	69,8
		76	3	IRRÉGULIÈRE	2,3	7,2	0,0	1,1	16,4	22,5	26,5
	• TYPE D'ANOMALIE DISTALE	76	0	SANS	86,3	79,1	79,7	79,1	89,5	66,2	70,4
			1	OUTREPASSÉE	0,0	0,0	0,8	2,2	0,0	1,3	0,0
			2	RÉFLÉCHIE	9,2	16,5	12,0	15,4	10,4	30,0	21,0
3	A BOURRELETS	4,6	4,3	7,4	3,3	0,0	2,5	1,4			
BORDS	• BORDS	71	1	PARALLÈLES	36,9	56,8	43,8	31,3	23,9	28,8	12,3
			2	CONVERGENTS	24,9	35,3	32,2	53,8	28,4	20,0	31,5
			3	DIVERGENTS	33,1	6,5	22,7	5,5	23,9	21,3	16,0
			4	IRRÉGULIERS	3,1	1,4	1,2	8,8	17,9	30,0	40,1
FACE D'ÉCLATEMENT	• BULBE	67	1	SAILLANT	80,0	30,9	68,2	33,0	44,8	75,0	54,3
			2	DIFFUS	17,7	23,0	30,2	18,7	47,8	18,8	40,1
			3	ÉCAILLÉ	2,3	46,1	1,4	48,4	7,5	6,3	5,6
	• COURBURE MAXIMALE	65	1	PROXIMALE	41,5	12,9	39,3	30,8	32,8	7,5	16,0
			2	DISTALE	56,9	25,9	58,3	38,5	47,8	61,3	59,9
			3	INDEFINIE	1,5	61,2	2,5	30,8	19,4	31,3	24,1
	66	1	CONCAVE	46,9	32,4	56,2	42,9	41,8	45,0	61,7	
2		CONVEXE	19,8	24,5	19,0	29,7	14,9	25,0	14,2		
3		PLAT	11,5	32,4	12,0	15,4	13,4	12,5	8,6		
4		TORSE	26,2	7,2	12,4	12,1	23,9	15,0	9,9		
5	IRRÉGULIER	1,5	3,6	0,4	0,0	6,0	2,5	5,6			
FACE SUPÉRIEURE	• DISPOSITION DES NÉGATIFS D'ENLEVEMENTS	72	0	SANS	2,3	13,7	6,6	9,8	3,0	7,5	2,5
			1	PARALLÈLES IDENTIQUES	52,3	47,5	64,0	57,1	41,9	37,5	34,0
			2	PARALLÈLES INVERSES	3,8	3,6	4,1	1,1	3,0	1,3	2,5
			3	ORTHOGONAUX	0,8	5,8	7,4	6,6	9,0	5,0	4,3
			4	CROISÉS	0,0	1,4	0,0	0,0	1,5	0,0	0,0
			5	CENTRIPÈTES	0,8	4,3	0,4	0,0	10,4	3,8	24,7
			6	UNIQUES	8,5	1,4	7,9	12,1	13,4	11,3	4,9
			7	MULTIPLÉS	26,9	7,2	1,2	1,1	13,4	25,0	13,6
			8	DIVERGENTS	0,0	0,7	0,0	0,0	1,5	0,0	0,6
	9	INCERTAINS	4,6	14,4	8,3	13,2	3,0	8,8	13,0		
	73	1	IDENTIQUE	55,9	54,2	71,7	68,6	58,5	51,3	39,9	
		2	PERPENDICULAIRE	7,1	4,2	4,4	2,3	3,1	1,3	2,5	
		3	INCLINÉE	0,0	2,5	5,3	7,0	7,7	5,4	3,2	
		4	OPOSÉE	1,6	0,8	0,4	1,2	0,0	0,0	0,0	
		5	SANS	30,7	21,7	9,3	7,0	27,3	31,1	41,1	
6		INCERTAINE	4,7	16,7	8,8	13,9	3,1	10,8	13,3		
74	1	SAILLANTES	30,0	20,1	38,0	20,9	27,3	31,3	41,4		
	2	DIFFUSES	62,3	48,9	52,9	57,1	53,7	58,8	53,7		
	3	SANS	7,7	30,9	9,1	22,0	9,0	10,0	5,0		
33	0	SANS	54,6	56,1	46,7	47,2	45,3	61,2	64,8		
	1	PROXIMAL	4,6	5,0	2,5	5,3	6,0	3,7	1,8		
	2	MÉSIAL	2,3	7,2	2,5	2,2	3,0	1,2	1,8		
	3	DISTAL	16,9	12,2	17,8	16,5	22,4	6,2	13,6		
	4	SUR LA TOTALITÉ	2,3	12,2	7,8	9,9	3,0	7,5	2,5		
	6	LATÉRAL GAUCHE	10,0	3,6	7,8	8,8	14,9	10,0	7,4		
6	LATÉRAL DROIT	9,2	3,6	14,9	12,1	7,5	10,0	8,0			

Tableau 4 - Eclats en silex à grain fin : pourcentages.

Fine-grain flint flakes : percentages.



MÉTHODE DE RECHERCHE ANALYTIQUE DES TECHNIQUES DE TAILLE				SITE MUREYBET								
TABLEAU RÉCAPITULATIF DES MODALITÉS DE CARACTÈRES ET DE LEUR DEGRÉ DE SIGNIFICATION DANS LA RECHERCHE SUR UN SUPPORT, DE SA TECHNIQUE DE TAILLE				ÉCLATS		G						
				DONNÉES BRUTES								
CARACTÈRES MORPHOLOGIQUES		CODE INFORM.	MODALITÉS DE CARACTÈRES	1	2	3	4	5	6	7		
PARTIE PROXIMALE	• TALON	60	1	LISSE	166	93	74	81	152	67	63	
			2	ÉCRASÉ	49	24	17	15	77	18	31	
		3	PUNCTIFORME	23	7	11	5	33	16	11		
		4	DIÈDRE	12	7	3	2	11	3	4		
		5	FACETTÉ	2	2	1	1	6	2	4		
		6	FILIFORME	1	0	1	0	20	1	3		
		7	CORTICAL	6	1	3	3	21	7	3		
		8	ÉVERSE	3	3	9	1	9	10	0		
		• LÈVRE	61	0	SANS	209	103	76	67	210	81	102
				1	AVEC LÈVRE	15	35	16	31	10	8	2
	• PRÉPARATION DE L'ANGLE DE CHASSE	62	0	SANS	203	109	91	78	207	78	92	
			1	CÔTÉ SURF. DÉBITÉE	59	31	28	30	122	46	32	
			2	CÔTÉ PLAN DE FRAPPE								
	• POINT D'IMPACT	63	0	SANS	167	85	70	67	211	76	66	
			1	AVEC PT D'IMPACT	95	55	49	41	118	48	58	
PARTIE DISTALE	• EXTRÉMITÉ DISTALE	69	1	POINTUE	43	27	34	23	27	5	2	
			2	ARRONDIE	179	106	58	74	165	66	72	
			3	IRRÉGULIÈRE	3	5	0	1	28	18	30	
	• TYPE D'ANOMALIE DISTALE	76	0	SANS	176	103	77	85	181	71	73	
			1	OUTREPASSÉE	0	0	0	0	5	0	0	
			2	RÉFLÉCHIE	39	30	13	9	30	15	22	
	A BOURRELETS		3		9	5	2	5	4	3	9	
BORDS	• BORDS	71	1	PARALLÈLES	71	77	36	33	51	34	18	
			2	CONVERGENTS	49	47	35	53	44	15	43	
			3	DIVERGENTS	101	13	21	7	82	14	13	
			4	IRRÉGULIERS	3	1	0	5	43	26	30	
FACE D'ÉCLATEMENT	• BULBE	67	1	SAILLANT	166	53	66	38	120	50	68	
			2	DIFFUS	54	39	26	25	78	24	18	
			3	ÉCAILLÉ	4	46	0	35	22	15	18	
	• COURBURE MAXIMALE	65	1	PROXIMALE	57	8	32	18	40	15	14	
			2	DISTALE	163	43	58	58	130	55	45	
	• PROFIL	66	3	INDÉFINIE	4	87	2	22	41	10	45	
			1	CONCAVE	112	57	53	45	105	34	37	
			2	CONVEXE	43	40	20	25	30	10	23	
3			PLAT	29	27	7	15	41	21	13		
4			TORSE	45	9	12	12	36	21	17		
5	IRRÉGULIER	1	5	0	1	8	3	14				
FACE SUPÉRIEURE	• DISPOSITION DES NÉGATIFS D'ENLEVEMENTS	72	0	SANS	7	16	2	3	8	4	11	
			1	PARALLÈLES IDENTIQUES	121	63	59	59	91	43	41	
			2	PARALLÈLES INVERSES	5	7	3	1	13	2	1	
			3	ORTHOGONAUX	3	6	7	6	7	4	2	
			4	CROISÉS	0	2	0	0	3	0	0	
			5	CENTRIPÈTES	3	8	1	0	28	3	11	
			6	UNIQUES	6	3	9	10	22	10	12	
			7	MULTIPLÉS	75	8	3	1	24	18	9	
			8	DIVERGENTS	0	0	0	0	0	0	0	
	9	INCERTAINS	4	25	8	18	24	5	17			
	• ORIENTATION DES NÉGATIFS PAR RAPPORT AU SENS D'EXTRACTION DU SUPPORT	73	1	IDENTIQUE	123	68	59	61	106	55	46	
			2	PERPENDICULAIRE	8	4	6	3	12	3	5	
			3	INCLINÉE	0	0	7	6	6	0	1	
			4	OPPOSÉE	0	0	1	0	5	0	1	
			5	SANS	82	25	9	9	63	19	20	
			6	INCERTAINE	4	25	8	18	20	8	20	
• NERVURES	74	1	SAILLANTES	114	34	40	33	107	56	68		
		2	DIFFUSES	98	59	47	45	98	27	24		
		3	SANS	12	45	5	20	15	6	12		
• EMBLEMMENT DU CORTEX.	33	0	SANS	137	80	64	60	124	50	51		
		1	PROXIMAL	6	5	0	2	11	4	2		
		2	MÉSIAL	2	3	1	1	4	1	4		
		3	DISTAL	36	15	13	16	39	17	16		
		4	SUR LA TOTALITÉ	7	18	3	2	8	4	11		
		5	LATÉRAL GAUCHE	17	6	5	7	18	7	9		
6	LATÉRAL DROIT	19	11	6	10	16	6	11				

Tableau 5 - Eclats en silex à grain grossier: données brutes.

Coarse-grain flint flakes: absolute numbers.



MÉTHODE DE RECHERCHE ANALYTIQUE DES TECHNIQUES DE TAILLE				SITE <b>MUREYBET</b>						
TABLEAU RÉCAPITULATIF DES MODALITÉS DE CARACTÈRES ET DE LEUR DEGRÉ DE SIGNIFICATION DANS LA RECHERCHE SUR UN SUPPORT, DE SA TECHNIQUE DE TAILLE				LAMES		F.G				
				DONNÉES BRUTES						
CARACTÈRES MORPHOLOGIQUES		CODE INFORM.	MODALITÉS DE CARACTÈRES	1	2	3	4	5	6	7
PARTIE PROXIMALE	• TALON	60	1 LISSE	143	63	104	107	76	48	52
			2 ECRASÉ	86	61	78	45	59	30	30
			3 PUNCTIFORME	258	78	176	74	109	118	91
			4 DIÈDRE	0	1	1	1	4	1	1
			5 FACETTÉ	0	3	0	0	3	2	2
			6 FILIFORME	23	8	7	9	16	25	17
			7 CORTICAL	11	2	14	3	16	7	9
			8 ÉVERSEE	11	2	16	4	17	3	0
	• LÈVRE	61	0 SANS	169	77	146	93	93	59	68
			1 AVEC LÈVRE	26	14	19	17	9	2	4
• PRÉPARATION DE L'ANGLE DE CHASSE	62	0 SANS	196	102	131	69	118	72	59	
		1 CÔTÉ SURF. DÉBITÉE	346	115	265	171	197	162	143	
		2 CÔTÉ PLAN DE FRAPPE								
3 DES DEUX CÔTÉS										
• POINT D'IMPACT	63	0 SANS	475	191	357	208	281	207	165	
		1 AVEC PT D'IMPACT	57	26	39	32	34	27	37	
PARTIE DISTALE	• EXTRÉMITÉ DISTALE	69	1 POINTUE	90	46	82	58	57	25	39
			2 ARRONDIE	101	42	82	52	33	32	31
			3 IRRÉGULIÈRE	4	3	1	0	12	4	2
	• TYPE D'ANOMALIE DISTALE	76	0 SANS	168	70	144	98	96	46	58
			1 OUTREPASSÉE	0	3	0	1	0	1	0
			2 RÉFLÉCHIE	26	15	16	9	6	12	12
3 A BOURRELETS	1	3	5	2	0	2	2			
BORDS	• BORDS	71	1 PARALLÈLES	136	84	123	107	65	41	40
			2 CONVERGENTS	42	5	32	3	13	9	6
			3 DIVERGENTS	12	1	6	0	1	1	1
			4 IRRÉGULIERS	5	1	4	0	23	10	25
FACE D'ÉCLATEMENT	• BULBE	67	1 SAILLANT	75	20	89	45	30	10	15
			2 DIFFUS	110	28	67	24	58	35	45
			3 ÉCAILLÉ	10	43	9	41	14	7	12
	• COURBURE MAXIMALE	65	1 PROXIMALE	184	31	145	95	95	51	63
			2 DISTALE	10	13	20	13	1	4	3
	• PROFIL	66	0 INDEFINIE	1	47	0	2	6	6	6
			1 CONCAVE	31	24	45	30	10	5	4
			2 CONVEXE	2	2	4	2	2	1	0
			3 PLAT	47	31	32	32	27	28	21
			4 TORSE	115	31	84	46	62	25	42
5 IRRÉGULIER	0	3	0	0	1	2	5			
FACE SUPÉRIÈRE	• DISPOSITION DES NÉGATIFS D'ENLEVEMENTS	72	0 SANS	2	1	0	1	1	0	0
			1 PARALLÈLES IDENTIQUES	154	74	134	93	85	51	34
			2 PARALLÈLES INVERSES	5	8	7	2	3	6	20
			3 ORTHOGONAUX	2	2	8	7	3	2	8
			4 CROISÉS	0	1	0	0	0	0	0
			5 CENTRIPÈTES	0	0	0	0	1	0	0
			6 UNIQUES	1	0	2	1	0	1	0
			7 MULTIPLES	23	2	0	1	2	0	2
			8 DIVERGENTS	1	0	2	1	6	1	1
	9 INCERTAINS	7	3	12	4	1	0	7		
	• ORIENTATION DES NÉGATIFS PAR RAPPORT AU SENS D'EXTRACTION DU SUPPORT	73	1 IDENTIQUE	159	80	121	95	93	59	62
			2 PERPENDICULAIRE	2	1	2	2	3	1	1
			3 INCLINÉE	0	1	22	2	0	0	0
			4 OPPOSÉE	0	0	0	0	1	1	0
			5 SANS	25	6	8	7	4	0	2
			6 INCERTAINE	7	3	12	4	1	0	7
	• NERVURES	74	1 SAILLANTES	49	11	34	16	33	30	38
			2 DIFFUSES	140	75	129	89	68	31	34
3 SANS			7	5	2	5	1	0	0	
• EMBLEMMENT DU CORTEX.	33	0 SANS	156	65	131	90	70	49	60	
		1 PROXIMAL	2	2	3	5	4	2	2	
		2 MÉDIAL	0	2	0	1	0	1	0	
		3 DISTAL	6	12	11	6	13	4	4	
		4 SUR LA TOTALITÉ	3	1	0	1	1	0	0	
		5 LATÉRAL GAUCHE	16	4	9	5	8	2	2	
6 LATÉRAL DROIT	12	5	11	2	6	3	4			

Tableau 7 - LAMES: données brutes.

BLADES: absolute numbers.

MÉTHODE DE RECHERCHE ANALYTIQUE DES TECHNIQUES DE TAILLE				SITE								
TABLEAU RÉCAPITULATIF DES MODALITÉS DE CARACTÈRES ET DE LEUR DEGRÉ DE SIGNIFICATION DANS LA RECHERCHE SUR UN SUPPORT, DE SA TECHNIQUE DE TAILLE				MUREYBET								
				LAMES		F+G						
				POURCENTAGES								
CARACTÈRES MORPHOLOGIQUES		CODE INFORM.	MODALITÉS DE CARACTÈRES	1	2	3	4	5	6	7		
PARTIE PROXIMALE	• TALON	60	1	LISSE	36,9	38,9	26,3	44,0	25,3	20,5	25,7	
			2	ÉCRASÉ	16,2	28,0	19,7	18,6	19,7	12,8	14,8	
		3	5	PUNCTIFORME	48,5	35,8	44,4	30,4	36,3	50,4	45,0	
			4	D'ÈDRE	0,0	0,5	0,2	0,4	1,3	0,4	0,5	
		4	5	FACETTÉ	0,0	1,4	0,0	0,0	1,0	0,8	1,0	
			6	FILIFORME	4,3	3,7	1,8	3,7	5,3	10,7	8,4	
		5	6	CORTICAL	2,1	0,9	3,5	1,2	5,3	3,0	4,5	
			7	ÉVERSE	2,1	0,9	4,0	1,6	5,8	1,3	0,0	
	6	• LÈVRE	61	0	SANS	86,7	84,6	88,5	84,6	91,2	36,7	94,4
				1	AVEC LÈVRE	12,3	15,4	11,5	15,4	8,8	3,3	5,6
	7	• PRÉPARATION DE L'ANGLE DE CHASSE	62	0	SANS	35,0	47,0	33,1	28,8	37,5	30,5	29,2
				1	CÔTÉ SURF. DÉBITÉE	65,0	53,0	66,9	71,2	62,5	69,5	70,8
2				CÔTÉ PLAN DE FRAPPE								
3				DES DEUX CÔTÉS								
8	• POINT D'IMPACT	63	0	SANS	89,3	88,0	90,2	86,7	89,2	88,5	81,7	
			1	AVEC PT D'IMPACT	10,7	12,0	9,8	13,3	10,8	11,5	18,3	
PARTIE DISTALE	• EXTRÉMITÉ DISTALE	69	1	POINTUE	46,2	50,5	49,7	52,7	55,9	41,0	54,2	
			2	ARRONDIE	51,8	46,2	49,7	47,3	32,4	52,5	43,1	
			3	IRRÉGULIÈRE	2,1	3,3	0,6	0,0	11,8	6,2	2,8	
	76	• TYPE D'ANOMALIE DISTALE	0	SANS	86,2	76,9	87,3	89,1	94,1	75,4	80,6	
				1	OUTREPASSÉE	0,0	3,3	0,0	0,0	0,0	1,6	0,0
				2	RÉFLÉCHIE	13,3	16,5	9,7	8,2	5,9	19,7	16,7
3	A BOURRELETS	3	0	0,5	3,3	3,0	1,8	0,0	3,3	2,8		
			3									
BORDS	• BORDS	71	1	PARALLÈLES	69,7	92,3	74,5	87,3	63,7	67,2	55,6	
			2	CONVERGENTS	21,5	5,5	19,4	2,7	12,7	14,8	8,3	
			3	DIVERGENTS	6,2	1,1	3,6	0,0	1,0	1,6	1,4	
			4	IRRÉGULIERS	2,6	1,1	2,4	0,0	22,5	16,4	34,7	
FACE D'ÉCLATEMENT	• BULBE	67	1	SAILLANT	39,5	22,0	53,9	40,9	29,4	31,1	20,8	
			2	DIFFUS	56,4	30,8	40,6	21,8	56,9	57,4	62,5	
			3	ÉCAILLÉ	5,1	47,3	5,4	37,3	13,7	11,5	16,7	
	• COURBURE MAXIMALE	65	1	PROXIMALE	94,4	34,1	87,9	86,4	93,1	83,6	87,5	
				2	DISTALE	5,1	14,3	12,1	11,8	1,0	6,6	4,2
				3	INDÉFINIE	0,5	51,6	0,0	1,8	5,9	9,9	9,3
	• PROFIL	66	1	CONCAVE	15,9	26,4	27,3	27,3	9,8	8,2	5,6	
				2	CONVEXE	1,0	2,2	2,4	1,8	2,0	1,6	0,0
			3	PLAT	24,1	34,1	19,4	29,1	26,5	45,9	29,2	
				4	TORSE	59,0	34,1	50,9	41,8	60,8	41,0	58,3
5			IRRÉGULIER	0,0	3,3	0,0	0,0	1,0	3,3	6,9		
FACE SUPÉRIÈRE	• DISPOSITION DES NÉGATIFS D'ENLEVEMENTS	72	0	SANS	1,0	1,1	0,0	0,9	1,0	0,0	0,0	
			1	PARALLÈLES BENTIQUES	79,0	81,3	81,2	84,5	83,3	83,6	47,2	
			2	PARALLÈLES INVERSES	2,6	8,8	4,2	1,8	2,9	9,8	27,8	
			3	ORTHOGONAUX	1,0	2,2	4,8	6,4	2,9	3,3	11,1	
			4	CROISÉS	0,0	1,1	0,0	0,0	0,0	0,0	0,0	
			5	CENTRIPÈTES	0,0	0,0	0,0	0,0	1,0	0,0	0,0	
			6	UNIQUES	0,5	0,0	1,2	0,9	0,0	1,6	0,0	
			7	MULTIPLES	11,8	2,2	0,0	0,9	2,0	0,0	2,8	
			8	DIVERGENTS	0,5	0,0	1,2	0,9	5,9	1,6	1,4	
	9	INCERTAINS	3,6	3,3	7,3	3,6	1,0	0,0	9,7			
	• ORIENTATION DES NÉGATIFS PAR RAPPORT AU SENS D'EXTRACTION DU SUPPORT	73	1	IDENTIQUE	81,5	87,9	73,3	86,4	91,2	96,7	86,1	
				2	PERPENDICULAIRE	1,0	1,1	1,2	1,8	2,9	1,6	1,4
				3	INCLINÉE	0,0	1,1	13,3	1,8	0,0	0,0	0,0
				4	OPPOSÉE	0,0	0,0	0,3	0,0	1,0	1,6	0,0
				5	SANS	13,8	6,6	4,8	6,4	3,9	0,0	2,8
				6	INCERTAINE	3,6	3,3	7,3	3,6	1,0	0,0	9,7
	• NERVURES	74	1	SAILLANTES	24,6	12,1	20,6	14,5	32,4	49,2	52,8	
				2	DIFFUSES	71,8	82,4	78,2	80,9	66,7	50,8	47,2
3				SANS	3,6	5,5	1,7	4,5	1,0	0,0	0,0	
• EMBLACEMENT DU CORTEX.	33	0	SANS	80,0	71,4	79,4	81,8	68,6	80,3	83,3		
			1	PROXIMAL	1,0	2,2	1,8	4,5	3,9	3,3	2,8	
			2	MÉSIAL	0,0	2,2	0,0	0,9	0,0	1,6	0,0	
			3	DISTAL	3,1	13,2	6,7	5,4	12,7	6,6	5,5	
			4	SUR LA TOTALITÉ	1,5	1,1	0,0	0,9	1,0	0,0	0,0	
			5	LATÉRAL GAUCHE	8,2	4,4	5,4	4,5	7,8	3,3	2,8	
6	LATÉRAL DROIT	6,1	5,5	6,7	1,8	5,9	4,9	5,5				

Tableau 8 - LAMES : pourcentages.  
BLADES : percentages.

MÉTHODE DE RECHERCHE ANALYTIQUE DES TECHNIQUES DE TAILLE				SITE MUREYBET							
TABLEAU RÉCAPITULATIF DES MODALITÉS DE CARACTÈRES ET DE LEUR DEGRÉ DE SIGNIFICATION DANS LA RECHERCHE SUR UN SUPPORT, DE SA TECHNIQUE DE TAILLE				LAMES		F					
				DONNÉES BRUTES							
CARACTÈRES MORPHOLOGIQUES		CODE INFORM.	MODALITÉS DE CARACTÈRES	1	2	3	4	5	6	7	
PARTIE PROXIMALE	• TALON	60	1	LISSE	64	47	65	65	30	18	22
			2	ÉCRASÉ	64	44	66	32	34	23	24
			3	PUNCTIFORME	221	68	154	45	83	107	86
			4	DIÈDRE	0	0	1	1	3	1	1
			5	FACETTÉ	0	3	0	0	3	2	2
			6	FILIFORME	19	8	1	4	10	20	15
			7	CORTICAL	10	2	13	2	16	6	6
			8	ÉVERSE	2	0	11	0	7	1	0
	• LÈVRE	61	0	SANS	109	60	128	64	55	32	41
			1	AVEC LÈVRE	11	8	14	11	2	0	3
	• PRÉPARATION DE L'ANGLE DE CHASSE	62	0	SANS	113	64	85	33	66	46	39
			1	CÔTÉ SURF. DÉBITÉE	267	107	226	113	125	132	117
2			CÔTÉ PLAN DE FRAPPE								
• POINT D'IMPACT	63	0	SANS	364	154	294	137	179	175	145	
		1	AVEC PT D'IMPACT	16	17	17	5	12	3	11	
PARTIE DISTALE	• EXTRÉMITÉ DISTALE	69	1	POINTUE	55	30	71	42	37	13	25
			2	ARRONDIE	65	35	70	33	14	16	17
			3	IRRÉGULIÈRE	0	3	1	0	6	3	2
	• TYPE D'ANOMALIE DISTALE	76	0	SANS	106	51	122	68	53	22	36
			1	OUTREPASSÉE	0	2	0	1	0	1	0
			2	RÉFLÉCHIE	14	13	15	5	4	7	7
3	A BOURRELETS	0	2	5	1	0	2	1			
BORDS	• BORDS	71	1	PARALLÈLES	87	64	104	75	33	22	22
			2	CONVERGENTS	22	3	28	0	10	5	5
			3	DIVERGENTS	10	0	6	0	1	1	1
			4	IRRÉGULIERS	1	1	4	0	13	4	16
FACE D'ÉCLATEMENT	• BULBE	67	1	SAILLANT	40	16	75	33	13	7	4
			2	DIFFUS	74	19	58	17	36	24	34
			3	ÉCAILLÉ	6	33	9	25	8	1	6
	• COURBURE MAXIMALE	65	1	PROXIMALE	111	21	116	65	53	26	39
			2	DISTALE	9	10	16	8	0	3	2
			3	INDÉFINIE	0	37	0	2	4	3	3
	• PROFIL	66	1	CONCAVE	24	19	41	21	6	4	3
			2	CONVEXE	0	2	3	2	1	1	0
			3	PLAT	27	19	26	19	11	17	12
4			TORSE	69	25	72	33	39	10	27	
5			IRRÉGULIER	0	3	0	0	0	0	2	
FACE SUPÉRIÈURE	• DISPOSITION DES NÉGATIFS D'ENLEVEMENTS	72	0	SANS	2	0	0	1	1	0	0
			1	PARALLÈLES IDENTIQUES	98	55	116	63	48	26	16
			2	PARALLÈLES INVERSES	4	7	6	2	1	3	18
			3	ORTHOCONAUX	1	1	6	4	2	2	4
			4	CROISÉS	0	1	0	0	0	0	0
			5	CENTRIPÈTES	0	0	0	0	1	0	0
			6	UNIQUES	1	0	2	0	0	0	0
			7	MULTIPLÉS	13	2	0	1	0	0	2
			8	DIVERGENTS	0	0	2	1	3	1	1
	9	INCERTAINS	1	2	10	3	1	0	3		
	• ORIENTATION DES NÉGATIFS PAR RAPPORT AU SENS D'EXTRACTION DU SUPPORT	73	1	IDENTIQUE	102	64	105	64	52	30	38
			2	PERPENDICULAIRE	1	1	2	2	1	1	1
			3	INCLINÉE	0	0	19	2	0	0	0
			4	OPPOSÉE	0	0	0	0	1	1	0
			5	SANS	14	4	6	4	1	0	2
			6	INCERTAINE	1	2	10	3	1	0	3
	• NERVURES	74	1	SAILLANTES	9	7	25	3	13	7	15
			2	DIFFUSES	108	58	116	69	43	25	29
3			SANS	3	3	1	3	1	0	0	
• EMBLEMEMENT DU CORTEX.	33	0	SANS	96	48	112	61	37	27	38	
		1	PROXIMAL	1	0	3	3	4	1	1	
		2	MÉSIAL	0	2	0	1	0	0	0	
		3	DISTAL	2	10	8	4	6	2	2	
		4	SUR LA TOTALITÉ	2	0	0	1	1	0	0	
		5	LATÉRAL GAUCHE	10	4	8	3	5	1	1	
6	LATÉRAL DROIT	9	4	11	2	4	1	2			

Tableau 9 - Lames en silex à grain fin : données brutes.

Fine-grain flint blades : absolute numbers.

MÉTHODE DE RECHERCHE ANALYTIQUE DES TECHNIQUES DE TAILLE				SITE							
TABLEAU RÉCAPITULATIF DES MODALITÉS DE CARACTÈRES ET DE LEUR DEGRÉ DE SIGNIFICATION DANS LA RECHERCHE SUR UN SUPPORT, DE SA TECHNIQUE DE TAILLE				MUREYBET							
				LAMES			F				
				POURCENTAGES							
CARACTÈRES MORPHOLOGIQUES		CODE INFORM.	MODALITÉS DE CARACTÈRES	1	2	3	4	5	6	7	
PARTIE PROXIMALE	• TALON	60	1	LISSE	16,8	26,7	20,9	43,6	16,1	10,1	14,1
			2	ÉCRASÉ	58,2	25,6	21,2	21,5	18,3	12,9	15,4
			3	PUNCTIFORME	0,0	0,0	0,3	0,7	1,6	0,6	0,6
			4	DIÈDRE	0,0	1,7	0,0	0,0	1,6	1,1	1,3
			5	PACETTÉ	5,0	4,6	0,3	2,7	5,4	11,2	9,6
			6	FILIFORME	3,6	1,2	4,2	1,3	8,6	3,4	3,8
			7	CORTICAL	0,5	0,0	3,5	0,0	3,8	0,6	0,0
			8	ÉVERSE	9,0	8,2	9,0	8,3	9,6	10,0	9,3
	• LÈVRE	61	0	SANS	9,2	11,8	9,9	14,7	3,5	0,0	6,8
			1	AVEC LÈVRE	29,7	37,4	27,3	22,6	34,6	25,8	25,0
• PRÉPARATION DE L'ANGLE DE CHASSE	62	0	SANS	70,3	62,6	72,7	77,4	65,4	74,2	75,0	
		1	CÔTÉ SURF. DÉBITÉE								
		2	CÔTÉ PLAN DE FRAPPE								
• POINT D'IMPACT	63	0	SANS	95,8	90,1	94,5	93,8	93,7	98,3	93,0	
		1	AVEC PT D'IMPACT	4,2	9,9	5,5	6,2	6,3	1,7	7,0	
PARTIE DISTALE	• EXTRÉMITÉ DISTALE	69	1	POINTUE	45,8	44,1	50,0	56,0	64,9	40,6	56,8
			2	ARRONDIE	54,2	51,5	49,3	44,0	24,6	50,0	38,6
			3	IRRÉGULIÈRE	0,0	4,4	0,7	0,0	10,5	9,4	4,5
	• TYPE D'ANOMALIE DISTALE	76	0	SANS	81,3	75,0	83,9	90,7	93,0	68,8	81,8
			1	OUTREPASSÉE	0,0	2,9	0,0	1,3	0,0	3,1	0,0
			2	RÉFLÉCHIE	11,7	19,1	10,6	6,7	7,0	21,9	15,9
A BOURRELETS	76	3		0,0	2,9	3,5	1,3	0,0	6,3	2,3	
BORDS	• BORDS	71	1	PARALLÈLES	72,5	94,1	73,2	100,0	57,9	68,8	50,0
			2	CONVERGENTS	19,3	4,4	19,7	0,0	17,5	15,6	11,4
			3	DIVERGENTS	9,3	0,0	4,2	0,0	1,8	3,1	2,3
			4	IRRÉGULIERS	0,8	1,5	2,8	0,0	22,8	12,5	36,4
FACE D'ÉCLATEMENT	• BULBE	67	1	SAILLANT	33,3	23,5	52,8	44,0	22,8	21,9	9,1
			2	D'IFFUS	61,7	27,9	40,8	22,7	63,2	75,0	77,3
			3	ÉCAILLÉ	5,0	48,5	6,3	33,4	14,0	3,1	13,6
	• COURBURE MAXIMALE	65	1	PROXIMALE	92,5	30,9	88,7	86,7	93,0	81,3	88,6
			2	DISTALE	7,5	14,7	11,3	10,7	0,0	9,4	4,5
			3	INDÉFINIE	0,0	54,4	0,0	2,7	7,0	9,4	6,8
	• PROFIL	66	1	CONCAVE	20,0	27,9	28,9	28,0	10,5	12,5	6,8
			2	CONVEXE	0,0	2,9	2,1	2,7	1,8	3,1	0,0
			3	PLAT	22,5	27,9	18,3	25,3	19,3	53,1	27,3
			4	TORSE	57,5	36,8	50,7	44,0	68,4	31,3	61,4
5			IRRÉGULIER	0,0	4,4	0,0	0,0	0,0	0,0	4,5	
FACE SUPÉRIÈRE	• DISPOSITION DES NÉGATIFS D'ENLEVEMENTS	72	0	SANS	1,2	0,0	0,0	1,3	1,8	0,0	0,0
			1	PARALLÈLES IDENTIQUES	81,7	81,9	81,7	84,0	84,2	81,3	36,4
			2	PARALLÈLES INVERSES	3,3	10,3	4,2	2,7	1,8	9,4	40,9
			3	ORTHOGONAUX	0,8	1,5	4,2	5,3	3,5	6,3	9,7
			4	CROISÉS	0,0	1,5	0,0	0,0	0,0	0,0	0,0
			5	CENTRIPÈTES	0,0	0,0	0,0	0,0	1,8	0,0	0,0
			6	UNIQUES	0,8	0,0	1,4	0,0	0,0	0,0	0,0
			7	MULTIPLES	10,8	2,9	0,0	1,3	0,0	0,0	4,3
			8	DIVERGENTS	0,0	0,0	1,4	1,3	5,3	3,1	2,3
			9	INCERTAINS	0,8	2,9	7,0	4,0	1,8	0,0	6,8
	• ORIENTATION DES NÉGATIFS PAR RAPPORT AU SENS D'EXTRACTION DU SUPPORT	73	1	IDENTIQUE	86,4	89,7	73,9	85,3	92,9	93,8	86,4
			2	PERPENDICULAIRE	0,8	1,5	1,4	2,7	1,8	3,1	2,3
			3	INCLINÉE	0,0	0,0	13,4	2,7	0,0	0,0	0,0
			4	OPOSÉE	0,0	0,0	0,0	0,0	1,8	3,1	0,0
			5	SANS	11,9	5,9	4,2	5,3	1,8	0,0	4,5
			6	INCERTAINE	0,8	2,9	7,0	4,0	1,8	0,0	6,8
	• NERVURES	74	1	SAILLANTES	7,5	10,3	17,6	4,0	22,8	21,9	34,1
			2	D'IFFUSES	90,0	85,3	81,7	92,0	75,4	78,1	65,9
3			SANS	2,5	4,4	0,7	4,0	1,8	0,0	0,0	
• EMBLACEMENT DU CORTEX.		33	0	SANS	80,0	70,6	78,9	81,3	64,9	84,4	86,4
			1	PROXIMAL	0,8	0,0	2,1	4,0	7,0	3,1	2,3
			2	MÉSIAL	0,0	2,9	0,0	1,3	0,0	0,0	0,0
			3	DISTAL	1,7	14,7	0,0	5,3	10,5	6,2	4,5
			4	SUR LA TOTALITÉ	8,3	5,9	5,6	4,0	8,8	3,1	2,3
			5	LATÉRAL GAUCHE	7,5	5,9	7,7	2,7	7,0	3,1	4,5
			6	LATÉRAL DROIT							

Tableau 10 - Lames en silex à grain fin : pourcentages.

Fine-grain flint blades : percentages.

MÉTHODE DE RECHERCHE ANALYTIQUE DES TECHNIQUES DE TAILLE				SITE						
TABLEAU RÉCAPITULATIF DES MODALITÉS DE CARACTÈRES ET DE LEUR DEGRÉ DE SIGNIFICATION DANS LA RECHERCHE SUR UN SUPPORT, DE SA TECHNIQUE DE TAILLE				MUREYBET						
				LAMES		G				
				DONNÉES BRUTES						
CARACTÈRES MORPHOLOGIQUES		CODE INFORM.	MODALITÉS DE CARACTÈRES	1	2	3	4	5	6	7
PARTIE PROXIMALE	• TALON	60	1 LISSE	79	16	39	42	46	30	30
			2 ECRASÉ	22	17	12	13	25	7	6
			3 PUNCTIFORME	37	10	22	29	26	11	5
			4 DIÈDRE	0	1	0	0	1	0	0
			5 FACETTÉ	0	0	0	0	0	0	0
			6 FILIFORME	4	0	6	5	6	5	2
			7 CORTICAL	1	0	1	1	0	1	3
			8 ÉVERSE	9	2	5	4	10	2	0
	• LÈVRE	61	0 SANS	60	17	18	29	38	27	27
			1 AVEC LÈVRE	15	6	5	6	7	2	1
	• PRÉPARATION DE L'ANGLE DE CHASSE	62	0 SANS	73	28	46	36	52	26	20
			1 CÔTÉ SURF. DÉBITÉE	79	18	39	58	72	30	26
2 CÔTÉ PLAN DE FRAPPE										
• POINT D'IMPACT	63	0 SANS	111	37	63	71	102	32	20	
		1 AVEC PT D'IMPACT	41	9	22	23	22	24	26	
PARTIE DISTALE	• EXTRÉMITÉ DISTALE	69	1 POINTUE	35	16	11	16	20	12	14
			2 ARRONDIE	36	7	12	19	19	16	14
			3 IRRÉGULIÈRE	4	0	0	0	6	1	0
	• TYPE D'ANOMALIE DISTALE	70	0 SANS	62	19	22	30	43	24	22
1 OUTREPASSÉE			0	1	0	0	0	0	0	
2 RÉFLÉCHIE			12	2	1	4	2	5	5	
3 A BOURRELETS	1	1	0	1	0	0	1			
BORDS	• BORDS	71	1 PARALLÈLES	49	20	19	32	32	19	18
			2 CONVERGENTS	20	2	4	3	3	4	1
			3 DIVERGENTS	2	1	0	0	0	0	0
			4 IRRÉGULIERS	4	0	0	0	10	6	9
FACE D'ÉCLATEMENT	• BULBE	67	1 SAILLANT	35	4	14	12	17	12	11
			2 DIFFUS	36	3	9	7	22	11	11
			3 ÉCAILLÉ	4	10	0	16	6	6	6
	• COURBURE MAXIMALE	65	1 PROXIMALE	73	10	19	30	42	25	24
			2 DISTALE	1	3	4	5	1	1	1
	• PROFIL	66	1 INDEFINIE	1	10	0	0	2	3	3
			2 CONCAVE	7	5	4	9	4	1	1
3 CONVEXE			2	0	1	0	1	0	0	
FACE SUPÉRIEURE	• DISPOSITION DES NÉGATIFS D'ENLEVEMENTS	72	0 PARALLÈLES IDENTIQUES	0	1	0	0	0	0	0
			1 PARALLÈLES INVERSES	56	19	18	30	37	25	18
			2 ORTHOGONAUX	1	1	1	0	2	3	2
			3 CROISÉS	1	1	2	3	1	0	4
4 CENTRIPÈTES			0	0	0	0	0	0	0	
5 UNIQUES			0	0	0	0	0	0	0	
6 MULTIPLES			0	0	0	1	0	1	0	
7 DIVERGENTS			40	0	0	0	2	0	0	
8 INCERTAINS			1	0	0	0	3	0	0	
9	6	1	2	1	0	0	4			
• ORIENTATION DES NÉGATIFS PAR RAPPORT AU SENS D'EXTRACTION DU SUPPORT	73	1 IDENTIQUE	57	19	16	31	41	23	24	
		2 PERPENDICULAIRE	1	0	0	0	2	0	0	
		3 INCLINÉE	0	1	3	0	0	0	0	
		4 OPPOSÉE	0	0	0	0	0	0	0	
		5 SANS	11	1	2	3	2	0	0	
		6 INCERTAINE	6	1	2	1	0	0	4	
• NERVURES	74	1 SAILLANTES	39	4	9	13	20	23	23	
		2 DIFFUSES	32	17	13	20	25	6	5	
		3 SANS	4	2	1	2	0	0	0	
• EMBLACEMENT DU CORTEX.	33	0 SANS	60	17	19	29	33	22	22	
		1 PROXIMAL	1	2	0	2	0	1	1	
		2 MÉDIAL	0	0	0	0	0	1	0	
		3 DISTAL	4	2	3	2	7	2	2	
		4 SUR LA TOTALITÉ	1	1	0	0	0	0	0	
		5 LATÉRAL GAUCHE	6	0	1	2	3	1	1	
6 LATÉRAL DROIT	3	1	0	0	2	2	2			

Tableau 11 - Lames en silex à grain grossier : données brutes.

Coarse-grain flint blades : absolute numbers.

MÉTHODE DE RECHERCHE ANALYTIQUE DES TECHNIQUES DE TAILLE				SITE							
TABLEAU RÉCAPITULATIF DES MODALITÉS DE CARACTÈRES ET DE LEUR DEGRÉ DE SIGNIFICATION DANS LA RECHERCHE SUR UN SUPPORT, DE SA TECHNIQUE DE TAILLE				MUREYBET							
				LAMES		G					
				POURCENTAGES							
CARACTÈRES MORPHOLOGIQUES		CODE INFORM.	MODALITÉS DE CARACTÈRES	1	2	3	4	5	6	7	
PARTIE PROXIMALE	• TALON	60	1	LISSE	52,0	34,8	45,9	44,7	40,3	53,6	65,2
			2	ÉCRASÉ	14,5	37,0	14,1	13,8	21,9	12,5	13,0
			3	PUNCTIFORME	24,3	21,7	25,9	30,8	22,8	19,6	10,9
			4	DIEDRE	0,0	2,2	0,0	0,0	0,9	0,0	0,0
			5	FACETTE	0,0	0,0	0,0	0,0	0,0	0,0	0,0
			6	FILIFORME	2,6	0,0	7,1	5,3	5,3	8,9	4,3
			7	CORTICAL	0,7	0,0	1,2	1,1	0,0	1,8	6,5
			8	ÉVERSE	5,9	4,3	5,9	4,2	8,9	3,6	0,0
	• LÈVRE	61	0	SANS	80,0	73,9	78,3	82,9	84,4	83,1	96,4
			1	AVEC LÈVRE	20,0	26,1	21,7	17,1	15,6	6,9	3,6
• PRÉPARATION DE L'ANGLE DE CHASSE	62	0	SANS	48,0	60,9	54,1	38,3	41,9	46,4	43,5	
		1	CÔTÉ SURF. DÉBITÉE	52,0	39,1	45,9	61,7	58,1	53,6	56,5	
		2	CÔTÉ PLAN = FRAPPE DES DEUX CÔTÉS								
• POINT D'IMPACT	63	0	SANS	73,0	80,4	74,1	75,5	82,3	59,1	43,5	
		1	AVEC PT D'IMPACT	27,0	19,6	25,9	24,5	17,7	42,9	56,5	
PARTIE DISTALE	• EXTRÉMITÉ DISTALE	69	1	POINTUE	46,7	69,6	47,8	45,7	44,4	41,4	50,0
			2	ARRONDIE	49,0	30,4	52,2	54,3	42,2	55,2	50,0
			3	IRRÉGULIÈRE	5,3	0,0	0,0	0,0	13,3	3,4	0,0
	• TYPE D'ANOMALIE DISTALE	70	0	SANS	82,7	82,6	95,7	85,7	95,6	82,8	78,6
			1	OUTREPASSÉE	0,0	4,3	0,0	0,0	0,0	0,0	0,0
			2	RÉFLECHIE	16,0	8,7	4,3	11,4	4,4	17,2	17,9
3	A BOURRELETS	1,3	4,3	0,0	2,9	0,0	0,0	3,6			
BORDS	• BORDS	71	1	PARALLÈLES	65,3	87,0	82,6	91,4	71,1	65,5	64,3
			2	CONVERGENTS	26,7	9,7	12,4	8,6	6,7	13,8	3,6
			3	DIVERGENTS	2,7	4,3	0,0	0,0	0,0	0,0	0,0
			4	IRRÉGULIERS	5,3	0,0	0,0	0,0	22,2	20,7	32,1
FACE D'ÉCLATEMENT	• BULBE	67	1	SAILLANT	46,7	77,4	60,9	34,3	37,8	41,4	39,3
			2	DIFFUS	48,0	39,1	39,1	20,0	48,9	37,9	35,3
			3	ÉCAILLÉ	5,3	43,4	0,0	45,7	13,3	20,7	21,4
	• COURBURE MAXIMALE	65	1	PROXIMALE	57,3	43,5	82,6	85,7	93,3	86,2	89,7
			2	DISTALE	1,3	13,0	17,4	14,3	2,2	3,4	3,6
	• PROFIL	66	1	CONCAVE	9,3	21,7	17,4	25,7	8,9	3,4	3,6
			2	CONVEXE	2,7	0,0	4,3	0,0	2,2	0,0	0,0
• PROFIL	66	3	PLAT	26,7	52,2	26,1	37,1	35,6	57,9	32,1	
		4	TORSE	61,3	26,1	52,2	37,1	51,1	51,7	53,6	
5	IRRÉGULIER	0,0	0,0	0,0	0,0	2,2	6,9	10,7			
FACE SUPÉRIÈRE	• DISPOSITION DES NÉGATIFS D'ENLEVEMENTS	72	0	SANS	0,0	4,3	4,0	0,0	0,0	0,0	0,0
			1	PARALLÈLES IDENTIQUES	74,7	82,6	78,3	85,7	82,2	86,2	64,3
			2	PARALLÈLES INVERSES	1,3	4,3	4,3	0,0	4,4	10,3	7,1
			3	ORTHOGONAUX	1,3	4,3	8,7	8,6	2,2	0,0	14,3
			4	CROISÉS	0,0	0,0	0,0	0,0	0,0	0,0	0,0
			5	CENTRIPÈTES	0,0	0,0	0,0	0,0	0,0	0,0	0,0
			6	UNIQUES	0,0	0,0	0,0	2,9	0,0	3,4	0,0
			7	MULTIPLÉS	13,3	0,0	0,0	0,0	4,4	0,0	0,0
			8	DIVERGENTS	1,3	0,0	0,0	0,0	6,7	0,0	0,0
	9	INCERTAINS	8,0	4,3	8,7	2,9	0,0	0,0	14,3		
	• ORIENTATION DES NÉGATIFS PAR RAPPORT AU SENS D'EXTRACTION DU SUPPORT	73	1	IDENTIQUE	76,0	86,4	69,6	88,6	91,1	100,0	85,7
			2	PERPENDICULAIRE	1,3	0,0	0,0	0,0	4,4	0,0	0,0
			3	INCLINÉE	0,0	4,5	13,0	0,0	0,0	0,0	0,0
			4	OPPOSÉE	0,0	0,0	0,0	0,0	0,0	0,0	0,0
			5	SANS	14,7	4,5	8,7	8,6	4,4	0,0	0,0
6			INCERTAINE	8,0	4,5	8,7	2,9	0,0	0,0	14,3	
• NERVURES	74	1	SAILLANTES	52,0	17,4	39,1	57,1	44,4	79,3	82,1	
		2	DIFFUSES	42,7	73,9	56,5	57,1	55,6	20,7	13,9	
		3	SANS	5,3	8,7	4,3	5,7	0,0	0,0	0,0	
• EMPLACEMENT DU CORTEX.	33	0	SANS	80,0	73,9	82,6	82,9	73,3	75,9	78,6	
		1	PROXIMAL	1,3	8,7	0,0	5,7	0,0	3,4	3,6	
		2	MÉSIAL	0,0	0,0	0,0	0,0	0,0	3,4	0,0	
		3	DISTAL	5,3	8,7	13,0	5,7	15,5	6,9	7,1	
		4	SUR LA TOTALITÉ	1,3	4,3	0,0	0,0	0,0	0,0	0,0	
		5	LATÉRAL GAUCHE	8,0	0,0	4,3	5,7	6,7	3,4	3,6	
6	LATÉRAL DROIT	4,0	4,3	0,0	0,0	4,4	6,9	7,1			

Tableau 12 - Lames en silex à grain grossier : pourcentages.

Coarse-grain flint blades : percentages.





MÉTODE DE RECHERCHE ANALYTIQUE DES MODALITÉS DE CARACTÈRES		ECLATS MUREYBET		SCHEMA OPERATOIRE		PERCUSSION		COUCHE		
TABLEAU RÉCAPITULATIF DES MODALITÉS DE CARACTÈRES ET DE LEUR DEGRÉ DE SIGNIFICATION DANS LA RECHERCHE, SUR UN SUPPORT, DE SA TECHNIQUE DE TAILLE		NOMBR. 277		MUREYBET		PERCUSSION		2		
CARACTÈRES MORPHOLOGIQUES		SCHEMA OPERATOIRE		MUREYBET		PERCUSSION		COUCHE		
MODALITÉS DE CARACTÈRES		SCHEMA OPERATOIRE		MUREYBET		PERCUSSION		COUCHE		
MODALITÉS DE CARACTÈRES		SCHEMA OPERATOIRE		MUREYBET		PERCUSSION		COUCHE		
MODALITÉS DE CARACTÈRES		SCHEMA OPERATOIRE		MUREYBET		PERCUSSION		COUCHE		
<ul style="list-style-type: none"> <li>TALON</li> <li>LÈVRE</li> <li>PRÉPARATION DE L'ANGLE DE CHASSE</li> <li>POINT D'IMPACT</li> </ul>	LISSE ÉCRASÉ PUNCTIFORME DIÈDRE FACETTÉ FILIFORME CORTICAL ÉVERSE AVEC LÈVRE SANS SURFACE DÉBITÉE CÔTÉ PLAN DE FRAPPE DES DEUX CÔTÉS AVEC PT. D'IMPACT	60	1	64	28	1	1	1	1	
		61	0	65	5	2	1	1	1	1
		62	1	66	5	2	1	1	1	1
		63	1	67	5	2	1	1	1	1
		64	1	68	5	2	1	1	1	1
		65	1	69	5	2	1	1	1	1
		66	1	70	5	2	1	1	1	1
		67	1	71	5	2	1	1	1	1
<ul style="list-style-type: none"> <li>EXTREMITÉ DISTALE</li> <li>TYPE D'ANOMALIE DISTALE</li> </ul>	POINTUE ARRONDIE IRREGULIERE OUTREPASSÉE REFLECHIE A BOURRELETS	68	1	72	32	1	1	1	1	
		69	1	73	32	1	1	1	1	1
		70	1	74	32	1	1	1	1	1
		71	1	75	32	1	1	1	1	1
<ul style="list-style-type: none"> <li>BORDS</li> </ul>	PARALLÈLES CONVERGENTS DIVERGENTS IRREGULIERS	72	1	76	32	1	1	1	1	
		73	1	77	32	1	1	1	1	1
		74	1	78	32	1	1	1	1	1
		75	1	79	32	1	1	1	1	1
<ul style="list-style-type: none"> <li>BULBE</li> <li>COURBURE MAXIMALE</li> </ul>	SAILLANT DIFFUS ÉCAILLE PROXIMALE DISTALE INDEFINIE CONCAVE CONVEXE PLAT TORSE IRREGULIER	76	1	80	32	1	1	1	1	
		77	1	81	32	1	1	1	1	1
		78	1	82	32	1	1	1	1	1
<ul style="list-style-type: none"> <li>PROFIL</li> </ul>	PARALLÈLES INVERTÉS ORTHOGONAUX CROISÉS CENTRIPÈTES UNIFORMES MULTIPLES DIVERGENTS IDENTIQUE PERPENDICULAIRE INCLINÉE OPROSÉE SAILLANTES DIFFUSES PROXIMAL DISTAL SUR LA TOTALITÉ LATÉRAL GAUCHE LATÉRAL DROIT	79	1	83	32	1	1	1	1	
		80	1	84	32	1	1	1	1	1
		81	1	85	32	1	1	1	1	1
		82	1	86	32	1	1	1	1	1
		83	1	87	32	1	1	1	1	1

MÉTODE DE RECHERCHE ANALYTIQUE DES MODALITÉS DE CARACTÈRES		ECLATS MUREYBET		SCHEMA OPERATOIRE		PERCUSSION		COUCHE		
TABLEAU RÉCAPITULATIF DES MODALITÉS DE CARACTÈRES ET DE LEUR DEGRÉ DE SIGNIFICATION DANS LA RECHERCHE, SUR UN SUPPORT, DE SA TECHNIQUE DE TAILLE		NOMBR. 277		MUREYBET		PERCUSSION		2		
CARACTÈRES MORPHOLOGIQUES		SCHEMA OPERATOIRE		MUREYBET		PERCUSSION		COUCHE		
MODALITÉS DE CARACTÈRES		SCHEMA OPERATOIRE		MUREYBET		PERCUSSION		COUCHE		
MODALITÉS DE CARACTÈRES		SCHEMA OPERATOIRE		MUREYBET		PERCUSSION		COUCHE		
MODALITÉS DE CARACTÈRES		SCHEMA OPERATOIRE		MUREYBET		PERCUSSION		COUCHE		
<ul style="list-style-type: none"> <li>TALON</li> <li>LÈVRE</li> <li>PRÉPARATION DE L'ANGLE DE CHASSE</li> <li>POINT D'IMPACT</li> </ul>	LISSE ÉCRASÉ PUNCTIFORME DIÈDRE FACETTÉ FILIFORME CORTICAL ÉVERSE AVEC LÈVRE SANS SURFACE DÉBITÉE CÔTÉ PLAN DE FRAPPE DES DEUX CÔTÉS AVEC PT. D'IMPACT	60	1	64	28	1	1	1	1	
		61	0	65	5	2	1	1	1	1
		62	1	66	5	2	1	1	1	1
		63	1	67	5	2	1	1	1	1
		64	1	68	5	2	1	1	1	1
		65	1	69	5	2	1	1	1	1
		66	1	70	5	2	1	1	1	1
		67	1	71	5	2	1	1	1	1
<ul style="list-style-type: none"> <li>EXTREMITÉ DISTALE</li> <li>TYPE D'ANOMALIE DISTALE</li> </ul>	POINTUE ARRONDIE IRREGULIERE OUTREPASSÉE REFLECHIE A BOURRELETS	68	1	72	32	1	1	1	1	
		69	1	73	32	1	1	1	1	1
		70	1	74	32	1	1	1	1	1
		71	1	75	32	1	1	1	1	1
<ul style="list-style-type: none"> <li>BORDS</li> </ul>	PARALLÈLES CONVERGENTS DIVERGENTS IRREGULIERS	72	1	76	32	1	1	1	1	
		73	1	77	32	1	1	1	1	1
		74	1	78	32	1	1	1	1	1
		75	1	79	32	1	1	1	1	1
<ul style="list-style-type: none"> <li>BULBE</li> <li>COURBURE MAXIMALE</li> </ul>	SAILLANT DIFFUS ÉCAILLE PROXIMALE DISTALE INDEFINIE CONCAVE CONVEXE PLAT TORSE IRREGULIER	76	1	80	32	1	1	1	1	
		77	1	81	32	1	1	1	1	1
		78	1	82	32	1	1	1	1	1
<ul style="list-style-type: none"> <li>PROFIL</li> </ul>	PARALLÈLES INVERTÉS ORTHOGONAUX CROISÉS CENTRIPÈTES UNIFORMES MULTIPLES DIVERGENTS IDENTIQUE PERPENDICULAIRE INCLINÉE OPROSÉE SAILLANTES DIFFUSES PROXIMAL DISTAL SUR LA TOTALITÉ LATÉRAL GAUCHE LATÉRAL DROIT	79	1	83	32	1	1	1	1	
		80	1	84	32	1	1	1	1	1
		81	1	85	32	1	1	1	1	1
		82	1	86	32	1	1	1	1	1
		83	1	87	32	1	1	1	1	1

%

Tableau 14 - ECLATS: couche n° 2.  
FLAKES: layer n° 2.



MÉTHODE DE RECHERCHE ANALYTIQUE DES TECHNIQUES DE TAILLE TABLEAU RÉCAPITULATIF DES MODALITÉS DE CARACTÈRES ET DE LEUR DEGRÉ DE SIGNIFICATION DANS LA RECHERCHE, SUR UN SUPPORT, DE SA TECHNIQUE DE TAILLE		ECLATS		SITE		COUCHE	
		MUREYBET		MUREYBET		4	
		NOMBRE 189		NOMBRE 189		SCHEMA OPERATOIRE	
CARACTÈRES MORPHOLOGIQUES		SCHEMA OPERATOIRE		SCHEMA OPERATOIRE		SCHEMA OPERATOIRE	
CARACTÈRES MORPHOLOGIQUES		SCHEMA OPERATOIRE		SCHEMA OPERATOIRE		SCHEMA OPERATOIRE	
CARACTÈRES MORPHOLOGIQUES		SCHEMA OPERATOIRE		SCHEMA OPERATOIRE		SCHEMA OPERATOIRE	
PARTIE PROXIMALE	<ul style="list-style-type: none"> <li>TALON</li> <li>LÈVRE</li> <li>PRÉPARATION DE L'ANGLE DE CHASSE</li> <li>POINT D'IMPACT</li> </ul>	60	1	153	1	153	1
		61	2	153	2	153	2
		62	3	153	3	153	3
		63	4	153	4	153	4
PARTIE DISTALE	<ul style="list-style-type: none"> <li>EXTREMITÉ DISTALE</li> <li>TYPE D'ANOMALIE DISTALE</li> </ul>	64	1	153	1	153	1
		65	2	153	2	153	2
		66	3	153	3	153	3
BORDS	<ul style="list-style-type: none"> <li>BORDS</li> </ul>	67	1	153	1	153	1
		68	2	153	2	153	2
		69	3	153	3	153	3
		70	4	153	4	153	4
FACE D'ÉCLATEMENT	<ul style="list-style-type: none"> <li>BULBE</li> <li>COURBURE MAXIMALE</li> <li>PROFIL</li> </ul>	71	1	153	1	153	1
		72	2	153	2	153	2
		73	3	153	3	153	3
		74	4	153	4	153	4
		75	5	153	5	153	5
FACE SUPÉRIEURE	<ul style="list-style-type: none"> <li>DISPOSITION DES NÉGATIFS D'ENLEVEMENTS</li> <li>ORIENTATION DES NÉGATIFS PAR RAPPORT AU SENS D'EXTRACTION DU SUPPORT</li> <li>NERVURES</li> <li>EMPLACEMENT DU CORTEX</li> </ul>	76	1	153	1	153	1
		77	2	153	2	153	2
		78	3	153	3	153	3
		79	4	153	4	153	4
		80	5	153	5	153	5
		81	6	153	6	153	6
		82	7	153	7	153	7
		83	8	153	8	153	8

MÉTHODE DE RECHERCHE ANALYTIQUE DES TECHNIQUES DE TAILLE TABLEAU RÉCAPITULATIF DES MODALITÉS DE CARACTÈRES ET DE LEUR DEGRÉ DE SIGNIFICATION DANS LA RECHERCHE, SUR UN SUPPORT, DE SA TECHNIQUE DE TAILLE		ECLATS		SITE		COUCHE	
		MUREYBET		MUREYBET		4	
		NOMBRE 189		NOMBRE 189		SCHEMA OPERATOIRE	
CARACTÈRES MORPHOLOGIQUES		SCHEMA OPERATOIRE		SCHEMA OPERATOIRE		SCHEMA OPERATOIRE	
CARACTÈRES MORPHOLOGIQUES		SCHEMA OPERATOIRE		SCHEMA OPERATOIRE		SCHEMA OPERATOIRE	
CARACTÈRES MORPHOLOGIQUES		SCHEMA OPERATOIRE		SCHEMA OPERATOIRE		SCHEMA OPERATOIRE	
PARTIE PROXIMALE	<ul style="list-style-type: none"> <li>TALON</li> <li>LÈVRE</li> <li>PRÉPARATION DE L'ANGLE DE CHASSE</li> <li>POINT D'IMPACT</li> </ul>	60	1	153	1	153	1
		61	2	153	2	153	2
		62	3	153	3	153	3
		63	4	153	4	153	4
PARTIE DISTALE	<ul style="list-style-type: none"> <li>EXTREMITÉ DISTALE</li> <li>TYPE D'ANOMALIE DISTALE</li> </ul>	64	1	153	1	153	1
		65	2	153	2	153	2
		66	3	153	3	153	3
BORDS	<ul style="list-style-type: none"> <li>BORDS</li> </ul>	67	1	153	1	153	1
		68	2	153	2	153	2
		69	3	153	3	153	3
		70	4	153	4	153	4
FACE D'ÉCLATEMENT	<ul style="list-style-type: none"> <li>BULBE</li> <li>COURBURE MAXIMALE</li> <li>PROFIL</li> </ul>	71	1	153	1	153	1
		72	2	153	2	153	2
		73	3	153	3	153	3
		74	4	153	4	153	4
		75	5	153	5	153	5
FACE SUPÉRIEURE	<ul style="list-style-type: none"> <li>DISPOSITION DES NÉGATIFS D'ENLEVEMENTS</li> <li>ORIENTATION DES NÉGATIFS PAR RAPPORT AU SENS D'EXTRACTION DU SUPPORT</li> <li>NERVURES</li> <li>EMPLACEMENT DU CORTEX</li> </ul>	76	1	153	1	153	1
		77	2	153	2	153	2
		78	3	153	3	153	3
		79	4	153	4	153	4
		80	5	153	5	153	5
		81	6	153	6	153	6
		82	7	153	7	153	7
		83	8	153	8	153	8

Tableau 16 - ECLATS: couche n° 4.  
FLAKES: layer n° 4.

MÉTODE DE RECHERCHE ANALYTIQUE DES TECHNIQUES DE TAILLE TABLEAU RÉCAPITULATIF DES MODALITÉS DE CARACTÈRES ET DE LEUR DEGRÉ DE SIGNIFICATION DANS LA RECHERCHE, SUR UN SUPPORT, DE SA TECHNIQUE DE TAILLE		ECLATS		SITE		COUCHE			
		MUREYBET		MUREYBET		5			
		SCHEMA OPERATOIRE		SCHEMA OPERATOIRE		PERCUSSION		PERCUSSION	
CARACTÈRES MORPHOLOGIQUES		MODALITÉS DE CARACTÈRES		TENDANCE		TENDANCE		DURE	
CORDE INFORM.		CORDE INFORM.		A		B		X	
60		60		10		10		10	
61		61		10		10		10	
62		62		10		10		10	
63		63		10		10		10	
64		64		10		10		10	
65		65		10		10		10	
66		66		10		10		10	
67		67		10		10		10	
68		68		10		10		10	
69		69		10		10		10	
70		70		10		10		10	
71		71		10		10		10	
72		72		10		10		10	
73		73		10		10		10	
74		74		10		10		10	
75		75		10		10		10	
PARTIE PROXIMALE	TALON	60	1	50	25	70	70		
	LÈVRE	61	1	0	0	0	0		
	PRÉPARATION DE L'ANGLE DE CHASSE	62	1	25	31	31	31		
PARTIE DISTALE	POINT D'IMPACT	63	1	100	100	100	100		
	EXTRÉMITÉ DISTALE	64	1	74	74	74	74		
	TYPE D'ANOMALIE DISTALE	65	1	43	43	43	43		
BORDS	BORDS	66	1	15	15	15	15		
	BULBE	67	1	58	58	58	58		
	COURBURE MAXIMALE	68	1	35	35	35	35		
FACE D'ÉCLATEMENT	PROFIL	69	1	14	14	14	14		
	DISPOSITION DES NÉGATIFS D'ENLÈVEMENTS	70	1	47	47	47	47		
	ORIENTATION DES NÉGATIFS PAR RAPPORT AU SENS D'EXTRACTION DU SUPPORT	71	1	33	33	33	33		
FACE SUPÉRIEURE	EMPLACEMENT DU CORTEX	72	1	41	41	41	41		
	MERVURES	73	1	52	52	52	52		
	DISPOSITION DES NÉGATIFS D'ENLÈVEMENTS	74	1	41	41	41	41		

MÉTODE DE RECHERCHE ANALYTIQUE DES TECHNIQUES DE TAILLE TABLEAU RÉCAPITULATIF DES MODALITÉS DE CARACTÈRES ET DE LEUR DEGRÉ DE SIGNIFICATION DANS LA RECHERCHE, SUR UN SUPPORT, DE SA TECHNIQUE DE TAILLE		ECLATS		SITE		COUCHE			
		MUREYBET		MUREYBET		5			
		SCHEMA OPERATOIRE		SCHEMA OPERATOIRE		PERCUSSION		PERCUSSION	
CARACTÈRES MORPHOLOGIQUES		MODALITÉS DE CARACTÈRES		TENDANCE		TENDANCE		DURE	
CORDE INFORM.		CORDE INFORM.		A		B		X	
60		60		10		10		10	
61		61		10		10		10	
62		62		10		10		10	
63		63		10		10		10	
64		64		10		10		10	
65		65		10		10		10	
66		66		10		10		10	
67		67		10		10		10	
68		68		10		10		10	
69		69		10		10		10	
70		70		10		10		10	
71		71		10		10		10	
72		72		10		10		10	
73		73		10		10		10	
74		74		10		10		10	
75		75		10		10		10	
PARTIE PROXIMALE	TALON	60	1	100	100	100	100		
	LÈVRE	61	1	0	0	0	0		
	PRÉPARATION DE L'ANGLE DE CHASSE	62	1	10	10	10	10		
PARTIE DISTALE	POINT D'IMPACT	63	1	100	100	100	100		
	EXTRÉMITÉ DISTALE	64	1	100	100	100	100		
	TYPE D'ANOMALIE DISTALE	65	1	100	100	100	100		
BORDS	BORDS	66	1	100	100	100	100		
	BULBE	67	1	100	100	100	100		
	COURBURE MAXIMALE	68	1	100	100	100	100		
FACE D'ÉCLATEMENT	PROFIL	69	1	100	100	100	100		
	DISPOSITION DES NÉGATIFS D'ENLÈVEMENTS	70	1	100	100	100	100		
	ORIENTATION DES NÉGATIFS PAR RAPPORT AU SENS D'EXTRACTION DU SUPPORT	71	1	100	100	100	100		
FACE SUPÉRIEURE	EMPLACEMENT DU CORTEX	72	1	100	100	100	100		
	MERVURES	73	1	100	100	100	100		
	DISPOSITION DES NÉGATIFS D'ENLÈVEMENTS	74	1	100	100	100	100		

Tableau 17 - ECLATS: couche n° 5.  
FLAKES: layer n° 5.





MÉTODE DE RECHERCHE ANALYTIQUE DES MODALITÉS DE CARACTÈRES TABLEAU RÉCAPITULATIF DES MODALITÉS DE CARACTÈRES ET DE LEUR DEGRÉ DE SIGNIFICATION DANS LA RECHERCHE, SUR UN SUPPORT, DE SA TECHNIQUE DE TAILLE										SITE MUREYBET		COUCHE 1						
CARACTÈRES MORPHOLOGIQUES										SCHEMA OPERATOIRE		PERCUSSION						
MODALITÉS DE CARACTÈRES										TENDANCE		TENDRE						
CODE INFORM.										A		B						
CARACTÈRES MORPHOLOGIQUES										A		B						
MODALITÉS DE CARACTÈRES										A		B						
CODE INFORM.										A		B						
FACE PROXIMALE	TALON	60	1	LISSE	60	1	63	20	73	73								
		60	2	ÉCRASÉ	60	2	70	0	0	0								
		60	3	PUNCTIFORME	60	3	0	0	0	0								
		60	4	DIÈDRE	60	4	0	0	0	0								
		60	5	FACETTE	60	5	0	0	0	0								
		60	6	FILIFORME	60	6	0	0	0	0								
PARTIE PROXIMALE	LÈVRE	61	1	AVEC LÈVRE	61	1	0	0	0	0								
		61	2	SANS	61	2	0	0	0	0								
		61	3	CÔTÉ SURFACE DÉBITÉE	61	3	0	0	0	0								
		61	4	CÔTÉ PLAN DE PRAPPE	61	4	0	0	0	0								
		61	5	DES DEUX CÔTÉS	61	5	0	0	0	0								
		61	6	AVEC PT. D'IMPACT	61	6	0	0	0	0								
PARTIE DISTALE	EXTREMITÉ DISTALE	62	1	POINTUE	62	1	0	0	0	0								
		62	2	ARRONDI	62	2	0	0	0	0								
		62	3	IRRÉGULIÈRE	62	3	0	0	0	0								
		62	4	COUTRE PASSÉE	62	4	0	0	0	0								
		62	5	REFLECHIE	62	5	0	0	0	0								
		62	6	À BOURRELETS	62	6	0	0	0	0								
BORDS	BORDS	71	1	PARALLÈLES	71	1	0	0	0	0								
		71	2	CONVERGENTS	71	2	0	0	0	0								
		71	3	DIVERGENTS	71	3	0	0	0	0								
		71	4	IRRÉGULIERS	71	4	0	0	0	0								
		71	5	SAILLANT	71	5	0	0	0	0								
		71	6	ÉCAILLÉ	71	6	0	0	0	0								
FACE D'ÉCLATEMENT	BULBE	64	1	PROXIMALE	64	1	0	0	0	0								
		64	2	DISTALE	64	2	0	0	0	0								
		64	3	INDEFINIE	64	3	0	0	0	0								
		64	4	CONCAVE	64	4	0	0	0	0								
		64	5	CONVEXE	64	5	0	0	0	0								
		64	6	PLAT	64	6	0	0	0	0								
FACE SUPÉRIEURE	DISPOSITION DES NÉGATIFS D'ENLEVEMENTS	74	1	PARALLÈLES IDENTIQUES	74	1	0	0	0	0								
		74	2	PARALLÈLES INVERSES	74	2	0	0	0	0								
		74	3	ORTHOCONAUX	74	3	0	0	0	0								
		74	4	CROISÉES	74	4	0	0	0	0								
		74	5	CENTRIPÈTES	74	5	0	0	0	0								
		74	6	UNIFORMES	74	6	0	0	0	0								
FACE SUPÉRIEURE	ORIENTATION DES NÉGATIFS PAR RAPPORT AU SENS D'EXTRACTION DU SUPPORT	75	1	IDENTIQUE	75	1	0	0	0	0								
		75	2	PERPENDICULAIRE	75	2	0	0	0	0								
		75	3	INCLINÉE	75	3	0	0	0	0								
		75	4	OPPOSÉE	75	4	0	0	0	0								
		75	5	SAILLANTES	75	5	0	0	0	0								
		75	6	DIFFUSES	75	6	0	0	0	0								
FACE SUPÉRIEURE	EMPLACEMENT DU CORTEX	74	1	PROXIMAL	74	1	0	0	0	0								
		74	2	MÉSIAL	74	2	0	0	0	0								
		74	3	DISTAL	74	3	0	0	0	0								
		74	4	SUR LA TOTALITÉ	74	4	0	0	0	0								
		74	5	LATÉRAL GAUCHE	74	5	0	0	0	0								
		74	6	LATÉRAL DROIT	74	6	0	0	0	0								
Nb										250	943	362	97	44	47	153	164	43

MÉTODE DE RECHERCHE ANALYTIQUE DES MODALITÉS DE CARACTÈRES TABLEAU RÉCAPITULATIF DES MODALITÉS DE CARACTÈRES ET DE LEUR DEGRÉ DE SIGNIFICATION DANS LA RECHERCHE, SUR UN SUPPORT, DE SA TECHNIQUE DE TAILLE										SITE MUREYBET		COUCHE 1						
CARACTÈRES MORPHOLOGIQUES										SCHEMA OPERATOIRE		PERCUSSION						
MODALITÉS DE CARACTÈRES										TENDANCE		TENDRE						
CODE INFORM.										A		B						
CARACTÈRES MORPHOLOGIQUES										A		B						
MODALITÉS DE CARACTÈRES										A		B						
CODE INFORM.										A		B						
FACE PROXIMALE	TALON	60	1	LISSE	60	1	30	20	70	70								
		60	2	ÉCRASÉ	60	2	0	0	0	0								
		60	3	PUNCTIFORME	60	3	0	0	0	0								
		60	4	DIÈDRE	60	4	0	0	0	0								
		60	5	FACETTE	60	5	0	0	0	0								
		60	6	FILIFORME	60	6	0	0	0	0								
PARTIE PROXIMALE	LÈVRE	61	1	AVEC LÈVRE	61	1	0	0	0	0								
		61	2	SANS	61	2	0	0	0	0								
		61	3	CÔTÉ SURFACE DÉBITÉE	61	3	0	0	0	0								
		61	4	CÔTÉ PLAN DE PRAPPE	61	4	0	0	0	0								
		61	5	DES DEUX CÔTÉS	61	5	0	0	0	0								
		61	6	AVEC PT. D'IMPACT	61	6	0	0	0	0								
PARTIE DISTALE	EXTREMITÉ DISTALE	62	1	POINTUE	62	1	0	0	0	0								
		62	2	ARRONDI	62	2	0	0	0	0								
		62	3	IRRÉGULIÈRE	62	3	0	0	0	0								
		62	4	COUTRE PASSÉE	62	4	0	0	0	0								
		62	5	REFLECHIE	62	5	0	0	0	0								
		62	6	À BOURRELETS	62	6	0	0	0	0								
BORDS	BORDS	71	1	PARALLÈLES	71	1	0	0	0	0								
		71	2	CONVERGENTS	71	2	0	0	0	0								
		71	3	DIVERGENTS	71	3	0	0	0	0								
		71	4	IRRÉGULIERS	71	4	0	0	0	0								
		71	5	SAILLANT	71	5	0	0	0	0								
		71	6	ÉCAILLÉ	71	6	0	0	0	0								
FACE D'ÉCLATEMENT	BULBE	64	1	PROXIMALE	64	1	0	0	0	0								
		64	2	DISTALE	64	2	0	0	0	0								
		64	3	INDEFINIE	64	3	0	0	0	0								
		64	4	CONCAVE	64	4	0	0	0	0								
		64	5	CONVEXE	64	5	0	0	0	0								
		64	6	PLAT	64	6	0	0	0	0								
FACE SUPÉRIEURE	DISPOSITION DES NÉGATIFS D'ENLEVEMENTS	74	1	PARALLÈLES IDENTIQUES	74	1	0	0	0	0								
		74	2	PARALLÈLES INVERSES	74	2	0	0	0	0								
		74	3	ORTHOCONAUX	74	3	0	0	0	0								
		74	4	CROISÉES	74	4	0	0	0	0								
		74	5	CENTRIPÈTES	74	5	0	0	0	0								
		74	6	UNIFORMES	74	6	0	0	0	0								
FACE SUPÉRIEURE	ORIENTATION DES NÉGATIFS PAR RAPPORT AU SENS D'EXTRACTION DU SUPPORT	75	1	IDENTIQUE	75	1	0	0	0	0								
		75	2	PERPENDICULAIRE	75	2	0	0	0	0								
		75	3	INCLINÉE	75	3	0	0	0	0								
		75	4	OPPOSÉE	75	4	0	0	0	0								
		75	5	SAILLANTES	75	5	0	0	0	0								
		75	6	DIFFUSES	75	6	0	0	0	0								
FACE SUPÉRIEURE	EMPLACEMENT DU CORTEX	74	1	PROXIMAL	74	1	0	0	0	0								
		74	2	MÉSIAL	74	2	0	0	0	0								
		74	3	DISTAL	74	3	0	0	0	0								
		74	4	SUR LA TOTALITÉ	74	4	0	0	0	0								
		74	5	LATÉRAL GAUCHE	74	5	0	0	0	0								
		74	6	LATÉRAL DROIT	74	6	0	0	0	0								
Nb										250	943	362	97	44	47	153	164	43

Tableau 20 - Eclats en silex à grain fin : couche n° 1.  
Fine-grain flint flakes : layer n° 1.



MÉTODE DE RECHERCHE ANALYTIQUE DES MODALITÉS DE CARACTÈRES TABLEAU RÉCAPITULATIF DES MODALITÉS DE CARACTÈRES ET DE LEUR DEGRÉ DE SIGNIFICATION, DANS LA RECHERCHE, SUR UN SUPPORT, DE SA TECHNIQUE DE TAILLE		ECLATS		SITE		COUCHE			
		MUREYBET		MUREYBET		2			
		SCHEMA OPERATOIRE		PERCUSSION		DURE			
CARACTÈRES MORPHOLOGIQUES		MODALITÉS DE CARACTÈRES		SCHEMA OPERATOIRE		PERCUSSION		DURE	
CODE INFORM.	MODALITÉS DE CARACTÈRES	SCHEMA OPERATOIRE	PERCUSSION	SCHEMA OPERATOIRE	PERCUSSION	SCHEMA OPERATOIRE	PERCUSSION	SCHEMA OPERATOIRE	PERCUSSION
60	<ul style="list-style-type: none"> <li>TALON</li> <li>LÈVRE</li> <li>PRÉPARATION DE L'ANGLE DE CHASSE</li> <li>POINT D'IMPACT</li> </ul>	1	1	1	1	1	1	1	1
61		2	2	2	2	2	2	2	2
62		3	3	3	3	3	3	3	3
63		4	4	4	4	4	4	4	4
64		5	5	5	5	5	5	5	5
65		6	6	6	6	6	6	6	6
66		7	7	7	7	7	7	7	7
67		8	8	8	8	8	8	8	8
68	<ul style="list-style-type: none"> <li>PRÉPARATION DE L'ANGLE DE CHASSE</li> <li>POINT D'IMPACT</li> </ul>	1	1	1	1	1	1	1	1
69		2	2	2	2	2	2	2	2
70		3	3	3	3	3	3	3	3
71	<ul style="list-style-type: none"> <li>EXTREMITÉ DISTALE</li> <li>TYPE D'ANOMALIE DISTALE</li> </ul>	1	1	1	1	1	1	1	1
72		2	2	2	2	2	2	2	2
73		3	3	3	3	3	3	3	3
74		4	4	4	4	4	4	4	4
75	<ul style="list-style-type: none"> <li>BORDS</li> </ul>	1	1	1	1	1	1	1	1
76		2	2	2	2	2	2	2	2
77		3	3	3	3	3	3	3	3
78		4	4	4	4	4	4	4	4
79	<ul style="list-style-type: none"> <li>BULBE</li> <li>COURBURE MAXIMALE</li> <li>PROFIL</li> </ul>	1	1	1	1	1	1	1	1
80		2	2	2	2	2	2	2	2
81		3	3	3	3	3	3	3	3
82		4	4	4	4	4	4	4	4
83		5	5	5	5	5	5	5	5
84	<ul style="list-style-type: none"> <li>DISPOSITION DES NÉGATIFS D'ENLEVEMENTS</li> <li>ORIENTATION DES NÉGATIFS PAR RAPPORT AU SENS D'EXTRACTION DU SUPPORT</li> <li>NERVURES</li> <li>EMPLACEMENT DU CORTÈX</li> </ul>	1	1	1	1	1	1	1	1
85		2	2	2	2	2	2	2	2
86		3	3	3	3	3	3	3	3
87		4	4	4	4	4	4	4	4
88		5	5	5	5	5	5	5	5
89		6	6	6	6	6	6	6	6
90		7	7	7	7	7	7	7	7
91		8	8	8	8	8	8	8	8

Tableau 21 - Eclats en silex à grain fin : couche n° 2.  
Fine-grain flint flakes: layer n° 2.







MÉTHODE DE RECHERCHE ANALYTIQUE DES MODALITÉS DE TAILLE										COUCHE		
TABLEAU RÉCAPITULATIF DES MODALITÉS DE CARACTÈRES ET DE LEUR Degré de SIGNIFICATION DANS LA RECHERCHE, SUR UN SUPPORT, DE SA TECHNIQUE DE TAILLE										6		
CARACTÈRES MORPHOLOGIQUES										PERCUSSION		
MODALITÉS DE CARACTÈRES										DURE		
Code INFORM.										TENDANCE		
A										B		
SCHEMA OPERATOIRE										TEMPS		
A										B		
ECLATS										SITE		
MUREYBET										MUREYBET		
NOMBRE: 80 F										NOMBRE: 80 F		
FACE SUPÉRIEURE	ORIENTATION DES NEGATIFS PAR RAPPORT AU SENS D'EXTRACTION DU SUPPORT	73	1	2	3	4	5	6	7	8	38	1
											39	2
											40	3
											41	4
											42	5
											43	6
FACE d'ÉCLATEMENT	BULBE	64	1	2	3	4	5	6	7	8	34	1
											35	2
											36	3
											37	4
											38	5
											39	6
BORDS	BORDS	71	1	2	3	4	5	6	7	8	30	1
											31	2
											32	3
											33	4
											34	5
											35	6
BOUT PROXIMALE	LÈVRE	61	1	2	3	4	5	6	7	8	25	1
											26	2
											27	3
											28	4
											29	5
											30	6
TALON	TALON	60	1	2	3	4	5	6	7	8	24	1
											25	2
											26	3
											27	4
											28	5
											29	6

%

Tableau 25 - Eclats en silex à grain fin: couche n° 6. Fine-grain flint flakes: layer n° 6.





MÉTHODE DE RECHERCHE ANALYTIQUE DES TECHNIQUES DE TAILLE										COUCHE	
TABLEAU RÉCAPITULATIF DES MODALITÉS DE CARACTÈRES ET DE LEUR DEGRÉ DE SIGNIFICATION DANS LA RECHERCHE, SUR UN SUPPORT, DE SA TECHNIQUE DE TAILLE										2	
ECLATS MUREYBET										SITE	
SCHEMA OPERATOIRE										PERCUSSION	
MODALITÉS DE CARACTÈRES										TENDRE	
CARACTÈRES MORPHOLOGIQUES										DURE	
CODE INFORM.										INDICE	
A										B	
1										2	
2										3	
3										4	
4										5	
5										6	
6										7	
7										8	
8										9	
9										10	
10										11	
11										12	
12										13	
13										14	
14										15	
15										16	
16										17	
17										18	
18										19	
19										20	
20										21	
21										22	
22										23	
23										24	
24										25	
25										26	
26										27	
27										28	
28										29	
29										30	
30										31	
31										32	
32										33	
33										34	
34										35	
35										36	
36										37	
37										38	
38										39	
39										40	
40										41	
41										42	
42										43	
43										44	
44										45	
45										46	
46										47	
47										48	
48										49	
49										50	
50										51	
51										52	
52										53	
53										54	
54										55	
55										56	
56										57	
57										58	
58										59	
59										60	
60										61	
61										62	
62										63	
63										64	
64										65	
65										66	
66										67	
67										68	
68										69	
69										70	
70										71	
71										72	
72										73	
73										74	
74										75	
75										76	
76										77	
77										78	
78										79	
79										80	
80										81	
81										82	
82										83	
83										84	
84										85	
85										86	
86										87	
87										88	
88										89	
89										90	
90										91	
91										92	
92										93	
93										94	
94										95	
95										96	
96										97	
97										98	
98										99	
99										100	

MÉTHODE DE RECHERCHE ANALYTIQUE DES TECHNIQUES DE TAILLE										COUCHE	
TABLEAU RÉCAPITULATIF DES MODALITÉS DE CARACTÈRES ET DE LEUR DEGRÉ DE SIGNIFICATION DANS LA RECHERCHE, SUR UN SUPPORT, DE SA TECHNIQUE DE TAILLE										2	
ECLATS MUREYBET										SITE	
SCHEMA OPERATOIRE										PERCUSSION	
MODALITÉS DE CARACTÈRES										TENDRE	
CARACTÈRES MORPHOLOGIQUES										DURE	
CODE INFORM.										INDICE	
A										B	
1										2	
2										3	
3										4	
4										5	
5										6	
6										7	
7										8	
8										9	
9										10	
10										11	
11										12	
12										13	
13										14	
14										15	
15										16	
16										17	
17										18	
18										19	
19										20	
20										21	
21										22	
22										23	
23										24	
24										25	
25										26	
26										27	
27										28	
28										29	
29										30	
30										31	
31										32	
32										33	
33										34	
34										35	
35										36	
36										37	
37										38	
38										39	
39										40	
40										41	
41										42	
42										43	
43										44	
44										45	
45										46	
46										47	
47										48	
48										49	
49										50	
50										51	
51										52	
52										53	
53										54	
54										55	
55										56	
56										57	
57										58	
58										59	
59										60	
60										61	
61										62	
62										63	
63										64	
64										65	
65										66	
66										67	
67										68	
68										69	
69										70	
70										71	
71										72	
72										73	
73										74	
74										75	
75										76	
76										77	
77										78	
78										79	
79										80	
80										81	
81										82	
82										83	
83										84	
84										85	
85										86	
86										87	
87										88	
88										89	
89										90	
90										91	
91										92	
92										93	
93										94	
94										95	
95										96	
96										97	
97										98	
98										99	
99										100	

Tableau 28 - Eclats en silex à grain grossier : couche n° 2. Coarse-grain flint flakes : layer n° 2.



MÉTHODE DE RECHERCHE ANALYTIQUE DES TECHNIQUES DE TAILLE TABLEAU RÉCAPITULATIF DES MODALITÉS DE CARACTÈRES ET DE LEUR DEGRÉ DE SIGNIFICATION DANS LA RECHERCHE, SUR UN SUPPORT, DE SA TECHNIQUE DE TAILLE		ECLATS		SITE		COUCHE			
		NOMBRE 92 G		MUREYBET		3			
		SCHEMA OPERATOIRE		PERCUSSION		TEINRE		DURE	
CARACTÈRES MORPHOLOGIQUES		MODALITÉS DE CARACTÈRES		TEINRE		DURE			
CODE INFORM.		SCHEMA OPERATOIRE		PERCUSSION		TEINRE		DURE	
A		B		C		D		E	
1		2		3		4		5	
6		7		8		9		10	
11		12		13		14		15	
16		17		18		19		20	
21		22		23		24		25	
26		27		28		29		30	
31		32		33		34		35	
36		37		38		39		40	
41		42		43		44		45	
46		47		48		49		50	
51		52		53		54		55	
56		57		58		59		60	
61		62		63		64		65	
66		67		68		69		70	
71		72		73		74		75	
76		77		78		79		80	
81		82		83		84		85	
86		87		88		89		90	
91		92		93		94		95	
96		97		98		99		100	
101		102		103		104		105	
106		107		108		109		110	
111		112		113		114		115	
116		117		118		119		120	
121		122		123		124		125	
126		127		128		129		130	
131		132		133		134		135	
136		137		138		139		140	
141		142		143		144		145	
146		147		148		149		150	
151		152		153		154		155	
156		157		158		159		160	
161		162		163		164		165	
166		167		168		169		170	
171		172		173		174		175	
176		177		178		179		180	
181		182		183		184		185	
186		187		188		189		190	
191		192		193		194		195	
196		197		198		199		200	
201		202		203		204		205	
206		207		208		209		210	
211		212		213		214		215	
216		217		218		219		220	
221		222		223		224		225	
226		227		228		229		230	
231		232		233		234		235	
236		237		238		239		240	
241		242		243		244		245	
246		247		248		249		250	
251		252		253		254		255	
256		257		258		259		260	
261		262		263		264		265	
266		267		268		269		270	
271		272		273		274		275	
276		277		278		279		280	
281		282		283		284		285	
286		287		288		289		290	
291		292		293		294		295	
296		297		298		299		300	
301		302		303		304		305	
306		307		308		309		310	
311		312		313		314		315	
316		317		318		319		320	
321		322		323		324		325	
326		327		328		329		330	
331		332		333		334		335	
336		337		338		339		340	
341		342		343		344		345	
346		347		348		349		350	
351		352		353		354		355	
356		357		358		359		360	
361		362		363		364		365	
366		367		368		369		370	
371		372		373		374		375	
376		377		378		379		380	
381		382		383		384		385	
386		387		388		389		390	
391		392		393		394		395	
396		397		398		399		400	
401		402		403		404		405	
406		407		408		409		410	
411		412		413		414		415	
416		417		418		419		420	
421		422		423		424		425	
426		427		428		429		430	
431		432		433		434		435	
436		437		438		439		440	
441		442		443		444		445	
446		447		448		449		450	
451		452		453		454		455	
456		457		458		459		460	
461		462		463		464		465	
466		467		468		469		470	
471		472		473		474		475	
476		477		478		479		480	
481		482		483		484		485	
486		487		488		489		490	
491		492		493		494		495	
496		497		498		499		500	
501		502		503		504		505	
506		507		508		509		510	
511		512		513		514		515	
516		517		518		519		520	
521		522		523		524		525	
526		527		528		529		530	
531		532		533		534		535	
536		537		538		539		540	
541		542		543		544		545	
546		547		548		549		550	
551		552		553		554		555	
556		557		558		559		560	
561		562		563		564		565	
566		567		568		569		570	
571		572		573		574		575	
576		577		578		579		580	
581		582		583		584		585	
586		587		588		589		590	
591		592		593		594		595	
596		597		598		599		600	
601		602		603		604		605	
606		607		608		609		610	
611		612		613		614		615	
616		617		618		619		620	
621		622		623		624		625	
626		627		628		629		630	
631		632		633		634		635	
636		637		638		639		640	
641		642		643		644		645	
646		647		648		649		650	
651		652		653		654		655	
656		657		658		659		660	
661		662		663		664		665	
666		667		668		669		670	
671		672		673		674		675	
676		677		678		679		680	
681		682		683		684		685	
686		687		688		689		690	
691		692		693		694		695	
696		697		698		699		700	
701		702		703		704		705	
706		707		708		709		710	
711		712		713		714		715	
716		717		718		719		720	
721		722		723		724		725	
726		727		728		729		730	
731		732		733		734		735	
736		737		738		739		740	
741		742		743		744		745	
746		747		748		749		750	
751		752		753		754		755	
756		757		758		759		760	
761		762		763		764		765	
766		767		768		769		770	
771		772		773		774		775	
776		777		778		779		780	
781		782		783		784		785	
786		787		788		789		790	
791		792		793		794		795	
796		797		798		799		800	
801		802		803		804		805	
806		807		808		809		810	
811		812		813		814		815	
816		817		818		819		820	
821		822		823		824		825	
826		827		828		829		830	
831		832		833		834		835	
836		837		838		839		840	
841		842		843		844		845	
846		847		848		849		850	
851		852		853		854		855	
856		857		858		859		860	
861		862		863		864		865	
866		867		868		869		870	
871		872		873		874		875	
876		877		878		879		880	
881		882		883		884		885	
886		887		888		889		890	
891		892							







MÉTHODE DE RECHERCHE ANALYTIQUE DES TECHNIQUES DE TAILLE TABLEAU RÉCAPITULATIF DES MODALITÉS DE CARACTÈRES ET DE LEUR DEGRÉ DE SIGNIFICATION, DANS LA RECHERCHE, SUR UN SUPPORT, DE SA TECHNIQUE DE TAILLE		ECLATS		SITE		COUCHE					
		MUREYBET		MUREYBET		7					
		SCHEMA OPERATOIRE		PERCUSSION		TENDRE		DURE			
CARACTÈRES MORPHOLOGIQUES		MODALITÉS DE CARACTÈRES		A		B		C		D	
CODE INFORM.	MODALITÉS DE CARACTÈRES	1	2	1	2	1	2	1	2	1	2
60	<ul style="list-style-type: none"> <li>• TALON</li> <li>• LÈVRE</li> <li>• PRÉPARATION DE L'ANGLE DE CHASSE</li> <li>• POINT D'IMPACT</li> </ul>	51	33	3	3	3	3	3	3	3	3
61		52	34	3	3	3	3	3	3	3	3
62		53	35	3	3	3	3	3	3	3	3
63		54	36	3	3	3	3	3	3	3	3
64		55	37	3	3	3	3	3	3	3	3
65		56	38	3	3	3	3	3	3	3	3
66		57	39	3	3	3	3	3	3	3	3
67		58	40	3	3	3	3	3	3	3	3
68	<ul style="list-style-type: none"> <li>• EXTREMITÉ DISTALE</li> <li>• TYPE D'ANOMALIE DISTALE</li> </ul>	59	41	3	3	3	3	3	3	3	3
69		42	3	3	3	3	3	3	3	3	3
70		43	3	3	3	3	3	3	3	3	3
71	<ul style="list-style-type: none"> <li>• BORDS</li> </ul>	71	44	3	3	3	3	3	3	3	3
72		45	3	3	3	3	3	3	3	3	3
73		46	3	3	3	3	3	3	3	3	3
74		47	3	3	3	3	3	3	3	3	3
75	<ul style="list-style-type: none"> <li>• BULBE</li> <li>• COURBURE MAXIMALE</li> </ul>	75	48	3	3	3	3	3	3	3	3
76		49	3	3	3	3	3	3	3	3	3
77		50	3	3	3	3	3	3	3	3	3
78	<ul style="list-style-type: none"> <li>• PROFIL</li> </ul>	78	51	3	3	3	3	3	3	3	3
79		52	3	3	3	3	3	3	3	3	3
80		53	3	3	3	3	3	3	3	3	3
81		54	3	3	3	3	3	3	3	3	3
82		55	3	3	3	3	3	3	3	3	3
83	<ul style="list-style-type: none"> <li>• DISPOSITION DES NÉGATIFS D'ENLEVEMENTS</li> <li>• ORIENTATION DES NÉGATIFS PAR RAPPORT AU SENS D'EXTRACTION DU SUPPORT</li> <li>• NERVURES</li> <li>• EMPLACEMENT DU CORTEX</li> </ul>	83	56	3	3	3	3	3	3	3	3
84		57	3	3	3	3	3	3	3	3	3
85		58	3	3	3	3	3	3	3	3	3
86		59	3	3	3	3	3	3	3	3	3
87		60	3	3	3	3	3	3	3	3	3
88		61	3	3	3	3	3	3	3	3	3
89		62	3	3	3	3	3	3	3	3	3
90		63	3	3	3	3	3	3	3	3	3

MÉTHODE DE RECHERCHE ANALYTIQUE DES TECHNIQUES DE TAILLE TABLEAU RÉCAPITULATIF DES MODALITÉS DE CARACTÈRES ET DE LEUR DEGRÉ DE SIGNIFICATION, DANS LA RECHERCHE, SUR UN SUPPORT, DE SA TECHNIQUE DE TAILLE		ECLATS		SITE		COUCHE					
		MUREYBET		MUREYBET		7					
		SCHEMA OPERATOIRE		PERCUSSION		TENDRE		DURE			
CARACTÈRES MORPHOLOGIQUES		MODALITÉS DE CARACTÈRES		A		B		C		D	
CODE INFORM.	MODALITÉS DE CARACTÈRES	1	2	1	2	1	2	1	2	1	2
60	<ul style="list-style-type: none"> <li>• TALON</li> <li>• LÈVRE</li> <li>• PRÉPARATION DE L'ANGLE DE CHASSE</li> <li>• POINT D'IMPACT</li> </ul>	51	33	3	3	3	3	3	3	3	3
61		52	34	3	3	3	3	3	3	3	3
62		53	35	3	3	3	3	3	3	3	3
63		54	36	3	3	3	3	3	3	3	3
64		55	37	3	3	3	3	3	3	3	3
65		56	38	3	3	3	3	3	3	3	3
66		57	39	3	3	3	3	3	3	3	3
67		58	40	3	3	3	3	3	3	3	3
68	<ul style="list-style-type: none"> <li>• EXTREMITÉ DISTALE</li> <li>• TYPE D'ANOMALIE DISTALE</li> </ul>	59	41	3	3	3	3	3	3	3	3
69		42	3	3	3	3	3	3	3	3	3
70		43	3	3	3	3	3	3	3	3	3
71	<ul style="list-style-type: none"> <li>• BORDS</li> </ul>	71	44	3	3	3	3	3	3	3	3
72		45	3	3	3	3	3	3	3	3	3
73		46	3	3	3	3	3	3	3	3	3
74		47	3	3	3	3	3	3	3	3	3
75	<ul style="list-style-type: none"> <li>• BULBE</li> <li>• COURBURE MAXIMALE</li> </ul>	75	48	3	3	3	3	3	3	3	3
76		49	3	3	3	3	3	3	3	3	3
77		50	3	3	3	3	3	3	3	3	3
78	<ul style="list-style-type: none"> <li>• PROFIL</li> </ul>	78	51	3	3	3	3	3	3	3	3
79		52	3	3	3	3	3	3	3	3	3
80		53	3	3	3	3	3	3	3	3	3
81		54	3	3	3	3	3	3	3	3	3
82		55	3	3	3	3	3	3	3	3	3
83	<ul style="list-style-type: none"> <li>• DISPOSITION DES NÉGATIFS D'ENLEVEMENTS</li> <li>• ORIENTATION DES NÉGATIFS PAR RAPPORT AU SENS D'EXTRACTION DU SUPPORT</li> <li>• NERVURES</li> <li>• EMPLACEMENT DU CORTEX</li> </ul>	83	56	3	3	3	3	3	3	3	3
84		57	3	3	3	3	3	3	3	3	3
85		58	3	3	3	3	3	3	3	3	3
86		59	3	3	3	3	3	3	3	3	3
87		60	3	3	3	3	3	3	3	3	3
88		61	3	3	3	3	3	3	3	3	3
89		62	3	3	3	3	3	3	3	3	3
90		63	3	3	3	3	3	3	3	3	3

Tableau 33 - Eclats en silex à grain grossier: couche n° 7.  
Coarse-grain flint flakes: layer n° 7.

%

MÉTHODE DE RECHERCHE ANALYTIQUE DES MODALITÉS DE CARACTÈRES										SITE		COUCHE		
TABLEAU RÉCAPITULATIF DES MODALITÉS DE CARACTÈRES										MUREY BET		1		
ET DE LEUR DEGRÉ DE SIGNIFICATION DANS LA RECHERCHE,										SCHEMA OPERATOIRE		PERCUSSION		
SUR UN SUPPORT, DE SA TECHNIQUE DE TAILLE										?				
CARACTÈRES MORPHOLOGIQUES										A		B		
MODALITÉS DE CARACTÈRES										1 2 3 4 5 6 7 8		1 2 3 4 5 6 7 8		
CODE INFOR.										1 2 3 4 5 6 7 8		1 2 3 4 5 6 7 8		
PARTIE PROXIMALE	TALON	60	1	LISSE										
		60	2	ÉCRASÉ										
		60	3	PUNCTIFORME										
		60	4	DIÈDRE										
PARTIE PROXIMALE	LÈVRE	61	1	FACETTE										
		61	2	FILIFORME										
		61	3	CORTICAL										
		61	4	EVERSE										
PARTIE PROXIMALE	PRÉPARATION DE L'ANGLE DE CHASSE	62	1	AVEC LÈVRE										
		62	2	SANS										
		62	3	CÔTÉ SURFACE DÉBITÉE										
		62	4	CÔTÉ PLAN DE FRAPPE										
PARTIE PROXIMALE	POINT D'IMPACT	63	1	DES DEUX CÔTÉS										
		63	2	AVEC PT. D'IMPACT										
		63	3											
		63	4											
PARTIE PROXIMALE	EXTREMITÉ DISTALE	64	1	POINTUE										
		64	2	ARRONDIÉ										
		64	3	IRRÉGULIÈRE										
		64	4	OUTREPASSÉE										
PARTIE PROXIMALE	TYPE D'ANOMALIE DISTALE	65	1	RÉFLÉCHIE										
		65	2	À BOURRELETS										
		65	3											
		65	4											
BORDS	BORDS	71	1	PARALLÈLES										
		71	2	CONVERGENTS										
		71	3	DIVERGENTS										
		71	4	IRRÉGULIERS										
FACE D'ÉCLATEMENT	BULBE	66	1	SAILLANT										
		66	2	DIFFUS										
		66	3	ÉCAILLE										
		66	4	PROXIMALE										
FACE D'ÉCLATEMENT	COURBURE MAXIMALE	65	1	DISTALE										
		65	2	INDÉFINIE										
		65	3	CONCAVE										
		65	4	CONVEXE										
FACE D'ÉCLATEMENT	PROFIL	66	1	PLAT										
		66	2	TORSE										
		66	3	IRRÉGULIER										
		66	4											
FACE SUPÉRIEURE	DISPOSITION DES NÉGATIFS D'ENLEVEMENTS	72	1	PARALLÈLES (IDENTIQUES)										
		72	2	PARALLÈLES INVERSES										
		72	3	ORTHOCONAUX										
		72	4	CROISÉES										
FACE SUPÉRIEURE	ORIENTATION DES NÉGATIFS PAR RAPPORT AU SENS D'EXTRACTION DU SUPPORT	73	1	CENTRIPÈTES										
		73	2	UNIFORMES										
		73	3	MULTIPLES										
		73	4	DIVERGENTS										
FACE SUPÉRIEURE	NERVURES	74	1	IDENTIQUE										
		74	2	PERPENDICULAIRE										
		74	3	INCLINÉE										
		74	4	OPPOSÉE										
FACE SUPÉRIEURE	EMPLACEMENT DU CORTÈX	75	1	SAILLANTES										
		75	2	DIFFUSES										
		75	3	PROXIMALES										
		75	4	MÉDIALES										

MÉTHODE DE RECHERCHE ANALYTIQUE DES MODALITÉS DE CARACTÈRES										SITE		COUCHE	
TABLEAU RÉCAPITULATIF DES MODALITÉS DE CARACTÈRES										MUREY BET		1	
ET DE LEUR DEGRÉ DE SIGNIFICATION DANS LA RECHERCHE,										SCHEMA OPERATOIRE		PERCUSSION	
SUR UN SUPPORT, DE SA TECHNIQUE DE TAILLE										?			
CARACTÈRES MORPHOLOGIQUES										A		B	
MODALITÉS DE CARACTÈRES										1 2 3 4 5 6 7 8		1 2 3 4 5 6 7 8	
CODE INFOR.										1 2 3 4 5 6 7 8		1 2 3 4 5 6 7 8	
PARTIE PROXIMALE	TALON	60	1	LISSE									
		60	2	ÉCRASÉ									
		60	3	PUNCTIFORME									
		60	4	DIÈDRE									
PARTIE PROXIMALE	LÈVRE	61	1	FACETTE									
		61	2	FILIFORME									
		61	3	CORTICAL									
		61	4	EVERSE									
PARTIE PROXIMALE	PRÉPARATION DE L'ANGLE DE CHASSE	62	1	AVEC LÈVRE									
		62	2	SANS									
		62	3	CÔTÉ SURFACE DÉBITÉE									
		62	4	CÔTÉ PLAN DE FRAPPE									
PARTIE PROXIMALE	POINT D'IMPACT	63	1	DES DEUX CÔTÉS									
		63	2	AVEC PT. D'IMPACT									
		63	3										
		63	4										
PARTIE PROXIMALE	EXTREMITÉ DISTALE	64	1	POINTUE									
		64	2	ARRONDIÉ									
		64	3	IRRÉGULIÈRE									
		64	4	OUTREPASSÉE									
PARTIE PROXIMALE	TYPE D'ANOMALIE DISTALE	65	1	RÉFLÉCHIE									
		65	2	À BOURRELETS									
		65	3										
		65	4										
BORDS	BORDS	71	1	PARALLÈLES									
		71	2	CONVERGENTS									
		71	3	DIVERGENTS									
		71	4	IRRÉGULIERS									
FACE D'ÉCLATEMENT	BULBE	66	1	SAILLANT									
		66	2	DIFFUS									
		66	3	ÉCAILLE									
		66	4	PROXIMALE									
FACE D'ÉCLATEMENT	COURBURE MAXIMALE	65	1	DISTALE									
		65	2	INDÉFINIE									
		65	3	CONCAVE									
		65	4	CONVEXE									
FACE D'ÉCLATEMENT	PROFIL	66	1	PLAT									
		66	2	TORSE									
		66	3	IRRÉGULIER									
		66	4										
FACE SUPÉRIEURE	DISPOSITION DES NÉGATIFS D'ENLEVEMENTS	72	1	PARALLÈLES (IDENTIQUES)									
		72	2	PARALLÈLES INVERSES									
		72	3	ORTHOCONAUX									
		72	4	CROISÉES									
FACE SUPÉRIEURE	ORIENTATION DES NÉGATIFS PAR RAPPORT AU SENS D'EXTRACTION DU SUPPORT	73	1	CENTRIPÈTES									
		73	2	UNIFORMES									
		73	3	MULTIPLES									
		73	4	DIVERGENTS									
FACE SUPÉRIEURE	NERVURES	74	1	IDENTIQUE									
		74	2	PERPENDICULAIRE									
		74	3	INCLINÉE									
		74	4	OPPOSÉE									
FACE SUPÉRIEURE	EMPLACEMENT DU CORTÈX	75	1	SAILLANTES									
		75	2	DIFFUSES									
		75	3	PROXIMALES									
		75	4	MÉDIALES									

96

Nb 113 145 650 513 75 1 68 381 159 34

Tableau 34 - LAMES: couche n° 1.  
BLADES: layer n° 1.



MÉTHODE DE RECHERCHE ANALYTIQUE DES MODALITÉS DE CARACTÈRES ET DE LEUR DEGRÉ DE SIGNIFICATION DANS LA RECHERCHE, SUR UN SUPPORT, DE SA TECHNIQUE DE TAILLE				SITE MUREYBET		COUCHE 3	
LAMES		SCHEMA OPERATOIRE		PERCUSSION		DURE	
? A		B		?		?	
E R E		E R E R E R E R E		E R E R E R E R E		E R E R E R E R E	
CARACTÈRES MORPHOLOGIQUES	MODALITÉS DE CARACTÈRES	CODE INFORM.	TALON	60	1	53	
				61	2		
				62	3		
				63	4		
				64	5		
				65	6		
				66	7		
				67	8		
				68	9		
				69	10		
CARACTÈRES MORPHOLOGIQUES	MODALITÉS DE CARACTÈRES	CODE INFORM.	LÈVRE	70	1		
				71	2		
				72	3		
				73	4		
				74	5		
				75	6		
				76	7		
				77	8		
				78	9		
				79	10		
CARACTÈRES MORPHOLOGIQUES	MODALITÉS DE CARACTÈRES	CODE INFORM.	PRÉPARATION DE L'ANGLE DE CHASSE	80	1		
				81	2		
				82	3		
				83	4		
				84	5		
				85	6		
				86	7		
				87	8		
				88	9		
				89	10		
CARACTÈRES MORPHOLOGIQUES	MODALITÉS DE CARACTÈRES	CODE INFORM.	POINT D'IMPACT	90	1		
				91	2		
				92	3		
				93	4		
				94	5		
				95	6		
				96	7		
				97	8		
				98	9		
				99	10		
CARACTÈRES MORPHOLOGIQUES	MODALITÉS DE CARACTÈRES	CODE INFORM.	EXTREMITÉ DISTALE	100	1		
				101	2		
				102	3		
				103	4		
				104	5		
				105	6		
				106	7		
				107	8		
				108	9		
				109	10		
CARACTÈRES MORPHOLOGIQUES	MODALITÉS DE CARACTÈRES	CODE INFORM.	TYPE D'ANOMALIE DISTALE	110	1		
				111	2		
				112	3		
				113	4		
				114	5		
				115	6		
				116	7		
				117	8		
				118	9		
				119	10		
CARACTÈRES MORPHOLOGIQUES	MODALITÉS DE CARACTÈRES	CODE INFORM.	BORDS	120	1		
				121	2		
				122	3		
				123	4		
				124	5		
				125	6		
				126	7		
				127	8		
				128	9		
				129	10		
CARACTÈRES MORPHOLOGIQUES	MODALITÉS DE CARACTÈRES	CODE INFORM.	BULBE	130	1		
				131	2		
				132	3		
				133	4		
				134	5		
				135	6		
				136	7		
				137	8		
				138	9		
				139	10		
CARACTÈRES MORPHOLOGIQUES	MODALITÉS DE CARACTÈRES	CODE INFORM.	COURBURE MAXIMALE	140	1		
				141	2		
				142	3		
				143	4		
				144	5		
				145	6		
				146	7		
				147	8		
				148	9		
				149	10		
CARACTÈRES MORPHOLOGIQUES	MODALITÉS DE CARACTÈRES	CODE INFORM.	PROFIL	150	1		
				151	2		
				152	3		
				153	4		
				154	5		
				155	6		
				156	7		
				157	8		
				158	9		
				159	10		
CARACTÈRES MORPHOLOGIQUES	MODALITÉS DE CARACTÈRES	CODE INFORM.	DISPOSITION DES NÉGATIFS D'ENLEVEMENTS	160	1		
				161	2		
				162	3		
				163	4		
				164	5		
				165	6		
				166	7		
				167	8		
				168	9		
				169	10		
CARACTÈRES MORPHOLOGIQUES	MODALITÉS DE CARACTÈRES	CODE INFORM.	ORIENTATION DES NÉGATIFS PAR RAPPORT AU SENS D'EXTRACTION DU SUPPORT	170	1		
				171	2		
				172	3		
				173	4		
				174	5		
				175	6		
				176	7		
				177	8		
				178	9		
				179	10		
CARACTÈRES MORPHOLOGIQUES	MODALITÉS DE CARACTÈRES	CODE INFORM.	EMPLACEMENT DU CORTEX	180	1		
				181	2		
				182	3		
				183	4		
				184	5		
				185	6		
				186	7		
				187	8		
				188	9		
				189	10		

MÉTHODE DE RECHERCHE ANALYTIQUE DES MODALITÉS DE CARACTÈRES ET DE LEUR DEGRÉ DE SIGNIFICATION DANS LA RECHERCHE, SUR UN SUPPORT, DE SA TECHNIQUE DE TAILLE				SITE MUREYBET		COUCHE 3	
LAMES		SCHEMA OPERATOIRE		PERCUSSION		DURE	
? A		B		?		?	
E R E		E R E R E R E R E		E R E R E R E R E		E R E R E R E R E	
CARACTÈRES MORPHOLOGIQUES	MODALITÉS DE CARACTÈRES	CODE INFORM.	TALON	60	1	60	
				61	2		
				62	3		
				63	4		
				64	5		
				65	6		
				66	7		
				67	8		
				68	9		
				69	10		
CARACTÈRES MORPHOLOGIQUES	MODALITÉS DE CARACTÈRES	CODE INFORM.	LÈVRE	70	1		
				71	2		
				72	3		
				73	4		
				74	5		
				75	6		
				76	7		
				77	8		
				78	9		
				79	10		
CARACTÈRES MORPHOLOGIQUES	MODALITÉS DE CARACTÈRES	CODE INFORM.	PRÉPARATION DE L'ANGLE DE CHASSE	80	1		
				81	2		
				82	3		
				83	4		
				84	5		
				85	6		
				86	7		
				87	8		
				88	9		
				89	10		
CARACTÈRES MORPHOLOGIQUES	MODALITÉS DE CARACTÈRES	CODE INFORM.	POINT D'IMPACT	90	1		
				91	2		
				92	3		
				93	4		
				94	5		
				95	6		
				96	7		
				97	8		
				98	9		
				99	10		
CARACTÈRES MORPHOLOGIQUES	MODALITÉS DE CARACTÈRES	CODE INFORM.	EXTREMITÉ DISTALE	100	1		
				101	2		
				102	3		
				103	4		
				104	5		
				105	6		
				106	7		
				107	8		
				108	9		
				109	10		
CARACTÈRES MORPHOLOGIQUES	MODALITÉS DE CARACTÈRES	CODE INFORM.	TYPE D'ANOMALIE DISTALE	110	1		
				111	2		
				112	3		
				113	4		
				114	5		
				115	6		
				116	7		
				117	8		
				118	9		
				119	10		
CARACTÈRES MORPHOLOGIQUES	MODALITÉS DE CARACTÈRES	CODE INFORM.	BORDS	120	1		
				121	2		
				122	3		
				123	4		
				124	5		
				125	6		
				126	7		
				127	8		
				128	9		
				129	10		
CARACTÈRES MORPHOLOGIQUES	MODALITÉS DE CARACTÈRES	CODE INFORM.	BULBE	130	1		
				131	2		
				132	3		
				133	4		
				134	5		
				135	6		
				136	7		
				137	8		
				138	9		
				139	10		
CARACTÈRES MORPHOLOGIQUES	MODALITÉS DE CARACTÈRES	CODE INFORM.	COURBURE MAXIMALE	140	1		
				141	2		
				142	3		
				143	4		
				144	5		
				145	6		
				146	7		
				147	8		
				148	9		
				149	10		
CARACTÈRES MORPHOLOGIQUES	MODALITÉS DE CARACTÈRES	CODE INFORM.	PROFIL	150	1		
				151	2		
				152	3		
				153	4		
				154	5		
				155	6		
				156	7		
				157	8		
				158	9		
				159	10		
CARACTÈRES MORPHOLOGIQUES	MODALITÉS DE CARACTÈRES	CODE INFORM.	DISPOSITION DES NÉGATIFS D'ENLEVEMENTS	160	1		
				161	2		
				162	3		
				163	4		
				164	5		
				165	6		
				166	7		
				167	8		
				168	9		
				169	10		
CARACTÈRES MORPHOLOGIQUES	MODALITÉS DE CARACTÈRES	CODE INFORM.	ORIENTATION DES NÉGATIFS PAR RAPPORT AU SENS D'EXTRACTION DU SUPPORT	170	1		
				171	2		
				172	3		
				173	4		
				174	5		
				175	6		
				176	7		
				177	8		
				178	9		
				179	10		
CARACTÈRES MORPHOLOGIQUES	MODALITÉS DE CARACTÈRES	CODE INFORM.	EMPLACEMENT DU CORTEX	180	1		
				181	2		
				182	3		
				183	4		
				184	5		
				185	6		
				186	7		
				187	8		
				188	9		
				189	10		

Tableau 36 - LAMES: couche n° 3. BLADES: layer n° 3.

Nb 162 145 563 447 61 2 51 310 418 48

%





MÉTHODE DE RECHERCHE ANALYTIQUE DES MODALITÉS DE TAILLE										SITE		COUCHE								
TABLEAU RÉCAPITULATIF DES MODALITÉS DE CARACTÈRES ET DE LEUR DEGRÉ DE SIGNIFICATION DANS LA RECHERCHE, SUR UN SUPPORT, DE SA TECHNIQUE DE TAILLE										MUREY BET		5								
CARACTÈRES MORPHOLOGIQUES										LAMES		SCHEMA OPERATOIRE		PERCUSSION						
MODALITÉS DE CARACTÈRES										? A		B		TENUE INDICES		DURE				
CODE INFORM.										1 2 3 4 5 6 7 8		1 2 3 4 5 6 7 8		1 2 3 4 5 6 7 8		1 2 3 4 5 6 7 8				
FACE PROXIMALE	TALON	60 1	LISSE																	
		60 2	ÉCRASÉ																	
		60 3	PUNCTIFORME																	
PARTIE PROXIMALE	LÈVRE	61 1	DIÈDRE																	
		61 2	FACETTE																	
		61 3	FILIFORME																	
PARTIE PROXIMALE	PRÉPARATION DE L'ANGLE DE CHASSE	62 1	CORTICAL																	
		62 2	ÉVERSE																	
		62 3	AVEC LÈVRE																	
PARTIE PROXIMALE	POINT D'IMPACT	63 1	SANS CÔTE																	
		63 2	SURFACE DÉBITÉE																	
		63 3	AVEC PT. D'IMPACT																	
D'IMPACT	EXTREMITÉ DISTALE	64 1	ARRONDI																	
		64 2	IRRÉGULIÈRE																	
		64 3	OUTREPASÉE																	
D'IMPACT	TYPE D'ANOMALIE DISTALE	65 1	REFLÉCHIE																	
		65 2	A BOURRELETS																	
		65 3																		
BORDS	BORDS	66 1	PARALLÈLES																	
		66 2	CONVERGENTS																	
		66 3	IRRÉGULIERS																	
FACE D'ÉCLATEMENT	BULBE	67 1	SAILLANT																	
		67 2	DIFFUS																	
		67 3	ÉCAILLE																	
FACE D'ÉCLATEMENT	COURBURE MAXIMALE	68 1	PROXIMALE																	
		68 2	DISTALE																	
		68 3	INDÉFINIE																	
FACE D'ÉCLATEMENT	PROFIL	69 1	CONCAVE																	
		69 2	CONVEXE																	
		69 3	PLAT																	
FACE SUPÉRIEURE	DISPOSITION DES NÉGATIFS D'ENLEVEMENTS	70 1	IRRÉGULIER																	
		70 2	PARALLÈLES (DENTELÉS)																	
		70 3	ORTHOGONAUX																	
FACE SUPÉRIEURE	ORIENTATION DES NÉGATIFS PAR RAPPORT AU SENS D'EXTRACTION DU SUPPORT	71 1	CROISÉS																	
		71 2	CENTRIPÈTES																	
		71 3	UNIFORMES																	
FACE SUPÉRIEURE	EMPLACEMENT DU CORTÈX	72 1	MULTIPLES																	
		72 2	DIVERGENTS																	
		72 3	IDENTIQUES																	
FACE SUPÉRIEURE	NERVURES	73 1	PERPENDICULAIRE																	
		73 2	INCLINÉE																	
		73 3	OPOSÉE																	
FACE SUPÉRIEURE	EMPLACEMENT DU CORTÈX	74 1	SAILLANTES																	
		74 2	DIFFUSES																	
		74 3	PROXIMAL																	
FACE SUPÉRIEURE	EMPLACEMENT DU CORTÈX	75 1	MÉTAL																	
		75 2	DISTAL																	
		75 3	SUR LA TOTALITÉ LATÉRAL GAUCHE LATÉRAL DROIT																	

MÉTHODE DE RECHERCHE ANALYTIQUE DES MODALITÉS DE TAILLE										SITE		COUCHE							
TABLEAU RÉCAPITULATIF DES MODALITÉS DE CARACTÈRES ET DE LEUR DEGRÉ DE SIGNIFICATION DANS LA RECHERCHE, SUR UN SUPPORT, DE SA TECHNIQUE DE TAILLE										MUREY BET		5							
CARACTÈRES MORPHOLOGIQUES										LAMES		SCHEMA OPERATOIRE		PERCUSSION					
MODALITÉS DE CARACTÈRES										? A		B		TENUE INDICES		DURE			
CODE INFORM.										1 2 3 4 5 6 7 8		1 2 3 4 5 6 7 8		1 2 3 4 5 6 7 8		1 2 3 4 5 6 7 8			
FACE PROXIMALE	TALON	60 1	LISSE																
		60 2	ÉCRASÉ																
		60 3	PUNCTIFORME																
PARTIE PROXIMALE	LÈVRE	61 1	DIÈDRE																
		61 2	FACETTE																
		61 3	FILIFORME																
PARTIE PROXIMALE	PRÉPARATION DE L'ANGLE DE CHASSE	62 1	CORTICAL																
		62 2	ÉVERSE																
		62 3	AVEC LÈVRE																
PARTIE PROXIMALE	POINT D'IMPACT	63 1	SANS CÔTE																
		63 2	SURFACE DÉBITÉE																
		63 3	AVEC PT. D'IMPACT																
D'IMPACT	EXTREMITÉ DISTALE	64 1	ARRONDI																
		64 2	IRRÉGULIÈRE																
		64 3	OUTREPASÉE																
D'IMPACT	TYPE D'ANOMALIE DISTALE	65 1	REFLÉCHIE																
		65 2	A BOURRELETS																
		65 3																	
BORDS	BORDS	66 1	PARALLÈLES																
		66 2	CONVERGENTS																
		66 3	IRRÉGULIERS																
FACE D'ÉCLATEMENT	BULBE	67 1	SAILLANT																
		67 2	DIFFUS																
		67 3	ÉCAILLE																
FACE D'ÉCLATEMENT	COURBURE MAXIMALE	68 1	PROXIMALE																
		68 2	DISTALE																
		68 3	INDÉFINIE																
FACE D'ÉCLATEMENT	PROFIL	69 1	CONCAVE																
		69 2	CONVEXE																
		69 3	PLAT																
FACE SUPÉRIEURE	DISPOSITION DES NÉGATIFS D'ENLEVEMENTS	70 1	IRRÉGULIER																
		70 2	PARALLÈLES (DENTELÉS)																
		70 3	ORTHOGONAUX																
FACE SUPÉRIEURE	ORIENTATION DES NÉGATIFS PAR RAPPORT AU SENS D'EXTRACTION DU SUPPORT	71 1	CROISÉS																
		71 2	CENTRIPÈTES																
		71 3	UNIFORMES																
FACE SUPÉRIEURE	NERVURES	72 1	MULTIPLES																
		72 2	DIVERGENTS																
		72 3	IDENTIQUES																
FACE SUPÉRIEURE	EMPLACEMENT DU CORTÈX	73 1	PERPENDICULAIRE																
		73 2	INCLINÉE																
		73 3	OPOSÉE																
FACE SUPÉRIEURE	EMPLACEMENT DU CORTÈX	74 1	SAILLANTES																
		74 2	DIFFUSES																
		74 3	PROXIMAL																
FACE SUPÉRIEURE	EMPLACEMENT DU CORTÈX	75 1	MÉTAL																
		75 2	DISTAL																
		75 3	SUR LA TOTALITÉ LATÉRAL GAUCHE LATÉRAL DROIT																

Tableau 38 - LAMES : couche n° 5. BLADES : layer n° 5.

%

MÉTHODE DE RECHERCHE ANALYTIQUE DES MODALITÉS DE CARACTÈRES										MÉTHODE DE RECHERCHE ANALYTIQUE DES MODALITÉS DE CARACTÈRES										
TABLEAU RÉCAPITULATIF DES MODALITÉS DE CARACTÈRES ET DE LEUR DEGRÉ DE SIGNIFICATION DANS LA RECHERCHE, SUR UN SUPPORT, DE SA TECHNIQUE DE TAILLE										TABLEAU RÉCAPITULATIF DES MODALITÉS DE CARACTÈRES ET DE LEUR DEGRÉ DE SIGNIFICATION DANS LA RECHERCHE, SUR UN SUPPORT, DE SA TECHNIQUE DE TAILLE										
LAMES		SITE		COUCHE		LAMES		SITE		COUCHE		LAMES		SITE		COUCHE				
NOMBRE 72		MUREY BET		7		NOMBRE 72		MUREY BET		7		NOMBRE 72		MUREY BET		7				
SCHEMA OPERATOIRE		PERCUSSION		DURE		SCHEMA OPERATOIRE		PERCUSSION		DURE		SCHEMA OPERATOIRE		PERCUSSION		DURE				
A		B		?		A		B		?		A		B		?				
1 2 3 4 5 6 7 8		1 2 3 4 5 6 7 8		1 2 3 4 5 6 7 8		1 2 3 4 5 6 7 8		1 2 3 4 5 6 7 8		1 2 3 4 5 6 7 8		1 2 3 4 5 6 7 8		1 2 3 4 5 6 7 8		1 2 3 4 5 6 7 8				
CARACTÈRES MORPHOLOGIQUES	CODE INFORM.	MODALITÉS DE CARACTÈRES																		
		TALON	60	1	LISSÉ	60	1	LISSÉ	60	1	LISSÉ	60	1	LISSÉ	60	1	LISSÉ	60	1	LISSÉ
			61	2	ÉCRASÉ	61	2	ÉCRASÉ	61	2	ÉCRASÉ	61	2	ÉCRASÉ	61	2	ÉCRASÉ	61	2	ÉCRASÉ
			62	3	PUNCTIFORME	62	3	PUNCTIFORME	62	3	PUNCTIFORME	62	3	PUNCTIFORME	62	3	PUNCTIFORME	62	3	PUNCTIFORME
63	4		DIÈDRE	63	4	DIÈDRE	63	4	DIÈDRE	63	4	DIÈDRE	63	4	DIÈDRE	63	4	DIÈDRE		
PARTIE PROXIMALE	64	1	4	FACETTE	64	1	FACETTE	64	1	FACETTE	64	1	FACETTE	64	1	FACETTE	64	1	FACETTE	
		2	5	FILIFORME	64	2	FILIFORME	64	2	FILIFORME	64	2	FILIFORME	64	2	FILIFORME	64	2	FILIFORME	
		3	6	CORTICAL	64	3	CORTICAL	64	3	CORTICAL	64	3	CORTICAL	64	3	CORTICAL	64	3	CORTICAL	
		4	7	ÉVERSE	64	4	ÉVERSE	64	4	ÉVERSE	64	4	ÉVERSE	64	4	ÉVERSE	64	4	ÉVERSE	
PARTIE DISTALE	65	1	8	AVEC LÈVRE	65	1	AVEC LÈVRE	65	1	AVEC LÈVRE	65	1	AVEC LÈVRE	65	1	AVEC LÈVRE	65	1	AVEC LÈVRE	
		2	0	SANS	65	2	SANS	65	2	SANS	65	2	SANS	65	2	SANS	65	2	SANS	
		3	1	CÔTÉ SURFACE DÉBITÉE	65	3	CÔTÉ SURFACE DÉBITÉE	65	3	CÔTÉ SURFACE DÉBITÉE	65	3	CÔTÉ SURFACE DÉBITÉE	65	3	CÔTÉ SURFACE DÉBITÉE	65	3	CÔTÉ SURFACE DÉBITÉE	
		4	2	CÔTÉ PLAN DE FRAPPE	65	4	CÔTÉ PLAN DE FRAPPE	65	4	CÔTÉ PLAN DE FRAPPE	65	4	CÔTÉ PLAN DE FRAPPE	65	4	CÔTÉ PLAN DE FRAPPE	65	4	CÔTÉ PLAN DE FRAPPE	
BORDS	70	1	3	DES DEUX CÔTÉS	70	1	DES DEUX CÔTÉS	70	1	DES DEUX CÔTÉS	70	1	DES DEUX CÔTÉS	70	1	DES DEUX CÔTÉS	70	1	DES DEUX CÔTÉS	
		2	1	AVEC PT. D'IMPACT	70	2	AVEC PT. D'IMPACT	70	2	AVEC PT. D'IMPACT	70	2	AVEC PT. D'IMPACT	70	2	AVEC PT. D'IMPACT	70	2	AVEC PT. D'IMPACT	
		3	1	POINTUE	70	3	POINTUE	70	3	POINTUE	70	3	POINTUE	70	3	POINTUE	70	3	POINTUE	
		4	2	ARRONDIÉ	70	4	ARRONDIÉ	70	4	ARRONDIÉ	70	4	ARRONDIÉ	70	4	ARRONDIÉ	70	4	ARRONDIÉ	
BORDS	71	1	3	IRRÉGULIÈRE	71	1	IRRÉGULIÈRE	71	1	IRRÉGULIÈRE	71	1	IRRÉGULIÈRE	71	1	IRRÉGULIÈRE	71	1	IRRÉGULIÈRE	
		2	2	OUTRE-PASSÉE	71	2	OUTRE-PASSÉE	71	2	OUTRE-PASSÉE	71	2	OUTRE-PASSÉE	71	2	OUTRE-PASSÉE	71	2	OUTRE-PASSÉE	
		3	1	REFLÉCHIE	71	3	REFLÉCHIE	71	3	REFLÉCHIE	71	3	REFLÉCHIE	71	3	REFLÉCHIE	71	3	REFLÉCHIE	
		4	3	À BOURRELETS	71	4	À BOURRELETS	71	4	À BOURRELETS	71	4	À BOURRELETS	71	4	À BOURRELETS	71	4	À BOURRELETS	
BORDS	72	1	4	PARALLÈLES	72	1	PARALLÈLES	72	1	PARALLÈLES	72	1	PARALLÈLES	72	1	PARALLÈLES	72	1	PARALLÈLES	
		2	2	CONVERGENTS	72	2	CONVERGENTS	72	2	CONVERGENTS	72	2	CONVERGENTS	72	2	CONVERGENTS	72	2	CONVERGENTS	
		3	3	DIVERGENTS	72	3	DIVERGENTS	72	3	DIVERGENTS	72	3	DIVERGENTS	72	3	DIVERGENTS	72	3	DIVERGENTS	
		4	4	IRRÉGULIERS	72	4	IRRÉGULIERS	72	4	IRRÉGULIERS	72	4	IRRÉGULIERS	72	4	IRRÉGULIERS	72	4	IRRÉGULIERS	
BORDS	73	1	4	SAILLANT	73	1	SAILLANT	73	1	SAILLANT	73	1	SAILLANT	73	1	SAILLANT	73	1	SAILLANT	
		2	2	DIFFUS	73	2	DIFFUS	73	2	DIFFUS	73	2	DIFFUS	73	2	DIFFUS	73	2	DIFFUS	
		3	3	ÉCAILLE	73	3	ÉCAILLE	73	3	ÉCAILLE	73	3	ÉCAILLE	73	3	ÉCAILLE	73	3	ÉCAILLE	
		4	3	PROXIMALE	73	4	PROXIMALE	73	4	PROXIMALE	73	4	PROXIMALE	73	4	PROXIMALE	73	4	PROXIMALE	
BORDS	74	1	3	DISTALE	74	1	DISTALE	74	1	DISTALE	74	1	DISTALE	74	1	DISTALE	74	1	DISTALE	
		2	2	INDEFINIE	74	2	INDEFINIE	74	2	INDEFINIE	74	2	INDEFINIE	74	2	INDEFINIE	74	2	INDEFINIE	
		3	2	CONCAVE	74	3	CONCAVE	74	3	CONCAVE	74	3	CONCAVE	74	3	CONCAVE	74	3	CONCAVE	
		4	3	PLAT	74	4	PLAT	74	4	PLAT	74	4	PLAT	74	4	PLAT	74	4	PLAT	
FACE D'ÉCLATEMENT	75	1	5	TORSE	75	1	TORSE	75	1	TORSE	75	1	TORSE	75	1	TORSE	75	1	TORSE	
		2	3	IRRÉGULIER	75	2	IRRÉGULIER	75	2	IRRÉGULIER	75	2	IRRÉGULIER	75	2	IRRÉGULIER	75	2	IRRÉGULIER	
		3	3	PARALLÈLES (DENTIQUE)	75	3	PARALLÈLES (DENTIQUE)	75	3	PARALLÈLES (DENTIQUE)	75	3	PARALLÈLES (DENTIQUE)	75	3	PARALLÈLES (DENTIQUE)	75	3	PARALLÈLES (DENTIQUE)	
		4	2	PARALLÈLES INVERSES	75	4	PARALLÈLES INVERSES	75	4	PARALLÈLES INVERSES	75	4	PARALLÈLES INVERSES	75	4	PARALLÈLES INVERSES	75	4	PARALLÈLES INVERSES	
FACE SUPÉRIEURE	76	1	4	ORTHOGONAUX	76	1	ORTHOGONAUX	76	1	ORTHOGONAUX	76	1	ORTHOGONAUX	76	1	ORTHOGONAUX	76	1	ORTHOGONAUX	
		2	3	CROISÉS	76	2	CROISÉS	76	2	CROISÉS	76	2	CROISÉS	76	2	CROISÉS	76	2	CROISÉS	
		3	4	CENTRIPÈTES	76	3	CENTRIPÈTES	76	3	CENTRIPÈTES	76	3	CENTRIPÈTES	76	3	CENTRIPÈTES	76	3	CENTRIPÈTES	
		4	3	UNIFORMES	76	4	UNIFORMES	76	4	UNIFORMES	76	4	UNIFORMES	76	4	UNIFORMES	76	4	UNIFORMES	
FACE SUPÉRIEURE	77	1	6	MULTIPLES	77	1	MULTIPLES	77	1	MULTIPLES	77	1	MULTIPLES	77	1	MULTIPLES	77	1	MULTIPLES	
		2	4	DIVERGENTS	77	2	DIVERGENTS	77	2	DIVERGENTS	77	2	DIVERGENTS	77	2	DIVERGENTS	77	2	DIVERGENTS	
		3	2	DENTIQUE	77	3	DENTIQUE	77	3	DENTIQUE	77	3	DENTIQUE	77	3	DENTIQUE	77	3	DENTIQUE	
		4	3	PERPENDICULAIRE	77	4	PERPENDICULAIRE	77	4	PERPENDICULAIRE	77	4	PERPENDICULAIRE	77	4	PERPENDICULAIRE	77	4	PERPENDICULAIRE	
FACE SUPÉRIEURE	78	1	4	INCLINÉE	78	1	INCLINÉE	78	1	INCLINÉE	78	1	INCLINÉE	78	1	INCLINÉE	78	1	INCLINÉE	
		2	2	OPROSSÉE	78	2	OPROSSÉE	78	2	OPROSSÉE	78	2	OPROSSÉE	78	2	OPROSSÉE	78	2	OPROSSÉE	
		3	3	SAILLANTES	78	3	SAILLANTES	78	3	SAILLANTES	78	3	SAILLANTES	78	3	SAILLANTES	78	3	SAILLANTES	
		4	2	DIFFUSES	78	4	DIFFUSES	78	4	DIFFUSES	78	4	DIFFUSES	78	4	DIFFUSES	78	4	DIFFUSES	
FACE SUPÉRIEURE	79	1	2	PROXIMAL	79	1	PROXIMAL	79	1	PROXIMAL	79	1	PROXIMAL	79	1	PROXIMAL	79	1	PROXIMAL	
		2	3	MÉTAL	79	2	MÉTAL	79	2	MÉTAL	79	2	MÉTAL	79	2	MÉTAL	79	2	MÉTAL	
		3	4	DISTAL	79	3	DISTAL	79	3	DISTAL	79	3	DISTAL	79	3	DISTAL	79	3	DISTAL	
		4	3	SUR LA TOTALITÉ	79	4	SUR LA TOTALITÉ	79	4	SUR LA TOTALITÉ	79	4	SUR LA TOTALITÉ	79	4	SUR LA TOTALITÉ	79	4	SUR LA TOTALITÉ	
FACE SUPÉRIEURE	80	1	4	LATÉRAL GAUCHE	80	1	LATÉRAL GAUCHE	80	1	LATÉRAL GAUCHE	80	1	LATÉRAL GAUCHE	80	1	LATÉRAL GAUCHE	80	1	LATÉRAL GAUCHE	
		2	3	LATÉRAL DROIT	80	2	LATÉRAL DROIT	80	2	LATÉRAL DROIT	80	2	LATÉRAL DROIT	80	2	LATÉRAL DROIT	80	2	LATÉRAL DROIT	
		3	2		80	3		80	3		80	3		80	3		80	3		
		4	2		80	4		80	4		80	4		80	4		80	4		

Tableau 39 - LAMES: couche n° 6. BLADES: layer n° 6.

MÉTHODE DE RECHERCHE ANALYTIQUE DES TECHNIQUES DE TAILLE  
**TABLEAU RÉCAPITULATIF DES MODALITÉS DE CARACTÈRES ET DE LEUR DEGRÉ DE SIGNIFICATION DANS LA RECHERCHE, SUR UN SUPPORT, DE SA TECHNIQUE DE TAILLE**

LAMES		SITE		CONCOURS		
NOMBRÉ: G-1		MUREY BET		6		
SCHEMA OPERATOIRE		PERCUSSION		DURE		
TECHNIQUE ?	A	B	INDICER	X	Y	
CARACTÈRES MORPHOLOGIQUES	MODALITÉS DE CARACTÈRES	CODE INFORM.	LISSE			
			ÉCRASÉ			
			PUNCTIFORME			
			DIÈDRE			
			FACETTE			
			FILIFORME			
			CORTICAL			
			EVERSÉ			
PARTIE PROXIMALE	LÈVRE	G1	AVEC LÈVRE			
			SANS SURFACE DÉBITÉE			
			CÔTÉ PLAN DE FRAPPE			
			DES DEUX CÔTÉS			
PARTIE DISTALE	EXTREMITÉ DISTALE	G2	AVEC PT. D'IMPACT			
			ARRONDI			
			IRRÉGULIER			
			OUTRE-PASSÉE			
BORDS	TYPE D'ANOMALIE DISTALE	G6	RÉFLEXIE			
			À BOURRELETS			
			PARALLÈLES			
			CONVERGENTS			
FACE D'ÉCLATEMENT	BULBE	G7	DIVERGENTS			
			IRRÉGULIERS			
			SAILLANT			
			DIFFUS			
FACE SUPÉRIEURE	DISPOSITION DES NÉGATIFS D'ENLÈVEMENTS	G2	ÉCAILLÉ			
			PROXIMALE			
			DISTALE			
			INDÉFINIE			
FACE SUPÉRIEURE	ORIENTATION DES NÉGATIFS PAR RAPPORT AU SENS D'EXTRACTION DU SUPPORT	G3	CONCAVE			
			CONVEXE			
			PLAT			
			TORSÉ			
FACE SUPÉRIEURE	EMPLACEMENT DU CORTEX	G4	IRRÉGULIER			
			PARALLÈLES (IDENTIQUES)			
			PARALLÈLES INVERSES			
			ORTHOGONAUX			
FACE SUPÉRIEURE	NERVURES	G5	CROISÉES			
			CENTRÉTES			
			UNIFORMES			
			MULTIPLES			
FACE SUPÉRIEURE	DISPOSITION DES NÉGATIFS D'ENLÈVEMENTS	G6	DIVERGENTS			
			IDENTIQUE			
			PERPENDICULAIRE			
			INCLINÉE			
FACE SUPÉRIEURE	EMPLACEMENT DU CORTEX	G7	OPPOSÉE			
			SAILLANTES			
			DIFFUSES			
			PROXIMAL			
FACE SUPÉRIEURE	NERVURES	G8	MÉSIAL			
			DISTAL			
			SUR LA TOTALITÉ			
			LATÉRAL GAUCHE			
FACE SUPÉRIEURE	EMPLACEMENT DU CORTEX	G9	LATÉRAL DROIT			
			L'ANGLE DE CHASSE			
			POINT D'IMPACT			
			AVEC PT. D'IMPACT			

MÉTHODE DE RECHERCHE ANALYTIQUE DES TECHNIQUES DE TAILLE  
**TABLEAU RÉCAPITULATIF DES MODALITÉS DE CARACTÈRES ET DE LEUR DEGRÉ DE SIGNIFICATION DANS LA RECHERCHE, SUR UN SUPPORT, DE SA TECHNIQUE DE TAILLE**

LAMES		SITE		CONCOURS		
NOMBRÉ: G-1		MUREY BET		6		
SCHEMA OPERATOIRE		PERCUSSION		DURE		
TECHNIQUE ?	A	B	INDICER	X	Y	
CARACTÈRES MORPHOLOGIQUES	MODALITÉS DE CARACTÈRES	CODE INFORM.	LISSE			
			ÉCRASÉ			
			PUNCTIFORME			
			DIÈDRE			
			FACETTE			
			FILIFORME			
			CORTICAL			
			EVERSÉ			
PARTIE PROXIMALE	LÈVRE	G1	AVEC LÈVRE			
			SANS SURFACE DÉBITÉE			
			CÔTÉ PLAN DE FRAPPE			
			DES DEUX CÔTÉS			
PARTIE DISTALE	EXTREMITÉ DISTALE	G2	AVEC PT. D'IMPACT			
			ARRONDI			
			IRRÉGULIER			
			OUTRE-PASSÉE			
BORDS	TYPE D'ANOMALIE DISTALE	G6	RÉFLEXIE			
			À BOURRELETS			
			PARALLÈLES			
			CONVERGENTS			
FACE D'ÉCLATEMENT	BULBE	G7	DIVERGENTS			
			IRRÉGULIERS			
			SAILLANT			
			DIFFUS			
FACE SUPÉRIEURE	DISPOSITION DES NÉGATIFS D'ENLÈVEMENTS	G2	ÉCAILLÉ			
			PROXIMALE			
			DISTALE			
			INDÉFINIE			
FACE SUPÉRIEURE	ORIENTATION DES NÉGATIFS PAR RAPPORT AU SENS D'EXTRACTION DU SUPPORT	G3	CONCAVE			
			CONVEXE			
			PLAT			
			TORSÉ			
FACE SUPÉRIEURE	EMPLACEMENT DU CORTEX	G4	IRRÉGULIER			
			PARALLÈLES (IDENTIQUES)			
			PARALLÈLES INVERSES			
			ORTHOGONAUX			
FACE SUPÉRIEURE	NERVURES	G5	CROISÉES			
			CENTRÉTES			
			UNIFORMES			
			MULTIPLES			
FACE SUPÉRIEURE	DISPOSITION DES NÉGATIFS D'ENLÈVEMENTS	G6	DIVERGENTS			
			IDENTIQUE			
			PERPENDICULAIRE			
			INCLINÉE			
FACE SUPÉRIEURE	EMPLACEMENT DU CORTEX	G7	OPPOSÉE			
			SAILLANTES			
			DIFFUSES			
			PROXIMAL			
FACE SUPÉRIEURE	NERVURES	G8	MÉSIAL			
			DISTAL			
			SUR LA TOTALITÉ			
			LATÉRAL GAUCHE			
FACE SUPÉRIEURE	EMPLACEMENT DU CORTEX	G9	LATÉRAL DROIT			
			L'ANGLE DE CHASSE			
			POINT D'IMPACT			
			AVEC PT. D'IMPACT			

Tableau 40 - LAMES: couche n°7.  
 BLADES: layer n°7.

%



MÉTHODE DE RECHERCHE ANALYTIQUE DES MODALITÉS DE CARACTÈRES ET DE LEUR DEGRÉ DE SIGNIFICATION DANS LA RECHERCHE, SUR UN SUPPORT, DE SA TECHNIQUE DE TAILLE		LAMES		SITE		COUCHE				
		MUREY BET		MUREY BET		2				
		NUMÉRO 68 F	NUMÉRO 68 F	SCHEMA OPERATOIRE	SCHEMA OPERATOIRE	PERCUSSION	PERCUSSION	INDICE	INDICE	
CARACTÈRES MORPHOLOGIQUES		CODE INFORM.	MODALITÉS DE CARACTÈRES	TECHNIQUE	TECHNIQUE	TECHNIQUE	TECHNIQUE	TECHNIQUE	TECHNIQUE	
FACE SUPÉRIEURE	DISPOSITION DES MÉCATIFS D'ENLEVEMENTS	60	LISSE	1	0	0	0	0	0	0
		61	ÉCRASÉ	2	0	0	0	0	0	0
		62	PUNCTIFORME	3	0	0	0	0	0	0
FACE SUPÉRIEURE	ORIENTATION DES MÉCATIFS PAR RAPPORT AU SENS D'EXTRACTION DU SUPPORT	63	DIÈDRE	4	0	0	0	0	0	0
		64	FACETTE	5	0	0	0	0	0	0
		65	FILIFORME	6	0	0	0	0	0	0
FACE SUPÉRIEURE	EMPLACEMENT DU CORTEX	66	CORTICAL	7	0	0	0	0	0	0
		67	EVERSÉ	8	0	0	0	0	0	0
		68	AVEC LÈVRE	1	0	0	0	0	0	0
FACE SUPÉRIEURE	NERVURES	69	SANS CÔTE SURFACE PÉDITEE	1	0	0	0	0	0	0
		70	CÔTE PLAN DE FRAPPE	2	0	0	0	0	0	0
		71	DES DEUX CÔTÉS	3	0	0	0	0	0	0
FACE SUPÉRIEURE	DISPOSITION DES MÉCATIFS D'ENLEVEMENTS	72	AVEC PT. D'IMPACT	4	0	0	0	0	0	0
		73	POINTUE	1	0	0	0	0	0	0
		74	ARRONDIÉ	2	0	0	0	0	0	0
FACE SUPÉRIEURE	EMPLACEMENT DU CORTEX	75	IRRÉGULIÈRE	3	0	0	0	0	0	0
		76	OUTREPASSÉE	4	0	0	0	0	0	0
		77	REFLÉCHIE	5	0	0	0	0	0	0
FACE SUPÉRIEURE	DISPOSITION DES MÉCATIFS D'ENLEVEMENTS	78	À BOURRELETS	6	0	0	0	0	0	0
		79	PARALLÈLES	1	0	0	0	0	0	0
		80	CONVERGENTS	2	0	0	0	0	0	0
FACE SUPÉRIEURE	NERVURES	81	DIVERGENTS	3	0	0	0	0	0	0
		82	IRRÉGULIERS	4	0	0	0	0	0	0
		83	SAILLANT	1	0	0	0	0	0	0
FACE SUPÉRIEURE	EMPLACEMENT DU CORTEX	84	DIFFUS	2	0	0	0	0	0	0
		85	ÉCAILLE	3	0	0	0	0	0	0
		86	PROXIMALE	1	0	0	0	0	0	0
FACE SUPÉRIEURE	DISPOSITION DES MÉCATIFS D'ENLEVEMENTS	87	DISTALE	2	0	0	0	0	0	0
		88	INDÉFINIE	3	0	0	0	0	0	0
		89	CONCAVE	1	0	0	0	0	0	0
FACE SUPÉRIEURE	NERVURES	90	CONVEXE	2	0	0	0	0	0	0
		91	PLAT	3	0	0	0	0	0	0
		92	TORSÉ	4	0	0	0	0	0	0
FACE SUPÉRIEURE	EMPLACEMENT DU CORTEX	93	IRRÉGULIER	5	0	0	0	0	0	0
		94	PARALLÈLES IDENTIQUES	1	0	0	0	0	0	0
		95	PARALLÈLES INVERSES	2	0	0	0	0	0	0
FACE SUPÉRIEURE	DISPOSITION DES MÉCATIFS D'ENLEVEMENTS	96	ORTHOGONAUX	3	0	0	0	0	0	0
		97	CROISÉS	4	0	0	0	0	0	0
		98	CENTRIPÈTES	5	0	0	0	0	0	0
FACE SUPÉRIEURE	NERVURES	99	UNIQUE	6	0	0	0	0	0	0
		100	MULTIPLES	7	0	0	0	0	0	0
		101	DIVERGENTS	8	0	0	0	0	0	0
FACE SUPÉRIEURE	EMPLACEMENT DU CORTEX	102	IDENTIQUE	1	0	0	0	0	0	0
		103	PERPENDICULAIRE	2	0	0	0	0	0	0
		104	INCLINÉE	3	0	0	0	0	0	0
FACE SUPÉRIEURE	DISPOSITION DES MÉCATIFS D'ENLEVEMENTS	105	OPPOSÉE	4	0	0	0	0	0	0
		106	SAILLANTES	1	0	0	0	0	0	0
		107	DIFFUSES	2	0	0	0	0	0	0
FACE SUPÉRIEURE	EMPLACEMENT DU CORTEX	108	PROXIMAL	3	0	0	0	0	0	0
		109	MÉDIAL	4	0	0	0	0	0	0
		110	DISTAL	5	0	0	0	0	0	0
FACE SUPÉRIEURE	NERVURES	111	SUR LA TOTALITÉ	6	0	0	0	0	0	0
		112	LATÉRAL GAUCHE	7	0	0	0	0	0	0
		113	LATÉRAL DROIT	8	0	0	0	0	0	0

MÉTHODE DE RECHERCHE ANALYTIQUE DES MODALITÉS DE CARACTÈRES ET DE LEUR DEGRÉ DE SIGNIFICATION DANS LA RECHERCHE, SUR UN SUPPORT, DE SA TECHNIQUE DE TAILLE		LAMES		SITE		COUCHE				
		MUREY BET		MUREY BET		9				
		NUMÉRO 69 F	NUMÉRO 69 F	SCHEMA OPERATOIRE	SCHEMA OPERATOIRE	PERCUSSION	PERCUSSION	INDICE	INDICE	
CARACTÈRES MORPHOLOGIQUES		CODE INFORM.	MODALITÉS DE CARACTÈRES	TECHNIQUE	TECHNIQUE	TECHNIQUE	TECHNIQUE	TECHNIQUE	TECHNIQUE	
FACE SUPÉRIEURE	DISPOSITION DES MÉCATIFS D'ENLEVEMENTS	40	LISSE	1	0	0	0	0	0	0
		41	ÉCRASÉ	2	0	0	0	0	0	0
		42	PUNCTIFORME	3	0	0	0	0	0	0
FACE SUPÉRIEURE	ORIENTATION DES MÉCATIFS PAR RAPPORT AU SENS D'EXTRACTION DU SUPPORT	43	DIÈDRE	4	0	0	0	0	0	0
		44	FACETTE	5	0	0	0	0	0	0
		45	FILIFORME	6	0	0	0	0	0	0
FACE SUPÉRIEURE	EMPLACEMENT DU CORTEX	46	CORTICAL	7	0	0	0	0	0	0
		47	EVERSÉ	8	0	0	0	0	0	0
		48	AVEC LÈVRE	1	0	0	0	0	0	0
FACE SUPÉRIEURE	NERVURES	49	SANS CÔTE SURFACE PÉDITEE	1	0	0	0	0	0	0
		50	CÔTE PLAN DE FRAPPE	2	0	0	0	0	0	0
		51	DES DEUX CÔTÉS	3	0	0	0	0	0	0
FACE SUPÉRIEURE	DISPOSITION DES MÉCATIFS D'ENLEVEMENTS	52	AVEC PT. D'IMPACT	4	0	0	0	0	0	0
		53	POINTUE	1	0	0	0	0	0	0
		54	ARRONDIÉ	2	0	0	0	0	0	0
FACE SUPÉRIEURE	EMPLACEMENT DU CORTEX	55	IRRÉGULIÈRE	3	0	0	0	0	0	0
		56	OUTREPASSÉE	4	0	0	0	0	0	0
		57	REFLÉCHIE	5	0	0	0	0	0	0
FACE SUPÉRIEURE	NERVURES	58	À BOURRELETS	6	0	0	0	0	0	0
		59	PARALLÈLES	1	0	0	0	0	0	0
		60	CONVERGENTS	2	0	0	0	0	0	0
FACE SUPÉRIEURE	EMPLACEMENT DU CORTEX	61	DIVERGENTS	3	0	0	0	0	0	0
		62	IRRÉGULIERS	4	0	0	0	0	0	0
		63	SAILLANT	1	0	0	0	0	0	0
FACE SUPÉRIEURE	DISPOSITION DES MÉCATIFS D'ENLEVEMENTS	64	DIFFUS	2	0	0	0	0	0	0
		65	ÉCAILLE	3	0	0	0	0	0	0
		66	PROXIMALE	1	0	0	0	0	0	0
FACE SUPÉRIEURE	NERVURES	67	DISTALE	2	0	0	0	0	0	0
		68	INDÉFINIE	3	0	0	0	0	0	0
		69	CONCAVE	1	0	0	0	0	0	0
FACE SUPÉRIEURE	EMPLACEMENT DU CORTEX	70	CONVEXE	2	0	0	0	0	0	0
		71	PLAT	3	0	0	0	0	0	0
		72	TORSÉ	4	0	0	0	0	0	0
FACE SUPÉRIEURE	DISPOSITION DES MÉCATIFS D'ENLEVEMENTS	73	IRRÉGULIER	5	0	0	0	0	0	0
		74	PARALLÈLES IDENTIQUES	1	0	0	0	0	0	0
		75	PARALLÈLES INVERSES	2	0	0	0	0	0	0
FACE SUPÉRIEURE	NERVURES	76	ORTHOGONAUX	3	0	0	0	0	0	0
		77	CROISÉS	4	0	0	0	0	0	0
		78	CENTRIPÈTES	5	0	0	0	0	0	0
FACE SUPÉRIEURE	EMPLACEMENT DU CORTEX	79	UNIQUE	6	0	0	0	0	0	0
		80	MULTIPLES	7	0	0	0	0	0	0
		81	DIVERGENTS	8	0	0	0	0	0	0
FACE SUPÉRIEURE	DISPOSITION DES MÉCATIFS D'ENLEVEMENTS	82	IDENTIQUE	1	0	0	0	0	0	0
		83	PERPENDICULAIRE	2	0	0	0	0	0	0
		84	INCLINÉE	3	0	0	0	0	0	0
FACE SUPÉRIEURE	NERVURES	85	OPPOSÉE	4	0	0	0	0	0	0
		86	SAILLANTES	1	0	0	0	0	0	0
		87	DIFFUSES	2	0	0	0	0	0	0
FACE SUPÉRIEURE	EMPLACEMENT DU CORTEX	88	PROXIMAL	3	0	0	0	0	0	0
		89	MÉDIAL	4	0	0	0	0	0	0
		90	DISTAL	5	0	0	0	0	0	0
FACE SUPÉRIEURE	NERVURES	91	SUR LA TOTALITÉ	6	0	0	0	0	0	0
		92	LATÉRAL GAUCHE	7	0	0	0	0	0	0
		93	LATÉRAL DROIT	8	0	0	0	0	0	0

Tableau 42 - Lames en silex à grain fin : couche n° 2. Fine-grain flint blades: layer n° 2.

ND 77 67 62 296 136 15 0 5 183 69 5







MÉTHODE DE RECHERCHE ANALYTIQUE DES MODALITÉS DE CARACTÈRES TABLEAU RÉCAPITULATIF DES MODALITÉS DE CARACTÈRES ET DE LEUR DEGRÉ DE SIGNIFICATION DANS LA RECHERCHE, SUR UN SUPPORT, DE SA TECHNIQUE DE TAILLE										SITE MUREYBET		COUCHE 5							
CARACTÈRES MORPHOLOGIQUES										LAMES		SCHEMA OPERATOIRE		PERCUSSION					
MODALITÉS DE CARACTÈRES										? A		B		TENDRE					
CODE INFORM.										A		B		INDURE					
60										1 2 3 4 5 6 7 8		1 2 3 4 5 6 7 8		1 2 3 4 5 6 7 8					
61										1		1		1					
62										1 2 3		1 2 3		1 2 3					
63										1		1		1					
64										1 2 3		1 2 3		1 2 3					
65										1 2 3		1 2 3		1 2 3					
66										1 2 3 4 5		1 2 3 4 5		1 2 3 4 5					
67										1 2 3		1 2 3		1 2 3					
68										1 2 3 4 5 6 7 8		1 2 3 4 5 6 7 8		1 2 3 4 5 6 7 8					
69										1 2 3 4 5 6		1 2 3 4 5 6		1 2 3 4 5 6					
70										1 2 3 4 5 6 7 8		1 2 3 4 5 6 7 8		1 2 3 4 5 6 7 8					
71										1 2 3 4		1 2 3 4		1 2 3 4					
72										1 2 3 4 5 6 7 8		1 2 3 4 5 6 7 8		1 2 3 4 5 6 7 8					
73										1 2 3 4 5 6 7 8		1 2 3 4 5 6 7 8		1 2 3 4 5 6 7 8					
74										1 2 3 4		1 2 3 4		1 2 3 4					
75										1 2 3 4 5 6		1 2 3 4 5 6		1 2 3 4 5 6					
<ul style="list-style-type: none"> <li>TALON</li> <li>LÈVRE</li> <li>PRÉPARATION DE L'ANGLE DE CHASSE</li> <li>POINT D'IMPACT</li> </ul>										28		32		32		32		32	
<ul style="list-style-type: none"> <li>EXTREMITÉ DISTALE</li> <li>TYPE D'ANOMALIE DISTALE</li> </ul>										25		20		0		0		7	
BORDS										23		58							
<ul style="list-style-type: none"> <li>BULBE</li> <li>COURBURE MAXIMALE</li> <li>PROFIL</li> </ul>										0		0		0		0		23	
FACE D'ÉCLATEMENT										23		23		23		23			
<ul style="list-style-type: none"> <li>DISPOSITION DES NÉGATIFS D'ENLEVEMENTS</li> <li>ORIENTATION DES NÉGATIFS PAR RAPPORT AU SENS D'EXTRACTION DU SUPPORT</li> <li>NERVURES</li> <li>EMPLACEMENT DU CORTEX</li> </ul>										0		0		0		0		35	

MÉTHODE DE RECHERCHE ANALYTIQUE DES MODALITÉS DE CARACTÈRES TABLEAU RÉCAPITULATIF DES MODALITÉS DE CARACTÈRES ET DE LEUR DEGRÉ DE SIGNIFICATION DANS LA RECHERCHE, SUR UN SUPPORT, DE SA TECHNIQUE DE TAILLE										SITE MUREYBET		COUCHE 5							
CARACTÈRES MORPHOLOGIQUES										LAMES		SCHEMA OPERATOIRE		PERCUSSION					
MODALITÉS DE CARACTÈRES										? A		B		TENDRE					
CODE INFORM.										A		B		INDURE					
60										1 2 3 4 5 6 7 8		1 2 3 4 5 6 7 8		1 2 3 4 5 6 7 8					
61										1		1		1					
62										1 2 3		1 2 3		1 2 3					
63										1		1		1					
64										1 2 3		1 2 3		1 2 3					
65										1 2 3		1 2 3		1 2 3					
66										1 2 3 4 5		1 2 3 4 5		1 2 3 4 5					
67										1 2 3		1 2 3		1 2 3					
68										1 2 3 4 5 6 7 8		1 2 3 4 5 6 7 8		1 2 3 4 5 6 7 8					
69										1 2 3 4 5 6		1 2 3 4 5 6		1 2 3 4 5 6					
70										1 2 3 4 5 6 7 8		1 2 3 4 5 6 7 8		1 2 3 4 5 6 7 8					
71										1 2 3 4		1 2 3 4		1 2 3 4					
72										1 2 3 4 5 6 7 8		1 2 3 4 5 6 7 8		1 2 3 4 5 6 7 8					
73										1 2 3 4 5 6 7 8		1 2 3 4 5 6 7 8		1 2 3 4 5 6 7 8					
74										1 2 3 4		1 2 3 4		1 2 3 4					
75										1 2 3 4 5 6		1 2 3 4 5 6		1 2 3 4 5 6					
<ul style="list-style-type: none"> <li>TALON</li> <li>LÈVRE</li> <li>PRÉPARATION DE L'ANGLE DE CHASSE</li> <li>POINT D'IMPACT</li> </ul>										10		10		13		13		13	
<ul style="list-style-type: none"> <li>EXTREMITÉ DISTALE</li> <li>TYPE D'ANOMALIE DISTALE</li> </ul>										10		0		0		0		1	
BORDS										10		33							
<ul style="list-style-type: none"> <li>BULBE</li> <li>COURBURE MAXIMALE</li> <li>PROFIL</li> </ul>										0		0		0		0		23	
FACE D'ÉCLATEMENT										10		33		33		33			
<ul style="list-style-type: none"> <li>DISPOSITION DES NÉGATIFS D'ENLEVEMENTS</li> <li>ORIENTATION DES NÉGATIFS PAR RAPPORT AU SENS D'EXTRACTION DU SUPPORT</li> <li>NERVURES</li> <li>EMPLACEMENT DU CORTEX</li> </ul>										0		0		0		0		23	

Tableau 45 - Lames en silex à grain fin : couche n° 5. Fine-grain flint blades: layer n° 5.

%

Nb

MÉTHODE DE RECHERCHE ANALYTIQUE DES TECHNIQUES DE TAILLE TABLEAU RÉCAPITULATIF DES MODALITÉS DE CARACTÈRES ET DE LEUR DEGRÉ DE SIGNIFICATION DANS LA RECHERCHE, SUR UN SUPPORT, DE SA TECHNIQUE DE TAILLE		LAMES		SITE		COUCHE			
		NOMBRES 32 F.		MUREY BET		6			
		SCHEMA OPERATOIRE		PERCUSSION		DURE			
CARACTÈRES MORPHOLOGIQUES		MODALITÉS DE CARACTÈRES		TENDANCE		TENDANCE		DURE	
CODE INPR.		A		B		C		D	
1 2 3 4 5 6 7 8		1 2 3 4 5 6 7 8		1 2 3 4 5 6 7 8		1 2 3 4 5 6 7 8		1 2 3 4 5 6 7 8	
• TALON	60 1	22							
	60 2								
	60 3								
	60 4								
• LÈVRE	61 1								
	61 2								
	61 3								
	61 4								
• PRÉPARATION DE L'ANGLE DE CHASSE	62 1								
	62 2								
	62 3								
	62 4								
• POINT D'IMPACT	63 1								
	63 2								
	63 3								
	63 4								
• EXTREMITÉ DISTALE	64 1								
	64 2								
	64 3								
	64 4								
• TYPE D'ANOMALIE DISTALE	76 1								
	76 2								
	76 3								
	76 4								
• BORDS	71 1								
	71 2								
	71 3								
	71 4								
• BULBE	67 1								
	67 2								
	67 3								
	67 4								
• COURBURE MAXIMALE	65 1								
	65 2								
	65 3								
	65 4								
• PROFIL	66 1								
	66 2								
	66 3								
	66 4								
• DISPOSITION DES NEGATIFS D'ENLEVEMENTS	72 1								
	72 2								
	72 3								
	72 4								
• ORIENTATION DES NEGATIFS PAR RAPPORT AU SENS D'EXTRACTION DU SUPPORT	73 1								
	73 2								
	73 3								
	73 4								
• NERVURES	74 1								
	74 2								
	74 3								
	74 4								
• EMBLEMMENT DU CORTEX	75 1								
	75 2								
	75 3								
	75 4								

MÉTHODE DE RECHERCHE ANALYTIQUE DES TECHNIQUES DE TAILLE TABLEAU RÉCAPITULATIF DES MODALITÉS DE CARACTÈRES ET DE LEUR DEGRÉ DE SIGNIFICATION DANS LA RECHERCHE, SUR UN SUPPORT, DE SA TECHNIQUE DE TAILLE		LAMES		SITE		COUCHE			
		NOMBRES 32 F.		MUREY BET		6			
		SCHEMA OPERATOIRE		PERCUSSION		DURE			
CARACTÈRES MORPHOLOGIQUES		MODALITÉS DE CARACTÈRES		TENDANCE		TENDANCE		DURE	
CODE INPR.		A		B		C		D	
1 2 3 4 5 6 7 8		1 2 3 4 5 6 7 8		1 2 3 4 5 6 7 8		1 2 3 4 5 6 7 8		1 2 3 4 5 6 7 8	
• TALON	60 1	2							
	60 2								
	60 3								
	60 4								
• LÈVRE	61 1								
	61 2								
	61 3								
	61 4								
• PRÉPARATION DE L'ANGLE DE CHASSE	62 1								
	62 2								
	62 3								
	62 4								
• POINT D'IMPACT	63 1								
	63 2								
	63 3								
	63 4								
• EXTREMITÉ DISTALE	64 1								
	64 2								
	64 3								
	64 4								
• TYPE D'ANOMALIE DISTALE	76 1								
	76 2								
	76 3								
	76 4								
• BORDS	71 1								
	71 2								
	71 3								
	71 4								
• BULBE	67 1								
	67 2								
	67 3								
	67 4								
• COURBURE MAXIMALE	65 1								
	65 2								
	65 3								
	65 4								
• PROFIL	66 1								
	66 2								
	66 3								
	66 4								
• DISPOSITION DES NEGATIFS D'ENLEVEMENTS	72 1								
	72 2								
	72 3								
	72 4								
• ORIENTATION DES NEGATIFS PAR RAPPORT AU SENS D'EXTRACTION DU SUPPORT	73 1								
	73 2								
	73 3								
	73 4								
• NERVURES	74 1								
	74 2								
	74 3								
	74 4								
• EMBLEMMENT DU CORTEX	75 1								
	75 2								
	75 3								
	75 4								

Tableau 46 - Lames en silex à grain fin : couche n° 6.  
Fine-grain flint blades : layer n° 6.





MÉTHODE DE RECHERCHE ANALYTIQUE DES TECHNIQUES DE TAILLE TABLEAU RÉCAPITULATIF DES MODALITÉS DE CARACTÈRES ET DE LEUR DEGRÉ DE SIGNIFICATION DANS LA RECHERCHE, SUR UN SUPPORT, DE SA TECHNIQUE DE TAILLE		LAMES		SITE		COUCHE			
		MUREY/BET		MUREY/BET		2			
		SCHEMA OPERATOIRE		SCHEMA OPERATOIRE		PERCUSSION		PERCUSSION	
CARACTÈRES MORPHOLOGIQUES		MODALITÉS DE CARACTÈRES		LAMES		SITE		COUCHE	
CODE INFORM.	MODALITÉS DE CARACTÈRES	TEMPS A	TEMPS B	TEMPS A	TEMPS B	TEMPS A	TEMPS B	TEMPS A	TEMPS B
60	<ul style="list-style-type: none"> <li>• TALON</li> <li>• LÈVRE</li> <li>• PRÉPARATION DE L'ANGLE DE CHASSE</li> <li>• POINT D'IMPACT</li> </ul>	13	1	13	1	13	1	13	1
61		1	0	1	0	1	0	1	0
62		1	0	1	0	1	0	1	0
63		1	0	1	0	1	0	1	0
64		1	0	1	0	1	0	1	0
65		1	0	1	0	1	0	1	0
66		1	0	1	0	1	0	1	0
67		1	0	1	0	1	0	1	0
68	<ul style="list-style-type: none"> <li>• EXTRÉMITÉ DISTALE</li> <li>• TYPE D'ANOMALIE DISTALE</li> </ul>	28	3	28	3	28	3	28	3
69		1	0	1	0	1	0	1	0
70		1	0	1	0	1	0	1	0
71	<ul style="list-style-type: none"> <li>• BORDS</li> </ul>	20	2	20	2	20	2	20	2
72		1	0	1	0	1	0	1	0
73		1	0	1	0	1	0	1	0
74		1	0	1	0	1	0	1	0
75	<ul style="list-style-type: none"> <li>• BULBE</li> <li>• COURBURE MAXIMALE</li> <li>• PROFIL</li> </ul>	40	3	40	3	40	3	40	3
76		1	0	1	0	1	0	1	0
77		1	0	1	0	1	0	1	0
78		1	0	1	0	1	0	1	0
79		1	0	1	0	1	0	1	0
80	<ul style="list-style-type: none"> <li>• DISPOSITION DES NÉGATIFS D'ENLEVEMENTS</li> <li>• ORIENTATION DES NÉGATIFS PAR RAPPORT AU SENS D'EXTRACTION DU SUPPORT</li> <li>• NERVURES</li> <li>• EMBLEMMENT DU CORTEX</li> </ul>	13	1	13	1	13	1	13	1
81		1	0	1	0	1	0	1	0
82		1	0	1	0	1	0	1	0
83		1	0	1	0	1	0	1	0
84		1	0	1	0	1	0	1	0
85		1	0	1	0	1	0	1	0

Tableau 49 - Lames en silex à grain grossier : couche n° 2. Coarse-grain flint blades: layer n° 2.

%

Nb

MÉTHODE DE RECHERCHE ANALYTIQUE DES MODALITÉS DE CARACTÈRES TABLEAU RÉCAPITULATIF DES MODALITÉS DE CARACTÈRES ET DE LEUR DEGRÉ DE SIGNIFICATION DANS LA RECHERCHE, SUR UN SUPPORT, DE SA TECHNIQUE DE TAILLE										SITE MUREY BET		COUCHE 3	
LAMES NOMBRE 23-G		SCHEMA OPERATOIRE		PERCUSSION		LAMES NOMBRE 23-G		SITE MUREY BET		COUCHE 3			
TENANCE A ?		TENANCE B		TENANCE C		TENANCE D		TENANCE E		TENANCE F			
CARACTÈRES MORPHOLOGIQUES		MODALITÉS DE CARACTÈRES		CODE INFORM.		CARACTÈRES MORPHOLOGIQUES		MODALITÉS DE CARACTÈRES		CODE INFORM.			
FACE SUPÉRIEURE	DISPOSITION DES MÉCATIFS D'ENLEVEMENTS	ORIENTATION DES NÉGATIFS PAR RAPPORT AU SENS D'EXTRACTION DU SUPPORT	NERVURES	60	LISSE	1	60	LISSE	1	60	1		
				61	ÉCRASÉ	2	61	ÉCRASÉ	2	61	2		
				62	PUNCTIFORME	3	62	PUNCTIFORME	3	62	3		
FACE SUPÉRIEURE	DISPOSITION DES MÉCATIFS D'ENLEVEMENTS	ORIENTATION DES NÉGATIFS PAR RAPPORT AU SENS D'EXTRACTION DU SUPPORT	NERVURES	63	DIÈDRE	4	63	DIÈDRE	4	63	4		
				64	FACETTE	5	64	FACETTE	5	64	5		
				65	FILIFORME	6	65	FILIFORME	6	65	6		
FACE SUPÉRIEURE	DISPOSITION DES MÉCATIFS D'ENLEVEMENTS	ORIENTATION DES NÉGATIFS PAR RAPPORT AU SENS D'EXTRACTION DU SUPPORT	NERVURES	66	CORTICAL	7	66	CORTICAL	7	66	7		
				67	ÉVERSE	8	67	ÉVERSE	8	67	8		
				68	AVEC LÈVRE	9	68	AVEC LÈVRE	9	68	9		
FACE SUPÉRIEURE	DISPOSITION DES MÉCATIFS D'ENLEVEMENTS	ORIENTATION DES NÉGATIFS PAR RAPPORT AU SENS D'EXTRACTION DU SUPPORT	NERVURES	69	SANS CÔTE	10	69	SANS CÔTE	10	69	10		
				70	SURFACE DÉBITÉE	11	70	SURFACE DÉBITÉE	11	70	11		
				71	CÔTÉ PLAN DE FRAPPE	12	71	CÔTÉ PLAN DE FRAPPE	12	71	12		
FACE SUPÉRIEURE	DISPOSITION DES MÉCATIFS D'ENLEVEMENTS	ORIENTATION DES NÉGATIFS PAR RAPPORT AU SENS D'EXTRACTION DU SUPPORT	NERVURES	72	DES DEUX CÔTÉS	13	72	DES DEUX CÔTÉS	13	72	13		
				73	AVEC PT. D'IMPACT	14	73	AVEC PT. D'IMPACT	14	73	14		
				74	POINT D'IMPACT	15	74	POINT D'IMPACT	15	74	15		
FACE SUPÉRIEURE	DISPOSITION DES MÉCATIFS D'ENLEVEMENTS	ORIENTATION DES NÉGATIFS PAR RAPPORT AU SENS D'EXTRACTION DU SUPPORT	NERVURES	75	POINTUE	16	75	POINTUE	16	75	16		
				76	ARRONDIE	17	76	ARRONDIE	17	76	17		
				77	IRRÉGULIÈRE	18	77	IRRÉGULIÈRE	18	77	18		
FACE SUPÉRIEURE	DISPOSITION DES MÉCATIFS D'ENLEVEMENTS	ORIENTATION DES NÉGATIFS PAR RAPPORT AU SENS D'EXTRACTION DU SUPPORT	NERVURES	78	OUTREPASSÉE	19	78	OUTREPASSÉE	19	78	19		
				79	REFLÈCHIE	20	79	REFLÈCHIE	20	79	20		
				80	À BOURRELETS	21	80	À BOURRELETS	21	80	21		
FACE SUPÉRIEURE	DISPOSITION DES MÉCATIFS D'ENLEVEMENTS	ORIENTATION DES NÉGATIFS PAR RAPPORT AU SENS D'EXTRACTION DU SUPPORT	NERVURES	81	PARALLÈLES	22	81	PARALLÈLES	22	81	22		
				82	CONVERGENTS	23	82	CONVERGENTS	23	82	23		
				83	DIVERGENTS	24	83	DIVERGENTS	24	83	24		
FACE SUPÉRIEURE	DISPOSITION DES MÉCATIFS D'ENLEVEMENTS	ORIENTATION DES NÉGATIFS PAR RAPPORT AU SENS D'EXTRACTION DU SUPPORT	NERVURES	84	IRRÉGULIERS	25	84	IRRÉGULIERS	25	84	25		
				85	SAILLANT	26	85	SAILLANT	26	85	26		
				86	DIFFUS	27	86	DIFFUS	27	86	27		
FACE SUPÉRIEURE	DISPOSITION DES MÉCATIFS D'ENLEVEMENTS	ORIENTATION DES NÉGATIFS PAR RAPPORT AU SENS D'EXTRACTION DU SUPPORT	NERVURES	87	ÉCAILLE	28	87	ÉCAILLE	28	87	28		
				88	PROXIMALE	29	88	PROXIMALE	29	88	29		
				89	DISTALE	30	89	DISTALE	30	89	30		
FACE SUPÉRIEURE	DISPOSITION DES MÉCATIFS D'ENLEVEMENTS	ORIENTATION DES NÉGATIFS PAR RAPPORT AU SENS D'EXTRACTION DU SUPPORT	NERVURES	90	INDEFINIE	31	90	INDEFINIE	31	90	31		
				91	CONCAVE	32	91	CONCAVE	32	91	32		
				92	CONVEXE	33	92	CONVEXE	33	92	33		
FACE SUPÉRIEURE	DISPOSITION DES MÉCATIFS D'ENLEVEMENTS	ORIENTATION DES NÉGATIFS PAR RAPPORT AU SENS D'EXTRACTION DU SUPPORT	NERVURES	93	PLAT	34	93	PLAT	34	93	34		
				94	TORSE	35	94	TORSE	35	94	35		
				95	IRRÉGULIER	36	95	IRRÉGULIER	36	95	36		
FACE SUPÉRIEURE	DISPOSITION DES MÉCATIFS D'ENLEVEMENTS	ORIENTATION DES NÉGATIFS PAR RAPPORT AU SENS D'EXTRACTION DU SUPPORT	NERVURES	96	PARALLÈLES IDENTIQUES	37	96	PARALLÈLES IDENTIQUES	37	96	37		
				97	PARALLÈLES INVERSES	38	97	PARALLÈLES INVERSES	38	97	38		
				98	ORTHOGONAUX	39	98	ORTHOGONAUX	39	98	39		
FACE SUPÉRIEURE	DISPOSITION DES MÉCATIFS D'ENLEVEMENTS	ORIENTATION DES NÉGATIFS PAR RAPPORT AU SENS D'EXTRACTION DU SUPPORT	NERVURES	99	CROISÉS	40	99	CROISÉS	40	99	40		
				100	CENTRIPÈTES	41	100	CENTRIPÈTES	41	100	41		
				101	UNIFORMES	42	101	UNIFORMES	42	101	42		
FACE SUPÉRIEURE	DISPOSITION DES MÉCATIFS D'ENLEVEMENTS	ORIENTATION DES NÉGATIFS PAR RAPPORT AU SENS D'EXTRACTION DU SUPPORT	NERVURES	102	MULTIPLES	43	102	MULTIPLES	43	102	43		
				103	DIVERGENTS	44	103	DIVERGENTS	44	103	44		
				104	IDENTIQUE	45	104	IDENTIQUE	45	104	45		
FACE SUPÉRIEURE	DISPOSITION DES MÉCATIFS D'ENLEVEMENTS	ORIENTATION DES NÉGATIFS PAR RAPPORT AU SENS D'EXTRACTION DU SUPPORT	NERVURES	105	PERPENDICULAIRE	46	105	PERPENDICULAIRE	46	105	46		
				106	INCLINÉE	47	106	INCLINÉE	47	106	47		
				107	OPPOSÉE	48	107	OPPOSÉE	48	107	48		
FACE SUPÉRIEURE	DISPOSITION DES MÉCATIFS D'ENLEVEMENTS	ORIENTATION DES NÉGATIFS PAR RAPPORT AU SENS D'EXTRACTION DU SUPPORT	NERVURES	108	SAILLANTES	49	108	SAILLANTES	49	108	49		
				109	DIFFUSES	50	109	DIFFUSES	50	109	50		
				110	PROXIMAL	51	110	PROXIMAL	51	110	51		
FACE SUPÉRIEURE	DISPOSITION DES MÉCATIFS D'ENLEVEMENTS	ORIENTATION DES NÉGATIFS PAR RAPPORT AU SENS D'EXTRACTION DU SUPPORT	NERVURES	111	MÉDIAL	52	111	MÉDIAL	52	111	52		
				112	DISTAL	53	112	DISTAL	53	112	53		
				113	LATÉRAL GAUCHE	54	113	LATÉRAL GAUCHE	54	113	54		
FACE SUPÉRIEURE	DISPOSITION DES MÉCATIFS D'ENLEVEMENTS	ORIENTATION DES NÉGATIFS PAR RAPPORT AU SENS D'EXTRACTION DU SUPPORT	NERVURES	114	LATÉRAL DROIT	55	114	LATÉRAL DROIT	55	114	55		
				115	EMPLACEMENT DU CORTÈX	56	115	EMPLACEMENT DU CORTÈX	56	115	56		
				116	EMPLACEMENT DU CORTÈX	57	116	EMPLACEMENT DU CORTÈX	57	116	57		
FACE SUPÉRIEURE	DISPOSITION DES MÉCATIFS D'ENLEVEMENTS	ORIENTATION DES NÉGATIFS PAR RAPPORT AU SENS D'EXTRACTION DU SUPPORT	NERVURES	117	EMPLACEMENT DU CORTÈX	58	117	EMPLACEMENT DU CORTÈX	58	117	58		
				118	EMPLACEMENT DU CORTÈX	59	118	EMPLACEMENT DU CORTÈX	59	118	59		
				119	EMPLACEMENT DU CORTÈX	60	119	EMPLACEMENT DU CORTÈX	60	119	60		
FACE SUPÉRIEURE	DISPOSITION DES MÉCATIFS D'ENLEVEMENTS	ORIENTATION DES NÉGATIFS PAR RAPPORT AU SENS D'EXTRACTION DU SUPPORT	NERVURES	120	EMPLACEMENT DU CORTÈX	61	120	EMPLACEMENT DU CORTÈX	61	120	61		
				121	EMPLACEMENT DU CORTÈX	62	121	EMPLACEMENT DU CORTÈX	62	121	62		
				122	EMPLACEMENT DU CORTÈX	63	122	EMPLACEMENT DU CORTÈX	63	122	63		

Tableau 50 - Lames en silex à grain grossier : couche n° 3. Coarse-grain flint blades : layer n° 3.



MÉTHODE DE RECHERCHE ANALYTIQUE DES MODALITÉS DE CARACTÈRES TABLEAU RÉCAPITULATIF DES MODALITÉS DE CARACTÈRES ET DE LEUR DEGRÉ DE SIGNIFICATION DANS LA RECHERCHE, SUR UN SUPPORT, DE SA TECHNIQUE DE TAILLE				LAMES		SITE		COUCHE		
CARACTÈRES MORPHOLOGIQUES				NOMBRE 4-5 G		MUREY BET		5		
				SCHEMA OPERATOIRE		PERCUSSION		DURE		
MODALITÉS DE CARACTÈRES				A		B		?		
CODE INFORM.				1 2 3 4 5 6 7 8		1 2 3 4 5 6 7 8		1 2 3 4 5 6 7 8		
PARTIE PROXIMALE	TALON	LISSE ÉCRASÉ PUNCTIFORME DIÈDRE FACETTÉ FILIFORME CORTICAL EVERSÉ AVEC LÈVRE	60	1	58	20	73	73		
			61	4						
			62	0						
PARTIE DISTALE	LÈVRE	PRÉPARATION DE L'ANGLE DE CHASSE DES DEUX CÔTÉS AVEC PT. D'IMPACT	63	1	37	69	69	69		
			64	1						
			65	0						
PARTIE DISTALE	EXTREMITÉ DISTALE	POINTUE, ARRONDIÉ, IRRÉGULIÈRE OUTREPASSÉE RÉFLÉCHIE À BOURRELETS	66	1		44				
			67	2						
			68	3						
BORDS	BORDS	PARALLÈLES CONVERGENTS DIVERGENTS IRRÉGULIERS	71	1		31				
			72	2						
			73	3						
FACE d'ÉCLATEMENT	BULBE	SAILLANT DIFFUS ÉCAILLE PROXIMALE DISTALE INDÉFINIE CONCAVE CONVEXE PLAT TORSÉ IRRÉGULIER	67	1						
			68	2						
			69	3						
FACE d'ÉCLATEMENT	COURBURE MAXIMALE	PARALLÈLES CONVERGENTS DIVERGENTS IRRÉGULIERS	71	1		31				
			72	2						
			73	3						
FACE d'ÉCLATEMENT	PROFIL	SAILLANT DIFFUS ÉCAILLE PROXIMALE DISTALE INDÉFINIE CONCAVE CONVEXE PLAT TORSÉ IRRÉGULIER	67	1						
			68	2						
			69	3						
FACE SUPÉRIEURE	DISPOSITION DES NÉGATIFS D'ENLEVEMENTS	PARALLÈLES IDENTIQUES PARALLÈLES INVERSES ORTHOCONAUX CROISÉES CENTRIPÈTES UNIFORMES MULTIPLES DIVERGENTS IDENTIQUE PERPENDICULAIRE INCLINÉE OPPOSÉE SAILLANTES DIFFUSES	72	1		33				
			73	2						
			74	3						
FACE SUPÉRIEURE	ORIENTATION DES NÉGATIFS PAR RAPPORT AU SENS D'EXTRACTION DU SUPPORT	PARALLÈLES IDENTIQUES PARALLÈLES INVERSES ORTHOCONAUX CROISÉES CENTRIPÈTES UNIFORMES MULTIPLES DIVERGENTS IDENTIQUE PERPENDICULAIRE INCLINÉE OPPOSÉE SAILLANTES DIFFUSES	74	1						
			75	2						
			76	3						
FACE SUPÉRIEURE	EMPLACEMENT DU CORTEX	PARALLÈLES IDENTIQUES PARALLÈLES INVERSES ORTHOCONAUX CROISÉES CENTRIPÈTES UNIFORMES MULTIPLES DIVERGENTS IDENTIQUE PERPENDICULAIRE INCLINÉE OPPOSÉE SAILLANTES DIFFUSES	74	1						
			75	2						
			76	3						

MÉTHODE DE RECHERCHE ANALYTIQUE DES MODALITÉS DE CARACTÈRES TABLEAU RÉCAPITULATIF DES MODALITÉS DE CARACTÈRES ET DE LEUR DEGRÉ DE SIGNIFICATION DANS LA RECHERCHE, SUR UN SUPPORT, DE SA TECHNIQUE DE TAILLE				LAMES		SITE		COUCHE		
CARACTÈRES MORPHOLOGIQUES				NOMBRE 4-5 G		MUREY BET		5		
				SCHEMA OPERATOIRE		PERCUSSION		DURE		
MODALITÉS DE CARACTÈRES				A		B		?		
CODE INFORM.				1 2 3 4 5 6 7 8		1 2 3 4 5 6 7 8		1 2 3 4 5 6 7 8		
PARTIE PROXIMALE	TALON	LISSE ÉCRASÉ PUNCTIFORME DIÈDRE FACETTÉ FILIFORME CORTICAL EVERSÉ AVEC LÈVRE	60	1	58	20	73	73		
			61	4						
			62	0						
PARTIE DISTALE	LÈVRE	PRÉPARATION DE L'ANGLE DE CHASSE DES DEUX CÔTÉS AVEC PT. D'IMPACT	63	1	37	69	69	69		
			64	1						
			65	0						
PARTIE DISTALE	EXTREMITÉ DISTALE	POINTUE, ARRONDIÉ, IRRÉGULIÈRE OUTREPASSÉE RÉFLÉCHIE À BOURRELETS	66	1		44				
			67	2						
			68	3						
BORDS	BORDS	PARALLÈLES CONVERGENTS DIVERGENTS IRRÉGULIERS	71	1		31				
			72	2						
			73	3						
FACE d'ÉCLATEMENT	BULBE	SAILLANT DIFFUS ÉCAILLE PROXIMALE DISTALE INDÉFINIE CONCAVE CONVEXE PLAT TORSÉ IRRÉGULIER	67	1						
			68	2						
			69	3						
FACE d'ÉCLATEMENT	COURBURE MAXIMALE	PARALLÈLES CONVERGENTS DIVERGENTS IRRÉGULIERS	71	1		31				
			72	2						
			73	3						
FACE d'ÉCLATEMENT	PROFIL	SAILLANT DIFFUS ÉCAILLE PROXIMALE DISTALE INDÉFINIE CONCAVE CONVEXE PLAT TORSÉ IRRÉGULIER	67	1						
			68	2						
			69	3						
FACE SUPÉRIEURE	DISPOSITION DES NÉGATIFS D'ENLEVEMENTS	PARALLÈLES IDENTIQUES PARALLÈLES INVERSES ORTHOCONAUX CROISÉES CENTRIPÈTES UNIFORMES MULTIPLES DIVERGENTS IDENTIQUE PERPENDICULAIRE INCLINÉE OPPOSÉE SAILLANTES DIFFUSES	72	1		33				
			73	2						
			74	3						
FACE SUPÉRIEURE	ORIENTATION DES NÉGATIFS PAR RAPPORT AU SENS D'EXTRACTION DU SUPPORT	PARALLÈLES IDENTIQUES PARALLÈLES INVERSES ORTHOCONAUX CROISÉES CENTRIPÈTES UNIFORMES MULTIPLES DIVERGENTS IDENTIQUE PERPENDICULAIRE INCLINÉE OPPOSÉE SAILLANTES DIFFUSES	74	1						
			75	2						
			76	3						
FACE SUPÉRIEURE	EMPLACEMENT DU CORTEX	PARALLÈLES IDENTIQUES PARALLÈLES INVERSES ORTHOCONAUX CROISÉES CENTRIPÈTES UNIFORMES MULTIPLES DIVERGENTS IDENTIQUE PERPENDICULAIRE INCLINÉE OPPOSÉE SAILLANTES DIFFUSES	74	1						
			75	2						
			76	3						

Tableau 52 - Lames en silex à grain grossier: couche n° 5.  
Coarse-grain flint blades: layer n° 5.

%



MÉTHODE DE RECHERCHE ANALYTIQUE DES TECHNIQUES DE TAILLE										COUCHE			
TABLEAU RÉCAPITULATIF DES MODALITÉS DE CARACTÈRES ET DE LEUR DEGRÉ DE SIGNIFICATION DANS LA RECHERCHE, SUR UN SUPPORT, DE SA TECHNIQUE DE TAILLE										6			
LAMES										SITE			
MUREY BET										MUREY BET			
SCHEMA OPERATOIRE										PERCUSSION			
TEMPERANCE										TEMPERANCE			
A ?										B			
E E E										E E E			
DURE										DURE			
E E E										E E E			
CARACTÈRES MORPHOLOGIQUES MODALITÉS DE CARACTÈRES CODE INFORM.	LISSE ÉCRASÉ PUNCTIFORME DIÈDRE FACETTÉ FILIFORME CORTICAL ÉVERSE AVEC LÈVRE SANS CÔTÉ SURFACE DÉBITÉE CÔTÉ PLAN DE FRAPPE DES DEUX CÔTÉS AVEC PT. D'IMPACT	60	1										
		TALON LÈVRE PRÉPARATION DE L'ANGLE DE CHASSE POINT D'IMPACT	2	3	4	5	6	7	8				
			61	1									
			62	0									
			63	1									
			63	3									
CARACTÈRES MORPHOLOGIQUES MODALITÉS DE CARACTÈRES CODE INFORM.	POINTUE ARRONDIE IRRÉGULIÈRE OUTRE-PASSÉE RÉFLÈCHIE À BOURRELETS	69	1										
		EXTRÉMITÉ DISTALE TYPE D'ANOMALIE DISTALE	2	3									
			76	1									
			76	2									
			76	3									
			76	3									
CARACTÈRES MORPHOLOGIQUES MODALITÉS DE CARACTÈRES CODE INFORM.	PARALLÈLES CONVERGENTS DIVERGENTS IRRÉGULIERS	71	1										
		BORDS	2	3									
			71	2									
			71	3									
			71	4									
			71	4									
CARACTÈRES MORPHOLOGIQUES MODALITÉS DE CARACTÈRES CODE INFORM.	SAILLANT DIFFUS ÉCAILLE PROXIMALE DISTALE INDEFINIE CONCAVE CONVEXE PLAT TORSÉ IRRÉGULIER	64	1										
		BULBE COURBURE MAXIMALE PROFIL	2	3									
			64	2									
			64	3									
			64	4									
			64	5									
CARACTÈRES MORPHOLOGIQUES MODALITÉS DE CARACTÈRES CODE INFORM.	PARALLÈLES (DENTIQUE) PARALLÈLES INVERSES ORTHOGONAUX CROISÉS CENTRIPÈTES UNIFORMES MULTIPLES DIVERGENTS IDENTIQUE PERPENDICULAIRE INCLINÉE OPROSÉE SAILLANTES DIFFUSES	72	1										
		DISPOSITION DES NEGATIFS D'ENLEVEMENTS ORIENTATION DES NEGATIFS PAR RAPPORT AU SENS D'EXTRACTION DU SUPPORT NERVURES EMPLACEMENT DU CORTEX	2	3									
			72	2									
			72	3									
			72	4									
			72	5									

Tableau 53 - Lames en silex à grain grossier: couche n° 6. Coarse-grain flint blades: layer n° 6.





4330









